

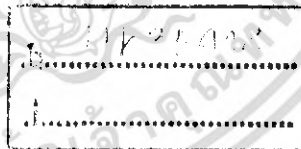
สำนักหอสมุดกลาง พระจอมเกล้าลาดกระบัง

เครื่องตัดโลหะด้วยลำพลาสมา  
PLASMA CUTTING MACHINE

โดย

จ.อ.ธวัชชัย ติแก้ว  
นายบรรดิษฐ์ จำปาทอง  
จ.อ.พิเชษฐ์ สุริยศ

เลขหมู่.....  
เลขทะเบียน..... 62895  
วัน,เดือน,ปี..... 23 ส.ค. 2549



ปฏิญานินพนธ์นี้เป็นส่วนหนึ่งของการศึกษาตามหลักสูตรปริญญาวิศวกรรมศาสตรบัณฑิต  
สาขาวิชาอิเล็กทรอนิกส์  
คณะวิศวกรรมศาสตร์  
สถาบันเทคโนโลยีพระจอมเกล้าเจ้าคุณทหารลาดกระบัง  
ปีการศึกษา 2548

เอกสารนี้เป็นเอกสารที่สงวนไว้สำหรับการใช้งานเพื่อการศึกษาเท่านั้น ไม่อนุญาตให้นำไปใช้ประโยชน์ด้านการค้า  
ไม่ว่ากรณีใดๆ ทั้งสิ้น อีกทั้งห้ามมิให้ดัดแปลงเนื้อหา และต้องอ้างอิงถึงเจ้าของเอกสารทุกครั้งที่มีการนำไปใช้

เครื่องตัดโลหะด้วยลำพลาสมา  
PLASMA CUTTING MACHINE

โดย

จ.อ.ธวัชชัย ติแก้ว รหัส 46015224

นายบรรดิษฐ์ จำปาทอง รหัส 46015228

จ.อ.พิเชษฐ์ สุริยศ รหัส 46015233



อาจารย์ที่ปรึกษา

รศ.สมศักดิ์ เชียร์ศิริกุล

ปริญญานิพนธ์นี้เป็นส่วนหนึ่งของการศึกษาตามหลักสูตรปริญญาวิศวกรรมศาสตรบัณฑิต

สาขาวิชาอิเล็กทรอนิกส์

คณะวิศวกรรมศาสตร์

สถาบันเทคโนโลยีพระจอมเกล้าเจ้าคุณทหารลาดกระบัง

ปีการศึกษา 2548

เอกสารนี้เป็นเอกสารที่สงวนไว้สำหรับการใช้งานเพื่อการศึกษาเท่านั้น ไม่อนุญาตให้นำไปใช้ประโยชน์ด้านการค้า  
ไม่ว่ากรณีใดๆ ทั้งสิ้น อีกทั้งห้ามมิให้ดัดแปลงเนื้อหา และต้องอ้างอิงถึงเจ้าของเอกสารทุกครั้งที่มีการนำไปใช้

คณะวิศวกรรมศาสตร์ สถาบันเทคโนโลยีพระจอมเกล้าเจ้าคุณทหารลาดกระบัง  
เรื่องเครื่องตัดโลหะด้วยลำพลาสมา

ผู้จัดทำ

จ.อ.ธวัชชัย ติแก้ว รหัส 46015224

นายบรรดิษฐ์ จำปาทอง รหัส 46015228

จ.อ.พิเชษฐ สุริยศ รหัส 46015233

(.....)อาจารย์ที่ปรึกษา  
( รศ.สมศักดิ์ เขียวศิริกุล )



เอกสารนี้เป็นเอกสารที่สงวนไว้สำหรับการใช้งานเพื่อการศึกษาเท่านั้น ไม่อนุญาตให้นำไปใช้ประโยชน์ด้านการค้า  
ไม่ว่ากรณีใดๆ ทั้งสิ้น อีกทั้งห้ามมิให้ตัดแปลงเนื้อหา และต้องอ้างอิงถึงเจ้าของเอกสารทุกครั้งที่มีการนำไปใช้

เครื่องตัดโลหะด้วยลำพลาสมา


Plasma Cutting Machine

จ.อ.ธวัชชัย ติแก้ว รหัส 46015224

นายบรรดิษฐ์ จำปาทอง รหัส 46015228

จ.อ.พิเชษฐ์ สุริยศ รหัส 46015233

โครงการนี้ได้รับการตรวจแล้ว พร้อมที่จะทำการสอบได้

()อาจารย์ที่ปรึกษา  
(รศ.สมศักดิ์ เขียวศิริกุล)



เอกสารนี้เป็นเอกสารที่สงวนไว้สำหรับการใช้งานเพื่อการศึกษาเท่านั้น ไม่อนุญาตให้นำไปใช้ประโยชน์ด้านการค้า  
ไม่ว่ากรณีใดๆ ทั้งสิ้น อีกทั้งห้ามมิให้ดัดแปลงเนื้อหา และต้องอ้างอิงถึงเจ้าของเอกสารทุกครั้งที่มีการนำไปใช้

# เครื่องตัดโลหะด้วยลำพลาสมา

## PLASMA CUTTING MACHINE

จ.อ.รวิทย์ชัย ดีแก้ว  
นายบรรดิษฐ์ จำปาทอง  
จ.อ.พิเชษฐ์ สุริยศ  
รศ.สมศักดิ์ เขียวศิริกุล  
อาจารย์ที่ปรึกษา  
ปีการศึกษาที่ 2548

### บทคัดย่อ

บทความนี้เป็น การนำเสนอ ส่วนประกอบของเครื่องตัดโลหะด้วยลำพลาสมา (ในส่วนที่ เกี่ยวข้องกับไฟฟ้า) การทำงานและผลการทดสอบในส่วน ของแหล่งจ่ายกำลังที่เป็นแบบสวิตชิง อิเล็กทรอนิกส์ โดยมีการทำงานคือ จะทำการแปลงไฟฟ้ากระแสสลับ 220 โวลต์ ความถี่ 50 เฮิร์ต มาเป็นไฟฟ้ากระแสตรงที่ 311 โวลต์ โดยวงจรเรียงกระแสและกรองกระแส ต่อมานำมาเปลี่ยนเป็น พัลส์ความถี่ประมาณ 25 กิโลเฮิร์ต โดยมีมอสเฟตของวงจรคอนเวอร์เตอร์ และมีไอซีเบอร์ SG3526 ทำการควบคุมคาบเวลาและความถี่ในการนำกระแสของมอสเฟต ตามข้อมูลที่ป้อนกลับ จากเอาต์ พูทของสวิตชิงกำลัง ด้วยแรงดันไฟตรงที่เอาต์พุทของสวิตชิงกำลังในสภาวะที่ไม่มีโหลด จะมี ค่าแรงดันอยู่ที่ 250 โวลต์ ให้กำลังสูงสุดประมาณ 2.5 กิโลวัตต์ โดยแรงดัน 250 โวลต์ สำหรับป้อน เข้าหัวตัด และ 10 กิโลโวลต์ สำหรับกระตุ้นให้เกิดลำพลาสมาและมีวงจรควบคุมการจุดดับของลำ พลาสมา เป็นตัวควบคุมการตัดต่อไป

เอกสารนี้เป็นเอกสารที่สงวนไว้สำหรับการใช้งานเพื่อการศึกษาเท่านั้น ไม่อนุญาตให้นำไปใช้ประโยชน์ด้านการค้า ไม่ว่ากรณีใดๆ ทั้งสิ้น อีกทั้งห้ามมิให้ดัดแปลงเนื้อหา และต้องอ้างอิงถึงเจ้าของเอกสารทุกครั้งที่มีการนำไปใช้

# PLASMA CUTTING MACHINE

Thawatchai Tikeaw

Bundit Jumpathong

Piched Suriyot

Somsak Cheersirikul Advisor

2005

## ABSTRACT

This paper is present the component of Plasma Cutting Machine. (in the path of power circuit) Initially the rectifier and filter circuit transform the alternating current 220 Volts 50 Hz to direct 311 Volts. Subsequently the direct current will be changed to high frequency pulses (25kHz) by the MOSFET that it's inside of Full-Bridge converter. Switching characteristic is produced by SG3526 entire pulse width and frequency which it received data from output section to continue the procession. Finally, output voltage of power switching is 250 Volts. That about power 2.5 kW. For 250 D.C voltage feeding to head cutting and 10 A.C Kilo voltage use for trig to generate the plasma beam. It controlled by the plasma cutoff circuits.

เอกสารนี้เป็นเอกสารที่สงวนไว้สำหรับการใช้งานเพื่อการศึกษาเท่านั้น ไม่อนุญาตให้นำไปใช้ประโยชน์ด้านการค้า  
ไม่ว่ากรณีใดๆ ทั้งสิ้น อีกทั้งห้ามมิให้ดัดแปลงเนื้อหา และต้องอ้างอิงถึงเจ้าของเอกสารทุกครั้งที่มีการนำไปใช้

## กิตติกรรมประกาศ

ในการจัดทำปฏิญญาพนธ์ในครั้งนี้คงจะไม่ประสบความสำเร็จ ถ้าไม่มีท่านอาจารย์ที่ปรึกษา(รศ.สมศักดิ์ เขียวศิริกุล) ที่ได้คอยให้คำปรึกษาพร้อมทั้งแนวทางการคิดและขั้นตอนจนถึงเรื่องการแก้ไขปัญหาต่างๆ เป็นผลทำให้ปฏิญญาพนธ์ในครั้งนี้สำเร็จมาด้วยดี พร้อมทั้งขอขอบคุณ ฝ่ายสื่อสารอิเล็กทรอนิกส์ บริษัทการทำอากาศยานไทย จำกัด มหาชน ที่ให้ความเอื้อเฟื้อในด้านสถานที่ และเครื่องมืออุปกรณ์ อีกทั้งขอขอบคุณ กองมาตรฐานเครื่องวัดกรมสื่อสารทหารอากาศ กองทัพอากาศ ที่ให้ความอนุเคราะห์ทางด้านเครื่องมือวัดต่างๆ อีกทั้งขอขอบคุณเพื่อนๆ พี่ๆ ที่คอยช่วยเหลือในเรื่องต่างๆ หลายๆ เรื่องเช่น ให้ยืมเครื่องมือและคอยให้กำลังใจที่ดีตลอดมาในการทำปฏิญญาพนธ์ในครั้งนี้

ผู้จัดทำ



เอกสารนี้เป็นเอกสารที่สงวนไว้สำหรับการใช้งานเพื่อการศึกษาเท่านั้น ไม่อนุญาตให้นำไปใช้ประโยชน์ด้านการค้าไม่ว่ากรณีใดๆ ทั้งสิ้น อีกทั้งห้ามมิให้ตัดแปลงเนื้อหา และต้องอ้างอิงถึงเจ้าของเอกสารทุกครั้งที่มีการนำไปใช้

## สารบัญ

หัวข้อ	หน้า
บทคัดย่อ	
ABSTRACT	
สารบัญ	
บทที่ 1 เครื่องตัดโลหะด้วยลวดพลาสมา	1
1.1 พลาสมาคืออะไร	1
1.2 เครื่องอาร์คไฟฟ้าพลาสมา	1
1.2.1 ความสำเร็จของเครื่องเชื่อมพลาสมา	2
1.2.2 แก๊สพลาสมา	3
1.2.3 แก๊สเชื้อเพลิงพลาสมา	3
1.2.4 แก๊สปกคลุมพลาสมา	3
1.2.5 เครื่องประกอบของเครื่องตัดพลาสมา	3
1.2.6 เครื่องจ่ายกำลังของเครื่องเชื่อมพลาสมา	4
1.2.7 การต่อแหล่งจ่ายกำลังขนาดเล็ก	4
1.2.8 ค่าอัตราพิกัดที่ใช้งานของเครื่องเชื่อมพลาสมา	5
1.2.9 หัวเชื่อมพลาสมา	5
1.2.10 เทคนิคการเชื่อมด้วยพลาสมา	5
1.2.11 เทคนิคการหลอมละลาย	5
1.2.12 เทคนิคการเจาะทะลุเป็นรูคุณภาพ	6
1.2.13 ตารางค่าตัวแปรต่างๆ ของเครื่องเชื่อมพลาสมา	6
1.3 เครื่องตัดพลาสมา	6
1.3.1 ทำไมถึงใช้พลาสมาในการตัด	7
1.3.2 ความเร็วในการตัด	7
1.3.3 องค์ประกอบของเครื่องตัดพลาสมา	8

เอกสารนี้เป็นเอกสารที่สงวนไว้สำหรับการใช้งานเพื่อการศึกษาเท่านั้น ไม่อนุญาตให้นำไปใช้ประโยชน์ด้านการค้า  
ไม่ว่ากรณีใดๆ ทั้งสิ้น อีกทั้งห้ามมิให้ดัดแปลงเนื้อหา และต้องอ้างอิงถึงเจ้าของเอกสารทุกครั้งที่มีการนำไปใช้

## สารบัญ (ต่อ)

	หน้า
1.3.4 หัวตัดพลาสติก	8
1.3.5 ควบคุมเครื่องตัดพลาสติก	8
1.3.6 แหล่งจ่ายกำลังของเครื่องตัดพลาสติก	9
1.3.7 การทำงานของเครื่องอาร์คพลาสติก	9
1.3.8 การปรับแต่งเครื่องตัดพลาสติก	10
1.3.9 พลาสติก	10
1.3.10 เครื่องตัดพลาสติกที่ใช้น้ำปกคลุม	10
1.3.11 เครื่องพลาสติกที่มีน้ำอัดฉีด	10
1.3.12 แก๊สเชื้อเพลิงพลาสติก	11
<b>บทที่ 2 ทฤษฎีและหลักการพื้นฐานของลิวทิงเพาเวอร์ซ์ซัพพลาย</b>	<b>12</b>
<b>2.1 วงจรเรียงกระแสและกรองกระแส</b>	<b>12</b>
2.1.1 ไดโอดเรียงกระแส	13
2.1.2 ตัวเก็บประจุกรองกระแส	14
<b>2.2 วงจรคอนเวอร์เตอร์</b>	<b>16</b>
2.2.1 ฟลายแบคคอนเวอร์เตอร์	16
2.2.2 ฟอร์เวิร์ดคอนเวอร์เตอร์	17
2.2.3 พูช-พูลคอนเวอร์เตอร์	18
2.2.4 ฮาล์ฟ-บริดจ์คอนเวอร์เตอร์	19
2.2.5 พูล-บริดจ์คอนเวอร์เตอร์	20
<b>2.3 วงจรควบคุม</b>	<b>20</b>
2.3.1 วงจรควบคุมในโหมดควบคุมจากแรงดัน	21
2.3.2 วงจรควบคุมในโหมดควบคุมจากกระแส	23
<b>2.4 วงจรขับ</b>	<b>25</b>
2.4.1 วงจรขับเพาเวอร์ทรานซิสเตอร์	25
2.4.2 วงจรขับเพาเวอร์มอสเฟต	27

เอกสารนี้เป็นเอกสารที่สงวนไว้สำหรับการใช้งานเพื่อการศึกษาเท่านั้น ไม่อนุญาตให้นำไปใช้ประโยชน์ด้านการค้า  
ไม่ว่ากรณีใดๆ ทั้งสิ้น อีกทั้งห้ามมิให้ดัดแปลงเนื้อหา และต้องอ้างอิงถึงเจ้าของเอกสารทุกครั้งที่มีการนำไปใช้

สารบัญ (ต่อ)

	หน้า
<b>2.5 วงจรสับเบอร์</b>	30
2.5.1 วงจรสับเบอร์ช่วงหยุดนำกระแส	30
2.5.2 วงจรสับเบอร์ป้องกันแรงดันเกิน	32
2.6 อุปกรณ์สารกึ่งตัวนำ	34
2.6.1 ฟาสต์-รีคัพเวอร์และอูลตราฟาสต์-รีคัพเวอร์ไดโอด	34
2.6.2 ซอตตี้ไดโอด	35
2.6.3 เพาเวอร์ทรานซิสเตอร์	35
2.6.4 เพาเวอร์มอสเฟต	37
2.6.5 ไอจีบีที	41
<b>บทที่ 3 หลักการทำงานและการออกแบบวงจร</b>	42
<b>3.1 ส่วนของวงจรควบคุม</b>	42
3.1.1 การควบคุมกระแส	43
3.1.2 วงจรสร้างและควบคุมความกว้างของพัลส์	43
3.1.3 วงจรขับ	45
<b>3.2 ส่วนของวงจรเพาเวอร์สวิตชิง</b>	46
3.2.1 วงจรเรียงกระแสและกรองกระแสทางด้านอินพุต	47
3.2.2 วงจรคอนเวอร์เตอร์	47
3.2.3 การออกแบบหม้อแปลงความถี่สูง	48
3.2.4 วงจรแรงดันสูง	49
3.2.5 วงจรควบคุมการจุด / ดับพลาสมา	50
<b>3.3 วงจรสับเบอร์</b>	50
<b>3.4 การออกแบบวงจร</b>	51
3.4.1 การออกแบบวงจรในส่วนของภาค Switching Power Supply	51
3.4.2 การออกแบบวงจรในส่วนของภาค Drive Gate	51
3.4.3 การออกแบบวงจรในส่วนของภาค Feedback และ Control	52
3.4.4 การออกแบบวงจรในส่วนของภาคควบคุมด้วย IC SG3526A	52

เอกสารนี้เป็นเอกสารที่สงวนไว้สำหรับการใช้งานเพื่อการศึกษาเท่านั้น ไม่อนุญาตให้นำไปใช้ประโยชน์ด้านการค้า  
ไม่ว่ากรณีใดๆ ทั้งสิ้น อีกทั้งห้ามมิให้ดัดแปลงเนื้อหา และต้องอ้างอิงถึงเจ้าของเอกสารทุกครั้งที่มีการนำไปใช้

สารบัญ (ต่อ)

	หน้า
3.4.5 การออกแบบวงจรในส่วนของภาค High Voltage	53
3.4.6 การออกแบบวงจรควบคุมการจุด-ดับพลาสมา	54
บทที่ 4 การทดสอบการทำงาน	55
4.1 การตรวจวัดสัญญาณที่จุดต่างๆของวงจร	55
บทที่ 5 สรุป	66
ภาคผนวก	
กิตติกรรมประกาศ	
หนังสืออ้างอิง	
DATA SHEETS	



เอกสารนี้เป็นเอกสารที่สงวนไว้สำหรับการใช้งานเพื่อการศึกษาเท่านั้น ไม่อนุญาตให้นำไปใช้ประโยชน์ด้านการค้า  
ไม่ว่ากรณีใดๆ ทั้งสิ้น อีกทั้งห้ามมิให้ดัดแปลงเนื้อหา และต้องอ้างอิงถึงเจ้าของเอกสารทุกครั้งที่มีการนำไปใช้

## บทที่ 1

### เครื่องตัดโลหะด้วยลำพลาสมา

#### 1.1 พลาสมาคืออะไร

การเกิดของพลาสมานั้น เป็นเรื่องเกี่ยวกับการแตกตัวของอะตอมแก๊สที่ไหลผ่านกระบวนการอาร์คไฟฟ้า แต่ถ้าเราทำการทดลองสร้างพลาสมาในสุญญากาศแล้วจะปรากฏผลเกิดพลาสมาที่ไม่มีแก๊สปะปนอยู่ แต่พลาสมาจะเกิดจากอิเล็กตรอนแทนเราเรียกว่า แก๊สอิเล็กตรอน

#### 1.2 เครื่องอาร์คไฟฟ้าพลาสมา (Plasma Arc welding : PAW)

เครื่องอาร์คไฟฟ้าพลาสมานั้น มีคุณสมบัติทางความร้อนและความรุนแรงสูงมากกว่าเครื่องอาร์คที่ใช้แก๊สธรรมดาทั่วไป เช่น เครื่องอาร์คแก๊สทังสเตน(Tungsten Inert -Gas : TIG)เครื่องอาร์คแก๊สโลหะ (Metal Inert-Gas :MIG) ซึ่งโดยปกติแล้วอุณหภูมิของพลาสมานั้นจะอยู่ที่ 21,000 °F (11,650 °c) ซึ่งจะเห็นได้ว่าเป็นความร้อนที่สูงมากที่สุดทีเดียว

การต่อใช้งานของเครื่องพลาสมานั้นจะทำได้ 2 ลักษณะ คือ แบบส่งผ่าน (Transferred arc) และแบบไม่ส่งผ่าน (Nontransferred arc) ก่อนจะกล่าวถึงการต่อใช้งานทั้ง 2 แบบนั้นเราจะเริ่มต้นจากการจุดระเบิดพลาสมาก่อน คือ เมื่อเริ่มปล่อยแก๊สที่ลำเลียงจากถังมาสู่หัวตัดแล้วจากนั้นทำการตั้งค่ากระแสที่เครื่องแหล่งจ่ายกำลังค่าหนึ่ง ลำดับต่อไปให้ทำการจุดพลาสมาด้วยการอาร์คด้วยแรงดันความถี่สูง(Frequency Arc Starting) ซึ่งลำดับขั้นตอนจะเหมือนกับการจุดของแก๊สทังสเตน

การใช้งานเครื่องตัดพลาสมานั้นสามารถที่จะต่อใช้งานได้ 2 รูปแบบคือ แบบส่งผ่านและแบบไม่ส่งผ่าน แบบส่งผ่านนั้นหมายความว่ากระแสจากแหล่งจ่ายกำลังนั้นไหลผ่านจากแท่งอิเล็กทรอดที่อยู่ในหัวตัดมายังปากท่อของหัวตัด และส่งต่อไปให้กับชิ้นงาน และไหลกลับเข้าสู่แหล่งจ่ายกำลังอีกครั้งหนึ่งครบวงจร ส่วนในแบบไม่ส่งผ่านนั้นจะหมายถึงกระแสจากแหล่งกำลังไหลจากแท่งอิเล็กทรอดภายในหัวตัดและไหลผ่านปากท่อของน็อตเซ็ลล์ และกลับเข้าสู่แหล่งจ่ายกำลังครบวงจร เห็นได้ว่าทั้งสองแบบนี้แตกต่างกันตรงที่กระแสไหลผ่านสู่ชิ้นงานหรือไม่เท่านั้นและเรานิยมเรียกการต่อแบบส่งผ่านว่า “พลาสมาอาร์ค” และแบบไม่ส่งผ่านว่า “พลาสมา เจ็ส” ในแบบส่งผ่านนั้นจะเป็นที่นิยมใช้งานตัดโลหะมากกว่าแบบไม่ส่งผ่าน

ในส่วนของการปรับเปลวพลาสมาให้มีลักษณะกรวยบางนั้น สามารถปรับแต่งอัตราการใช้ของแก๊สที่ป้อนบริเวณส่วนบนของหัวตัด ซึ่งการปรับนั้นเราควรเริ่มที่จะปรับแต่งให้เปลวที่ออกมา มีลักษณะเป็นเส้นตรงหรือทรงกระบอกและส่วนปลายเป็นกรวย และนี่ก็เป็นเหตุผลหนึ่งที่หัวตัดของพลาสมา มีลักษณะเป็นน็อตเซ็ลล์เซรามิกที่ปากท่อบีบแคบ เพราะมันจะช่วยให้เกิดพลาสมา

เอกสารนี้เป็นเอกสารลิขสิทธิ์สงวนไว้สำหรับใช้ในวงวิชาการศึกษาเท่านั้น ไม่อนุญาตให้ทำซ้ำโดยไม่ขออนุญาตจากเจ้าของลิขสิทธิ์  
ไม่ว่ากรณีใดๆ ทั้งสิ้น อีกทั้งห้ามมิให้ตัดแปลงเนื้อหา และต้องอ้างอิงถึงเจ้าของเอกสารทุกครั้งที่มีการนำไปใช้

เป็นลำดับและมีความร้อนสูงได้ดีและเมื่อเราได้ทำการเพิ่มจำนวนของกระแสและแรงดันจากแหล่งจ่าย กำลังจะทำให้พลาสมานั้นมีความร้อนสูงขึ้นอีก

### 1.2.1 ความได้เปรียบของเครื่องตัดพลาสมา

ความได้เปรียบกว่าเครื่องตัดธรรมดาที่มีอยู่หลายประการอันจะแบ่งเป็นหัวข้อได้ดังนี้

1. การปรับปรุงถึงเรื่องของการควบคุมความร้อนที่ให้กับชิ้นงานได้โดยตรง โดยที่ปราศจากความสกปรกในบริเวณรอบข้าง

2. การรักษาระยะการตัดได้คงที่และสามารถยืนห่างจากชิ้นงานได้มากกว่าเนื่องจากผู้ตัดส่วนใหญ่มีปัญหาเกี่ยวกับการรักษาระดับทิศทางตำแหน่งและระยะของการตัดซึ่งในแบบเก่านั้นต้องยืนทำงานเป็นระยะใกล้มาก

3. พลาสมานั้นจะมีความไวต่ำของการเปลี่ยนขนาดการเชื่อมต่อการเปลี่ยนระยะการเชื่อมซึ่งมักจะเกิดขึ้นเมื่อเราเคลื่อนมือในการเชื่อมหรือตัดจึงอาจกล่าวได้ว่ามีความราบเรียบในการตัดสูงก็ได้

4. จากข้อได้เปรียบของระยะห่างในการทำงานที่มากกว่านั้น ทำให้ลดอันตรายที่เกิดจากการกระเด็นของเศษโลหะที่เราทำการเชื่อมหรือตัด โดยเฉพาะเมื่อเรามีชิ้นงานเป็นสแตนเลส, อลูมิเนียม และไททานเนียมหรือในสถานที่ที่มีความร้อนสูงมากเช่นใน โรงพลังนิวเคลียร์, ท่อในโรงงานเคมีหรือในอวกาศยาน

5. จากเหตุผลที่ว่าพลาสมาที่มีความร้อนสูงมากทำให้ความเร็วในการตัดหรือเชื่อมนั้นเร็วมาก จึงส่งผลให้การกระจายความร้อนในโลหะมีจำกัดในวงแคบๆ

6. โอกาสในการกระเด็นของอิเล็กโทรดที่หลอมละลายนั้นมีจำกัดเพราะแท่งอิเล็กโทรดของหัวตัดพลาสมานั้นจะบรรจุอยู่ภายในนีออนเซิร์นเซรามิก ซึ่งแตกต่างกับหัวตัดทั้งสแตนที่มีแท่งอิเล็กโทรดไหลออกมาจากปากท่อ

7. สามารถบังคับเหล็กที่หลอมละลายหรือการเจาะ โดยวิธีโฮลได้

8. สามารถเชื่อมหรือตัดได้ทั้งแนวตั้งและเหนือศีรษะ

แต่ในความได้เปรียบหลายประการของพลาสมานั้นก็ยังมีข้อด้อยที่สำคัญประการหนึ่ง คือ เรื่องของราคาต้นทุนที่สูงและปัญหาอายุการใช้งานที่สั้นของเซรามิกนีออนเซิร์นอันเนื่องมาจากอุณหภูมิที่สูงของพลาสมานั้นเองและแก๊สที่ใช้มีราคาสูงซึ่งสิ่งทั้งสองนั้นเป็นสิ่งจำเป็นของกระบวนการอันไม่อาจขาดสิ่งใดสิ่งหนึ่งไปได้

เอกสารนี้เป็นเอกสารที่สงวนไว้สำหรับการใช้งานเพื่อการศึกษาเท่านั้น ไม่อนุญาตให้นำไปใช้ประโยชน์ด้านการค้าไม่ว่ากรณีใดๆ ทั้งสิ้น อีกทั้งห้ามมิให้ดัดแปลงเนื้อหา และต้องอ้างอิงถึงเจ้าของเอกสารทุกครั้งที่มีการนำไปใช้

### 1.2.2 แก๊สพลาสมา

เราสามารถใส่แก๊ส 2 ชนิดที่อยู่ในแต่ละถังในการใช้งานได้พร้อมกัน ซึ่งแก๊สอันหนึ่งใช้เป็นเชื้อเพลิงในการกำเนิดพลาสมาและอีกอันหนึ่งใช้ปกคลุมผิวชิ้นงานจากบรรยากาศ

### 1.2.3 แก๊สเชื้อเพลิงพลาสมา

ในกระบวนการพลาสมานั้น ประกอบด้วยอิเล็กตรอนจากแหล่งจ่ายกำลังและไอออนของแก๊ส ซึ่งทั้งสองนั้นจะทำปฏิกิริยาเคมีป้องกันการเกิดออกไซด์อันเป็นสาเหตุของการเกิดสนิมในที่นี้ สมมุติว่าใช้อาร์กอนเป็นเชื้อเพลิงในการใช้งานจริงนั้นเราจะเลือกอาร์กอนมาใช้งานแทนที่ฮีเลียม เพราะราคาถูกกว่าและฮีเลียมมีปัญหาในการจุดพลาสมาได้ลำบาก

ในการจัดลำดับความเร็วในการตัดจะขึ้นอยู่กับปริมาณของกระแสจากแหล่งจ่ายกำลัง และ อัตราการไหลของแก๊ส กล่าวคือ อัตราการไหลของแก๊สถ้าไหลช้าการเจาะโลหะจะทำได้ยากและ ต้องใช้เวลานาน เพราะปริมาณการเกิดพลาสมาต่อวินาทีมีน้อยนั้น หมายถึง ความร้อนต่ำด้วยเพราะ ฉะนั้นเราควรพิจารณาความหนาของชิ้นงานและธาตุที่มีอยู่ในชิ้นงานเป็นหลักยกตัวอย่างเช่นในกรณีเรารีดชิ้นงานที่เป็นโลหะบางๆ เราควรใช้อัตราแก๊สที่ต่ำเพื่อลดความเสี่ยงหรือชิ้นงานเป็นโลหะประเภทอลูมิเนียม หรือทองแดงซึ่งโลหะทั้งสองนี้เป็นชนิดที่มีการนำความร้อนสูง เราควรที่จะใช้แก๊สในอัตราที่สูงเพื่อจะได้ตัดอย่างรวดเร็ว เพื่อความสะดวกอาจตั้งค่าตัวแปรในกระบวนการตามตารางที่ให้ประกอบ

### 1.2.4 แก๊สปกคลุมพลาสมา

ในขณะที่ทำการตัดด้วยพลาสมานั้นลำพลาสมาจะไหลพุ่งออกมาจากอิเล็กโทรด ในขณะที่เฉียดกันก็จะมีแก๊สปกคลุมไหลออกมารอบๆอิเล็กโทรดปกคลุมชิ้นงานเอาไว้ และในระยะเวลาอันสั้นเพียงเสี้ยววินาที แก๊สปกคลุมจะเกิดไอออไนซ์ โดยความร้อนจากพลาสมา ส่วนที่เหลือจึงกลายเป็นแก๊สธรรมดาปกคลุมชิ้นงานป้องกันการเกิดออกไซด์แก๊สปกคลุมที่ใช้ในกระบวนการเชื่อมธรรมดาจะสามารถที่จะนำมาใช้ในกระบวนการพลาสมาได้ ตัวอย่างเช่น อาร์กอน ฮีเลียม หรือเป็นการผสมผสานของแก๊สทั้งสองได้

### 1.2.5 เครื่องประกอบของเครื่องตัดพลาสมา

นอกเหนือจากนี้ออนเชิลด์ที่ต่างกันและแก๊สที่ใช้มี 2 ชนิดแล้ว ที่เหลือจะมีองค์ประกอบที่เหมือนกับเครื่องเชื่อมทั้งสแตนทั้งหมด

เอกสารนี้เป็นเอกสารที่สงวนไว้สำหรับการใช้งานเพื่อการศึกษาเท่านั้น ไม่อนุญาตให้นำไปใช้ประโยชน์ด้านการค้าไม่ว่ากรณีใดๆ ทั้งสิ้น อีกทั้งห้ามมิให้ดัดแปลงเนื้อหา และต้องอ้างอิงถึงเจ้าของเอกสารทุกครั้งที่มีการนำไปใช้

เครื่องเชื่อมหรือตัดพลาสมานั้นมีอุปกรณ์สำคัญอย่างหนึ่งที่เราคาดไม่ถึงนั่นคือ กล้องควบคุม ปริมาณกระแสของเครื่องจ่ายกำลังโดยจะมีลักษณะเป็นกล่องแยกกับตัวเครื่องจ่ายกำลัง กล้องนี้จะมีหน้าปัดแสดงถึงค่ากระแสไฟฟ้าที่จ่ายให้กับงานในขณะนั้นซึ่งถือว่าเป็นค่าที่มีประโยชน์มาก เพราะเราสามารถที่จะตั้งค่าของอัตราของแก๊สที่จะใช้และปริมาณน้ำหล่อเย็นด้วย

หัวเชื่อมพลาสมาทั้งหลายในปัจจุบันนี้จะมีสายไฟฟ้าที่ค่ออยู่กับแหล่งจ่ายกำลังและมีท่อส่งแก๊สที่ต่อกับถังแก๊สเชื้อเพลิงและแก๊สปกคลุมค่ออยู่บริเวณปลายทางหางของหัวเชื่อม และใน ส่วนบนของหัวเชื่อมจะมีปุ่มควบคุม ทั้งปริมาณของการไหลของแก๊สและมีปุ่มการจุดพลาสมาด้วย ทำให้มีความสะดวกในระหว่างการทำงาน

### 1.2.6 เครื่องจ่ายกำลังของเครื่องเชื่อมพลาสมา

โดยส่วนมากแล้วแหล่งจ่ายกำลังจะเป็นลักษณะของไฟฟ้ากระแสตรง สาเหตุนั้นเป็นเพราะ การบำรุงรักษาจะง่ายกว่าการใช้กระแสสลับ และสาเหตุที่สำคัญอีกอย่างนั้นเพราะไฟฟ้ากระแสสลับมี รูปคลื่นเป็นแบบไซเคิลทุกๆ 1 ไซเคิล จะมีจุดที่กระแสนั้นมีค่าเป็นศูนย์ทำให้มีกระแสทางเข้าที่พุท ไม่คงที่ จุดที่แตกต่างกันของแหล่งจ่ายกำลังของพลาสมาและทั้งสแตนด์คือ ค่าโวลต์เตจทางเข้าที่พุท ของพลาสมาในขณะที่เปิดวงจรนั้นมีค่าสูงประมาณ 200-400 โวลต์ และแรงดันที่ตกคร่อมชิ้นงาน ในขณะเชื่อมมีค่าประมาณ 80 โวลต์

### 1.2.7 การต่อแหล่งจ่ายกำลังขนาดเล็ก

ในหัวข้อนี้เราจะพิจารณาถึงการต่อแหล่งจ่ายกำลังขนาดเล็กที่มีกำลังงานทางเข้าที่พุททำให้ สามารถทำงานกันกระบวนกรของพลาสมาที่ต้องการกำลังงานทางเข้าที่พุทสูงในกรณีที่เรามีแหล่ง จ่ายกำลังขนาดเล็กจำนวนที่มากกว่าหนึ่งตัวนั้น เราสามารถที่จะเพิ่มกำลังงานทางเข้าที่พุทโดยนำ เอาเข้าที่พุทของแหล่งจ่ายแต่ละตัวมารวมกันและจะแยกพิจารณาใน 2 กรณี คือ กรณีแรกเป็นการ เพิ่มค่าแรงดันจะทำได้โดยการต่อเข้าที่พุทของแหล่งจ่ายกำลังในแบบอนุกรมกัน ส่วนในกรณีของ การเพิ่มกระแสนั้นเราทำได้โดยการต่อเข้าที่พุทของแหล่งจ่ายกำลังแต่ละตัวในลักษณะขนาด กระแสรวมของเข้าที่พุท(ที่รวมกันแล้ว) จะเท่ากับผลรวมค่ากระแสของแหล่งจ่ายกระแสรวม

การต่อเข้าที่พุทแหล่งจ่ายแบบผสมกันทั้งอนุกรมและขนานกันก็สามารถทำได้ และสิ่งที่ผู้ ใช้งานจะลืมไม่ได้ อย่างหนึ่ง คือ เมื่อเราได้ทำการเพิ่มกระแสและแรงดันทางเข้าที่พุทแล้ว จะส่งผล ทำให้เกิดปัญหาสายไฟที่เราเชื่อมต่อระหว่างแหล่งจ่ายกับหัวเชื่อมร้อนและละลายได้ซึ่งเป็น อันตรายอย่างยิ่งไม่ควรมองข้ามสิ่งนี้ไป

### 1.2.8 ค่าแอมป์ที่ใช้งานของเครื่องเชื่อมพลาสมา

โดยมากแล้วแหล่งจ่ายกำลังของเครื่องเชื่อมพลาสมานั้น จะมีค่าแอมป์พุทเป็นกิโลวัตต์ เช่น 250 แอมแปร์ 200 โวลต์ มีค่ากำลังงานเท่ากับ 50 กิโลวัตต์ เป็นต้น แต่ก็มีเครื่องบางเครื่องที่แสดงค่าแอมป์พุทแยกเป็นจำนวนกระแส และจำนวนแรงดัน แต่เราก็สามารถที่จะหาค่าของกำลังงานทางแอมป์พุทได้ โดยนำค่ากระแสและแรงดันทางแอมป์พุทมาทำการคูณกันจะเป็นค่ากำลังทางแอมป์พุทนั่นเอง

### 1.2.9 หัวเชื่อมพลาสมา

นีออนเซิลันเป็นส่วนที่สำคัญที่สุดของหัวเชื่อมพลาสมาเพราะเส้นผ่านศูนย์กลางของปากนีออนเซิลันนั้นเล็กกว่าเส้นผ่านศูนย์กลางของลำพลาสมาอาร์ค ซึ่งอยู่ในนีออนเซิลันทำให้เกิดการรวมตัวกันของพลังงานเพื่อปลดปล่อยลำพลาสมาออกมาใช้งานโดยจะมีลักษณะที่ตีบ อย่างไรก็ตามอุณหภูมิที่สูงของพลาสมาที่จะส่งผลกระทบต่อนีออนเซิลันโดยตรง หัวเชื่อมพลาสมามีการใช้งานทั้งแบบส่งผ่าน(การอาร์คเกิดขึ้นระหว่างอิเล็กโทรดและชิ้นงาน)และไม่ส่งผ่าน(การอาร์คเกิดขึ้นระหว่างอิเล็กโทรดและนีออนเซิลัน)ในแบบไม่ส่งผ่านลำพลาสมาจะออกมาในลักษณะกรวยที่พุ่งออกมาและมีความร้อนต่ำเพราะการเกิดพลาสมาในแบบไม่ส่งผ่านนั้นมีลักษณะเหมือนการพ่นละอองแก๊สเผาไหม้ออกมาทำให้ความหนาแน่นของพลังงานและความร้อนต่ำ จึงเหมาะที่จะใช้งานกับแผ่นโลหะที่มีความหนาไม่มากในแบบส่งผ่านนั้นเป็นการใช้งานที่มีความร้อนออกมามากเพราะลำพลาสมาพุ่งออกมาเป็นลักษณะทรงกระบอกลำเล็กๆ และอิเล็กตรอนที่อยู่ภายในชิ้นงานสามารถกระโดดเข้าหาแท่งอิเล็กโทรดของหัวเชื่อมได้สะดวกจึงเกิดพลังงานที่บริเวณชิ้นงานสูง

### 1.2.10 เทคนิคการเชื่อมด้วยพลาสมา

เทคนิคการเชื่อมนั้นจะใช้กับการเชื่อมด้วยมือเท่านั้นและไม่ยุ่งยากเพราะระยะห่างระหว่างชิ้นงานกับผู้เชื่อมนั้นมีมากพอสมควรจึงหลีกเลี่ยงอันตรายที่มีต่อผู้เชื่อมและอิเล็กโทรดของหัวเชื่อมที่บางครั้งอาจไปกระทบกับชิ้นงานที่กำลังละลายอยู่ได้

### 1.2.11 เทคนิคการหลอมละลาย

วิธีนี้เป็นการเชื่อมโดยที่ทำให้โลหะที่จะนำมาเชื่อมหลอมละลายและค่อยๆ ทึ่มลวดประสานหรือฟลักลงไปในเหล็กที่ละลายอยู่

### 1.2.12 เทคนิคการเจาะรูถูกูญแจ

เป็นอีกวิธีหนึ่งในการเชื่อมหรือตัดชิ้นงานด้วยเครื่องพลาสมาวิธีนี้เหมาะสมกับชิ้นงานที่มีความหนาไม่มากหรือแผ่นโลหะบางๆ และในวิธีนี้เราจะไม่ใช้ลวดประสานหรือฟลักใดๆ เพราะเราจะต้องแช่หัวเชื่อมหรือหัวตัดไว้จนโลหะละลายและทะลุในที่สุด รุจะมีลักษณะเหมือนกับถูกูญแจจึงเรียกว่าเทคนิคเจาะทะลุแบบถูกูญแจเมื่อเกิดรูขึ้นเราจะนำลวดพลาสมาที่อยู่ภายในรูลากตรงไปตามแนวเชื่อมโลหะที่หลอมละลายจะไหลอยู่รอบๆถูกูญแจ และจะเกิดเป็นแนวเชื่อมขึ้นแต่ควรวางในการเคลื่อนหัวเชื่อมอย่าเคลื่อนไหวเร็วเกินไปเพราะจะทำให้เกิดแนวเชื่อมที่เล็กเกินไปและสิ่งสำคัญอีกประการหนึ่งคือหัวเชื่อมควรวางในแนวตั้งฉากกับชิ้นงานเสมอเพื่อป้องกันน็อนเซิลันแตกร้าว ส่วนในเรื่องของแก๊สที่ใช้ในการเชื่อมนั้นจะต้องมีอัตราไหลสูงกว่าวิธีหลอมละลาย เพราะการที่จะให้เกิดถูกูญแจนั้นจำเป็นต้องใช้ความร้อนสูงมาก ขนาดของโลหะที่จะนำมาใช้นั้นควรมีขนาดประมาณ 6 มิลลิเมตรหรือบางกว่านั้นแต่ถ้ากรณีที่ชิ้นงานมีความหนามากกว่า 6 มิลลิเมตรแล้วเราก็ยังสามารถใช้วิธีนี้ได้ แต่ต้องปรับค่ากระแสจากแหล่งจ่ายกำลังให้มีค่ามากขึ้นกว่าเดิมตามความเหมาะสม

### 1.2.13 ตารางค่าตัวแปรต่างๆของเครื่องเชื่อมพลาสมา

สมาคมการเชื่อมอเมริกัน ได้จัดทำสิ่งตีพิมพ์ขึ้น โดยมีรายละเอียดที่สำคัญคือ“แนะนำวิธีปฏิบัติเมื่อใช้เครื่องเชื่อมพลาสมา”ในสิ่งตีพิมพ์ดังกล่าวจะพูดถึงสิ่งที่ควรรู้เบื้องต้นในการใช้พลาสมา เช่น ขนาดสายลำเลียงที่จะต้องใช้อำนาจกระแสหรือแก๊ส ค่าของกระแส ขนาดชิ้นงานที่ใช้ อัตราการไหลของแก๊ส เป็นต้น

ก่อนที่เราจะใช้อัตราเพื่อตั้งค่าองค์ประกอบให้เหมาะสมนั้นเราควรที่จะต้องรู้ก่อนว่าระบบเครื่องเชื่อมนั้นเป็นแบบอัตโนมัติหรือแบบใช้มือภายในตารางจะมีข้อมูลที่จำเป็นต่อการใช้งานดังต่อไปนี้ ค่ากระแสขนาดเส้นผ่านศูนย์กลางของน็อนเซิลัน(ปากท่อ)อัตราการไหลของแก๊สพลาสมา แก๊สเชื้อเพลิงนั้นเป็นอาร์กอนเสมอ ส่วนแก๊สปกคลุมนั้นอาจจะเป็นอาร์กอน อาร์กอน-ฮีเลียม หรือเป็นอาร์กอนผสมไฮโดรเจนแต่ต้องไม่ใช่ฮีเลียมบริสุทธิ์เพราะการจุดพลาสมาที่ลำบากและรักษา ระดับการเชื่อมไม่คงที่ การเลือกชนิดของแก๊สปกคลุมนั้นจะขึ้นอยู่กับกระแสที่ให้กับโพลและ ความหนาของชิ้นงานและก่อนใช้งานจริงควรทดลองสักเล็กน้อยก่อนทำงานจริงจะป้องกันความผิดพลาดได้

### 1.3 เครื่องตัดพลาสมา (Plasma Arc Cutting : PAC)

เครื่องตัดพลาสมานั้นใช้ตัดโลหะได้หลากหลายและง่ายกว่าเครื่องตัดที่มีมาก่อนหน้านี้ โลหะที่ตัดได้ เช่น คาร์บอน , อลูมิเนียม , สเตนเลส , ทองแดง , ทองเหลือง , บรอนซ์ , นิกเกิล , อลลอย , เซอร์โคเนียม , ยูเรเนียม เป็นต้น

เอกสารนี้เป็นเอกสารที่สงวนไว้สำหรับการใช้งานเพื่อการศึกษาเท่านั้น ไม่อนุญาตให้นำไปใช้ประโยชน์ด้านการค้าไม่ว่ากรณีใดๆ ทั้งสิ้น อีกทั้งห้ามมิให้ดัดแปลงเนื้อหา และต้องอ้างอิงถึงเจ้าของเอกสารทุกครั้งที่มีการนำไปใช้

### 1.3.1 ทำไมจึงใช้พลาสติกในการตัด

พลาสติกสามารถตัดชิ้นงานเป็นจำนวนมากได้ในเวลารวดเร็ว ทำมุมในการตัดและเจาะได้ดี ในการใช้งานความร้อนที่ใช้ชิ้นงานนั้นมีน้อยกว่าเครื่องตัดออกซิเจน ทั้งๆ ที่พลาสติกนั้นร้อนกว่านั้นเป็นเพราะพลาสติกด้วยความเร็วที่สูงกว่าจึงมีความร้อนสะสมน้อยกว่าบนชิ้นงาน แต่อีกอย่างหนึ่ง คือ พลาสติกมีปัญหาในเรื่องไอที่ลอยออกมาจากคลองเลื่อยซึ่งเป็นสาเหตุที่เกิดความเสียหายในการตัดได้ แต่อย่างไรก็ตามพลาสติกยังได้รับความนิยมใช้ในอุตสาหกรรมที่มีการตัดแบบอัตโนมัติที่ชิ้นงานจำนวนมากๆ และมีความเร็วโค้งหรือรูปร่างต่างๆ

อย่างไรก็ตามในส่วนน้อยเท่านั้นที่ใช้งานแบบมือ เพราะเสียงที่เกิดจากพลาสติกเจ้านั้นดังมากและในขณะที่ตัดนั้นจะเกิดควันมากมาย ซึ่งนับว่าเป็นปัญหาสำคัญในการควบคุมแต่ปัญหาดังกล่าวนั้นไม่มีต่อการตัดแบบอัตโนมัติ วิธีที่แก้ปัญหาคือความร้อน , เสียงรบกวนและควันนั้นยังมี คือ ทำการตัดบน โต๊ะที่มีน้ำขังอยู่น้ำบน โต๊ะจะสัมผัสกับผิวด้านล่างของชิ้นงานซึ่งเป็นที่พักของควันและขี้โลหะ ส่วนเสียงรบกวนที่เกิดจากลำพลาสติกได้คลองเลื่อยนั้นจะถูกน้ำดูดซับเสียงไปแต่ก็ยังไม่หมด ทางที่ดีควรสวมเครื่องป้องกันไว้ด้วย

### 1.3.2 ความเร็วในการตัด

ในการใช้เครื่องตัดพลาสติกนั้นสามารถทำความเร็วในการตัดได้ประมาณ 100-150 นิ้ว/นาที (2.5-3.8 เมตร/นาที) ซึ่งการตัดด้วยเครื่องตัดออกซิเจนนั้นทำความเร็วอยู่แค่ 20.25 นิ้ว/นาที (0.5-0.63 เมตร/นาที) เท่านั้น ในการตัดแผ่นโลหะที่มีความหนาไม่มาก พลาสติกทำความเร็วอยู่ที่ 300 นิ้ว/นาที(7เมตร/นาที)แต่อย่างไรก็ตามในการตัดด้วยการใช้มีอนั้นจะไม่สามารถรักษาระดับความเร็วและประสิทธิภาพให้คงที่ได้เหมือนกับการตัดแบบอัตโนมัติ ถึงแม้จะเป็นเครื่องพลาสติกก็ตาม

การตัดแผ่นคาร์บอนที่มีความหนาประมาณ 3 นิ้ว(75ม.ม.)นั้นสามารถทำได้เร็วโดยการตัดด้วยออกซิเจน แต่ถ้าความหนาค่ากว่า 1 นิ้ว(25 ม.ม.) แล้วพลาสติกจะทำการตัดได้เร็วกว่าถึง 3 เท่า สำหรับการตัดสินใจที่จะเลือกนำมาใช้งานนั้นก็ควรพิจารณาจากการลงทุนที่คุ้มค่าหรือไม่เพราะราคาของพลาสติกนั้นค่อนข้างสูงกว่าออกซิเจนมาก จะสังเกตเห็นว่าในธุรกิจที่ต้องการความเร็วในการผลิตและมีผลผลิตเป็นจำนวนมาก ล้วนแล้วแต่ใช้เครื่องตัดพลาสติกในกระบวนการผลิตแทบทั้งสิ้น เพราะให้ผลคุ้มค่ากว่าเมื่อเทียบกับระหว่างต้นทุนและผลผลิต และเครื่องตัดพลาสติกนั้นจะส่งผลที่ได้เปรียบในเชิงเศรษฐศาสตร์ เมื่อการลงทุนเป็นแบบระยะยาวดังจะพบเห็นการใช้งานกับงานหนักๆ เช่น ในอุตสาหกรรม , โรงงานทำแท็งก์น้ำ , การต่อโครงสร้างสะพาน

เอกสารนี้เป็นเอกสารที่สงวนไว้สำหรับการใช้งานเพื่อการศึกษาเท่านั้น ไม่อนุญาตให้นำไปใช้ประโยชน์ด้านการค้าไม่ว่ากรณีใดๆ ทั้งสิ้น อีกทั้งห้ามมิให้ดัดแปลงเนื้อหา และต้องอ้างอิงถึงเจ้าของเอกสารทุกครั้งที่มีการนำไปใช้

### 1.3.3 องค์ประกอบของเครื่องตัดพลาสมา

เครื่องตัดพลาสมามีความต้องการหัวตัด , แหล่งจ่ายกำลัง , ระบบน้ำหล่อเย็นที่สะอาดเป็นสิ่งสำคัญ

### 1.3.4 หัวตัดพลาสมา

หัวตัดพลาสมานั้นประกอบด้วย แกนจับอิเล็กโทรด , แท่งอิเล็กโทรดที่บรรจุภายในนีออนเซิลัน , ระบบน้ำหล่อเย็นที่ระบายความร้อนให้กับอิเล็กโทรด และนีออนเซิลัน และแก๊สพลาสมาที่ไหลพุ่งรอบๆ อิเล็กโทรดใช้ผลิตลำพลาสมาออกมาจากปากนีออนเซิลันนีออนเซิลันนั้นจะมีขนาดเส้นผ่านศูนย์กลางหลายขนาดแล้วแต่ว่าจะนำมาประกอบกับหัวตัดรุ่นใด เส้นผ่านศูนย์กลางของปากนีออนเซิลันจะขึ้นอยู่กับขนาดของกระแสที่ใช้ตัด เช่น เมื่อใช้กระแสในการตัดสูงก็ควรใช้เส้นผ่านศูนย์กลางที่มีขนาดใหญ่ เป็นต้น

ในการเลือกใช้นีออนเซิลันแบบชั้นเดียว(Single port) หรือหลายชั้น(Multiple port) ในการทำงานนั้นสามารถใช้ได้ทั้งคู่แต่มีความแตกต่างกันคือ แบบหลายชั้นนั้นจะสนับสนุนการไหลของแก๊สปกคลุมรอบๆ แก๊สที่ใช้เป็นหลักอยู่และแก๊สทั้งสองจะไหลพุ่งผ่านปากท่อหลัก(ท่อแกนกลางในสุด)ด้วยอัตราการไหลของแก๊สที่เร็วมาก เมื่อเทียบต่อหน่วยพื้นที่หรืออาจกล่าวอีกอย่างว่า อัตราไหลเร็วเท่ากับซูเปอร์โซนิค(เร็วกว่าเสียง) ด้วยเหตุผลนี้จึงไม่แปลกที่พลาสมานั้นมีเสียงรบกวนที่สูงมาก จึงเป็นข้อเสียของหัวหลายชั้นแต่ข้อดีก็คือความเร็วในการตัดเท่ากันนั้นคุณภาพการตัดจะดีกว่าการใช้หัวชั้นเดียว

### 1.3.5 ควบคุมเครื่องตัดพลาสมา

กล่องควบคุมเครื่องตัดพลาสมานั้นจะประกอบด้วยวาล์วโซลินอยด์ที่ใช้ในการเปิด-ปิดแก๊สและน้ำหล่อเย็น ที่ตัวกล่องนี้จะมีหน้าปัดบอกปริมาณเพื่อความสะดวกในการปรับแต่งค่าอัตราการไหลของแก๊สและน้ำหล่อเย็นเพื่อใช้งานที่หลากหลาย และมีสวิตช์เพื่อเปิดและปิดการทำงานของเครื่องและในกล่องควบคุมที่มีโปรแกรมควบคุมอัตโนมัติจะมีคุณสมบัติพิเศษคือ เมื่อเราใช้งานที่กระแสสูงนั้นกล่องควบคุมจะคอยตรวจสอบว่าอัตราไหลของน้ำหล่อเย็นนั้นไหลต่ำกว่าระดับความปลอดภัยที่กำหนดหรือไม่ ถ้าต่ำกว่ากล่องควบคุมจะทำการเพิ่มอัตราไหลน้ำหล่อเย็นให้เร็วขึ้นโดยอัตโนมัติ ในทางกลับกันก็จะปรับให้ค่าลงอัตโนมัติเมื่อใช้กระแสต่ำในการตัด

### 1.3.6 แหล่งจ่ายกำลังของเครื่องตัดพลาสติก

แหล่งจ่ายกำลังที่จะนำมาใช้งานกับเครื่องตัดพลาสติกนั้น จะต้องออกแบบพิเศษ โดยที่จะต้องใช้อะไรที่พุดเปิดวงจรอยู่ในช่วง 120-400 โวลต์ (แตกต่างกับแหล่งจ่ายกำลังของเครื่องเชื่อมพลาสติกอยู่ประมาณ 70-85 โวลต์) หลักสำคัญที่จะมากำหนดขนาดของแหล่งจ่าย คือ ชนิด และความหนาของโลหะที่จะนำมาตัด ความเร็วที่ต้องการในการตัด กระแสคงที่และค่าแรงดันที่ตกคร่อมในขณะที่ตัดชิ้นงาน เครื่องตัดพลาสติกที่ใช้ในโหมด DCSP อิเล็กทรอนิกส์ต่อขั้วลบของแหล่งจ่ายกำลังต่อใช้งานแบบส่งผ่านในการที่ต่อลักษณะนี้นั้นเมื่อนำไปใช้กับงานหนักๆแล้วระบบต้องการแรงดันเปิดวงจรถึง 400 โวลต์ เพื่อใช้เจาะโลหะที่หนาประมาณ 2 นิ้ว (51 ม. ม.) ที่เครื่องตัดที่ใช้มือตัด และที่กระแสระบบต้องการแรงดันเมื่อเปิดวงจรประมาณ 120-200 โวลต์ ในกรณีที่เป็นเครื่องเขาร่องด้วยแลงนั้นแรงดันจะจ่ายให้ชิ้นงานในขณะที่ทำงานควรปรับได้ด้วยเพื่อเพิ่มความยืดหยุ่นให้รับกับชิ้นงานหลากหลายชนิด ผู้ผลิตเครื่องเชื่อมทั้งหลายนั้นส่วนใหญ่แล้วจะไม่ผลิตแหล่งจ่ายกำลังที่ใช้กับเครื่องเชื่อมมือเพราะเกิดปัญหาเรื่องความปลอดภัยมากจึงไม่คุ้มที่จะสร้าง ส่วนใหญ่จะสร้างแบบที่ใช้กับเครื่องอัตโนมัติ

กระแสเอาต์พุตจากแหล่งจ่ายกำลังเครื่องตัดพลาสติกนั้นจะมีค่าประมาณที่ 7.0-100 แอมแปร์ ขึ้นอยู่กับชิ้นงานที่นำมาตัดว่าหนาขนาดไหน และความต้องการความเร็วในการตัดแค่ไหนถ้าชิ้นงานที่นำมาตัดหนาและเราต้องการความเร็วในการตัดเราจะต้องใช้กระแสที่สูงจากแหล่งจ่ายกำลังในการตัด เป็นต้น ในแหล่งจ่ายกำลังต่างๆ ไปนั้นจะมีวงจรความถี่สูง (High Frequency Circuit) ที่ใช้ในการจุดพลาสติกมารวมอยู่ด้วย

### 1.3.7 การทำงานของเครื่องอาร์คพลาสติก

ในการต่อใช้งานแบบส่งผ่านอาร์คนั้นจะเกิดเมื่อมีการชนกันของแท่งอิเล็กโทรดกับชิ้นงาน โดยจะมีการกระตุ้นจากวงจรความถี่สูงเป็นตัวจุดพลาสติก จะปรากฏลำพลาสมาพุ่งออกมาจากนีออนเซิลัน แหล่งจ่ายกำลังได้ถูกออกแบบเพื่อรักษาระดับกระแสค่าให้คงที่ การแตกตัวของอะตอมแก๊สจากลำพลาสมาที่พุ่งผ่านมาจากนีออนเซิลัน

เนืองนีออนเซิลันที่ใช้นั้นเป็นตัวที่ปลดปล่อยอุณหภูมิที่สูงมาก(ประมาณ 18,000-25,000 °F หรือ 9,000-13,870 °C) ทำให้วัสดุที่นำมาใช้ทำนั้นสำคัญมากทำจากทองแดงชุบแข็ง นีออนเซิลันที่นำมาใช้ ควรจะมีสัญลักษณ์ที่บ่งบอกขอบรอยต่อภายในนีออนเซิลันอย่างชัดเจนระหว่างแก๊สและพลาสติกอีกอย่างหนึ่ง คือ อุณหภูมิที่สูงมากนั้นจะส่งผลให้เกิดการหลอมละลายหรือไอความร้อนขึ้นที่นีออนเซิลันแทนที่จะส่งความร้อนทั้งหมดไปให้กับชิ้นงานทำให้อายุการใช้งานของนีออนเซิลันสั้นลง

เอกสารนี้เป็นเอกสารที่สงวนไว้สำหรับการใช้งานเพื่อการศึกษาเท่านั้น ไม่อนุญาตให้นำไปใช้ประโยชน์ด้านการค้าไม่ว่ากรณีใดๆ ทั้งสิ้น อีกทั้งห้ามมิให้ดัดแปลงเนื้อหา และต้องอ้างอิงถึงเจ้าของเอกสารทุกครั้งที่มีการนำไปใช้

### 1.3.8 การปรับแต่งเครื่องพลาสมา

หลายครั้งที่การปรับแต่งค่าตัวแปรต่างๆ ในระบบจะช่วยให้คุณภาพการตัดดีขึ้นอย่างเช่น เราต้องการตัดโลหะที่มีความหนา 3-38 มม. นั้นการใช้แก๊สปกคลุมและน้ำผสมกับลำพลาสมาจะ ทำให้คุณภาพการตัดดีขึ้น

### 1.3.9 พลาสมาคู่(Dual flow Plasma cutting)

พลาสมาคู่ นั้นเกิดจากการใช้หัวตัดที่มีช่องแก๊สทั้งสองชั้นนั่นเอง โดยจะประกอบด้วยช่องที่พลาสมาพุ่งออกมาและจะมีช่องแก๊สปกคลุมชั้นที่สองไหลปกคลุมรอบๆลำพลาสมาอีกทีหนึ่ง ซึ่งเป็นพลาสมาที่ใช้แก๊สในโครเจนเป็นเชื้อเพลิงและแก๊สปกคลุมสามารถเลือกตามแต่ละชนิดของชิ้นงานที่นำมาใช้ตัด สำหรับโลหะที่มีความละเอียดนั้นอาจใช้แก๊สคาร์บอนไดออกไซด์ หรืออากาศก็ได้ ผลที่ได้ก็จะทำความเร็วในการตัดได้สูงแต่คุณภาพในการตัดไม่ดีเท่าที่ควร สำหรับงานบางอย่างแก๊สคาร์บอนไดออกไซด์นิยมใช้เป็นแก๊สปกคลุมเมื่อใช้สแตนเลสอาร์กอน-ไฮโดรเจน เป็นแก๊สผสมที่ใช้ในการตัดอะลูมิเนียม

### 1.3.10 เครื่องตัดพลาสมาที่ใช้เครื่องปกคลุม

เทคนิคนี้จะคล้ายกับพลาสมาคู่เพียงแต่ใช้น้ำแทนที่แก๊สปกคลุมชั้นที่สองเท่านั้น แต่ปรากฏว่าอายุการใช้งานเมื่อเทียบกับพลาสมาคู่สูงขึ้นแต่การตัดนั้นงานที่ได้ก็อาจไม่เป็นเหลี่ยมที่สวยงามและความเร็วต่ำกว่าพลาสมาที่มีการใช้แก๊สปกคลุมเล็กน้อย

### 1.3.11 เครื่องตัดพลาสมาที่มีน้ำอัดฉีด

การใช้เทคนิคนี้เราใช้หัวตัดที่มีช่องสมมาตรบริเวณปากท่อของนีออนเซิลันฉีดน้ำออกมาใส่ลำพลาสมา โดยน้ำจะปกคลุมลำพลาสมาที่มีการเผาไหม้รุนแรง อันเกิดจากบรรยากาศโดยรอบ ชั้นนอกสุดของนีออนเซิลันนั้น ทำจากเซรามิกเพื่อป้องกันการอาร์คซ้อน(Double arcing) การอาร์คซ้อนนั้นเกิดขึ้นได้จากการที่อาร์คจากอิเล็กโทรดกระโดดไปที่นีออนเซิลันแล้วจึงไปที่ชิ้นงาน ซึ่งการเกิดเหตุการณ์ดังกล่าวนี้เป็นสาเหตุทำให้เกิดนีออนเซิลันเสียหายได้

การใช้น้ำร่วมกับพลาสมานั้นเสมือนเป็นการจำกัดพลาสมา ทำให้งานที่ได้มีความคมของรอยตัดสูงและความเร็วที่ได้ก็ดีกว่าเครื่องตัดพลาสมาธรรมดาๆไปเพราะน้ำที่ฉีดออกมาเป็นลักษณะของละอองที่มีความเย็นอยู่ทำให้คลอกลงนั้นมีความคมของเหลี่ยมมุมมากกว่าปกติ เมื่อน้ำและแก๊สที่ไหลอยู่ในหัวตัดสัมผัสกันแก๊สภายในนีออนเซิลันจะเกิดการหมุนวนออกมาจากปากท่อ และผสมกับละอองน้ำที่พุ่งออกมาจะทำให้การตัดเกิดเหลี่ยมจากบริเวณรอยต่อคลอกลงได้ เอกสารนี้เป็นเอกสารที่สงวนไว้สำหรับการใช้งานเพื่อการศึกษาเท่านั้น ไม่อนุญาตให้นำไปเผยแพร่โดยไม่ผ่านการยินยอมจากเจ้าของเอกสารทุกครั้งที่มีการนำไปใช้

ดี กระบวนการลักษณะนี้จึงเหมาะกับงานที่ต้องการความคมสูง แต่สิ่งที่ควรคำนึงถึงอีกอย่างหนึ่ง คือการตัดนั้นหรือระดับของหัวตัดควรต้องทำมุมฉากกับชิ้นงานเสมอ

### 1.3.12 แก๊สเชื้อเพลิงพลาสมา

การเลือกใช้แก๊สเชื้อเพลิงนั้นมีพื้นฐานอยู่ว่าเราใช้โลหะที่จะนำมาตัดเป็นชนิดใด ความต้องการ คุณภาพ ความเรียบของผิวชิ้นงานที่ตัดแล้วมากแค่ไหน โดยทั่วไปโลหะที่ไม่มีแม่เหล็กผสมอยู่ แก๊สเชื้อเพลิงจะใช้ในโตรเจนหรือไนโตรเจน-ไฮโดรเจนหรืออาร์กอน-ไฮโดรเจนผสมกัน ในส่วนของการตัดไททานเนียมหรือเซอร์โคเนียมนั้น จะใช้อาร์กอนบริสุทธิ์เป็นแก๊สเชื้อเพลิง เพราะโลหะเหล่านั้นมีความไวอย่างมากต่อปฏิกิริยาแตกตัวของแก๊สโดยเฉพาะอย่างยิ่งแล้วเมื่อใช้ไฮโดรเจนเป็นแก๊สเชื้อเพลิง

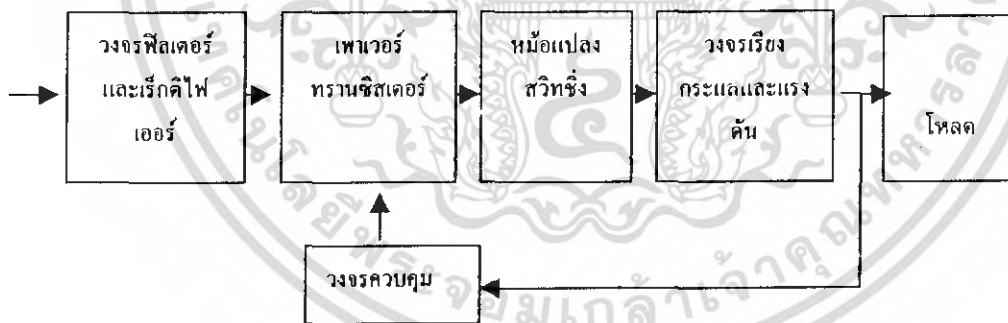
โลหะที่ผสมคาร์บอนจะใช้อากาศในการอัดตัว(ไนโตรเจน 80% ก๊บออกซิเจน 20%) หรือไนโตรเจนบริสุทธิ์ ในโตรเจนควรใช้กับหัวตัดที่มีระบบนำอัดฉีดในการตัดโลหะที่ไม่มีเหล็กปนอยู่นั้น บางครั้งเราใช้วิธีพลาสมาคู่ก็ได้โดยใช้ไนโตรเจนเป็นแก๊สเชื้อเพลิงและคาร์บอน ไดออกไซด์เป็นแก๊สปกคลุมหรือเพื่อที่จะให้คุณภาพที่ดียิ่งขึ้น ควรใช้อาร์กอน-ไฮโดรเจนเป็นแก๊สเชื้อเพลิงและไนโตรเจนเป็นแก๊สปกคลุม

## บทที่ 2

### ทฤษฎีและหลักการพื้นฐานของสวิตซ์ชิงเพาเวอร์ซัพพลาย

สวิตซ์ชิงเพาเวอร์ซัพพลายจะมีองค์ประกอบที่ไม่ซับซ้อนมากนัก ซึ่งจะมีองค์ประกอบ พื้นฐานที่คล้ายคลึงกันสำหรับสวิตซ์ชิงเพาเวอร์ซัพพลาย โดยทั่วไป ดังแสดงในรูปที่ 2.1 หัวใจสำคัญของสวิตซ์ชิงเพาเวอร์ซัพพลายจะอยู่ที่ภาคคอนเวอร์เตอร์ เนื่องจากจะมีทั้งตัวลวดทองแดงและค่าแรงดันที่เอาต์พุตด้วย ส่วนองค์ประกอบต่าง ๆ จะทำงานกันเป็นลำดับดังนี้

แรงดันไฟสลับ 220 โวลต์จะผ่านเข้ามาทางวงจรเรกติไฟเออร์และฟิลเตอร์เพื่อกรองสัญญาณรบกวนและจะถูกเปลี่ยนเป็นแรงดันไฟตรงค่าสูงโดยเพาเวอร์มอสเฟต, ทรานซิสเตอร์หรือ ไอจีบีที จะตัดต่อแรงดันออกเป็นช่วง ๆ ด้วยความถี่สูงประมาณ 20 – 200 กิโลเฮิร์ตซ์ จากนั้นจะผ่านเข้าไปยังหม้อแปลงสวิตซ์ชิงเพื่อลดทอนแรงดันให้มีค่าต่ำลง ที่เอาต์พุตของหม้อแปลงจะมีวงจรเรียงกระแสและกรองแรงดันให้เรียบเสถียรก่อน จึงสามารถจ่ายกระแสให้โหลดได้ การคงค่าแรงดัน จะทำได้โดยการป้อนกลับค่าแรงดันที่เอาต์พุต ซึ่งจะมีผลทำให้แรงดันที่เอาต์พุตคงที่ได้



รูปที่ 2.1 แสดงองค์ประกอบพื้นฐานของสวิตซ์ชิงเพาเวอร์ซัพพลายโดยทั่วไป

#### 2.1 วงจรเรียงกระแสและกรองกระแส

วงจรเรียงกระแสและกรองกระแสเป็นส่วนสำคัญของวงจรในส่วนอินพุตและเป็นตัวกำหนดค่าอัตราทอนกระแสของพีวส์และวงจรกรองกระแสและไดโอดเรียงกระแส ซึ่งมีหน้าที่หลักในการแปลงแรงดันไฟสลับเป็นไฟตรงเพื่อเป็นแรงดันอินพุตให้กับวงจรคอนเวอร์เตอร์ต่อไป

### 2.1.1 ไดโอดเรียงกระแส

การเลือกใช้ไดโอดเรียงกระแสให้เหมาะสมกับการใช้งานควรมีข้อควรพิจารณา ดังนี้

#### 2.1.1.1 ค่ากระแสกระชาก : $I(f_{sm})$

กระแสกระชากสูงสุดที่ไหลผ่านไดโอดเรียงกระแสจะเกิดขึ้นในขณะที่เปิดเครื่องเมื่อตัวเก็บประจุฟิลเตอร์ยังไม่มีประจุสะสมอยู่ ค่ากระแสกระชากสูงสุดคำนวณได้จาก

$$I_{fsm} = \frac{V_p}{(R_s + ERS)}$$

- เมื่อ VP คือ แรงดันขอดสูงสุดของไฟสลับอินพุท  
ERS คือ ค่าความต้านทานแฝงในตัวเก็บประจุค่าต่ำสุด  
RS คือ ค่าของตัวต้านทานจำกัดกระแส

โดยทั่วไปแล้วไดโอดเรียงกระแสจะมีค่าอัตราทนกระแสกระชาก  $I(f_{sm})$  ประมาณ 20-30 เท่าของอัตราทนกระแสเฉลี่ยขณะถูกไบแอสตรงของมัน โดยไดโอดที่ใช้จะต้องมีอัตราทนกระแสกระชากมากกว่าค่ากระแสที่คำนวณได้จากสมการ ค่ากระแสกระชากอาจลดลงได้โดยการเพิ่มค่าของ RS แต่จะทำให้เครื่องมีประสิทธิภาพลดลงเนื่องจากเกิดกำลังสูญเสียในตัวต้านทาน

#### 2.1.1.2 ค่ากระแสสูงสุดเมื่อถูกไบแอสตรง : $I(f_{sm})$

ค่ากระแสสูงสุดที่เกิดขึ้นในวงจรเรียงกระแส จะเกิดขึ้นในจังหวะที่ตัวเก็บประจุต้องมีการเก็บประจุอีกครั้งหลังจากคายประจุออกไปให้หมด ค่ากระแสสูงสุดเมื่อถูกไบแอสของไดโอดเรียงกระแส สามารถหาค่าได้จากค่ากระแสสูงสุดของตัวเก็บประจุรองกระแส

#### 2.1.1.3 ค่ากระแสเฉลี่ยเมื่อถูกไบแอสตรง : $I(f_m)$

เป็นค่ากระแสเฉลี่ยสูงสุดที่ไดโอดเรียงกระแสจะได้รับในขณะที่ทำงานการพิจารณาค่ากระแสนี้ทำได้โดยใช้กราฟ ในทางปฏิบัติควรเผื่อค่ากระแสสูงสุด  $I(f_m)$  ของไดโอดไว้ที่ประมาณ 1.5-2 เท่าจากที่คำนวณไว้ เพื่อเพิ่มความปลอดภัยและอายุการใช้งาน

### 2.1.1.4 อัตราแรงดันไบอัสกลับสูงสุด : $V(r_{rm})$

โดยปกติวงจรเรียงกระแสจะต้องต่อเข้ากับแรงดันไฟสลับ 220 โวลต์ ดังนั้นอัตราการทำงานของแรงดันไบอัสกลับของไดโอด ควรต้องมีค่าไม่ต่ำกว่าค่าแรงดันขดสูงสุดของแรงดันไฟสลับ แต่ควรเผื่อค่าแรงดันไบอัสกลับให้มีค่ามากกว่าแรงดันขดสูงสุดของแรงดันไฟสลับเอาไว้ด้วย สำหรับกรณีที่อาจเกิดการทรานเซียนส์ขึ้นในสายไฟสลับ

### 2.1.2 ตัวเก็บประจุกรองกระแส

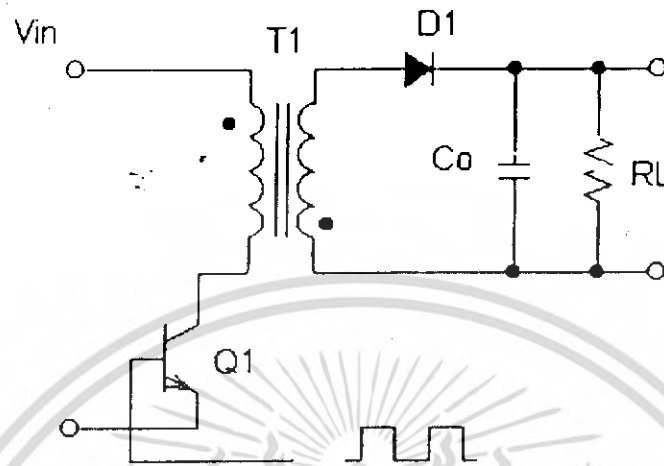
ตัวเก็บประจุมีหน้าที่ในการกรองแรงดันไฟตรงที่ได้จากการเรียงกระแสของไดโอดให้มีค่าเรียบมากขึ้น และช่วยให้กระแสที่ได้มีค่าเพียงพอตามที่วงจรคอนเวอร์เตอร์ต้องการ ตัวเก็บประจุที่ใช้จะต้องมีค่าไม่ต่ำกว่า 1.5 ไมโครฟารัดต่อวัตต์ แต่ในการใช้งานจริงควรพิจารณาเลือกตัวเก็บประจุที่มีปัจจัยดังต่อไปนี้

#### 2.1.2.1 อัตราทนกระแสระลอก (RMS : Ripple Current Rating)

กระแสระลอกในตัวเก็บประจุกรองกระแสเกิดจากการชาร์จประจุและคายประจุของตัวเก็บประจุเอง ซึ่งค่ากระแสจะต้องเป็นผลให้ตัวเก็บประจุร้อนและอายุการใช้งานลดลง การเลือกใช้ใช้งานตัวเก็บประจุกรองกระแสจะต้องให้มีค่าอัตราทนกระแสระลอกมากกว่าค่ากระแสระลอกที่คำนวณได้เพื่อไม่ให้เกิดความร้อนกับตัวเก็บประจุขณะที่ทำงาน ในกรณีที่กระแสระลอกมีค่าสูงการใช้ตัวเก็บประจุนานเกินหลายตัวจะช่วยเพิ่มอัตราทนกระแสระลอกให้ตัวเก็บประจุได้

#### 2.1.2.2 แรงดันกระแสเพิ่มที่เอาต์พุตของวงจรเรียงกระแส (Ripple Voltage)

การกระแสเพิ่มที่แรงดันเอาต์พุตของวงจรเรียงกระแสจะมีผลโดยตรงต่อการทำงานของคอนเวอร์เตอร์ การกระแสเพิ่มที่แรงดันเอาต์พุตทำให้แรงดันที่อินพุตของคอนเวอร์เตอร์มีค่าไม่คงที่ หากยอมให้แรงดันกระแสเพิ่มนี้มีค่ามากก็จะลดความสามารถในการคงค่าแรงดันที่เอาต์พุตของคอนเวอร์เตอร์ลงไป ปกติการออกแบบวงจรกระแสยอมให้มีค่าแรงดันกระแสเพิ่มไม่เกิน 10 เปอร์เซ็นต์ของค่าแรงดันเอาต์พุต



รูปที่ 2.2 แสดงวงจรกรองกระแส

ค่าของตัวเก็บประจุกรองกระแส  $C$  สามารถคำนวณได้จาก  
 เมื่อ  $I_e$  คือ ค่ากระแสประสิทธิภาพผลของวงจรเรียงกระแส  
 $P_i$  คือ ช่วงเวลาที่ตัวเก็บประจุใช้ในการคายประจุ  
 $\Delta V_{\text{ripple}}$  คือ ค่าขอดึงยอดของแรงดันกระแสเพื่อ

#### 2.1.2.3 ช่วงเวลาโฮลด์อัฟ (Hold Time)

ช่วงเวลาโฮลด์อัฟเป็นช่วงเวลาที่ยังสามารถคงค่าแรงดันเอาต์พุตได้ตามปกติที่โหลดสูงสุด เมื่อมีการหยุดจ่ายแรงดัน ไฟสลับหรือค่าแรงดัน ไฟสลับมีค่าต่ำกว่ากำหนดและเพื่อให้วงจรสวิตช์นี้มีค่าเวลาโฮลด์อัฟตัวเก็บประจุที่ใช้จะต้องมีค่ามากพอที่จะจ่ายกระแสให้กับคอนเวอร์เตอร์เมื่อมีการหยุดจ่ายแรงดันไฟสลับ

#### 2.1.2.4 อัตราทนแรงดัน (Voltage Rating)

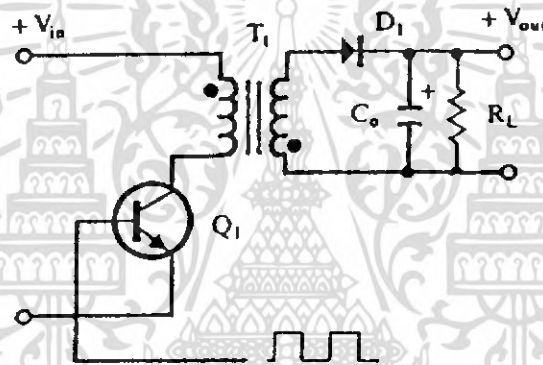
ตัวเก็บประจุกรองกระแสต้องทนแรงดันได้อย่างน้อยที่ค่าแรงดันไฟตรงเอาต์พุตของวงจรเรียงกระแส แต่เพื่อความปลอดภัยควรเลือกอัตราทนแรงดันไว้อย่างน้อยที่ค่าแรงดันไฟตรงสูงสุดที่เป็นไปได้ของคอนเวอร์เตอร์ เช่น ถ้าแรงดันไฟสลับอินพุตมีค่าอยู่ในช่วง 187-264 โวลต์ ควรเลือกอัตราทนแรงดันอย่างต่ำที่ 400 โวลต์

เอกสารนี้เป็นเอกสารที่สงวนไว้สำหรับการใช้งานเพื่อการศึกษาเท่านั้น ไม่อนุญาตให้นำไปใช้ประโยชน์ด้านการค้าไม่ว่ากรณีใดๆ ทั้งสิ้น อีกทั้งห้ามมิให้ดัดแปลงเนื้อหา และต้องอ้างอิงถึงเจ้าของเอกสารทุกครั้งที่มีการนำไปใช้

## 2.2 วงจรคอนเวอร์เตอร์

วงจรคอนเวอร์เตอร์นับว่าเป็นส่วนสำคัญที่สุด มีหน้าที่ลดทอนแรงดัน ไฟฟ้ากระแสตรงค่าสูงลงมาเป็นแรงดันไฟฟ้ากระแสตรงค่าต่ำและสามารถคงค่าแรงดันได้ คอนเวอร์เตอร์มีหลายแบบ ขึ้นอยู่กับลักษณะการจับวงจรภายใน โดยคอนเวอร์เตอร์แต่ละแบบก็จะมีข้อดี-ข้อเสียแตกต่างกันออกไป ดังรายละเอียดต่อไปนี้

### 2.2.1 ฟลายแบคคอนเวอร์เตอร์



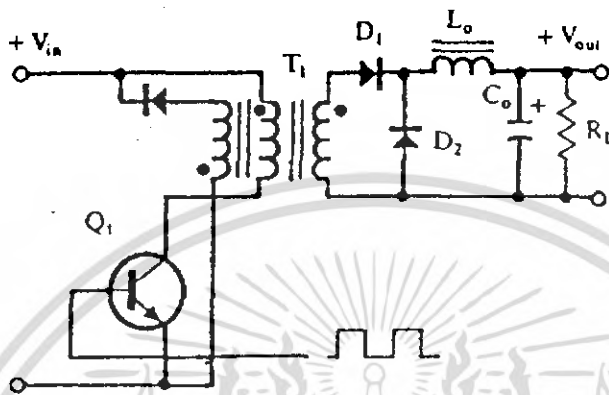
รูปที่ 2.3 แสดงวงจรฟลายแบคคอนเวอร์เตอร์

จากรูปที่ 2.3 เพาเวอร์ทรานซิสเตอร์  $Q_1$  ในฟลายแบคคอนเวอร์เตอร์จะทำงานในลักษณะเป็นสวิตช์ และจะนำกระแสตามคำสั่งของพัลส์สี่เหลี่ยมที่ป้อนให้กับขาเบส เนื่องจากหม้อแปลง  $T_1$  จะกำหนดขดปฐมภูมิและทุติยภูมิให้มีลักษณะกลับเฟสกันอยู่ ดังนั้นเมื่อ  $Q_1$  นำกระแสไดโอด  $D_1$  จะอยู่ในลักษณะถูกไบอัส กลับและไม่นำกระแส ทำให้มีการสะสมพลังงานที่ขดปฐมภูมิของหม้อแปลง  $T_1$  แทน เมื่อ  $Q_1$  หยุดนำกระแส สนามแม่เหล็ก  $T_1$  ยุบตัวทำให้เกิดการกลับขั้วแรงดันที่ขดปฐมภูมิและทุติยภูมิ  $D_1$  ก็จะอยู่ในลักษณะถูกไบอัสตรง พลังงานที่สะสมในขดปฐมภูมิของหม้อแปลงก็จะถูกถ่ายเทออกไปยังขดทุติยภูมิ และมีกระแสไหลผ่านไดโอด  $D_1$  ไปยังตัวเก็บประจุเอาต์พุต  $Q_1$  ช่วงเวลานำกระแสของ  $Q_1$  อัตราส่วนจำนวนรอบของหม้อแปลงและค่าของแรงดันที่อินพุต

ฟลายแบคคอนเวอร์เตอร์เป็นคอนเวอร์เตอร์ที่ให้กำลังงานได้ไม่สูงนัก โดยอยู่ในช่วงไม่เกิน

150 วัตต์ และให้ค่าสัญญาณรบกวน RF/EMI ค่อนข้างสูง แต่ใช้อุปกรณ์จำนวนน้อยและมีราคาถูก เอกสารนี้เป็นเอกสารที่สงวนไว้สำหรับการใช้งานเพื่อการศึกษาเท่านั้น เมื่อนุญาตให้นำไปใช้ประโยชน์ด้านการค้า ไม่ว่าจะกรณีใดๆ ทั้งสิ้น อีกทั้งห้ามมิให้ดัดแปลงเนื้อหา และต้องอ้างอิงถึงเจ้าของเอกสารทุกครั้งที่มีการนำไปใช้

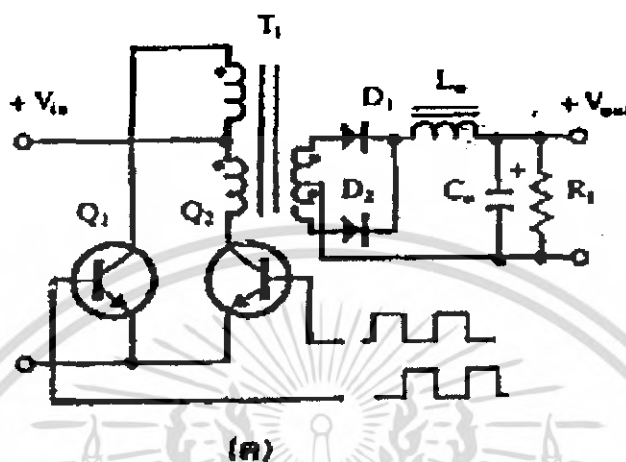
2.2.2 ฟอ์เวิร์คคอนเวอร์เตอร์



รูปที่ 2.4 แสดงวงจรฟอ์เวิร์คคอนเวอร์เตอร์

ในรูปที่ 2.4 จะเห็นได้ว่าฟอ์เวิร์คคอนเวอร์เตอร์มีลักษณะใกล้เคียงกับฟลายแบคคอนเวอร์เตอร์ แต่หม้อแปลง T1 ในฟอ์เวิร์คคอนเวอร์เตอร์จะกำหนดขดปฐมภูมิและขดทุติยภูมิให้มีเฟสตรงกัน ดังนั้นเมื่อ Q1 นำกระแส ไดโอด D1 จะอยู่ในลักษณะถูกไบอัสตรง แต่ D2 จะอยู่ในลักษณะถูกไบอัสกลับและไม่นำกระแส กระแสจึงไหลผ่านไดโอด D1 และตัวเหนี่ยวนำ L ไปยังตัวเก็บประจุเอาต์พุต C และโหลดได้ขณะที่มีกระแสไหลผ่าน L จะมีการสะสมพลังงานไว้ในตัวมันด้วย เมื่อ Q1 หยุดนำกระแสไดโอด D1 จะอยู่ในลักษณะถูกไบอัสกลับ ทำให้ไม่มีกระแสไหลจากขดทุติยภูมิ สนามแม่เหล็กใน L จะยุบตัวทำให้มีการกลับขั้วแรงดันที่คกคร่อมตัวมันอยู่ ไดโอด D2 ออกไปยังโหลดได้ จะเห็นได้ว่าจะมีกระแสไหลผ่านโหลดได้อย่างต่อเนื่องทั้งในช่วงที่ Q1 นำกระแสและหยุดนำกระแส ทำให้มีการกระเพื่อมของแรงดันที่เอาต์พุตต่ำกว่าฟลายแบคคอนเวอร์เตอร์ ฟอ์เวิร์คคอนเวอร์เตอร์ ให้กำลังงานได้ในช่วงเดียวกันกับฟลายแบคคอนเวอร์เตอร์ แต่กระแสที่ได้จะมีการกระเพื่อมต่ำกว่าอย่างไรก็ตาม ตัวอุปกรณ์ที่เพิ่มเข้ามาจะทำให้ฟอ์เวิร์คคอนเวอร์เตอร์นั้นมีราคาสูงกว่า

### 2.2.3 พุช-พูลคอนเวอร์เตอร์

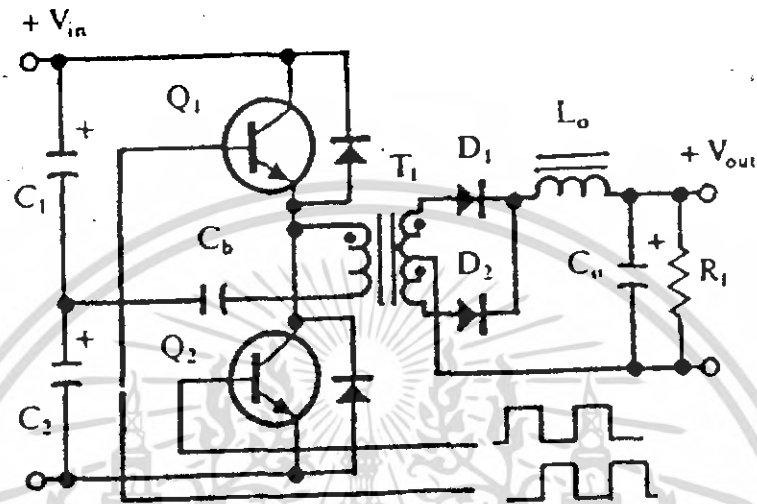


รูปที่ 2.5 แสดงวงจรพุช - พูลคอนเวอร์เตอร์

พุช-พูลคอนเวอร์เตอร์เป็นคอนเวอร์เตอร์ที่สามารถจ่ายกำลังงานได้สูงตั้งแต่ 500 วัตต์ ขึ้นไป แต่มีข้อเสียคือ มักเกิดการไม่สมมาตรฟลักซ์แม่เหล็กของแกนหม้อแปลงซึ่งจะมีผลต่อการพังเสียหายของเพาเวอร์ทรานซิสเตอร์ได้ง่าย อย่างไรก็ตาม ในปัจจุบันเทคนิคการควบคุมแบบควบคุมกระแส จะทำให้ลดปัญหานี้ลงได้ ดังนั้น พุช-พูลคอนเวอร์เตอร์จึงเป็นคอนเวอร์เตอร์ที่น่าสนใจสำหรับวงจรสวิตช์ที่ต้องการกำลังงานสูงๆ

จากรูปที่ 2.5 Q1 และ Q2 จะผลัดกันนำกระแสในแต่ละครึ่งคาบเวลาการทำงานเมื่อ Q1 นำกระแส D1 จะอยู่ในลักษณะถูกไบอัสกลับ แต่ D2 จะอยู่ในลักษณะถูกไบอัสตรงและนำกระแสผ่าน L ไปยังโหลดได้เช่นเดียวกัน ดังนั้น โหลดจึงมีกระแสไหลต่อเนื่องได้ตลอดเวลากระแสที่ได้ทางเอาต์พุตจึงค่อนข้างเรียบ อย่างไรก็ตาม เพาเวอร์ทรานซิสเตอร์ที่เพิ่มเข้ามาจะมีผลต่อค่าใช้จ่ายในการสร้างวงจรพุช-พูลคอนเวอร์เตอร์เช่นกัน

### 2.2.4 ฮาล์ฟ-บริดจ์คอนเวอร์เตอร์

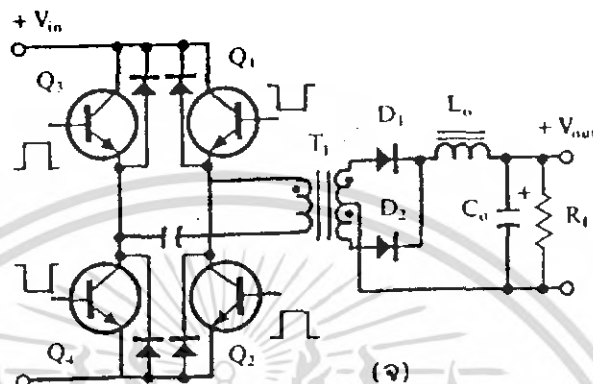


รูปที่ 2.6 แสดงวงจรฮาล์ฟ-บริดจ์คอนเวอร์เตอร์

ฮาล์ฟ-บริดจ์คอนเวอร์เตอร์จัดเป็นคอนเวอร์เตอร์ในตระกูลเดียวกับฟูลคอนเวอร์เตอร์ และให้กำลังงานได้ค่อนข้างสูง ข้อดีของฮาล์ฟ-บริดจ์คอนเวอร์เตอร์ ก็คือ เพาเวอร์ทรานซิสเตอร์ในวงจรมีค่าแรงดันตกคร่อมขณะไม่นำกระแสต่ำกว่าคอนเวอร์เตอร์ทั้ง 3 แบบ ที่ได้กล่าวมาแล้ว และลดการเกิดไม่สมมาตรฟลักซ์แม่เหล็กได้

จากรูปที่ 2.6 จะเห็นได้ว่าหากเพาเวอร์ทรานซิสเตอร์ตัวใดตัวหนึ่งนำกระแส ค่าแรงดันตกคร่อมเพาเวอร์ทรานซิสเตอร์ตัวที่เหลือจะมีค่าเพียงแรงดันอินพุตเท่านั้น เมื่อ Q1 และ Q2 สลับกันนำกระแส ผลที่ได้จะมีลักษณะเดียวกับการทำงานของฟูลคอนเวอร์เตอร์ ยกเว้นค่าแรงดันตกคร่อมขณะทำงานของขดปฐมภูมิจะมีค่าเพียงครึ่งหนึ่งของแรงดันที่อินพุต เนื่องจากผลของการต่อตัวเก็บประจุ C1 และ C2 เพื่อแบ่งครึ่งแรงดัน กระแสที่ไหลผ่านขดทุติยภูมิจึงมีค่าสูง ซึ่งเป็นการจำกัดกำลังงานสูงของคอนเวอร์เตอร์ โดยกำลังสูงสุดที่ฮาล์ฟ-บริดจ์คอนเวอร์เตอร์สามารถทำได้จะอยู่ในช่วงไม่เกิน 500 วัตต์

## 2.2.5 ฟูล-บริดจ์คอนเวอร์เตอร์



รูปที่ 2.7 แสดงวงจรฟูล-บริดจ์คอนเวอร์เตอร์

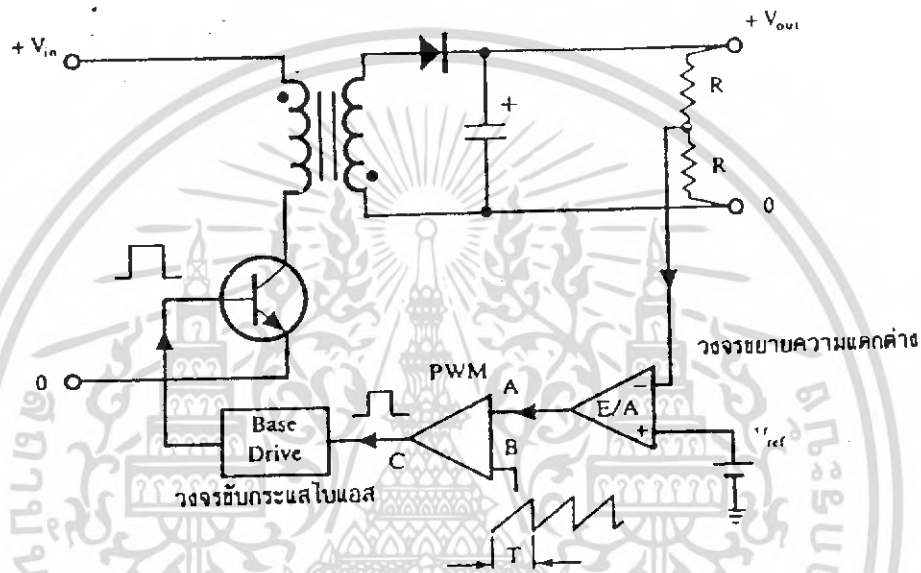
จากรูปที่ 2.7 จะเห็นได้ว่ามีเพาเวอร์ทรานซิสเตอร์ในวงจรทั้งหมดถึง 4 ตัว แต่จะทำงานสลับกันเป็นคู่ ๆ โดย Q1 จะนำกระแสพร้อมกับ Q4 และ Q2 จะนำกระแสพร้อมกับ Q3 กระแสที่ไหลผ่านขดปฐมภูมิของหม้อแปลงจะมีลักษณะเช่นเดียวกับฮาล์ฟ-บริดจ์คอนเวอร์เตอร์ แต่ข้อได้เปรียบของฟูล-บริดจ์คอนเวอร์เตอร์ก็คือ ขณะทำงานที่ขดปฐมภูมิจะมีแรงดันตกคร่อมเท่ากับค่าแรงดันอินพุต กระแสที่ไหลผ่านขดปฐมภูมิจึงมีค่าต่ำกว่า วงจรฟูล-บริดจ์คอนเวอร์เตอร์ทำให้สามารถจ่ายกำลังงานได้สูงกว่า ดังนั้นวงจรสวิตชิ่งที่ต้องการกำลังงานสูง ๆ ตั้งแต่ 500 วัตต์ ถึง 1000 วัตต์ ทำให้มักนิยมใช้คอนเวอร์เตอร์แบบฟูล-บริดจ์เป็นหลัก

## 2.3 วงจรควบคุม

วงจรคอนเวอร์เตอร์ทุกแบบ จะคงค่าแรงดันเอาต์พุตได้โดยการควบคุมช่วงเวลาการนำนำกระแสของเพาเวอร์ทรานซิสเตอร์ ดังนั้นวงจรควบคุมจะใช้เทคนิคพัลส์วิดท์มอดูเลชันเป็นหลักการ ใช้เทคนิคพัลส์วิดท์มอดูเลชัน เพื่อควบคุมช่วงเวลาในการนำกระแสของเพาเวอร์ทรานซิสเตอร์ในคอนเวอร์เตอร์ สามารถทำได้ 2 ลักษณะ การทำงานของวงจรควบคุมคือ โหมคควบคุมจากแรงดันและ โหมคควบคุมจากกระแส

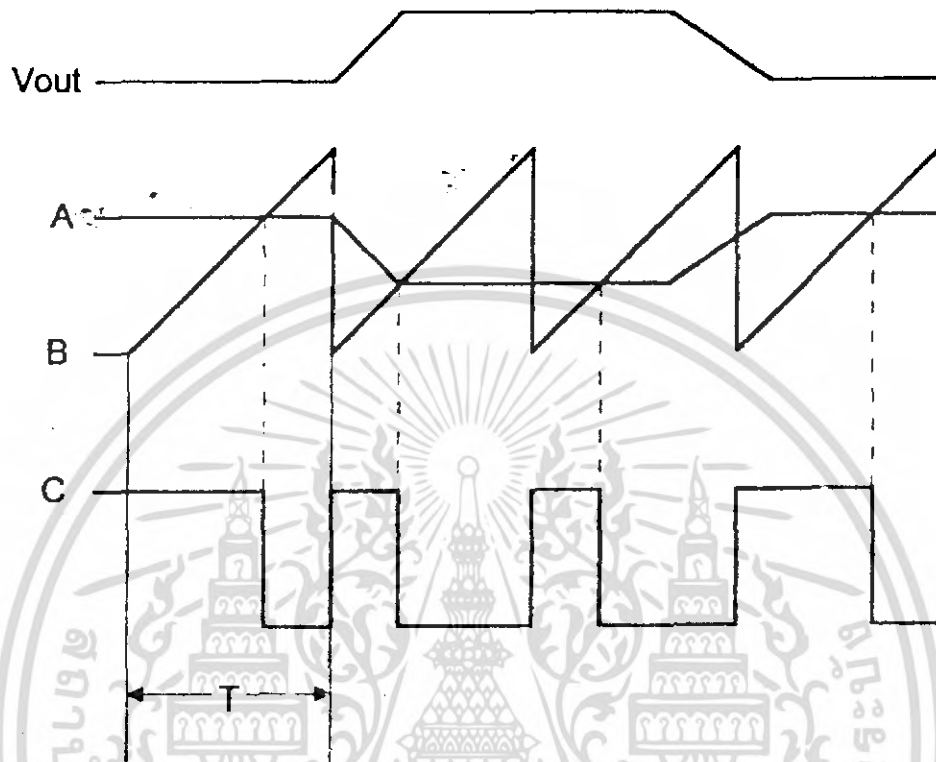
### 2.3.1 วงจรควบคุมในโหมดควบคุมจากแรงดัน

การทำงานของวงจรควบคุมในโหมดนี้ จะอาศัยการตรวจจับการเปลี่ยนแปลงค่าแรงดันที่เอาต์พุตมาทำการควบคุมช่วงเวลาในการนำกระแสของเพาเวอร์ทรานซิสเตอร์ เพื่อการคงค่าแรงดันเอาต์พุตเป็นหลัก วงจรพื้นฐานของวงจรควบคุมในโหมดควบคุมจากแรงดันแสดงดังรูป



รูปที่ 2.8 แสดงวงจรพื้นฐานในโหมดควบคุมแรงดัน

จากรูปที่ 2.8 วงจรควบคุมอาศัยการป้อนกลับของค่าแรงดันเอาต์พุตนำมาเปรียบเทียบกับแรงดันอ้างอิงของวงจรเพื่อตรวจจับการเปลี่ยนแปลงของแรงดันที่เอาต์พุต ค่าความแตกต่างที่ได้จะถูกขยายโดยวงจรขยายวงจรความแตกต่าง (E/A) ก่อนที่จะส่งต่อไปยังวงจรพัลส์วิดท์มอดูเลชัน โดยค่าแรงดันที่ได้จากวงจรขยายความแตกต่างจะถูกเปรียบเทียบกับแรงดันรูปฟันเลื่อย เอาต์พุตที่ได้จากวงจรพัลส์วิดท์มอดูเลชันจะมีลักษณะเป็นพัลส์สี่เหลี่ยม ซึ่งมีคาบเวลาคงที่เท่ากับคาบเวลาของแรงดันรูปฟันเลื่อยและมีความกว้างของพัลส์แปรเปลี่ยนไปตามผลของการมอดูเลชัน ค่าความกว้างของพัลส์นี้เองจะเป็นตัวกำหนดช่วงเวลาในการนำกระแสของเพาเวอร์ทรานซิสเตอร์

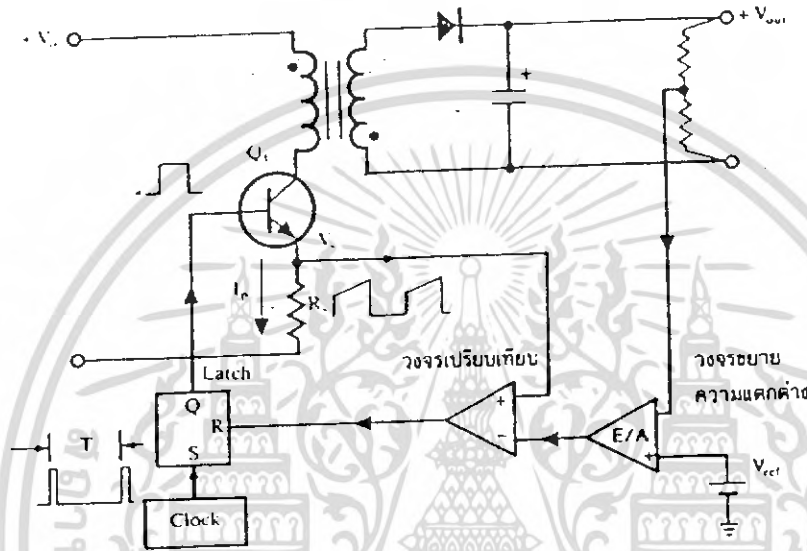


รูปที่ 2.9 แสดงรูปสัญญาณที่จุดต่างๆ ในวงจรควบคุม

เนื่องจากค่าแรงดันที่อินพุตจะถูกส่งมายังวงจรขยายความแตกต่างที่ขาอินเวอร์ต ผลแตกต่างของแรงดันเอาต์พุตและแรงดันอ้างอิงที่จุด A จึงมีลักษณะกลับเฟสอยู่ 180 องศา กล่าวคือ เมื่อแรงดันเอาต์พุตมีค่ามากขึ้นแรงดันที่จุด A จะมีค่าลดลง ความกว้างของพัลส์ที่เอาต์พุตของวงจรพัลส์วิดท์มอดูเลชันจึงมีค่าลดลงด้วย และทำให้ช่วงเวลานำกระแสของเพาเวอร์ทรานซิสเตอร์มีค่าลดลงเช่นกัน ถ้าแรงดันเอาต์พุตมีค่าลดลง แรงดันที่จุด A ก็จะมีค่าเพิ่มขึ้น ความกว้างของพัลส์ที่เอาต์พุตของวงจรพัลส์วิดท์มอดูเลชันจึงมีค่าเพิ่มขึ้นช่วงเวลาการนำกระแสก็จะมีค่าเพิ่มขึ้นเป็นผลให้คอนเวอร์เตอร์สามารถคงค่าแรงดันเอาต์พุตไว้ได้

2.3.2 วงจรควบคุมในโหมคควบคุมจากกระแส

การคงค่าแรงดันเอาต์พุตของคอนเวอร์เตอร์ด้วยวงจรควบคุมในโหมคควบคุมจากกระแสมีข้อดีกว่าโหมคควบคุมจากแรงดันหลายประการ จึงเป็นวงจรควบคุมอีกแบบหนึ่งที่น่าสนใจมาก



รูปที่ 2.10 แสดงวงจรพื้นฐานของวงจรควบคุมในโหมคควบคุมกระแส

เพื่อให้ง่ายแก่การพิจารณา จากรูปที่ 2.10 การทำงานของวงจร เราจะแยกการทำงานของวงจรควบคุมด้วยการตัดวงจรขยายความแตกต่าง E/A ออกไปก่อนและกำหนดขาอินเวอร์ตติ้งของวงจรเปรียบเทียบให้ต่อเข้ากับแรงดันอ้างอิง  $V_{ref}$  วงจร Latch จะทำงานโดยขา Q ของวงจร Latch จะมีสถานะเป็น High เมื่อมีการกระตุ้นที่ขา S และ Q จะมีสถานะเป็น Low เมื่อมีการกระตุ้นที่ขา R

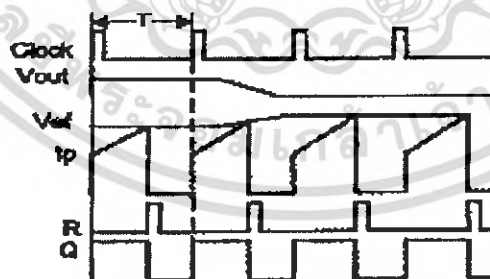
เมื่ วงจรทำงาน วงจรกำเนิดสัญญาณพิคาที่มีคาบเวลาคงที่ไปกระตุ้นที่ขา S ของวงจร Latch ขา Q จึงมีสถานะเป็น High เพาเวอร์ทรานซิสเตอร์  $Q_1$  ก็จะนำกระแส เมื่อ  $Q_1$  นำกระแสจะมีกระแสไหลผ่านขดปฐมภูมิและตัวต้านทาน  $R_s$  ที่ต่ออนุกรมไว้กับ  $Q_1$  ทำให้เกิดแรงดัน  $V_s$  ตกคร่อมที่ตัวต้านทาน  $R_s$  ด้วย

แรงดันตกคร่อม  $R_s$  ที่เกิดขึ้นจะถูกเปรียบเทียบกับแรงดันอ้างอิง  $V_{ref}$  โดยวงจรเปรียบเทียบ ดังนั้นเมื่อค่าของ  $V_s$  เพิ่มขึ้นจนมีค่ามากกว่าค่าของแรงดันอ้างอิง  $V_{ref}$  เอาต์พุตของวงจรเปรียบเทียบจะมีสถานะเป็น High และไปกระตุ้นที่ขา R ของวงจร Latch ทำให้ขา Q มีสถานะเป็น Low เอกสารนี้เป็นเอกสารที่สงวนไว้สำหรับการใช้งานเพื่อการศึกษาเท่านั้น ไม่อนุญาตให้นำไปใช้ประโยชน์ด้านการค้า ไม่ว่ากรณีใดๆ ทั้งสิ้น อีกทั้งห้ามมิให้ดัดแปลงเนื้อหา และต้องอ้างอิงถึงเจ้าของเอกสารทุกครั้งที่มีการนำไปใช้

Low และเพาเวอร์ทรานซิสเตอร์ Q1 หยุดนำกระแส จนกว่าที่ขา S ของวงจรถัก จะได้รับการกระตุ้นจากสัญญาณนาฬิกาอีกครั้ง

จะเห็นได้ว่าความกว้างของเอาต์พุตพัลส์ที่ขา Q ของวงจรถัก จะถูกควบคุมโดยค่าของแรงดัน  $V_s$  ที่ตกคร่อมตัวต้านทาน  $R_s$  นั้นเอง ถ้าค่าแรงดันอินพุตของคอนเวอเตอร์มีค่าเพิ่มขึ้นแรงดัน  $V_s$  จะเพิ่มขึ้นจนมีค่ามากกว่าแรงดันอ้างอิง  $V_{ref}$  ได้เร็วขึ้นด้วย ทำให้ความกว้างของเอาต์พุตพัลส์ลดลงเพาเวอร์ทรานซิสเตอร์จะมีเวลานำกระแสได้น้อยลง ในทางกลับกัน ถ้าแรงดันอินพุตของคอนเวอเตอร์มีค่าลดลง แรงดัน  $V_s$  จะเพิ่มขึ้นได้ช้า ความกว้างของเอาต์พุตพัลส์จึงเพิ่มขึ้น เพาเวอร์ทรานซิสเตอร์จะมีช่วงเวลานำกระแสได้มากขึ้นด้วย จะเห็นได้ว่าเมื่อโหลดคงที่คอนเวอเตอร์จะสามารถคงค่าแรงดันเอาต์พุตเมื่อมีการเปลี่ยนแปลงของแรงดันอินพุตได้ โดยไม่ต้องอาศัยการป้อนกลับแรงดันที่เอาต์พุตเลย ทำให้คอนเวอเตอร์ตอบสนองการเปลี่ยนแปลงของแรงดันอินพุตได้อย่างรวดเร็ว

เมื่อต้องจรรยาขยายความแตกต่าง  $E/A$  เพิ่มเข้ามา วงจรในลักษณะนี้เมื่อแรงดันเอาต์พุตมีค่าลดลง เอาต์พุตของวงจรรขยายความแตกต่าง  $E/A$  จะมีค่ามากขึ้น เพาเวอร์ทรานซิสเตอร์จะใช้เวลานำกระแสมากขึ้นด้วย เพื่อให้ค่าแรงดัน  $V_s$  มากกว่าแรงดันที่เอาต์พุตของวงจรรขยายความแตกต่าง  $E/A$  ในทางกลับกันเมื่อแรงดันเอาต์พุตของคอนเวอเตอร์มีค่าเพิ่มขึ้น เอาต์พุตของวงจรรขยายความแตกต่าง  $E/A$  จะมีค่าลดลง เพาเวอร์ทรานซิสเตอร์จึงใช้เวลานำกระแสลดลงด้วยลักษณะรูปคลื่นและแรงดันขณะทำงานจะเป็นดังรูปที่ 2.11



รูปที่ 2.11 แสดงลักษณะการทำงานที่จุดต่างๆ ของวงจรถักควบคุมในโหมดควบคุมจากกระแส

จากลักษณะการทำงานดังกล่าว ทำให้วงจรควบคุมในโหมดควบคุมจากกระแสมีข้อดีกว่า วงจรควบคุมในโหมดควบคุมจากแรงดัน ดังนี้คือ

1. ตอบสนองการเปลี่ยนแปลงของแรงดันอินพุตได้รวดเร็วกว่า ทำให้ลดปัญหาการคงค่าแรงดันที่เอาต์พุตเมื่อเกิดทรานเซียนส์และการกระเพื่อมของแรงดันสูงที่แรงดันอินพุต เพราะไม่ต้องรอสัญญาณการป้อนกลับจากเอาต์พุต
2. สามารถป้องกันกระแสไหลลเกินได้ด้วยการจำกัดค่ากระแสสูงที่ขดปฐมภูมิในลักษณะพัลส์ต่อพัลส์อย่างรวดเร็ว
3. ให้ค่าไลน์เรกูเลชันที่ดีมาก
4. สามารถต่อขานานคอนเวอร์เตอร์หลายชุดเข้าด้วยกันได้ เพื่อให้จ่ายกระแสได้มากขึ้นและกระแสเฉลี่ยที่คอนเวอร์เตอร์แต่ละชุดจะมีค่าเท่ากัน

## 2.4 วงจรขับ

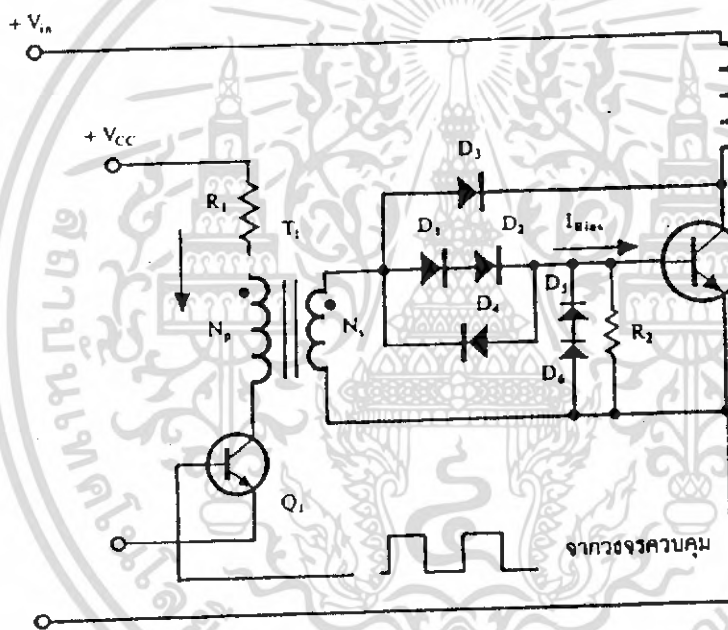
### 2.4.1 วงจรขับเพาเวอร์ทรานซิสเตอร์

ไบโพลาร์เพาเวอร์ทรานซิสเตอร์ เป็นอุปกรณ์ที่ต้องกระตุ้นการทำงานโดยใช้กระแสไบอัสที่ขาเบส เพื่อให้มีกระแสและหยุดนำกระแสได้ และเป็นที่ยอมรับกันโดยทั่วไปว่าการลดประจุสะสมที่เกิดขึ้นในเพาเวอร์ทรานซิสเตอร์ขณะนำกระแสจะขึ้นอยู่กับลักษณะของกระแสไบอัสที่ให้กับเพาเวอร์ทรานซิสเตอร์ ดังนั้นการจัดวงจรขับกระแสไบอัสที่ถูกต้องจะช่วยลดกำลังงานสูญเสียให้กับเพาเวอร์ทรานซิสเตอร์ได้เช่นกัน

วงจรขับกระแสไบอัสนั้นทำได้ 2 ลักษณะคือวงจรขับกระแสไบอัสด้วยกระแสคงที่ (Fixed Base Drive) และวงจรขับกระแสไบอัสด้วยกระแสเบสเป็นสัดส่วนกับกระแสคอลเล็กเตอร์ (Proportional Base Drive) สำหรับคอนเวอร์เตอร์ที่ใช้เพาเวอร์ทรานซิสเตอร์และมีกำลังต่ำกว่า 500 วัตต์ มักนิยมใช้วงจรขับด้วยกระแสคงที่โดยวงจรขับกระแสทำให้กระแสเบสมีค่าคงที่และมากพอที่จะทำให้ทรานซิสเตอร์นำกระแสถึงจุดอิ่มตัวแต่วิธีนี้จะเกิดประจุสะสมในทรานซิสเตอร์ขณะนำกระแสค่อนข้างสูงและใช้เวลานานในการหยุดนำกระแสในขณะที่วงจรขับกระแสไบอัสด้วยกระแสเป็นสัดส่วนนั้น ค่ากระแสที่เบสจะขึ้นอยู่กับค่ากระแสที่ไหลผ่านคอลเล็กเตอร์ ประจุสะสมจะเกิดขึ้นน้อยและการหยุดนำกระแสจะเป็นไปอย่างรวดเร็ว แต่วงจรค่อนข้างยุ่งยากมักใช้กับวงจรคอนเวอร์เตอร์ที่มีกำลังสูงเท่านั้น

### 2.4.1.1 วงจรขับกระแสไบอัสโดยใช้อ้อมแปลงและเบเกอร์เคลมปี

เบเกอร์เคลมปี เป็นวงจรขับกระแสไบอัสด้วยกระแสคงที่ และจัดให้ไดโอดทำงานร่วมกับทรานซิสเตอร์ เพื่อป้องกันการเกิดประจุสะสมเมื่อประจุสะสมเกิดขึ้นน้อยเพาเวอร์ทรานซิสเตอร์ จึงหยุดนำกระแสได้อย่างรวดเร็ว การใช้อ้อมแปลงในการขับกระแส อ้อมแปลงจะเป็นแหล่งจ่ายกระแสสูงให้กับวงจรได้ และเนื่องจากเพาเวอร์ทรานซิสเตอร์ต้องการแรงดันตกคร่อมที่ขาเบสและอีมีตเตอร์ประมาณ 1 ถึง 1.8 โวลต์ ดังนั้นอ้อมแปลงที่มีอัตราส่วนจำนวนรอบ 10:1 ถ้ามีแรงดันที่ขั้วปฐมภูมิค่า 10 ถึง 18 โวลต์ และกระแสเพียง 300 มิลลิแอมป์ อ้อมแปลงจะให้กระแสได้ถึง 3 แอมป์ ดังแสดงวงจรในรูปที่ 2.12



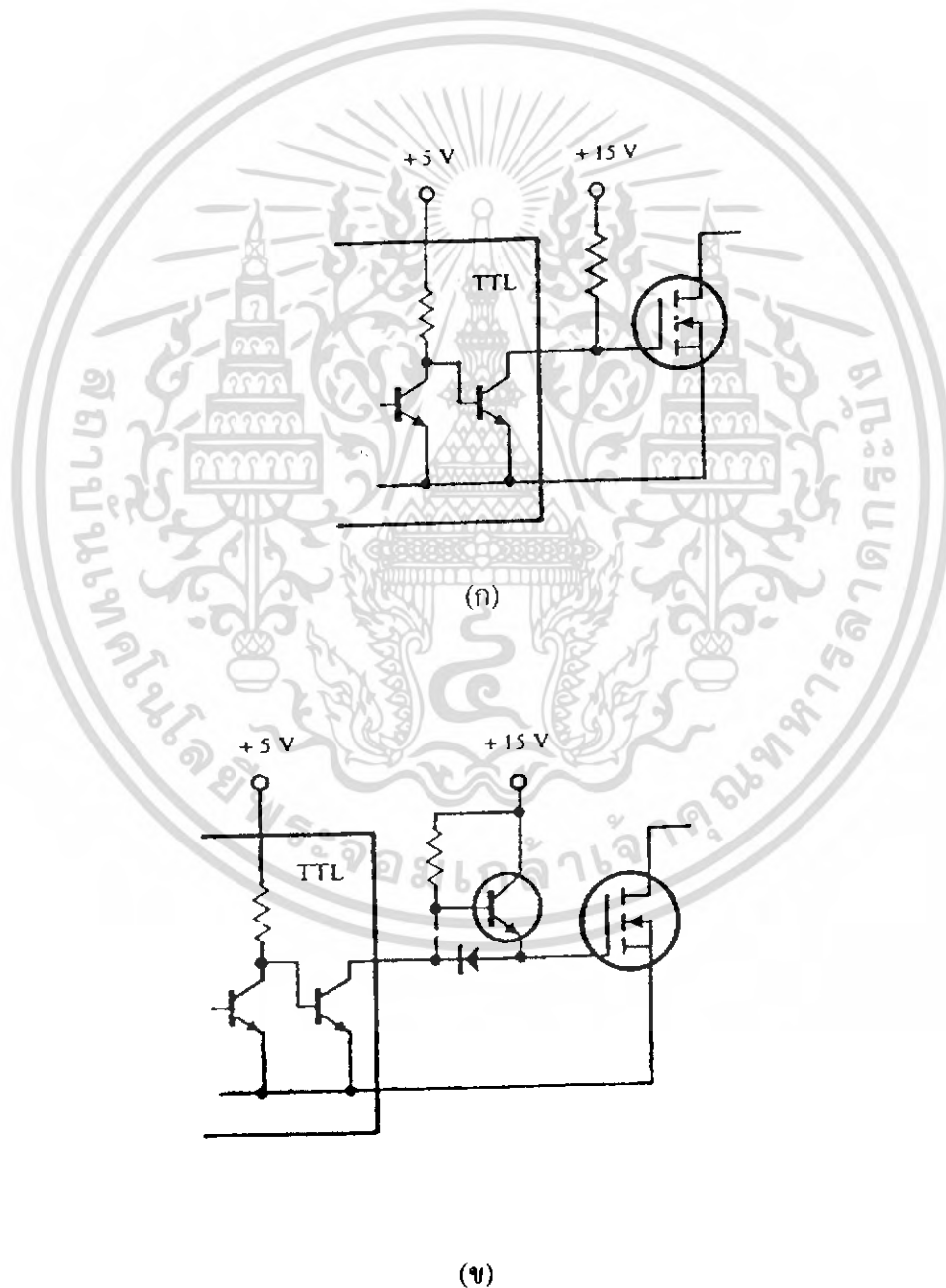
รูปที่ 2.12 แสดงวงจรขับกระแสไบอัสด้วยกระแสคงที่ แบบเบเกอร์เคลมปี

เอกสารนี้เป็นเอกสารที่สงวนไว้สำหรับการใช้งานเพื่อการศึกษาเท่านั้น ไม่อนุญาตให้นำไปใช้ประโยชน์ด้านการค้าไม่ว่ากรณีใดๆ ทั้งสิ้น อีกทั้งห้ามมิให้ดัดแปลงเนื้อหา และต้องอ้างอิงถึงเจ้าของเอกสารทุกครั้งที่มีการนำไปใช้



### 2.4.2.1 วงจรขับเพาเวอร์มอสเฟตด้วย TTL

การขับเพาเวอร์มอสเฟตด้วย ไอซี TTL โดยตรงนั้นสามารถทำได้แต่ไอซี TTL มีขีดจำกัดในการจ่ายกระแสและรับกระแสที่เอาต์พุต ซึ่งมีผลต่อความเร็วในการเปลี่ยนสถานะของเพาเวอร์มอสเฟต และทำให้เกิดกำลังงานสูญเสียสูงได้ การต่อวงจรขับชนิดนี้จึงจำเป็นต้องเพิ่มตัวอุปกรณ์อื่น ๆ เพื่อช่วยในการเปลี่ยนสถานะของเพาเวอร์มอสเฟตเป็นไปอย่างรวดเร็ว

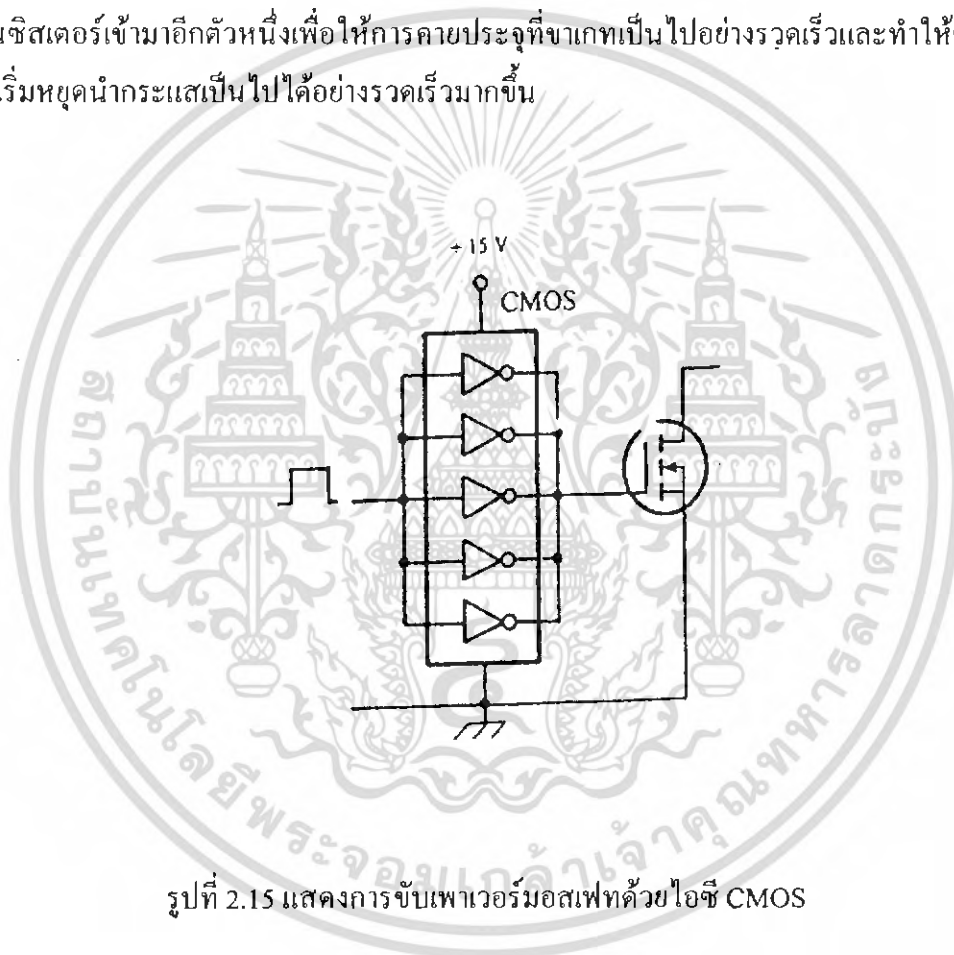


รูปที่ 2.14 แสดงการขับเพาเวอร์มอสเฟตด้วยไอซี TTL แบบต่าง ๆ

เอกสารนี้เป็นเอกสารที่สงวนไว้สำหรับการใช้งานเพื่อการศึกษาเท่านั้น ไม่อนุญาตให้นำไปใช้ประโยชน์ด้านการค้าไม่ว่ากรณีใดๆ ทั้งสิ้น อีกทั้งห้ามมิให้ดัดแปลงเนื้อหา และต้องอ้างอิงถึงเจ้าของเอกสารทุกครั้งที่มีการนำไปใช้

รูปที่ 2.14 (ก) แสดงวงจรจับด้วยไอซี TTL ที่มีเอาต์พุตเป็นแบบคอลเล็กเตอร์เปิด การต่อ พูล์อัพ รีซิสเตอร์เข้าช่วย เพื่อให้มีแรงดันสูงพอที่จะขับเพาเวอร์มอสเฟตให้ทำงานและการหยุดนำ กระแสของเพาเวอร์มอสเฟตเป็นไปได้อย่างเร็วขึ้น แต่ความเร็วขณะเริ่มนำกระแสยังมีค่าจำกัดอยู่เนื่อง จากกระแสยังถูกจำกัดด้วยพูล์อัพรีซิสเตอร์

รูปที่ 2.14 (ข) ทหรานซิสเตอร์จะช่วยในการจ่ายกระแสได้มากขึ้นทำให้ความเร็วในการนำ กระแสของเพาเวอร์มอสเฟตดีขึ้น และลดกำลังสูญเสียในตัว ไอซี TTL ด้วย และวงจรจับจะเพิ่ม ทหรานซิสเตอร์เข้ามาอีกตัวหนึ่งเพื่อให้การคายประจุที่ขากเกตเป็นไปอย่างรวดเร็วและทำให้ความเร็ว ขณะเริ่มหยุดนำกระแสเป็นไปได้อย่างรวดเร็วมากขึ้น



รูปที่ 2.15 แสดงการขับเพาเวอร์มอสเฟตด้วยไอซี CMOS

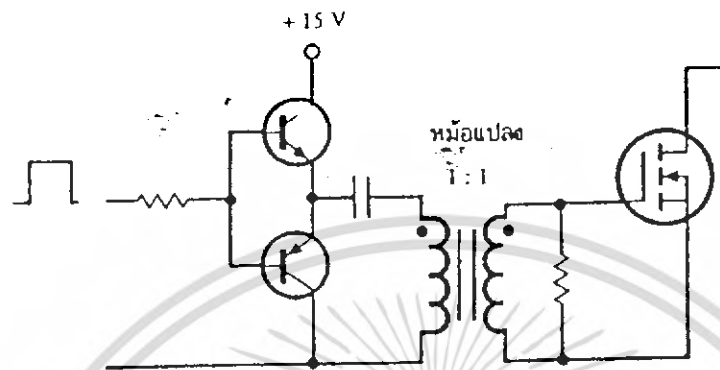
#### 2.4.2.2 วงจรขับเพาเวอร์มอสเฟตด้วยไอซี CMOS

เพาเวอร์มอสเฟตสามารถต่อโดยตรงเข้ากับไอซี CMOS ได้ ในส่วนเอาต์พุตของไอซี CMOS จะเป็นมอสเฟตต่อกันในลักษณะคอมพลิเมนต์ารี ซึ่งสามารถทำงานได้ที่แรงดันไฟเลี้ยงตั้ง แต่ 3 ถึง 18 โวลต์ โดยทั่วไปจะใช้ 12 ถึง 15 โวลต์ เพื่อให้เหมาะสมในการขับเพาเวอร์มอสเฟต

สำหรับการขับเพาเวอร์มอสเฟตที่ต้องนำกระแสสูง ๆ การต่อ CMOS ในลักษณะขนานกัน จะสามารถเพิ่มกระแสที่ขากเกต และทำให้ความเร็วในการเปลี่ยนสถานะของเพาเวอร์มอสเฟตเป็น ไปได้อย่างเร็วยิ่งขึ้น

เอกสารนี้เป็นเอกสารที่สงวนไว้สำหรับการใช้งานเพื่อการศึกษาเท่านั้น ไม่อนุญาตให้นำไปใช้ประโยชน์ด้านการค้า ไม่ว่ากรณีใดๆ ทั้งสิ้น อีกทั้งห้ามมิให้ดัดแปลงเนื้อหา และต้องอ้างอิงถึงเจ้าของเอกสารทุกครั้งที่มีการนำไปใช้

### 2.4.2.3 วงจรขับเพาเวอร์มอสเฟตด้วยหม้อแปลง



รูปที่ 2.16 แสดงวงจรขับเพาเวอร์มอสเฟตด้วยหม้อแปลง

ในกรณีของคอนเวอร์เตอร์แบบฮาล์ฟบริดจ์และฟูลบริดจ์ วงจรขับเพาเวอร์มอสเฟตด้วยบนและตัวล่างจะต้องมีการแยกกราวด์ออกจากกัน จึงจำเป็นต้องใช้หม้อแปลงหรือในกรณีที่ต้องการขับเพาเวอร์มอสเฟตมากกว่า 1 ตัว พร้อมกันก็อาจต้องใช้หม้อแปลงช่วย

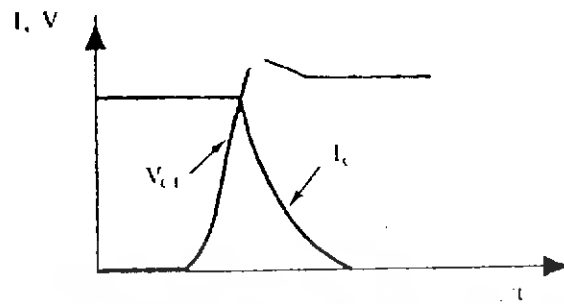
การต่อหม้อแปลงพัลส์เข้ากับขาเกตและวงจรควบคุมโดยตรงอาจเกิดปัญหาการเลื่อนระดับของแรงดันเอาต์พุตที่หม้อแปลง และอาจมีปัญหาในการทำงานของเพาเวอร์มอสเฟตได้ การต่อวงจรขับเพาเวอร์มอสเฟตด้วยหม้อแปลงจึงควรทำในลักษณะดังรูปที่ 2.16

### 2.5 วงจรสแน็บเบอร์

วงจรสแน็บเบอร์ เป็นส่วนที่เพิ่มเติมเข้ามาในวงจรคอนเวอร์เตอร์ เพื่อลดการเกิดกำลังสูญเสียและป้องกันการเสียหายที่เกิดขึ้นกับเพาเวอร์ทรานซิสเตอร์ ในวงจรขณะทำงานปกติ วงจรสแน็บเบอร์นี้อาจแบ่งออกได้เป็น 2 ลักษณะคือ วงจรสแน็บเบอร์ช่วงหยุดนำกระแส และสแน็บเบอร์ป้องกันแรงดันเกิน วงจรสแน็บเบอร์ทั่วไปจะประกอบด้วยตัวต้านทาน ตัวเก็บประจุ ไดโอดเรียกว่าวงจร RCD สแน็บเบอร์ ซึ่งมีรายละเอียดดังนี้

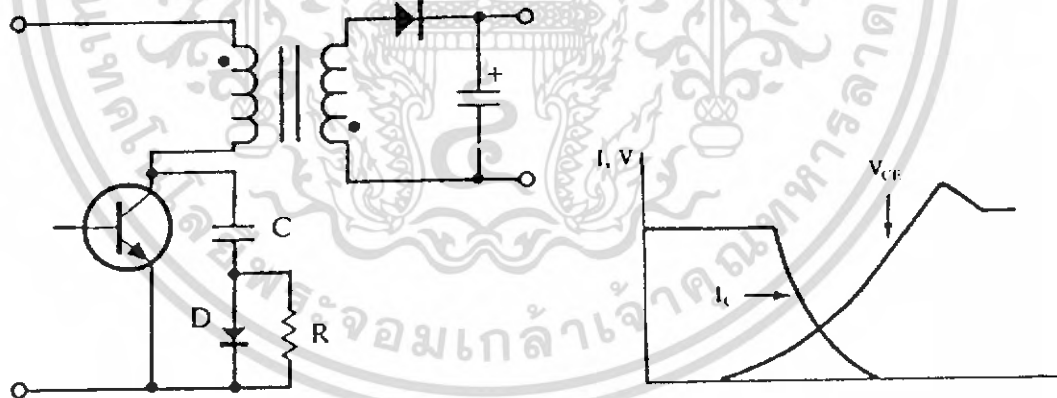
#### 2.5.1 วงจรสแน็บเบอร์ช่วงหยุดนำกระแส

ในการเปลี่ยนสถานะของเพาเวอร์ทรานซิสเตอร์ จะทำให้เกิดการสูญเสียกำลังงานเกิดขึ้น โดยเฉพาะอย่างยิ่งขณะเริ่มหยุดนำกระแสก่อนที่เพาเวอร์ทรานซิสเตอร์จะหยุดนำกระแส กระแสจะลดลงอย่างช้า ๆ ในขณะที่แรงดันเพิ่มขึ้นสู่ค่าแรงดันอินพุตอย่างรวดเร็วดังรูปที่ 2.17



รูปที่ 2.17 แสดงลักษณะกระแสและแรงดันคกร้อมทรานซิสเตอร์

เพื่อลดการสูญเสียในช่วงนี้ สามารถที่จะทำได้โดยการต่อวงจรสับเบออร์เข้ากับเพาเวอร์ทรานซิสเตอร์ เพื่อควบคุมแรงดันคกร้อมที่คอลเล็กเตอร์และอีมีเตอร์ให้มีค่าเพิ่มขึ้นอย่างช้า ๆ จนกระทั่งกระแสที่ไหลผ่านตัวเพาเวอร์ทรานซิสเตอร์ลดลงได้ทันกัน ซึ่งจะทำได้กำลังสูญเสียที่เกิดขึ้นมีค่าต่ำ ลักษณะการต่อวงจรสับเบออร์สามารถทำได้ดังรูปที่ 2.18



รูปที่ 2.18 แสดงวงจรสับเบออร์ช่วงหยุดนำกระแส

การทำงานของวงจรสับเบออร์ช่วงเริ่มหยุดนำกระแสจะเป็นไปได้ดังนี้คือเมื่อเพาเวอร์ทรานซิสเตอร์ Q1 เริ่มหยุดนำกระแส แรงดันที่ขาคอลเล็กเตอร์มีค่าเพิ่มขึ้น ทำให้กระแสบางส่วนไหลผ่านตัวเก็บประจุ C1 และไดโอด D1 ของวงจรสับเบออร์ทำให้เกิดแรงดันคกร้อม C1 ด้วยแรงดันที่คกร้อม C1 จะทำให้แรงดันที่คอลเล็กเตอร์ของเพาเวอร์ทรานซิสเตอร์เพิ่มขึ้นอย่างช้า ๆ เอกสารนี้เป็นเอกสารที่ สงวนลิขสิทธิ์ไว้สำหรับการใช้งานเพื่อการศึกษาเท่านั้น ไม่อนุญาตให้นำไปใช้ประโยชน์อื่นใดไม่ว่ากรณีใดๆ ทั้งสิ้น อีกทั้งห้ามมิให้ดัดแปลงเนื้อหา และต้องอ้างอิงถึงเจ้าของเอกสารทุกครั้งที่มีการนำไปใช้

ดังนั้นถ้าให้  $C_1$  มีค่ามากพอ การเพิ่มขึ้นของแรงดันที่คออเล็กเตอร์ก็就会被หน่วงออกไปเพื่อให้กระแสที่ไหลผ่านเพาเวอร์ทรานซิสเตอร์ลดลงจนมีค่าน้อย ๆ ได้ทันกัน และจะลดการเกิดกำลังสูญเสียในตัวเพาเวอร์ทรานซิสเตอร์ได้

ขณะที่เพาเวอร์ทรานซิสเตอร์เริ่มนำกระแสอีกครั้ง  $C_1$  จะคายประจุผ่านตัวต้านทาน  $R_1$  ทิ้งไป แรงดันตกคร่อม  $C_1$  ก็จะลดลงต่ำได้อีกครั้งและสามารถทำงานได้ในช่วงต่อไป ค่าของ  $C_1$  และ  $R_1$  ที่เหมาะสมหาได้จาก

$$C_1 = \frac{(I_p \times t_{on})}{2 \times V_{in}} \quad (2.3)$$

$$R_1 = \frac{t_{on(min)}}{2 \times 3 \times C_1} \quad (2.4)$$

เมื่อ  $I_p$  คือ ค่ากระแสสูงสุดขณะเริ่มหยุดนำกระแสของเพาเวอร์ทรานซิสเตอร์  
 $V_{in}$  คือ ค่าแรงดันอินพุตของวงจรคอนเวอร์เตอร์  
 $t_{on}$  คือ ช่วงเวลานำกระแสของเพาเวอร์ทรานซิสเตอร์  
 $t_{off}$  คือ ช่วงเวลาหยุดนำกระแสของเพาเวอร์ทรานซิสเตอร์

การคายประจุของ  $C_1$  ทำให้เกิดกำลังงานสูญเสียในตัว  $R_1$  สูง ดังนั้นตัวต้านทาน  $R_1$  จะต้องทนกำลังได้สูง โดยกำลังสูญเสียใน  $R_1$  หาได้จาก

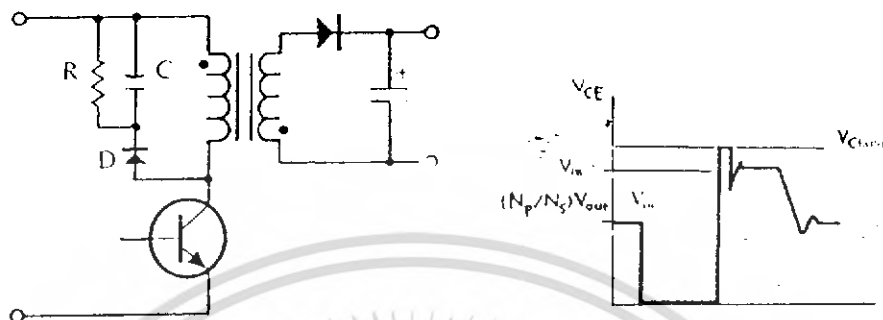
$$P_d = \frac{C_1(2V_{in})^2}{2T} \quad (2.5)$$

เมื่อ  $T$  คือ คาบเวลาการทำงานของเพาเวอร์ทรานซิสเตอร์

### 2.5.2 วงจรสับเบอร์ดป้องกันแรงดันเกิน

ความเสียหายที่เกิดขึ้นกับเพาเวอร์ทรานซิสเตอร์ส่วนใหญ่มักมีสาเหตุที่เกิดมาจากการทำงานเกินพิกัดปกติของ RBSOA แรงดันสไปค์ขณะหยุดนำกระแสโดยเฉพาะอย่างยิ่งในฟลายแบคและฟอร์เวิร์ดคอนเวอร์เตอร์ มักทำให้ค่าแรงดันที่ตกคร่อมเพาเวอร์ทรานซิสเตอร์จะเริ่มหยุดนำกระแสมีค่าสูงเกินค่าแรงดันสูงสุดที่มันจะทนได้ และเกิดการเสียหายขึ้น วงจรสับเบอร์ดป้องกันแรงดันเกินจึงมีหน้าที่ป้องกันค่าแรงดันสไปค์ที่เกิดขึ้นไม่ให้เกินค่าความปลอดภัยของเพาเวอร์ทรานซิสเตอร์ การต่อวงจรสับเบอร์ดสามารถทำได้ดังรูปที่ 2.19

เอกสารนี้เป็นเอกสารที่สงวนไว้สำหรับกรณีใช้งานเพื่อการศึกษาเท่านั้น ไม่อนุญาตให้นำไปใช้ประโยชน์ด้านการค้าไม่ว่ากรณีใดๆ ทั้งสิ้น อีกทั้งห้ามมิให้ดัดแปลงเนื้อหา และต้องอ้างอิงถึงเจ้าของเอกสารทุกครั้งที่มีการนำไปใช้



รูปที่ 2.19 แสดงวงจร snubber ป้องกันแรงดันเกิน

การทำงานของวงจร snubber ป้องกันแรงดันเกินเป็นดังนี้คือในขณะที่เพาเวอร์ทรานซิสเตอร์เริ่มหยุดนำกระแส ตัวเก็บประจุ C จะถูกชาร์จประจุผ่านไดโอด D จากค่าแรงดันสไปค์ค่าของ R1 จะทำให้แรงดันตกคร่อม C มีค่าต่ำกว่าแรงดันสไปค์ และมีค่าคงที่ตลอดช่วงของการเกิดแรงดันสไปค์ ค่าแรงดันสูงสุดที่คอลเล็กเตอร์จะเกิดสไปค์จึงถูกกั้นไว้ด้วยแรงดันที่ตกคร่อมตัวเก็บประจุ C และเนื่องจากแรงดันสไปค์จะเกิดขึ้นในช่วงเวลาสั้น ๆ ดังนั้นขณะที่แรงดันสไปค์มีค่าต่ำลง C จะคายประจุออกมาผ่านตัวต้านทาน R แรงดันตกคร่อมที่คอลเล็กเตอร์จะกลับสู่ค่าแรงดันตามการทำงานปกติ

วงจร snubber นี้ทำงานโดยการถ่ายเทพลังงานสะสมในตัวเหนี่ยวนำแม่เหล็ก อันเป็นตัวทำให้เกิดแรงดันสไปค์ไปไว้ที่ตัวเก็บประจุ C แทน นั่นคือ

$$\frac{1}{2} CV_e^2 = \frac{1}{2} LI_p^2 \tag{2.6}$$

เนื่องจาก Vc จะมีค่าได้ไม่เกิน Vceo-Vclamp ดังนั้น

$$C = \frac{LI_p^2}{(V_{ceo} - V_{clamp})^2} \tag{2.7}$$

เอกสารนี้เป็นเอกสารที่สละสิทธิ์ ค่าความเหนี่ยวนำแม่เหล็กที่เกิดจากฟลักซ์รั่วของขดปฐมภูมิ ไปใช้ประโยชน์ด้านการค้าไม่ว่ากรณีใดๆ ทั้งสิ้น อีกทั้งห้ามมิให้ดัดแปลงเนื้อหา และต้องอ้างอิงถึงเจ้าของเอกสารทุกครั้งที่มีการนำไปใช้

$I_p$  คือ ค่ากระแสสูงสุดขณะเริ่มหยุดนำกระแสของเพาเวอร์ทรานซิสเตอร์

$V_{ce0}$  คือ อัตราแรงดันตกคร่อมของเพาเวอร์ทรานซิสเตอร์

$V_{clamp}$  คือ ค่าแรงดันสูงสุดที่ยอมให้เกิดได้เมื่อเพาเวอร์ทรานซิสเตอร์เริ่มหยุดนำกระแส ค่าของตัวต้านทาน R หาได้

$$R = \frac{t_{off} (min)}{2 \times 3 \times C} \quad (2.8)$$

ค่ากำลังสูญเสียใน R สามารถหาได้จาก

$$P_d = \frac{[(\frac{1}{2})LI_p^2]}{T} \quad (2.9)$$

เมื่อ T คือ คาบเวลาการทำงานของเพาเวอร์ทรานซิสเตอร์

$t_{off}$  คือ ช่วงเวลาหยุดนำกระแสของเพาเวอร์ทรานซิสเตอร์

## 2.6 อุปกรณ์สารกึ่งตัวนำ

เนื่องจากวงจรคอนเวอร์เตอร์มีการทำงานในช่วงความถี่ตั้งแต่ 20 กิโลเฮิรตซ์ขึ้นไป และการสูญเสียกำลังงานในขณะนำกระแสและในขณะที่เปลี่ยนสภาวะโดยเฉพาะอย่างยิ่งเมื่อต้องทำงานอยู่ในย่านแรงดันสูง ยิ่งทำให้เกิดการสูญเสียมากขึ้น เพราะฉะนั้นอุปกรณ์สารกึ่งตัวนำที่ใช้อยู่ในวงจรคอนเวอร์เตอร์ควรจะต้องมีทั่วไปคือ มีค่าแรงดันตกคร่อมขณะนำกระแสต่ำ มีช่วงเวลาดับตัวสั้น และสามารถทนกำลังได้สูง ซึ่งรายละเอียดของอุปกรณ์สารกึ่งตัวนำที่ใช้ในวงจรคอนเวอร์เตอร์มีดังนี้

### 2.6.1 ฟาสต์-รีคัพเวอร์และอูลตราฟาสต์-รีคัพเวอร์ไดโอด

ฟาสต์-รีคัพเวอร์ไดโอดมีช่วงเวลาดับตัวประมาณ 200 ถึง 750 นาโนวินาที ซึ่งสั้นกว่าซิลิกอน ไดโอดมาก และฟาสต์-รีคัพเวอร์ไดโอดมีอัตราแรงดันไบอัสกลับได้สูงถึง 1000 โวลต์ ส่วนอูลตราฟาสต์-รีคัพเวอร์ไดโอดจะมีช่วงเวลาดับตัวประมาณ 25 ถึง 100 นาโนวินาที และมีอัตราแรงดันไบอัสกลับได้สูงถึง 1000 โวลต์เช่นเดียวกัน แรงดันตกคร่อมขณะนำกระแสของไดโอดทั้งสองชนิดมีค่าอยู่ใกล้เคียงกันคือ ประมาณ 0.6 ถึง 1.5 โวลต์

เอกสารนี้เป็นเอกสารที่สงวนไว้สำหรับการใช้งานเพื่อการศึกษาเท่านั้น ไม่อนุญาตให้นำไปใช้ประโยชน์ด้านการค้าไม่ว่ากรณีใดๆ ทั้งสิ้น อีกทั้งห้ามมิให้ดัดแปลงเนื้อหา และต้องอ้างอิงถึงเจ้าของเอกสารทุกครั้งที่มีการนำไปใช้

### 2.6.2 ซอตต์กีไดโอด

ซอตต์กีไดโอดมีค่าแรงดันตกคร่อมขณะนำกระแสค่อนข้างต่ำ ประมาณ 0.5 โวลต์ จึงเหมาะสมกับคอนเวอร์เตอร์ที่มีค่าแรงดันเอาต์พุตต่ำ ๆ และกระแสสูง เนื่องจากลักษณะโครงสร้างภายในที่แตกต่างจากฟอสต์-รีพัพเวอร์และอูลตราฟอสต์-รีพัพเวอร์ไดโอด ซอตต์กีไดโอดจะไม่เกิดประจุสะสมภายในตัวมันขณะนำกระแส ช่วงเวลาคืนตัวของซอตต์กีไดโอดจึงมีค่าสั้นมาก โดยมีค่าน้อยกว่า 10 นาโนวินาที และอาจถือได้ว่าซอตต์กีไดโอดไม่มีกำลังสูญเสียในช่วงนี้เลยก็ได้

ซอตต์กีไดโอดมีข้อเสียอยู่ 2 ประการ คือ ซอตต์กีไดโอดมีอัตราทนแรงดันไบอัสกลับสูงสุดมีค่าน้อยและมีกระแสรั่วไหลสูงยังมีปัญหาเมื่อนำมาใช้งานจะให้ทรานเซียนด์ชณะเริ่มนำกระแสสูง

### 2.6.3 เพาเวอร์ทรานซิสเตอร์

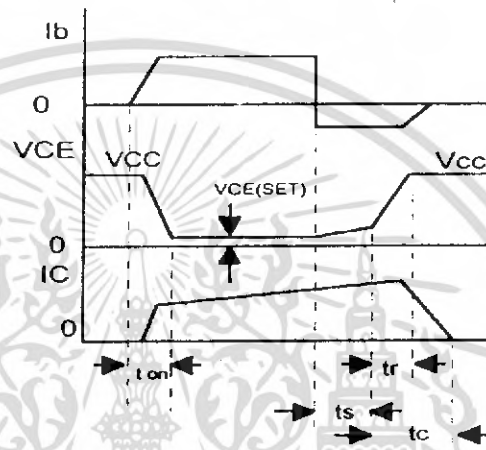
เพาเวอร์ทรานซิสเตอร์ที่ทำงานในวงจรคอนเวอร์เตอร์จะมีความทำงานในลักษณะสวิตช์และมีโหลดเป็นตัวเหนี่ยวนำซึ่งผลที่ได้จะแตกต่างจากโหลดที่มีลักษณะเป็นตัวต้านทานเพาเวอร์ทรานซิสเตอร์ต้องใช้เวลาช่วงหนึ่งในการเปลี่ยนสถานะของตัวมัน เมื่อจะเริ่มนำกระแสและเมื่อจะหยุดนำกระแสรวมทั้งเพาเวอร์ทรานซิสเตอร์ยังมีแรงดันตกคร่อมขณะนำกระแสอีกด้วย การเปลี่ยนสถานะและแรงดันตกคร่อมขณะนำกระแสทำให้เกิดกำลังสูญเสียในรูปของความร้อน (Power Dissipation) ขึ้นที่ตัวเพาเวอร์ทรานซิสเตอร์ แต่ก็ยังมีข้อดีอยู่คือ มีอัตราทนแรงดันตกคร่อมสูงและราคาถูกกว่า ทั้งยังมีการพัฒนาให้เพาเวอร์ทรานซิสเตอร์ทำงานเร็วขึ้นเพื่อให้สามารถใช้งานในย่านความถี่สูง ๆ และลดกำลังงานสูญเสีย

กำลังงานสูญเสียที่เกิดขึ้นมี 2 ลักษณะคือ ขณะเปลี่ยนสถานะ และในขณะที่นำกระแสอยู่ในช่วงอิมพัลส์ สำหรับการสูญเสียในการเปลี่ยนสถานะจะเกิดกำลังงานสูญเสียมากที่สุดขณะที่เริ่มหยุดนำกระแสเป็นส่วนใหญ่

เมื่อเริ่มให้กระแสไบอัสที่ขาเบสของทรานซิสเตอร์กระแสคอลเล็กเตอร์ของเพาเวอร์ทรานซิสเตอร์จะเพิ่มขึ้นอย่างรวดเร็ว ในขณะที่แรงดันตกคร่อมคอลเล็กเตอร์และอิมิตเตอร์ ( $V_{ce}$ ) จะยังมีค่าเท่ากับ  $V_{cc}$  และจะใช้เวลาช่วงหนึ่งคือ  $t_{on}$  เพื่อลดค่าแรงดันลงมาเป็น  $V_{ce(sat)}$  ดังรูปด้านล่าง กำลังงานสูญเสียจะเกิดขึ้นในช่วงเวลา  $t_{on}$  นี้เนื่องจากเพาเวอร์ทรานซิสเตอร์มีแรงดันตกคร่อมตัวมันสูงขณะมีกระแสไหล อย่างไรก็ตาม ช่วงเวลา  $t_{on}$  นี้ค่อนข้างสั้นและกระแสเริ่มต้นที่ไหลผ่านมักมีค่าต่ำ กำลังงานสูญเสียขณะเริ่มนำกระแสของเพาเวอร์ทรานซิสเตอร์ในช่วงนี้จึงมีค่าต่ำ เมื่อหยุดให้กระแสไบอัสและป้อนกระแสไบอัสกลับให้กับเพาเวอร์ทรานซิสเตอร์ เพื่อหยุดการนำกระแสเพาเวอร์ทรานซิสเตอร์จะยังคงนำกระแสต่อไปอีกเป็นเวลา  $t_s$  ซึ่งเป็นผลจากการเกิดประจุสะสมขึ้น

เอกสารนี้เป็นเอกสารที่สงวนลิขสิทธิ์ไว้เพื่อการเผยแพร่เพื่อการศึกษาเท่านั้น เมื่อผู้ผู้ใดเห็นประโยชน์ในการนำมาว่ากรณิใดๆ ทั้งสิ้น อีกทั้งห้ามมิให้ดัดแปลงเนื้อหา และต้องอ้างอิงถึงเจ้าของเอกสารทุกครั้งที่มีการนำไปใช้

ในเพาเวอร์ทรานซิสเตอร์ขณะนำกระแส ช่วงเวลา  $t_s$  นี้เรียกว่าช่วงเวลาสะสม และขณะช่วงเวลา  $t_r$  นี้ แรงดันตกคร่อมเพาเวอร์ทรานซิสเตอร์จะเริ่มเพิ่มขึ้นและเกิดกำลังงานสูญเสียมากกว่าเมื่อมันนำกระแสขณะมีกระแสไบอัสอยู่



รูปที่ 2.20 แสดงลักษณะของกระแสและแรงดันตกคร่อมเพาเวอร์ทรานซิสเตอร์

จากนั้นแรงดันที่ขาคอลเล็กเตอร์จะเพิ่มขึ้นอย่างรวดเร็ว ในขณะที่เพาเวอร์ทรานซิสเตอร์ยังคงนำกระแสอยู่ในช่วงเวลา  $t_r$  (Voltage Rise Time) เมื่อประจุสะสมในเพาเวอร์ทรานซิสเตอร์เริ่มลดลง กระแสที่คอลเล็กเตอร์จะเริ่มลดลงและใช้เวลาเท่ากับ  $t_f$  (Current Fall Time) เพาเวอร์ทรานซิสเตอร์จึงหยุดนำกระแส จะเห็นได้ว่ากำลังสูญเสียที่เกิดขึ้นในเพาเวอร์ทรานซิสเตอร์ในช่วงเวลา  $t_r$  และ  $t_f$  จะมีค่าสูงและเป็นช่วงเพาเวอร์ทรานซิสเตอร์เกิดกำลังงานสูญเสียมากที่สุดขณะทำงาน ช่วงเวลา  $t_r+t_f$  จะเรียกว่า ช่วงเวลาเริ่มหยุดนำกระแส (Turn Off Time) กำลังงานสูญเสียในขณะเพาเวอร์ทรานซิสเตอร์เริ่มหยุดนำกระแส นั้นอาจประมาณได้จาก

$$P_{d(sw)} = \frac{0.5V_{cc}I_{pk}t_c}{T} \quad (2.10)$$

เมื่อ  $P_{d(sw)}$  คือ กำลังงานสูญเสียขณะเริ่มหยุดนำกระแส

$V_{cc}$  คือ แรงดันตกคร่อมเพาเวอร์ทรานซิสเตอร์และหยุดนำกระแส

$I_{pk}$  คือ ค่ากระแสสูงสุดเมื่อเริ่มหยุดนำกระแส

เอกสารนี้เป็นเอกสารที่สงวนเวลาสำหรับการใช้งานเพื่อการศึกษาเท่านั้น ไม่อนุญาตให้นำไปใช้ประโยชน์ด้านการค้า ไม่ว่าจะกรณีใดๆ ทั้งสิ้น อีกทั้งห้ามมิให้ดัดแปลงเนื้อหา และต้องอ้างอิงถึงเจ้าของเอกสารทุกครั้งที่มีการนำไปใช้

tc คือ ช่วงเวลาเริ่มหยุดนำกระแส

T คือ คาบเวลาการทำงานของเพาเวอร์ทรานซิสเตอร์

การทำให้กำลังสูญเสียขณะเริ่มหยุดนำกระแส มีค่าน้อยที่สุดจะทำให้การใช้งานเพาเวอร์ทรานซิสเตอร์มีประสิทธิภาพสูงสุด และลดความร้อนที่เกิดกับเพาเวอร์ทรานซิสเตอร์ขณะทำงาน

#### 2.6.4 เพาเวอร์มอสเฟต

เพาเวอร์มอสเฟต สามารถทำงานได้ดีที่ความถี่สูงตั้งแต่ 50 กิโลเฮิร์ตซ์ ไปจนถึงประมาณ 400 กิโลเฮิร์ตซ์ เนื่องจากมันใช้เวลาในการเปลี่ยนสถานะค่อนข้างสั้น ซึ่งเป็นผลดีในการลดขนาดของคอนเวอร์เตอร์ ในส่วนของวงจรขับของเพาเวอร์มอสเฟตนั้นสามารถทำได้ง่าย โดยอาจขับเพาเวอร์มอสเฟตให้ทำงานได้จากไอซีควบคุมแบบพัลส์วิดโมดูเลชัน โครงสร้างของเพาเวอร์มอสเฟตที่จะใช้ในวงจรคอนเวอร์เตอร์มีทั้งแบบ N-ch และแบบ P-ch ทำงานในลักษณะพหุคูณหรือทำงานเพียงตัวเดียว ซึ่งโดยส่วนมากจะใช้ N-ch เพราะสามารถทำงานได้ที่ความถี่สูงกว่าแบบ P-ch

##### 2.6.4.1 กำลังงานสูญเสียในรูปความร้อนของเพาเวอร์มอสเฟต

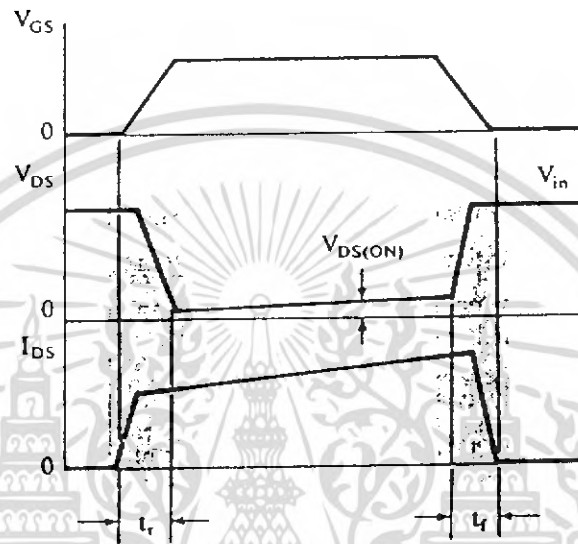
กำลังงานสูญเสียที่เกิดขึ้นกับเพาเวอร์มอสเฟตขณะทำงาน จะเป็นไปได้ทั้งในขณะที่เปลี่ยนสถานะและกำลังสูญเสียขณะนำกระแสแต่เพาเวอร์มอสเฟตจะมีช่วงเวลาริเริ่มนำกระแส และช่วงเวลาริเริ่มหยุดนำกระแสที่สั้นกว่าเพาเวอร์ทรานซิสเตอร์มาก เพราะเพาเวอร์มอสเฟตจะไม่มีประจุสะสมเกิดขึ้น แต่เพาเวอร์มอสเฟตจะมีค่าความต้านทานขณะนำกระแสสูงมาก จึงมีการสูญเสียสูงกว่าเพาเวอร์ทรานซิสเตอร์มาก

ถึงแม้ว่าช่วงเวลาริเริ่มนำกระแสและริเริ่มหยุดนำกระแสของเพาเวอร์มอสเฟตจะค่อนข้างสั้น แต่โดยทั่วไปเพาเวอร์มอสเฟตมักถูกใช้งานที่ย่านความถี่สูง การใช้งานที่ความถี่กว่า 50 กิโลเฮิร์ตซ์ การคิดค่ากำลังงานสูญเสียขณะทำงานจำเป็นต้องนำค่ากำลังงานสูญเสียขณะเปลี่ยนสถานะมาคิดด้วย และเนื่องจากช่วงเวลาริเริ่มหยุดนำกระแส กับช่วงเวลาริเริ่มนำกระแส ของเพาเวอร์มอสเฟตมีค่าใกล้เคียงกัน จึงต้องนำมาคิดทั้งสองช่วงเวลาด้วย ดังนั้นกำลังงานสูญเสียของเพาเวอร์มอสเฟตขณะทำงาน  $P_D$  จะมีค่าเท่ากับ

$$P_D = P_{sw(ON)} + P_{sw(OFF)} + P_C \quad (2.11)$$

$$P_{sw(ON)} = \frac{0.5 I_{pk(on)} \times V_{in} \cdot t_r}{T} \tag{2.12}$$

$$P_{sw(OFF)} = \frac{0.5 I_{pk(off)} \times V_{in} \cdot t_f}{T} \tag{2.13}$$



รูปที่ 2.21 แสดงลักษณะของกระแสและแรงดันคร่อมเพาเวอร์มอสเฟตเมื่อเริ่มนำกระแสและเริ่มหยุดการทำงาน

$$P_C = I_{D_{rms}}^2 \times R_{Dson}(T_j) \tag{2.14}$$

- เมื่อ  $P_c$  คือ กำลังงานสูญเสียขณะนำกระแสของเพาเวอร์มอสเฟต
- $P_{sw(off)}$  คือ กำลังงานสูญเสียขณะเริ่มหยุดนำกระแส
- $P_{sw(on)}$  คือ กำลังงานสูญเสียขณะเริ่มนำกระแสของเพาเวอร์มอสเฟต
- $I_{pk(on)}$  คือ ค่ากระแสสูงสุดขณะเริ่มนำกระแส
- $I_{D_{rms}}$  คือ ค่ากระแส rms  $R_{Dson}(T_j)$  คือ ค่าความต้านทานระหว่างครนและซอสที่อุณหภูมิรอยต่อสูงสุดขณะทำงานของเพาเวอร์มอสเฟต
- $t_r$  คือ ช่วงเวลาเริ่มนำกระแสของเพาเวอร์มอสเฟต
- $t_f$  คือ ช่วงเวลาเริ่มหยุดนำกระแสของเพาเวอร์มอสเฟต

### 2.6.4.2 เงื่อนไขของวงจรขับเพาเวอร์มอสเฟต

การขับเพาเวอร์มอสเฟตให้น้ำกระแสนั้นแตกต่างจากการขับกระแสไบอัสไบโพลาร์เพาเวอร์ทรานซิสเตอร์ เนื่องจากมีเงื่อนไขการไบอัสที่ต่างกัน สำหรับไบโพลาร์ทรานซิสเตอร์ กระแสเอกสารถือเป็นเอกสารถี่สวงนไวสำหรับกรใช้งานเพื่อการศึกษาเท่านั้น เมื่อนูญาติให้ไปไซประโยชน์ดานการค้ำไม่ว่ากรณีใดๆ ทั้งสิ้น อีกทั้งห้ามมิให้ดัดแปลงเนื้อหา และต้องอ้างอิงถึงเจ้าของเอกสารทุกครั้งที่มีการนำไปใช้

จะไหลผ่านคอลเล็กเตอร์และอิมิตเตอร์ได้ก็ต่อเมื่อ มีกระแสไบอัสไหลผ่านที่เบสและอิมิตเตอร์ แต่เพาเวอร์มอสเฟตจะมีกระแสไหลผ่านเดรนและซอร์สได้ก็ต่อเมื่อ แรงดันคคร่อมที่ขาเกตและซอสมีค่าเท่ากับแรงดันขีดเริ่ม (Threshold Voltage) ของมัน แต่ใช้กระแสต่ำ การขับเพาเวอร์มอสเฟตให้นำกระแสจึงทำได้ง่าย

2.6.4.5 ค่าความจุไฟฟ้าด้านอินพุต (Input capacitance)

เนื่องจากลักษณะ โครงสร้างภายในตัวเพาเวอร์มอสเฟตจึงเหมือนกับมีตัวเก็บประจุต่ออยู่รอบ ๆ ขาต่าง ๆ ของมันดังรูปที่ 2.22

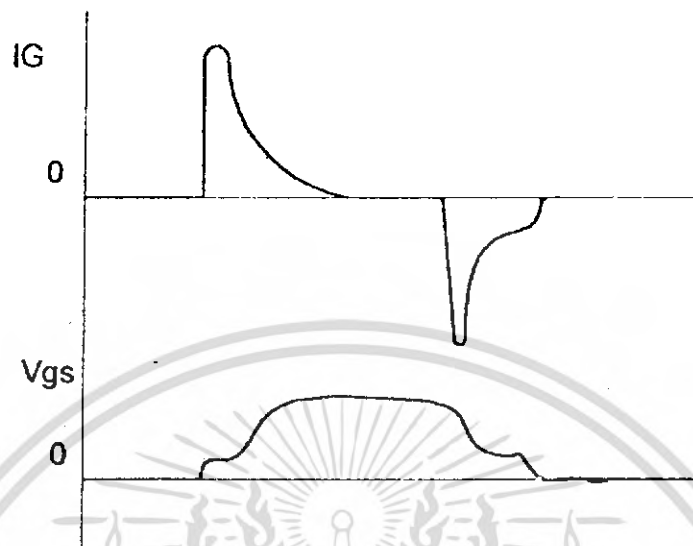


รูปที่ 2.22 แสดงตัวเก็บประจุแฝงที่ต่ออยู่ที่ขาต่าง ๆ ภายในตัวเพาเวอร์มอสเฟต

ตัวเก็บประจุเหล่านี้บังคับให้เพาเวอร์มอสเฟตต้องชาร์จประจุเข้าไปที่ตัวเก็บประจุเสียก่อน เพื่อให้แรงดันคคร่อมที่ขาเกต  $V_{gs}$  มีค่าเพิ่มขึ้นจนถึงแรงดันค่าขีดเริ่ม เพาเวอร์มอสเฟตจึงจะเริ่มนำกระแส ในทางกลับกันการหยุดการนำกระแสของเพาเวอร์มอสเฟตจะต้องทำให้ตัวเก็บประจุคายประจุออกไปจนแรงดันคคร่อมที่ขาเกต  $V_{gs}$  มีค่าลดลงต่ำกว่าแรงดันขีดเริ่ม เพาเวอร์มอสเฟตจึงหยุดนำกระแส ลักษณะของกระแสและแรงดันที่ขาเกตจึงมีลักษณะดังในรูป

โดยทั่วไปแล้วค่าความจุของตัวเก็บประจุในตัวเพาเวอร์มอสเฟตนี้เองจะเป็นตัวกำหนดความเร็วในการเปลี่ยนสถานะของมัน

รูปคลื่นแสดงลักษณะของกระแส และแรงดันคคร่อมทรานซิสเตอร์ขณะนำกระแสแสดงดังรูปที่ 2.23



รูปที่ 2.23 แสดงลักษณะแรงดันและกระแสที่ขาเกตขณะเพาเวอร์มอสเฟตถูกไบอัสให้นำกระแส

#### 2.6.4.4 ข้อพิจารณาในการเลือกใช้งานเพาเวอร์มอสเฟต

สำหรับเพาเวอร์มอสเฟตการเกิดเซคชั่นคาร์รีเบรคดาวน์เช่นในไบโพลาร์เพาเวอร์ทรานซิสเตอร์จะไม่เกิดขึ้น เพราะค่าความต้านทานระหว่างเดรนและซอร์สขณะนำกระแส  $R_{DS(on)}$  ของมันจะมีค่าเพิ่มขึ้นเมื่ออุณหภูมิเพิ่มขึ้น ทำให้กระแสที่ไหลผ่านมีค่าน้อยลง เพาเวอร์มอสเฟตจึงมีพิสัยความปลอดภัยในกราฟ SOA กว้างกว่าเมื่อเทียบกับไบโพลาร์ทรานซิสเตอร์และเนื่องจากเพาเวอร์มอสเฟตไม่เกิดเซคชั่นคาร์รีเบรคดาวน์ อัตราทนกำลังสูญเสียสูงสุดของมันจะถูกจำกัดด้วยค่าความร้อนที่เกิดขึ้นที่รอยต่อภายในตัวมันเท่านั้น

#### 2.6.4.5 พิกัดความปลอดภัย FBSOA

ขีดจำกัดกำลังความปลอดภัย FBSOA ของเพาเวอร์มอสเฟตนั้น อาจแบ่งออกได้เป็น 4 ลักษณะดังนี้ คือ

1. ขีดจำกัดแรงดันตกคร่อมเดรนและซอร์ส  $V_{ds}$  สูงสุดที่สามารถทนได้ (Maximum Drain – Source Voltage)
2. ค่ากระแสเดรน  $I_d$  สูงสุดที่สามารถไหลผ่านได้ และไม่ทำให้โครงสร้างภายในเสียหาย
3. ขีดจำกัดเนื่องจากค่าความต้านทานขณะนำกระแส ( $R_{DS(on)}$  Limit)
4. ขีดจำกัดการระบายความร้อนของตัวถัง (Package Limit)

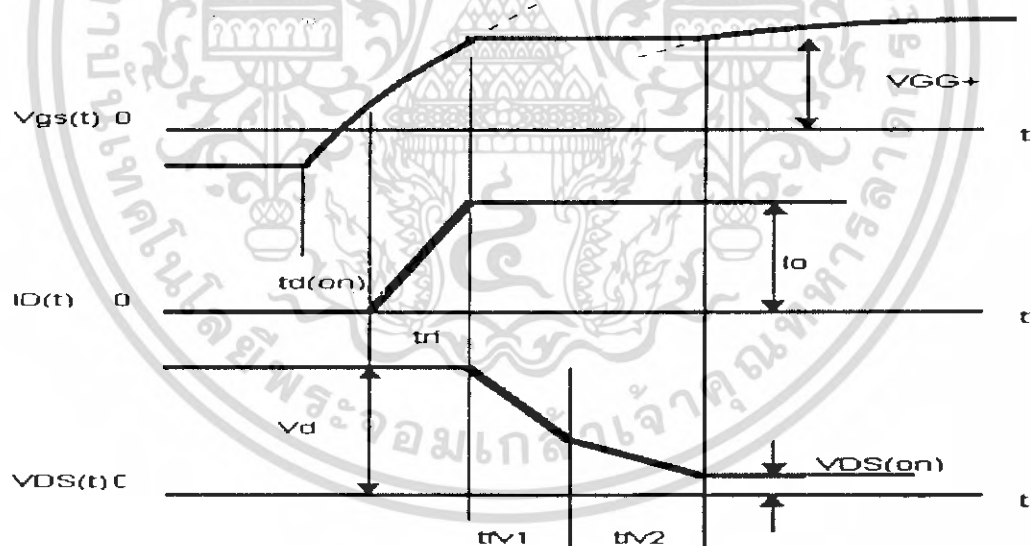
เอกสารนี้เป็นเอกสารที่สงวนไว้สำหรับการใช้งานเพื่อการศึกษาเท่านั้น เมื่ออนุญาตให้นำไปใช้ประโยชน์ด้านการค้าไม่ว่ากรณีใดๆ ทั้งสิ้น อีกทั้งห้ามมิให้ดัดแปลงเนื้อหา และต้องอ้างอิงถึงเจ้าของเอกสารทุกครั้งที่มีการนำไปใช้

### 2.6.5 ไอจีบีที

ไอจีบีที (Insulated Gate Bipolar Transistor) เมื่อพิจารณาในอุปกรณ์ทรานซิสเตอร์กำลัง มีค่า Conduction ค่าเวลาในการสวิตช์ซึ่งช้า และมีศักดาพังทลายกำลังมีค่าต่ำ  $V_{Bo}$  สูงและสามารถเกิดศักดาพังทลายครั้งที่ 2 ได้ เมื่ออุปกรณ์มีอุณหภูมิสูง สำหรับมอสเฟตกำลังจะมีค่า Conduction สูงซึ่งขึ้นกับค่าของ (RDS) เวลาในการสวิตช์ซึ่งเร็ว แต่มีศักดาพังทลาย  $V_{Bo}$  ต่ำ ดังนั้น IGBT กำลังจึงพัฒนาข้อดีของ BIT+MOSFET รวมกันเป็นอุปกรณ์ขึ้น สำหรับคุณสมบัติทางไฟฟ้า  $I_D, V_{DS}$  จะเหมือนกับทรานซิสเตอร์ แต่ใช้ศักดาไบอัส  $V_{gs}$  โดยอุปกรณ์เริ่มทำงานเมื่อ  $V_{gs} > V_T$

$$V_{DS(on)} = V_{j1} + V_{drift} + I_D R_{channel}$$

คุณสมบัติสวิตช์ซึ่งในวงจร Stepdown Converter จะเป็นดังรูปข้างล่างนี้

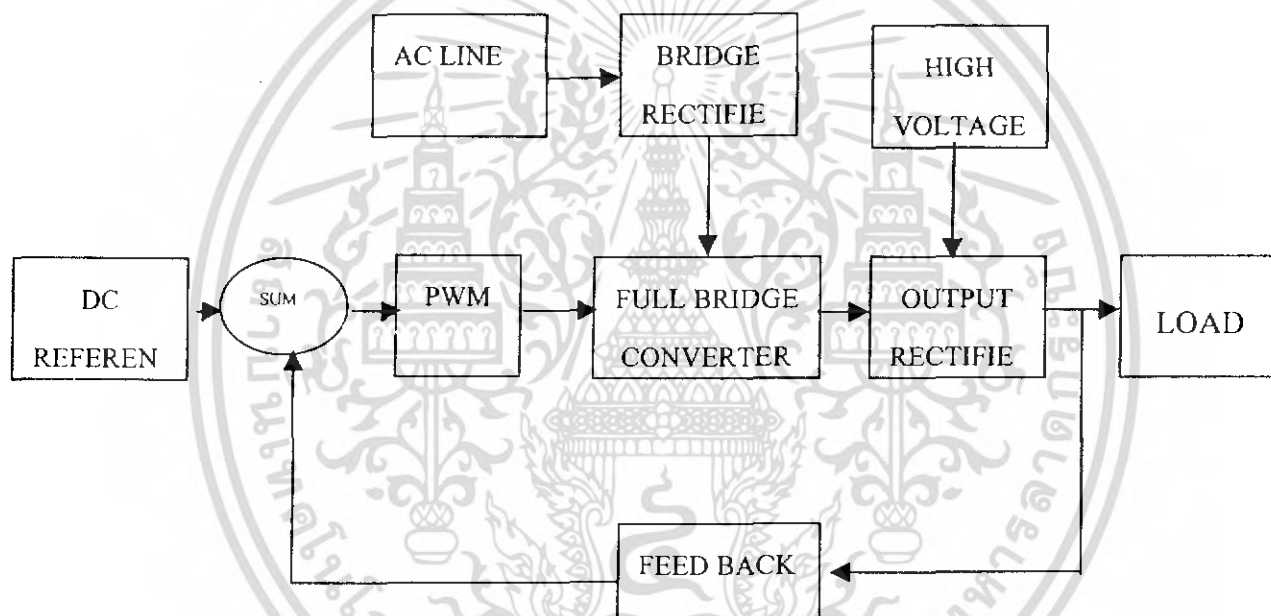


รูปที่ 2.24 แสดงลักษณะขณะแรงดัน และกระแสในสภาวะ Turn on ของ IGBT

### บทที่ 3

#### หลักการการทำงานและการออกแบบวงจร

ส่วนประกอบของภาคสวิตซ์ซึ่งกำลังในเครื่อง Plasma Cutting มีอยู่ 3 ส่วนหลัก คือส่วนที่เป็น Pulsewidth modulation, Converter และ high voltage

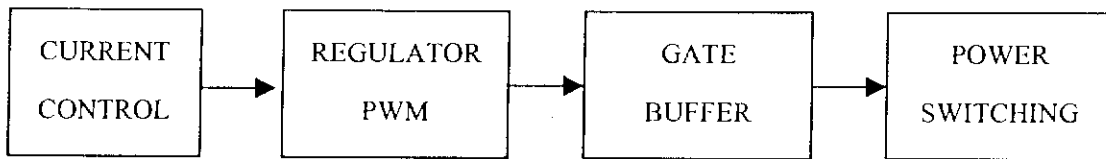


รูปที่ 3.1 BLOCK DIAGRAM ของเครื่อง SWITCHING POWER SUPPLY

#### 3.1 ส่วนของวงจรควบคุม

ส่วนที่เป็นวงจรควบคุมจะประกอบด้วยวงจรป้อนกลับ โดยการเปรียบเทียบแรงดันและกระแสจากทางด้านเอ้าท์พุท ส่งเป็นข้อมูลให้กับไอซี SG 3525 เพื่อทำการควบคุมความกว้างของพัลส์ แล้วผ่านวงจรขับไปยัง INVERTER ต่อไปซึ่งมีรายละเอียดการทำงานดังรูปที่ 3.2

วงจรในส่วนนี้มีหน้าที่ควบคุมการสวิตซ์ของเพาเวอร์มอสเฟต สามารถแบ่งได้เป็นส่วนต่างๆ ดังนี้



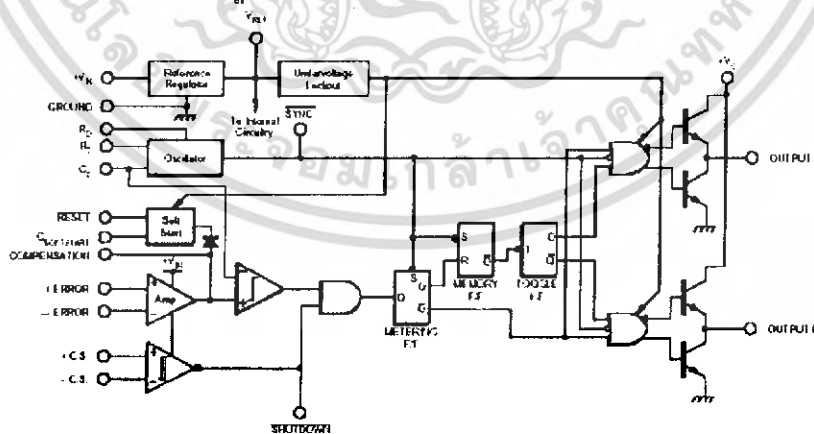
รูปที่ 3.2 แสดง BLOCK DIAGRAM ของภาคควบคุม PWM

3.1.1 การควบคุมกระแส

ชุดควบคุมกระแสเป็นชุดที่รับค่าจากตัวตรวจจับมาเป็นตัวจำกัดกระแสชุดควบคุมชุดนี้ประกอบด้วยCOMPATORซึ่งหลักการของCOMPATORก็จะมีการตั้ง VOLTAGE REFERENCE ไว้ แล้วอีกขาหนึ่งเป็นขาอินพุตที่รับค่ามาเปรียบเทียบกับขา REFERENCE ในที่นี้คือได้ค่า VOLTAGE REFERENCE ไว้ค่าๆ หนึ่งแล้ว ถ้าอินพุตที่เข้ามามีค่ามากกว่าก็จะทำให้ชุดนี้ทำงานแล้วรับค่า COMPARATOR ไปป้อนให้กับชุด PWM ค่านี้จะเป็นค่าคงที่คือเป็น VOLTAGE คงที่มีค่าประมาณ 5 V

3.1.2 วงจรสร้างและควบคุมความกว้างพัลส์

วงจรที่ใช้สำหรับสร้างและควบคุมความกว้างของพัลส์ สามารถจะทำได้โดยใช้ไอซีเบอร์ SG3526 ซึ่งมีโครงสร้างภายในดังรูปที่ 3.3 ซึ่งมีรายละเอียดในการใช้งาน ได้ดังนี้



รูปที่ 3.3 แสดงโครงสร้างภายในของไอซี SG3526

ขา 1,2 จะใช้สำหรับรับข้อมูลที่เป็นค่าแรงดัน จากการป้อนกลับ และการเซตค่าเข้ามาที่ขาอินเวอร์ตติ้ง และ นอนอินเวอร์ตติ้ง ของวงจรมหาความผิดพลาดภายในไอซี ซึ่งค่าแรงดันที่ได้นี้จะเรียกว่ากรณิใดๆ ทั้งสิ้น อีกทั้งห้ามมิให้ดัดแปลงเนื้อหา และต้องอ้างอิงถึงเจ้าของเอกสารทุกครั้งที่มีการนำไปใช้

ส่งไปยังวงจรพัลส์วิดธ์มอดูเลชันเพื่อที่ปรับค่าความกว้างของพัลส์ให้เปลี่ยนไปตามข้อมูลของแรงดันอินพุท

ขา 3 เป็นขาที่ใช้สำหรับชดเชยกับวงจรขยายในกรณีเปิดลูปโดยการตัวเก็บประจุลงกับกราวด์หรือปรับตั้งค่าอัตราขยายให้กับวงจรขยายความผิดพลาดโดยการต่อร่วมกับขา 2

ขา 4 เป็นขาที่ใช้สำหรับต่อตัวเก็บประจุเพื่อหน่วงเวลาในการเริ่มนำกระแสของมอเตอร์ เพื่อให้ได้การทำงานในลักษณะ Soft Start

ขา 5 เป็นขาที่รีเซ็ต เพื่อการเริ่มต้นทำงานที่ถูกต้องและตรงจังหวะหลังจากการชัตดาวน์ (Shutdown) ซึ่งจะสังเกตได้ว่าขาที่รีเซ็ตจะต่ออยู่กับขาชัตดาวน์ ดังนั้นจะเกิดการรีเซ็ตทุกครั้งหลังจากทำการชัตดาวน์

ขา 6 ,7 เป็นขา Current Sense ทำหน้าที่รับกระแสจากหม้อแปลงกระแส (Current transformer) ทำหน้าที่คอยตรวจจับกระแส เอาท์พุท ด้วยวงจรเปรียบเทียบความเร็วสูง เมื่อเกิดความผิดปกติขึ้น วงจรเปรียบเทียบก็จะส่ง เอาท์พุท ไปชัตดาวน์ทันที เพื่อเป็นการป้องกันความเสียหายที่อาจเกิดขึ้นกับวงจร

ขา 8 เป็นขาที่ใช้สำหรับสั่งชัตดาวน์จากร่างภายนอกโดยการป้อนลอจิก “0”

ขา 9 เป็นขาที่ต่อกับ RT เพื่อที่จะกำหนดค่ากระแสให้กับหน่วยกำเนิดกระแสที่ภายใน ให้มีค่ากระแสที่เหมาะสมเพื่อให้ออสซิลเลเตอร์ (Oscillator) มีเสถียรภาพอยู่ในช่วงตั้งแต่ 1 ถึง 400 กิโลเฮิร์ต

ขา 10 เป็นขาที่ต่อกับตัวเก็บประจุ C<sub>t</sub> ใช้เพื่อที่จะกำหนดค่าความถี่ให้กับวงจรกำเนิดสัญญาณ

ขา 11 เป็นขาที่ใช้สำหรับกำหนดค่าเวลาหยุดนำกระแส (Dead Time) โดยการต่อตัวต้านทาน R<sub>d</sub> ลงกราวด์ โดยสามารถกำหนดค่า R<sub>d</sub> ได้ตั้งแต่ 0 ถึง 22 โอห์ม ซึ่งจะให้ค่าเวลาหยุดนำกระแสอยู่ในช่วง 1.5 ถึง 9.7 ไมโครเซคคัน

ขา 12 เป็นขาสัญญาณที่ออกจากวงจรกำเนิดสัญญาณ ต่อออกมายังภายนอกเพื่อนำไปใช้กับวงจรอื่นที่ต่อรวมที่ต้องการมีคาบเวลาเดียวกัน เพื่อให้เกิดการทำงานที่พร้อมกัน

ขา 13, 16 เป็นขาเอาท์พุทพัลส์ A และ B ตามลำดับ โดยพัลส์ที่ออกจากเอาท์พุททั้งสองจะมีเฟสต่างกัน 180 องศา พัลส์ที่ได้จะถูกนำไปขับวงจรคอนเวอร์เตอร์ต่อไป สามารถจ่ายกระแสได้สูงสุด 250 มิลลิแอมป์

ขา 14 เป็นขาที่ได้รับแรงดันไฟเลี้ยงสำหรับส่วนของเอาท์พุทภายในที่ใช้ มอเตอร์ ต่อกันแบบคอมพลีเมนต์ารี สามารถใช้ร่วมกับไฟเลี้ยงของไอซีขา 17 ก็ได้

เอกสารนี้เป็นเอกสารที่สงวนลิขสิทธิ์ของคณะวิศวกรรมศาสตร์ มหาวิทยาลัยเทคโนโลยีพระจอมเกล้าธนบุรี เพื่อการศึกษาเท่านั้น ไม่อนุญาตให้นำไปใช้ประโยชน์ด้านการค้าไม่ว่ากรณีใดๆ ทั้งสิ้น อีกทั้งห้ามมิให้ดัดแปลงเนื้อหา และต้องอ้างอิงถึงเจ้าของเอกสารทุกครั้งที่มีการนำไปใช้

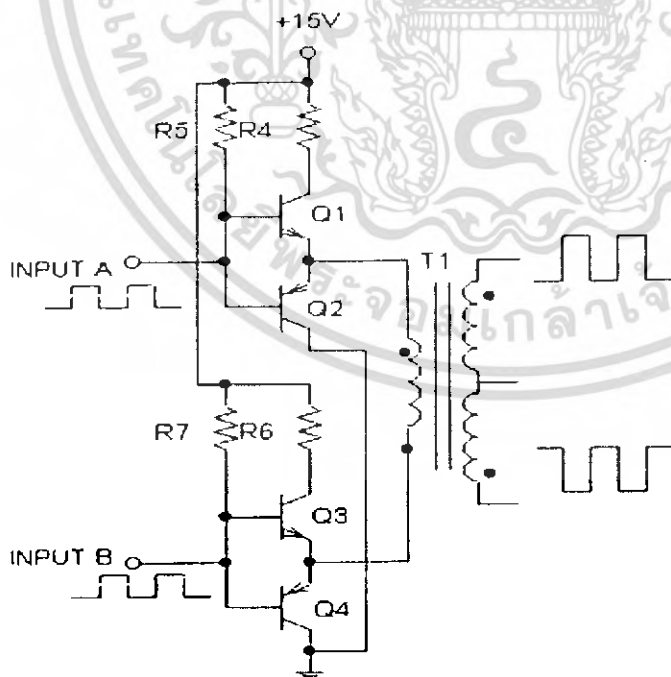
ขา 17 เป็นขาที่รับไฟเลี้ยงจากภายนอกมาทำการเลี้ยงวงจรภายในไอซีโดยผ่านวงจรสร้างค่าแรงดันอ้างอิง ( 5V ) ก่อนเพื่อให้ไอซีทำงานได้คงที่

ขา 18 เป็นขาเข้าที่พุทของวงจรถ้าเนตแรงดันอ้างอิงภายในไอซี เพื่อจะนำแรงดันอ้างอิงนี้ไปใช้กับวงจรภายนอก เพื่อให้มีค่าแรงดันอ้างอิงค่าเดียวกัน โดยสามารถจ่ายกระแสได้สูงสุด 50 มิลลิแอมป์

### 3.1.3 วงจรขับ

วงจรถ้าเนตประกอบด้วยมอสเฟตเอ็น-เซนแนล และ พี-เซนแนลต่อกันแบบคอมพลิเมนต์ารีจำนวนสอง โดยเอาที่พุทของวงจรถ้าเนตคอมพลิเมนต์ารีทั้งสองนั้น จะต่อผ่านขดลวดปฐมภูมิของตัวหม้อแปลงขับสวิตซ์ซึ่งเพื่อที่ส่งผ่านพลังงานไปยังขดลวดทุติยภูมิ นำไปขับเกตของเพาเวอร์มอสเฟตต่อไป

ในการทำงานในภาคนี้จะใช้ตัวทรานซิสเตอร์คือแบบคอมพลิเมนต์ารีจำนวน 2 ชุด เมื่อป้อนสัญญาณพัลส์ในช่วงบวกและลบให้กับหม้อแปลงขับปลิงเพื่อส่งผ่านพลังงานไปขับ MOSFET ในวงจร CONVERTER ต่อไป และเพื่อแยกกราวด์กับวงจรในส่วนของการคอนโทรลด้วย ซึ่งมีความปลอดภัยขึ้นเมื่อมีความเสียหายในวงจรภาค POWER SWITCHING



รูปที่ 3.4 แสดงวงจรถ้าเนตสัญญาณให้กับขาเกตของ POWER MOSFET

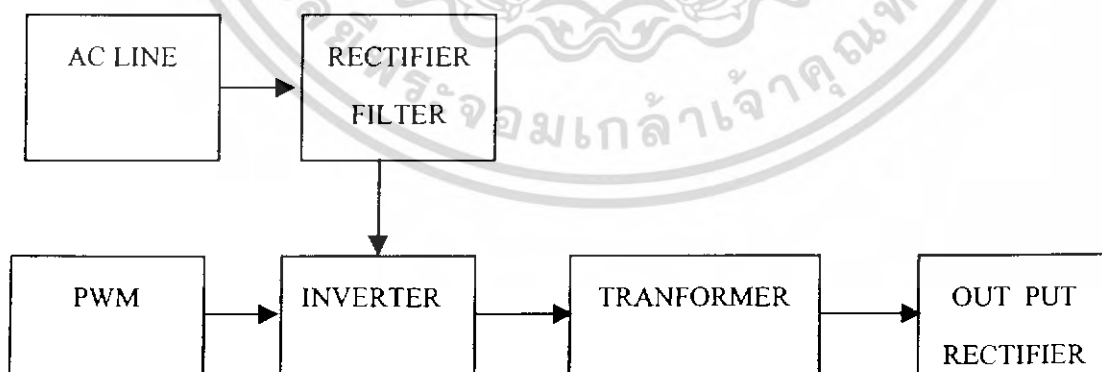
เอกสารนี้เป็นเอกสารที่สงวนไว้สำหรับการใช้งานเพื่อการศึกษาเท่านั้น ไม่อนุญาตให้นำไปใช้ประโยชน์ด้านการค้าไม่ว่ากรณีใดๆ ทั้งสิ้น อีกทั้งห้ามมิให้ดัดแปลงเนื้อหา และต้องอ้างอิงถึงเจ้าของเอกสารทุกครั้งที่มีการนำไปใช้

โดยการทำงานนั้นอธิบายได้ดังนี้ Out put จาก IC SG3526 ขา 13 และ 16 นั้นจะกลับเฟสกันอยู่ 180 องศา ดังนั้นการทำงานจากรูปที่ 3.4 เป็นดังนี้

เมื่อ Q1 และ Q4 นำกระแสจะทำให้เกิดพัลส์บวกไหลผ่านขดลวดทาง primary ในทางตรงกันข้ามเมื่อ Q2 และ Q3 นำกระแสจะทำให้เกิดพัลส์ไหลผ่านขดลวดทาง primary แทน และจากนั้นทางขด Secondary จะทำการขยายเป็น 2 ชุด และกลับเฟสกันอยู่เพื่อให้ MOS ทั้ง 2 ตัวนั้นทำงานไม่พร้อมกัน และส่วนที่เป็น POWER SWITCHING จะประกอบด้วยส่วนที่เป็นวงจรเรียงกระแสทางด้านอินพุตและวงจรอินเวอร์เตอร์แบบ BRIDGE INVERTER

### 3.2 ส่วนของวงจรเพาเวอร์สวิตชิง

วงจรในส่วนนี้มีหน้าที่หลักในการเปลี่ยนค่าความถี่ไฟเอซีไลน์ที่มีค่าประมาณ 50 เฮิร์ต ให้มีค่าสูงขึ้นเพื่อทำการส่งผ่านพลังงานที่มีประสิทธิภาพสูงโดยเริ่มจากการนำไฟกระแสสลับ 220 โวลต์ 50 เฮิร์ต มาทำการแปลงให้เป็นไฟกระแสตรง โดยใช้วงจรเรียงกระแสและวงจรกรองกระแสตามลำดับ จากนั้นจึงนำค่าไฟกระแสตรงที่ได้มาเปลี่ยนให้เป็นไฟกระแสสลับอีกครั้งหนึ่งในรูปของพัลส์ โดยใช้เพาเวอร์มอสเฟตสวิทช์ด้วยความถี่สูง โดยเรียกววงจรในส่วนนี้ว่า วงจรคอนเวอร์เตอร์ พัลส์ที่ได้จากการสวิทช์นี้ ก็จะนำไปป้อนให้กับหม้อแปลงเอาท์พุทความถี่สูงของขดลวดปฐมภูมิ เมื่อพลังงานถูกส่งผ่านไปยังขดลวดทุติยภูมิและทำการเรียงกระแส กรองกระแสแล้ว ก็จะได้เอาท์พุทเป็นแรงดันไฟกระแสตรงตามต้องการ โดยมีรายละเอียดของวงจรดังนี้



รูปที่ 3.5 แสดง BLOCK DIAGRAM ของวงจรส่วน CONVERTER

เอกสารนี้เป็นเอกสารที่สงวนไว้สำหรับการใช้งานเพื่อการศึกษาเท่านั้น ไม่อนุญาตให้นำไปใช้ประโยชน์ด้านการค้าไม่ว่ากรณีใดๆ ทั้งสิ้น อีกทั้งห้ามมิให้ดัดแปลงเนื้อหา และต้องอ้างอิงถึงเจ้าของเอกสารทุกครั้งที่มีการนำไปใช้

### 3.2.1 วงจรเรียงกระแสและกรองกระแสทางด้านอินพุต

วงจรเรียงกระแสที่ใช้สร้างไฟฟ้ากระแสตรงสำหรับป้อนให้วงจรคอนเวอร์เตอร์นี้เป็นแบบฟลูบริดจ์เรกติไฟเออร์โดยการเรียงกระแสแบบนี้จะทำให้ได้สัญญาณชอนต์เวฟที่มีค่าความถี่ชีกบนหรือชีกล่างเป็นสองเท่า เมื่อเทียบกับสัญญาณชีกบนหรือชีกล่างของไฟสลับทำให้เมื่อทำการกรองกระแสแล้วจะทำให้แรงดันรีปเปลี่ยมขนาดน้อยกว่าการกรองกระแสแบบอื่นๆ (เมื่อเทียบกับที่ตัวเก็บประจุกรองกระแสมีค่าเท่ากัน) เนื่องมาจากวงจรคอนเวอร์เตอร์ที่ใช้นั้นอยู่ในลักษณะฮาล์ฟบริดจ์คอนเวอร์เตอร์ ดังนั้นจึงจำเป็นต้องทำการแบ่งค่าแรงดันกระแสตรงจากการเรียงกระแสเป็นครึ่งหนึ่งโดยใช้ตัวเก็บประจุขนาดเท่าๆ กันคั่นกันแบบอนุกรม ค่อเข้ากับชุดแรงดันไฟฟ้ากระแสตรงดังรูปที่3.4และเพื่อจะให้แรงดันที่คั่นรวมตัวเก็บประจุมีค่าเท่ากันอย่างแท้จริงจึงจำเป็นต้องใส่ตัวต้านทานที่มีค่าเท่า ๆ กันต่อคร่อมตัวเก็บประจุ พบว่าขนาดของตัวเก็บประจุชุดที่แบ่งแรงดันนั้นจะต้องเพียงพอที่จะถ่ายเทพลังงานให้กับหม้อแปลงได้มีเช่นนั้นกระแสที่เอาท์พุทจะไม่ต่อเนื่องในส่วนของการกรองกระแสเป็นการกรองกระแสที่แรงดันสูง เราไม่สามารถหาตัวเก็บประจุที่มีค่าสูงๆหรือมีค่าความจุมากและสามารถทนแรงดันสูงๆได้ง่าย เนื่องจากจะมีราคาสูงแล้วยังหายาก การขนานตัวเก็บประจุเพื่อเพิ่มค่าความจุจึงเป็นวิธีที่ดีมากๆ อีกทั้งยังเป็นการลดค่าอิมพีแดนซ์ของแหล่งจ่าย เนื่องมาจากความต้านทานที่แผ่ภายในตัวเก็บประจุอีกด้วย

### 3.2.2 วงจรคอนเวอร์เตอร์

วงจรคอนเวอร์เตอร์ที่นำมาใช้เป็นแบบฮาร์ฟบริดจ์คอนเวอร์เตอร์ซึ่งประกอบด้วยเพาเวอร์มอสเฟต โดยเพาเวอร์มอสเฟต ชุดบนและชุดล่างจะสลับกันทำงาน

การทำงานของเพาเวอร์มอสเฟตจะเป็นไปตามพัลส์ที่ส่งมาจากวงจรควบคุมซึ่งผ่านหม้อแปลงขับโดยพัลส์จากขดลวดทุติยภูมิชุดบนจะกลับเฟสกันกับพัลส์ที่เกิดจากขดลวดชุดล่าง พัลส์ที่ออกจากขดลวดทุติยภูมินี้จะผ่านวงจรจำกัดแรงดันก่อน เพื่อป้องกันไม่ให้แรงดันที่ขาเกตของเพาเวอร์มอสเฟต มีค่าสูงมากเกินไปจนกว่าจุดที่เพาเวอร์มอสเฟต จะเกิดการอิมตัวโดยวงจรถูกกล่าวประกอบด้วยตัวต้านทานและซีเนอร์ไดโอดสองตัวที่ต่ออนุกรมกัน ถ้าแรงดันพัลส์ทางค่านบวกและลบมีค่าสูงเกินกว่าค่าเบรคดาวน์ของซีเนอร์ไดโอด ซีเนอร์ไดโอดก็จะนำกระแสทันที

ไดโอดที่ต่อคร่อมเพาเวอร์มอสเฟต คือ ไดโอดฟาสต์รีคัพเวอร์รี่ โดยต่อทั้งที่ชุดบนและชุดล่างเป็นคอมมิวเตตติ้งไดโอด (Commutating Diode) มีหน้าที่ประการแรกเพื่อป้องกันแรงดันสไปค์ที่เกิดขณะเพาเวอร์มอสเฟตเริ่มหยุดนำกระแสเนื่องจากพลังงานที่สะสมในขดลวดปฐมภูมิของตัวหม้อ-แปลงความถี่สูง และหน้าที่ประการที่สอง ในขณะที่ตัวเพาเวอร์มอสเฟต หยุดนำกระแสขดลวดปฐมภูมิของหม้อแปลงจะเกิดการกลับขั้วแรงดันขึ้นเมื่อรวมเข้ากับแรงดันครึ่งหนึ่งของ

เอกลัษณ์ของวงจรเรียงกระแสแบบฟลูบริดจ์เรกติไฟเออร์ที่นำมาใช้เพื่อแปลงแรงดันไฟฟ้าสลับเป็นแรงดันไฟฟ้ากระแสตรงที่มีค่าไม่ต่ำกว่ากรณีใดๆ ทั้งสิ้น อีกทั้งห้ามมิให้ตัดแปลงเนื้อหา และต้องอ้างอิงถึงเจ้าของเอกสารทุกครั้งที่มีการนำไปใช้

แหล่งจ่ายกระแสตรงแล้ว จะทำให้มีแรงดันตกคร่อมตัว เพาเวอร์มอสเฟตสูงมาก แต่ไดโอดฟาสต์รีคัทเวอร์รี่ ซึ่งต่ออยู่กับเพาเวอร์มอสเฟตตัวหนึ่งจะอยู่ในลักษณะไบแอสตรง ดังนั้นไดโอดนี้จะทำการนำกระแสเป็นการป้องกันอันตรายอันจะเกิดขึ้นกับตัวเพาเวอร์มอสเฟต

### 3.2.3 การออกแบบหม้อแปลงความถี่สูง (High Frequency Transformer)

การออกแบบหม้อแปลงความถี่สูงสำหรับสวิทช์ซิงเพาเวอร์ซัพพลายที่ต้องการแรงดันเอาต์พุต 250 โวลต์ และกระแสเอาต์พุต 10 A โดยใช้แกนเฟอร์ไรท์ที่มีพื้นที่หน้าตัดเท่ากับ 2.9 ตารางเซนติเมตร ซึ่งในการใช้งานที่อุณหภูมิปกติจะมีค่าความหนาแน่นสนามแม่เหล็กอิ่มตัวประมาณ 2400 เกาส์ จำนวนรอบของขดปฐมภูมิหาได้จากสมการ

$$NP = (V_p \times 10^8) / (K B_{max} A_c)$$

เมื่อ  $N_p$  คือจำนวนรอบของขดลวดปฐมภูมิ (รอบ)

$V_p$  คือแรงดันสูงสุดที่ขด primary

$K$  คือค่าคงที่ (สำหรับฟลักซ์ใช้ค่า =4)

$F$  คือค่าความถี่ในการใช้งาน

$B_{max}$  คือค่าความหนาแน่นฟลักซ์แม่เหล็กไฟฟ้า

$A_c$  คือขนาดของแกนหม้อแปลง

$$NP = (311 \times 10^8) / (4 \times 25 \times 10^3 \times (2.9)^2 \times 2350)$$

$$= 15.74$$

$$= 16 \text{ รอบ}$$

เราก็จะได้จำนวนขดลวดปฐมภูมิเท่ากับ 16 รอบ

เราสามารถหาจำนวนขดลวดทุติยภูมิได้ดังนี้

$$NP/NS = V_{in}/V_{out}$$

$$NS = (250/311) \times 16$$

$$= 12.86$$

เอกสารนี้เป็นเอกสารที่สงวนไว้สำหรับการใช้ 13 รอบ การศึกษาเท่านั้น ไม่อนุญาตให้นำไปใช้ประโยชน์ด้านการค้าไม่ว่ากรณีใดๆ ทั้งสิ้น อีกทั้งห้ามมิให้ดัดแปลงเนื้อหา และต้องอ้างอิงถึงเจ้าของเอกสารทุกครั้งที่มีการนำไปใช้

ตารางที่ 3.1 แสดงข้อมูลของขดลวดทองแดงที่ใช้พันหม้อแปลง

AWG	Dimeter Over Insuration (inch)		Nominal Circular Mil area	Resistance Per 1000 Ft	Current capacity In milliampares Bases on 1000 c.m/A	AWG
8	0.310	0.133	16510	0.6281	165110	8
9	0.116	0.119	13090	0.7925	13090	9
10	0.104	0.106	10380	0.9985	10380	10
11	0.0928	0.0948	8230	1.261	8226	11
12	0.0829	0.0847	6530	1.588	6529	12
13	0.0741	0.0757	5180	2.001	5184	13
14	0.0667	0.0682	4110	2.524	4109	14
15	0.0595	0.0609	3260	3.181	3260	15
16	0.0532	0.0545	2580	4.020	2581	16
17	0.0476	0.0488	2050	5.054	2052	17
18	0.0425	0.0437	1620	6.386	1624	18
19	0.0380	0.0391	1290	8.046	1289	19
20	0.0340	0.0351	1020	10.130	1024	20

### 3.2.4 วงจรแรงดันสูง

วงจรแรงดันสูงเป็นวงจรที่ใช้ในการกระตุ้นให้เกิดล้าพลาสมา โดยวงจรที่ใช้จะเป็นวงจรที่ใช้อุปกรณ์ Silicon rectifier (SCR) และใช้การเพิ่มแรงดันทางเอ้าท์พุทโดยการพันหม้อแปลงแบบ Step up และนำไปใช้งาน

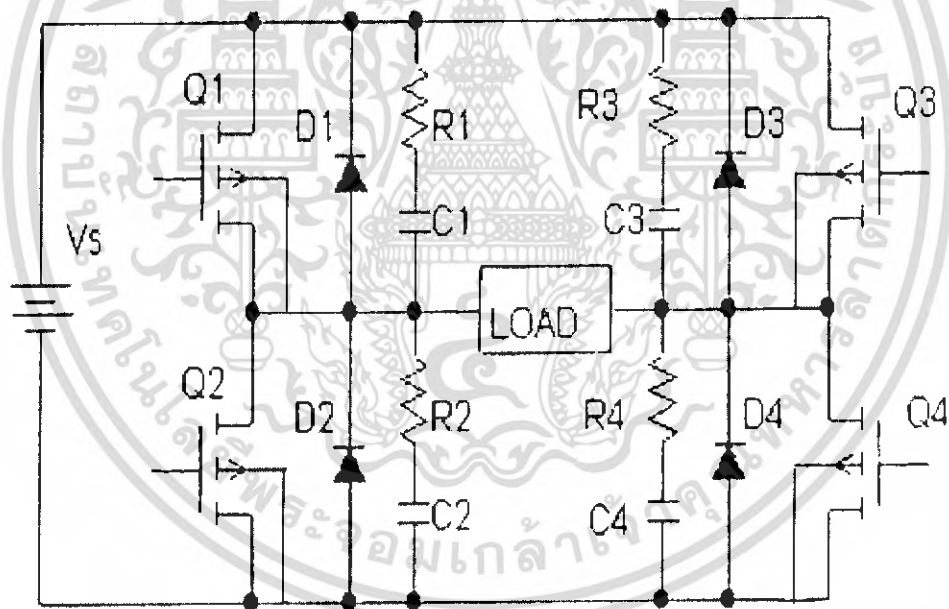
เอกสารนี้เป็นเอกสารที่สงวนไว้สำหรับการใช้งานเพื่อการศึกษาเท่านั้น ไม่อนุญาตให้นำไปใช้ประโยชน์ด้านการค้าไม่ว่ากรณีใดๆ ทั้งสิ้น อีกทั้งห้ามมิให้ดัดแปลงเนื้อหา และต้องอ้างอิงถึงเจ้าของเอกสารทุกครั้งที่มีการนำไปใช้

### 3.2.5 วงจรควบคุมการจุด / ดับพลาสมา

เนื่องจากการเกิดพลาสมาและการดับของพลาสมานั้น จะต้องควบคุมจากสวิทช์ที่หัวตัด เพียงสวิทช์เดียวการออกแบบเพื่อรองรับเงื่อนไขดังกล่าวจึงได้นำรีเลย์สวิทช์มาใช้ในการประกอบ เป็นวงจรตัดต่อวงจรแรงดันสูงและการดับของพลาสมาที่ใช้รีเลย์สวิทช์ควบคุมสัญญาณ Logic ของ ขา Reset ของ SG3525

### 3.3 วงจรสับเบอร์ด

วงจรสับเบอร์ดเป็นส่วนที่เพิ่มเติมเข้ามาในวงจรอินเวอร์เตอร์ เพื่อลดการเกิดกำลังสูญเสีย และป้องกันการเสียหายที่อาจเกิดขึ้นกับเพาเวอร์ทรานซิสเตอร์ในขณะที่ทำงานปกติ วงจรสับเบอร์ดนี้อาจแบ่งออกได้เป็น 2 ลักษณะคือ วงจรสับเบอร์ดช่วงหยุดนำกระแส และสับเบอร์ดป้องกันแรงดันเกิน วงจรสับเบอร์ดทั่วไปจะประกอบด้วยตัวต้านทาน ตัวเก็บประจุไดโอด เรียกว่าวงจร RCD สับเบอร์ดซึ่งมีรายละเอียดดังนี้



รูปที่ 3.6 วงจร INVERTER ที่มีส่วนของ RCD สับเบอร์ด

ในวงจรนี้เราจะพูดแต่วงจรสับเบอร์ดที่เป็นส่วนประกอบอยู่ในวงจรอินเวอร์เตอร์ ไดโอดจะทำงานเป็นคู่ คือคู่ของ D1 กับ D4 และ D2 กับ D3 เมื่อไดโอดชุดใดทำงานอีกชุดก็จะหยุดทำงาน ถ้า Q1 และ Q4 หยุดนำกระแส LOAD ก็ยังไหลอย่างต่อเนื่องผ่านทาง D3 และ D4 จน

เอกสารนี้เป็นเอกสารที่สงวนไว้สำหรับการใช้งานเพื่อการศึกษาเท่านั้น ไม่อนุญาตให้นำไปใช้ประโยชน์ด้านการค้าไม่ว่ากรณีใดๆ ทั้งสิ้น อีกทั้งห้ามมิให้ดัดแปลงเนื้อหา และต้องอ้างอิงถึงเจ้าของเอกสารทุกครั้งที่มีการนำไปใช้

## LM324, LM324A, LM224, LM2902, LM2902V, NCV2902

### ELECTRICAL CHARACTERISTICS ( $V_{CC} = 5.0\text{ V}$ , $V_{EE} = \text{Gnd}$ , $T_A = 25^\circ\text{C}$ , unless otherwise noted.)

Characteristics	Symbol	LM224			LM324A			LM324			LM2902			LM2902V/NCV2902			Unit
		Min	Typ	Max	Min	Typ	Max	Min	Typ	Max	Min	Typ	Max	Min	Typ	Max	
Input Offset Voltage $V_{CC} = 5.0\text{ V}$ to $30\text{ V}$ ( $26\text{ V}$ for LM2902, V), $V_{ICR} = 0\text{ V}$ to $V_{CC} - 1.7\text{ V}$ , $V_O = 1.4\text{ V}$ , $R_S = 0\ \Omega$ $T_A = 25^\circ\text{C}$ $T_A = T_{\text{high}}$ (Note 2) $T_A = T_{\text{low}}$ (Note 2)	$V_{IO}$	-	2.0	5.0	-	2.0	8.0	-	2.0	7.0	-	2.0	7.0	-	2.0	7.0	mV
Average Temperature Coefficient of Input Offset Voltage $T_A = T_{\text{high}}$ to $T_{\text{low}}$ (Notes 2 and 4)	$\Delta V_{IO}/\Delta T$	-	7.0	-	-	7.0	30	-	7.0	-	-	7.0	-	-	7.0	-	$\mu\text{V}/^\circ\text{C}$
Input Offset Current $T_A = T_{\text{high}}$ to $T_{\text{low}}$ (Note 2)	$I_{IO}$	-	3.0	30	-	5.0	30	-	5.0	50	-	5.0	50	-	5.0	50	nA
Average Temperature Coefficient of Input Offset Current $T_A = T_{\text{high}}$ to $T_{\text{low}}$ (Notes 2 and 4)	$\Delta I_{IO}/\Delta T$	-	10	-	-	10	300	-	10	-	-	10	-	-	10	-	$\text{pA}/^\circ\text{C}$
Input Bias Current $T_A = T_{\text{high}}$ to $T_{\text{low}}$ (Note 2)	$I_{IB}$	-	-90	-150	-	-45	-100	-	-90	-250	-	-90	-250	-	-90	-250	nA
Input Common Mode Voltage Range (Note 3) $V_{CC} = 30\text{ V}$ ( $26\text{ V}$ for LM2902, V) $T_A = +25^\circ\text{C}$ $T_A = T_{\text{high}}$ to $T_{\text{low}}$ (Note 2)	$V_{ICR}$	0	-	28.3	0	-	28.3	0	-	28.3	0	-	24.3	0	-	24.3	V
Differential Input Voltage Range	$V_{IDR}$	-	-	$V_{CC}$	-	-	$V_{CC}$	-	-	$V_{CC}$	-	-	$V_{CC}$	-	-	$V_{CC}$	V
Large Signal Open Loop Voltage Gain $R_L = 2.0\text{ k}\Omega$ , $V_{CC} = 15\text{ V}$ , for Large $V_O$ Swing $T_A = T_{\text{high}}$ to $T_{\text{low}}$ (Note 2)	$A_{VOL}$	50	100	-	25	100	-	25	100	-	25	100	-	25	100	-	V/mV
Channel Separation $10\text{ kHz} \leq f \leq 20\text{ kHz}$ , Input Referenced	CS	-	-120	-	-	-120	-	-	-120	-	-	-120	-	-	-120	-	dB
Common Mode Rejection, $R_S \leq 10\text{ k}\Omega$	CMR	70	85	-	65	70	-	65	70	-	50	70	-	50	70	-	dB
Power Supply Rejection	PSR	65	100	-	65	100	-	65	100	-	50	100	-	50	100	-	dB

- LM224:  $T_{\text{low}} = -25^\circ\text{C}$ ,  $T_{\text{high}} = +85^\circ\text{C}$   
LM324/LM324A:  $T_{\text{low}} = 0^\circ\text{C}$ ,  $T_{\text{high}} = +70^\circ\text{C}$   
LM2902:  $T_{\text{low}} = -40^\circ\text{C}$ ,  $T_{\text{high}} = +105^\circ\text{C}$   
LM2902V & NCV2902:  $T_{\text{low}} = -40^\circ\text{C}$ ,  $T_{\text{high}} = +125^\circ\text{C}$   
NCV2902 is qualified for automotive use.

- The input common mode voltage or either input signal voltage should not be allowed to go negative by more than  $0.3\text{ V}$ . The upper end of the common mode voltage range is  $V_{CC} - 1.7\text{ V}$ .
- Guaranteed by design.

<http://onsemi.com>

เอกสารนี้เป็นเอกสารที่สงวนไว้สำหรับการใช้ในวงจำกัดเท่านั้น ไม่อนุญาตให้นำไปใช้ประโยชน์ด้านการค้า  
ไม่ว่ากรณีใดๆ ทั้งสิ้น อีกทั้งห้ามมิให้ดัดแปลงเนื้อหา และต้องอ้างอิงถึงเจ้าของเอกสารทุกครั้งที่มีการนำไปใช้

## LM324, LM324A, LM224, LM2902, LM2902V, NCV2902

**ELECTRICAL CHARACTERISTICS** ( $V_{CC} = 5.0\text{ V}$ ,  $V_{EE} = \text{Gnd}$ ,  $T_A = 25^\circ\text{C}$ , unless otherwise noted.)

Characteristics	Symbol	LM224			LM324A			LM324			LM2902			LM2902V/NCV2902			Unit
		Min	Typ	Max	Min	Typ	Max	Min	Typ	Max	Min	Typ	Max	Min	Typ	Max	
Output Voltage— High Limit ( $T_A = T_{\text{high to } T_{\text{low}}}$ ) (Note 5) $V_{CC} = 5.0\text{ V}$ , $R_L = 2.0\text{ k}\Omega$ , $T_A = 25^\circ\text{C}$ $V_{CC} = 30\text{ V}$ (26 V for LM2902, V), $R_L = 2.0\text{ k}\Omega$ $V_{CC} = 30\text{ V}$ (26 V for LM2902, V), $R_L = 10\text{ k}\Omega$	$V_{OH}$	3.3	3.5	—	3.3	3.5	—	3.3	3.5	—	3.3	3.5	—	3.3	3.5	—	V
Output Voltage— Low Limit, $V_{CC} = 5.0\text{ V}$ , $R_L = 10\text{ k}\Omega$ , $T_A = T_{\text{high to } T_{\text{low}}}$ (Note 5)	$V_{OL}$	—	5.0	20	—	5.0	20	—	5.0	20	—	5.0	100	—	5.0	100	mV
Output Source Current ( $V_{ID} = +1.0\text{ V}$ , $V_{CC} = 15\text{ V}$ ) $T_A = 25^\circ\text{C}$ $T_A = T_{\text{high to } T_{\text{low}}}$ (Note 5)	$I_{O+}$	20	40	—	20	40	—	20	40	—	20	40	—	20	40	—	mA
Output Sink Current ( $V_{ID} = -1.0\text{ V}$ , $V_{CC} = 15\text{ V}$ ) $T_A = 25^\circ\text{C}$ $T_A = T_{\text{high to } T_{\text{low}}}$ (Note 5) $(V_{ID} = -1.0\text{ V}$ , $V_O = 200\text{ mV}$ , $T_A = 25^\circ\text{C})$	$I_{O-}$	10	20	—	10	20	—	10	20	—	10	20	—	10	20	—	mA
Output Short Circuit to Ground (Note 6)	$I_{SC}$	—	40	60	—	40	60	—	40	60	—	40	60	—	40	60	mA
Power Supply Current ( $T_A = T_{\text{high to } T_{\text{low}}}$ ) (Note 5) $V_{CC} = 30\text{ V}$ (26 V for LM2902, V), $V_O = 0\text{ V}$ , $R_L = \infty$ $V_{CC} = 5.0\text{ V}$ , $V_O = 0\text{ V}$ , $R_L = \infty$	$I_{CC}$	—	—	3.0	—	1.4	3.0	—	—	3.0	—	—	3.0	—	—	3.0	mA

5. LM224:  $T_{\text{low}} = -25^\circ\text{C}$ ,  $T_{\text{high}} = +85^\circ\text{C}$

LM324/LM324A:  $T_{\text{low}} = 0^\circ\text{C}$ ,  $T_{\text{high}} = +70^\circ\text{C}$

LM2902:  $T_{\text{low}} = -40^\circ\text{C}$ ,  $T_{\text{high}} = +105^\circ\text{C}$

LM2902V & NCV2902:  $T_{\text{low}} = -40^\circ\text{C}$ ,  $T_{\text{high}} = +125^\circ\text{C}$

NCV2902 is qualified for automotive use.

6. The input common mode voltage or either input signal voltage should not be allowed to go negative by more than 0.3 V. The upper end of the common mode voltage range is  $V_{CC} - 1.7\text{ V}$ .

LM324, LM324A, LM224, LM2902, LM2902V, NCV2902

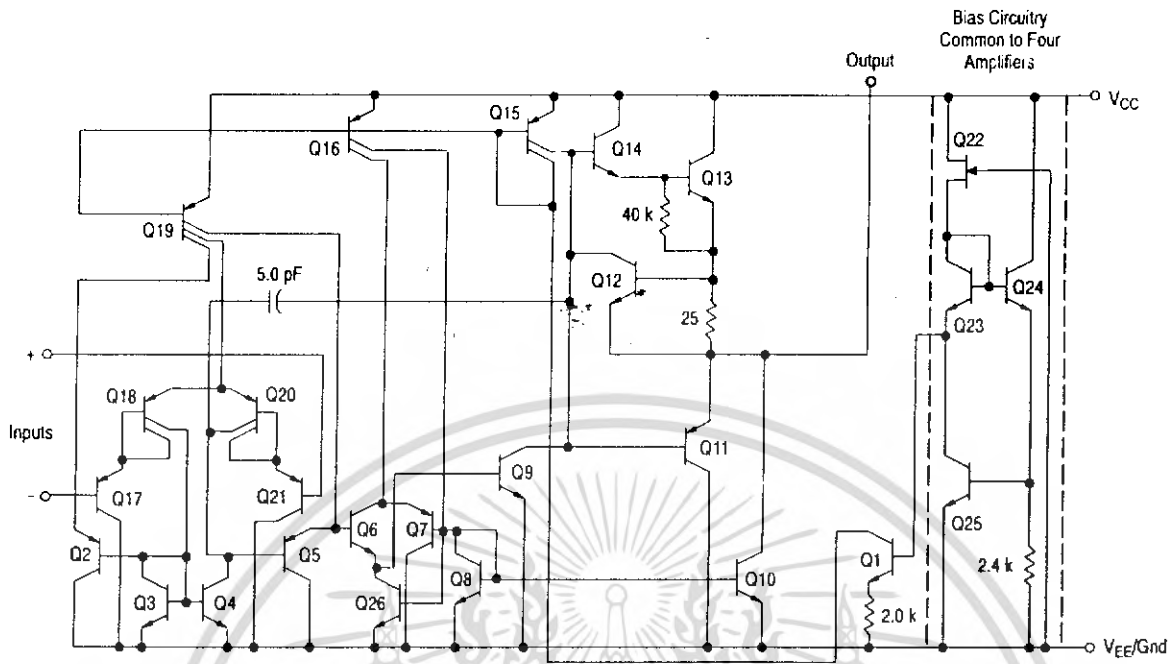


Figure 1. Representative Circuit Diagram  
(One-Fourth of Circuit Shown)

## LM324, LM324A, LM224, LM2902, LM2902V, NCV2902

### CIRCUIT DESCRIPTION

The LM324 series is made using four internally compensated, two-stage operational amplifiers. The first stage of each consists of differential input devices Q20 and Q18 with input buffer transistors Q21 and Q17 and the differential to single ended converter Q3 and Q4. The first stage performs not only the first stage gain function but also performs the level shifting and transconductance reduction functions. By reducing the transconductance, a smaller compensation capacitor (only 5.0 pF) can be employed, thus saving chip area. The transconductance reduction is accomplished by splitting the collectors of Q20 and Q18. Another feature of this input stage is that the input common mode range can include the negative supply or ground, in single supply operation, without saturating either the input devices or the differential to single-ended converter. The second stage consists of a standard current source load amplifier stage.

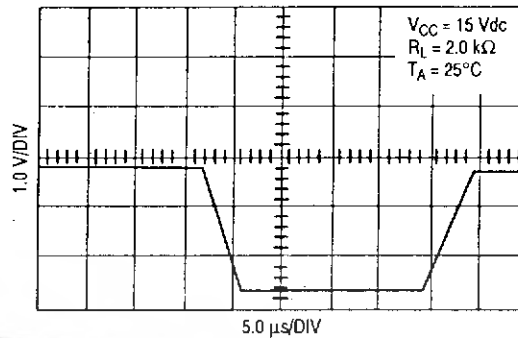


Figure 2. Large Signal Voltage Follower Response

Each amplifier is biased from an internal-voltage regulator which has a low temperature coefficient thus giving each amplifier good temperature characteristics as well as excellent power supply rejection.



Figure 3.

LM324, LM324A, LM224, LM2902, LM2902V, NCV2902

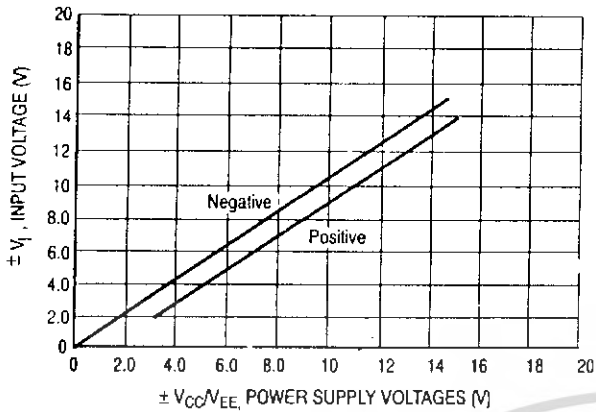


Figure 4. Input Voltage Range

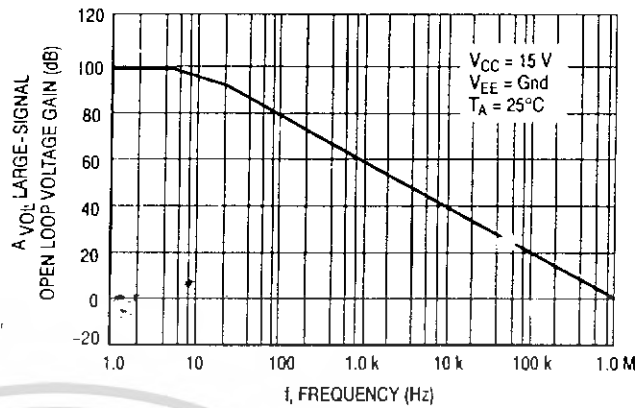


Figure 5. Open Loop Frequency

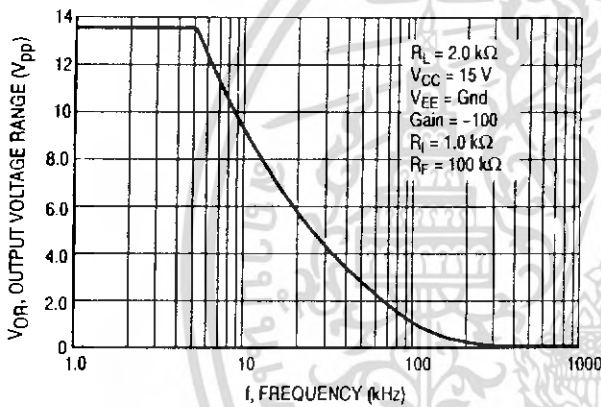


Figure 6. Large-Signal Frequency Response

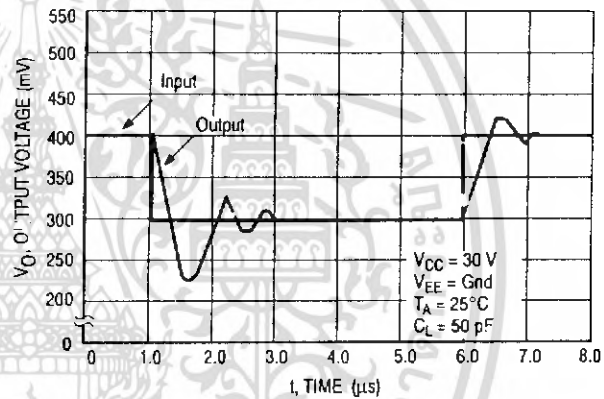


Figure 7. Small-Signal Voltage Follower Pulse Response (Noninverting)

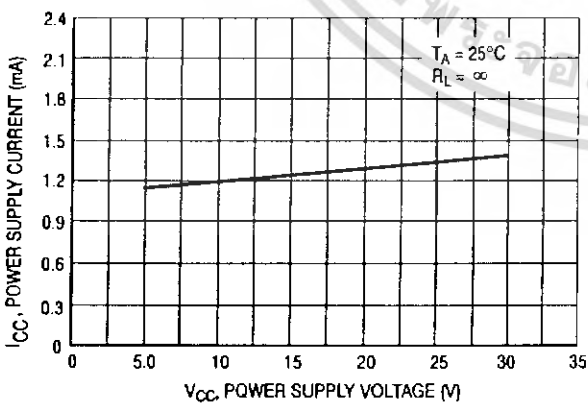


Figure 8. Power Supply Current versus Power Supply Voltage

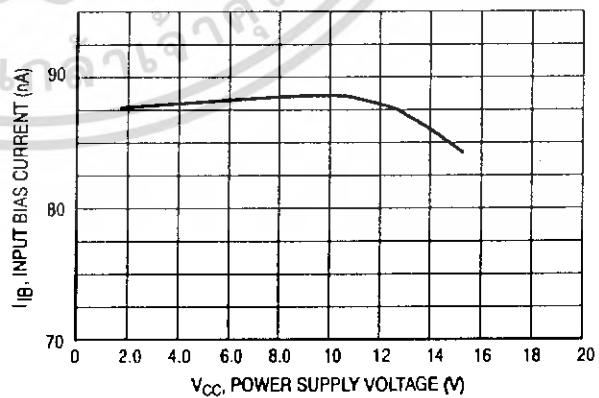


Figure 9. Input Bias Current versus Power Supply Voltage

LM324, LM324A, LM224, LM2902, LM2902V, NCV2902

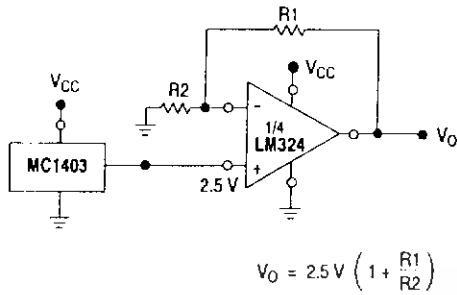


Figure 10. Voltage Reference

$$V_0 = 2.5V \left( 1 + \frac{R1}{R2} \right)$$

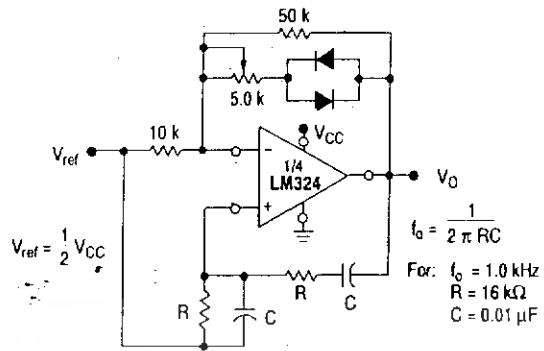


Figure 11. Wien Bridge Oscillator

$$V_{ref} = \frac{1}{2} V_{CC}$$

$$f_0 = \frac{1}{2\pi RC}$$

For:  $f_0 = 1.0 \text{ kHz}$   
 $R = 16 \text{ k}\Omega$   
 $C = 0.01 \mu\text{F}$

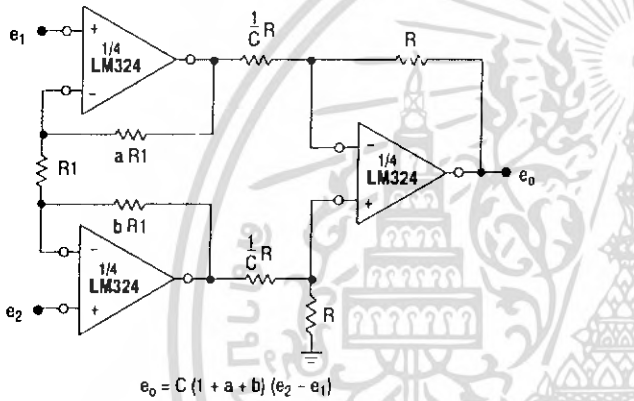


Figure 12. High Impedance Differential Amplifier

$$e_0 = C(1 + a + b)(e_2 - e_1)$$

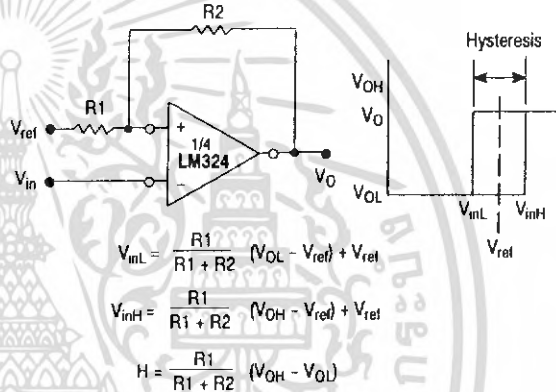


Figure 13. Comparator with Hysteresis

$$V_{inL} = \frac{R1}{R1 + R2} (V_{OL} - V_{ref}) + V_{ref}$$

$$V_{inH} = \frac{R1}{R1 + R2} (V_{OH} - V_{ref}) + V_{ref}$$

$$H = \frac{R1}{R1 + R2} (V_{OH} - V_{OL})$$

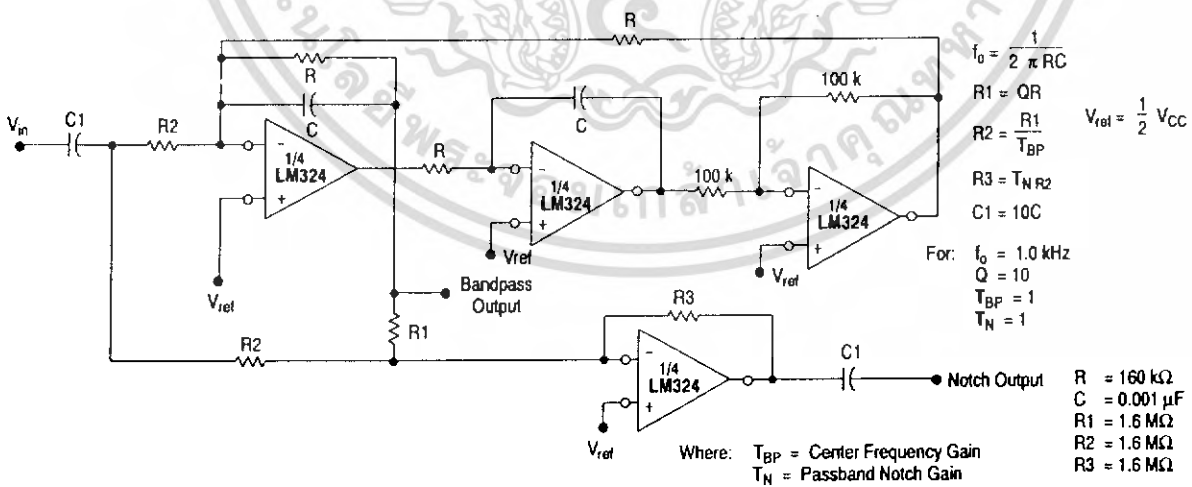


Figure 14. Bi-Quad Filter

$$f_0 = \frac{1}{2\pi RC}$$

$$V_{ref} = \frac{1}{2} V_{CC}$$

For:  $f_0 = 1.0 \text{ kHz}$   
 $Q = 10$   
 $T_{BP} = 1$   
 $T_N = 1$

$R = 160 \text{ k}\Omega$   
 $C = 0.001 \mu\text{F}$   
 $R1 = 1.6 \text{ M}\Omega$   
 $R2 = 1.6 \text{ M}\Omega$   
 $R3 = 1.6 \text{ M}\Omega$

Where:  $T_{BP}$  = Center Frequency Gain  
 $T_N$  = Passband Notch Gain

## LM324, LM324A, LM224, LM2902, LM2902V, NCV2902

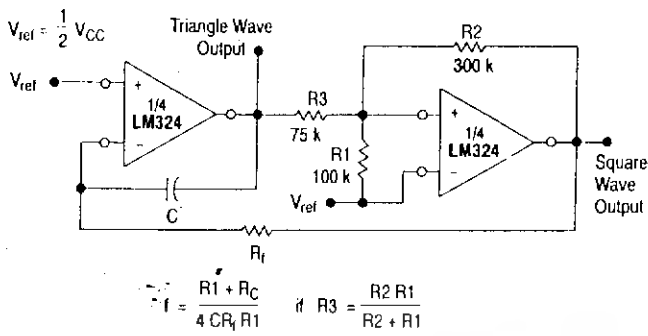


Figure 15. Function Generator

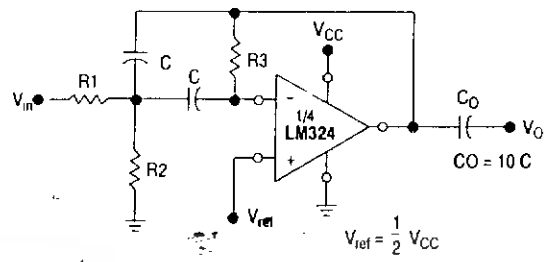


Figure 16. Multiple Feedback Bandpass Filter

Given:  $f_0$  = center frequency  
 $A(f_0)$  = gain at center frequency

Choose value  $f_0, C$

Then:  $R3 = \frac{Q}{\pi f_0 C}$

$R1 = \frac{R3}{2 A(f_0)}$

$R2 = \frac{R1 R3}{4Q^2 R1 - R3}$

For less than 10% error from operational amplifier,  $\frac{Q_0 f_0}{BW} < 0.1$

where  $f_0$  and BW are expressed in Hz.

If source impedance varies, filter may be preceded with voltage follower buffer to stabilize filter parameters.

LM324, LM324A, LM224, LM2902, LM2902V, NCV2902

ORDERING INFORMATION

Device	Package	Operating Temperature Range	Shipping
LM224D	SO-14	-25° to +85°C	55 Units/Rail
LM224DR2	SO-14		2500 Tape & Reel
LM224DTB	TSSOP-14		96 Units/Rail
LM224DTBR2	TSSOP-14		2500 Tape & Reel
LM224N	PDIP-14		25 Units/Rail
LM324D	SO-14	0° to +70°C	55 Units/Rail
LM324DR2	SO-14		2500 Tape & Reel
LM324DTB	TSSOP-14		96 Units/Rail
LM324DTBR2	TSSOP-14		2500 Tape & Reel
LM324N	PDIP-14		25 Units/Rail
LM324AD	SO-14	0° to +70°C	55 Units/Rail
LM324ADR2	SO-14		2500 Tape & Reel
LM324ADTB	TSSOP-14		96 Units/Rail
LM324ADTBR2	TSSOP-14		2500 Tape & Reel
LM324AN	PDIP-14		25 Units/Rail
LM2902D	SO-14	-40° to +105°C	55 Units/Rail
LM2902DR2	SO-14		2500 Tape & Reel
LM2902DTB	TSSOP-14		96 Units/Rail
LM2902DTBR2	TSSOP-14		2500 Tape & Reel
LM2902N	PDIP-14		25 Units/Rail
LM2902VD	SO-14	-40° to +125°C	55 Units/Rail
LM2902VDR2	SO-14		2500 Tape & Reel
LM2902VDTB	TSSOP-14		96 Units/Rail
LM2902VDTBR2	TSSOP-14		2500 Tape & Reel
LM2902VN	PDIP-14		25 Units/Rail
NCV2902DR2	SO-14		2500 Tape & Reel

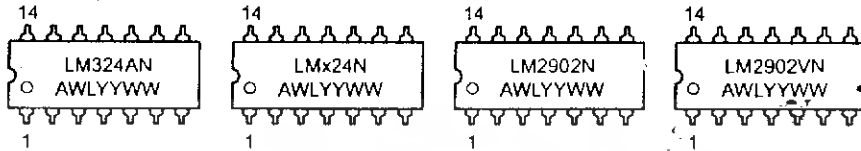
<http://onsemi.com>

เอกสารนี้เป็นเอกสารที่สงวนไว้สำหรับการใช้งานเพื่อการศึกษาเท่านั้น ไม่อนุญาตให้นำไปใช้ประโยชน์ด้านการค้า  
ไม่ว่ากรณีใดๆ ทั้งสิ้น อีกทั้งห้ามมิให้ดัดแปลงเนื้อหา และต้องอ้างอิงถึงเจ้าของเอกสารทุกครั้งที่มีการนำไปใช้

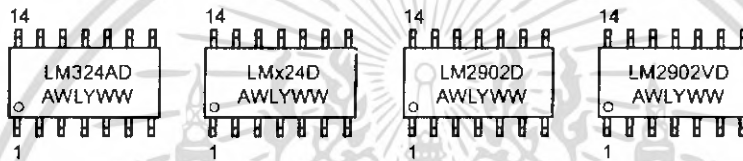
# LM324, LM324A, LM224, LM2902, LM2902V, NCV2902

## MARKING DIAGRAMS

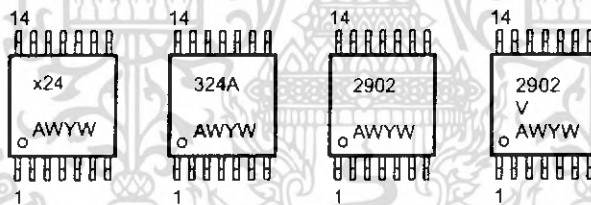
PDIP-14  
N SUFFIX  
CASE 646



SO-14  
D SUFFIX  
CASE 751A



TSSOP-14  
DTB SUFFIX  
CASE 948G



x = 2 or 3  
A = Assembly Location  
WL = Wafer Lot  
YY, Y = Year  
WW, W = Work Week

\*This marking diagram also applies to NCV2902.

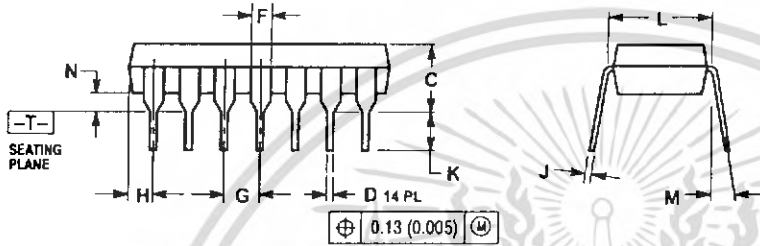
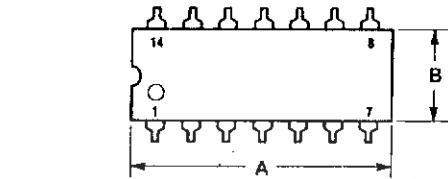
<http://onsemi.com>

เอกสารนี้เป็นเอกสารที่สงวนไว้สำหรับการใช้งานที่ 10 การศึกษาเท่านั้น ไม่อนุญาตให้นำไปใช้ประโยชน์ด้านการค้า  
ไม่ว่ากรณีใดๆ ทั้งสิ้น อีกทั้งห้ามมิให้ดัดแปลงเนื้อหา และต้องอ้างอิงถึงเจ้าของเอกสารทุกครั้งที่มีการนำไปใช้

# LM324, LM324A, LM224, LM2902, LM2902V, NCV2902

## PACKAGE DIMENSIONS

PDIP-14  
N SUFFIX  
CASE 646-06  
ISSUE M



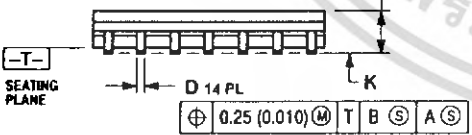
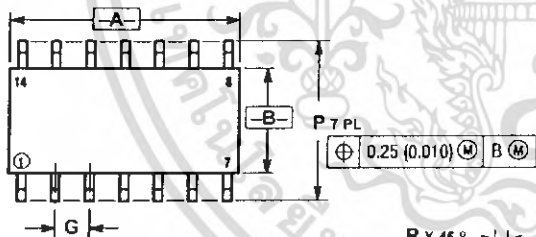
$\oplus 0.13 (0.005) \text{ M}$

NOTES:

1. DIMENSIONING AND TOLERANCING PER ANSI Y14.5M, 1982.
2. CONTROLLING DIMENSION: INCH.
3. DIMENSION L TO CENTER OF LEADS WHEN FORMED PARALLEL.
4. DIMENSION B DOES NOT INCLUDE MOLD FLASH.
5. ROUNDED CORNERS OPTIONAL.

DIM	INCHES		MILLIMETERS	
	MIN	MAX	MIN	MAX
A	0.715	0.770	18.16	18.80
B	0.240	0.260	6.10	6.60
C	0.145	0.185	3.69	4.69
D	0.015	0.021	0.38	0.53
F	0.040	0.070	1.02	1.78
G	0.100 BSC		2.54 BSC	
H	0.052	0.095	1.32	2.41
J	0.008	0.015	0.20	0.38
K	0.115	0.135	2.92	3.43
L	0.290	0.310	7.37	7.87
M	---	10°	---	10°
N	0.015	0.039	0.38	1.01

SO-14  
D SUFFIX  
CASE 751A-03  
ISSUE F



$\oplus 0.25 (0.010) \text{ M}$  T B S A S

NOTES:

1. DIMENSIONING AND TOLERANCING PER ANSI Y14.5M, 1982.
2. CONTROLLING DIMENSION: MILLIMETER.
3. DIMENSIONS A AND B DO NOT INCLUDE MOLD PROTRUSION.
4. MAXIMUM MOLD PROTRUSION 0.15 (0.006) PER SIDE.
5. DIMENSION D DOES NOT INCLUDE DAMBAR PROTRUSION. ALLOWABLE DAMBAR PROTRUSION SHALL BE 0.127 (0.005) TOTAL IN EXCESS OF THE D DIMENSION AT MAXIMUM MATERIAL CONDITION.

DIM	MILLIMETERS		INCHES	
	MIN	MAX	MIN	MAX
A	8.55	8.75	0.337	0.344
B	3.80	4.00	0.150	0.157
C	1.35	1.75	0.054	0.068
D	0.35	0.49	0.014	0.019
F	0.40	1.25	0.016	0.049
G	1.27 BSC		0.050 BSC	
J	0.19	0.25	0.008	0.009
K	0.10	0.25	0.004	0.008
M	0°	7°	0°	7°
P	5.80	6.20	0.228	0.244
R	0.25	0.50	0.010	0.019

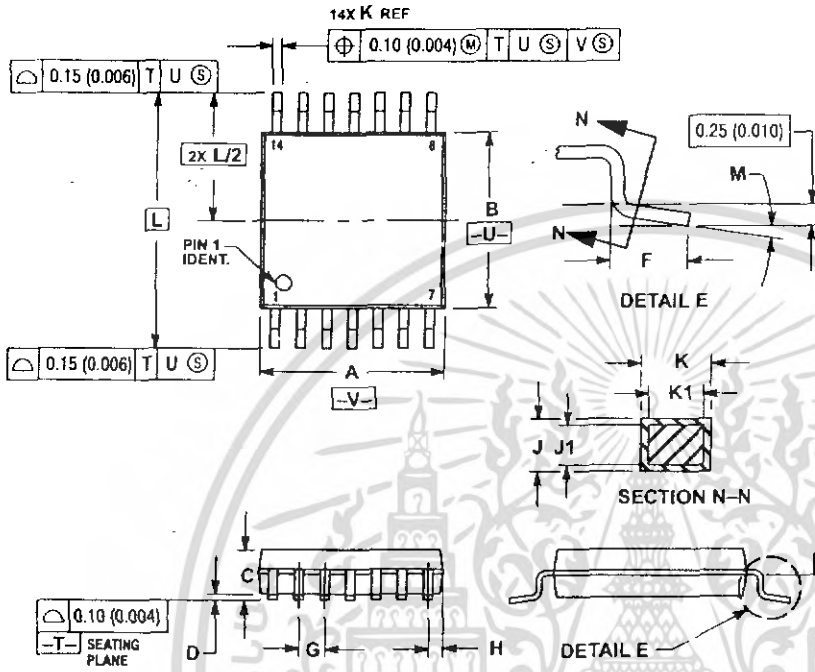
<http://onsemi.com>

เอกสารนี้เป็นเอกสารที่สงวนไว้สำหรับการใช้งานเพื่อการศึกษาเท่านั้น ไม่อนุญาตให้นำไปใช้ประโยชน์ด้านการค้า  
ไม่ว่ากรณีใดๆ ทั้งสิ้น อีกทั้งห้ามมิให้ดัดแปลงเนื้อหา และต้องอ้างอิงถึงเจ้าของเอกสารทุกครั้งที่มีการนำไปใช้

# LM324, LM324A, LM224, LM2902, LM2902V, NCV2902

## PACKAGE DIMENSIONS

TSSOP-14  
DTB SUFFIX  
CASE 948G-01  
ISSUE O



- NOTES:
1. DIMENSIONING AND TOLERANCING PER ANSI Y14.5M, 1982.
  2. CONTROLLING DIMENSION: MILLIMETER.
  3. DIMENSION A DOES NOT INCLUDE MOLD FLASH, PROTRUSIONS OR GATE BURRS. MOLD FLASH OR GATE BURRS SHALL NOT EXCEED 0.15 (0.006) PER SIDE.
  4. DIMENSION B DOES NOT INCLUDE INTERLEAD FLASH OR PROTRUSION. INTERLEAD FLASH OR PROTRUSION SHALL NOT EXCEED 0.25 (0.010) PER SIDE.
  5. DIMENSION K DOES NOT INCLUDE DAMBAR PROTRUSION. ALLOWABLE DAMBAR PROTRUSION SHALL BE 0.08 (0.003) TOTAL IN EXCESS OF THE K DIMENSION AT MAXIMUM MATERIAL CONDITION.
  6. TERMINAL NUMBERS ARE SHOWN FOR REFERENCE ONLY.
  7. DIMENSION A AND B ARE TO BE DETERMINED AT DATUM PLANE -W-.

DIM	MILLIMETERS		INCHES	
	MIN	MAX	MIN	MAX
A	4.90	5.10	0.193	0.200
B	4.30	4.50	0.169	0.177
C	---	1.20	---	0.047
D	0.05	0.15	0.002	0.006
F	0.50	0.75	0.020	0.030
G	0.65 BSC		0.026 BSC	
H	0.50	0.60	0.020	0.024
J	0.09	0.20	0.004	0.008
J1	0.09	0.16	0.004	0.006
K	0.19	0.30	0.007	0.012
K1	0.19	0.25	0.007	0.010
L	6.40 BSC		0.252 BSC	
M	0°		0°	

ON Semiconductor and are registered trademarks of Semiconductor Components Industries, LLC (SCILLC). SCILLC reserves the right to make changes without further notice to any products herein. SCILLC makes no warranty, representation or guarantee regarding the suitability of its products for any particular purpose, nor does SCILLC assume any liability arising out of the application or use of any product or circuit, and specifically disclaims any and all liability, including without limitation special, consequential or incidental damages. "Typical" parameters which may be provided in SCILLC data sheets and/or specifications can and do vary in different applications and actual performance may vary over time. All operating parameters, including "Typicals" must be validated for each customer application by customer's technical experts. SCILLC does not convey any license under its patent rights nor the rights of others. SCILLC products are not designed, intended, or authorized for use as components in systems intended for surgical implant into the body, or other applications intended to support or sustain life, or for any other application in which the failure of the SCILLC product could create a situation where personal injury or death may occur. Should Buyer purchase or use SCILLC products for any such unintended or unauthorized application, Buyer shall indemnify and hold SCILLC and its officers, employees, subsidiaries, affiliates, and distributors harmless against all claims, costs, damages, and expenses, and reasonable attorney fees arising out of, directly or indirectly, any claim of personal injury or death associated with such unintended or unauthorized use, even if such claim alleges that SCILLC was negligent regarding the design or manufacture of the part. SCILLC is an Equal Opportunity/Affirmative Action Employer.

### PUBLICATION ORDERING INFORMATION

Literature Fulfillment:  
Literature Distribution Center for ON Semiconductor  
P.O. Box 5163, Denver, Colorado 80217 USA  
Phone: 303-675-2175 or 800-344-3860 Toll Free USA/Canada  
Fax: 303-675-2176 or 800-344-3867 Toll Free USA/Canada  
Email: ONlit@hibbertco.com

N. American Technical Support: 800-282-9855 Toll Free USA/Canada

JAPAN: ON Semiconductor, Japan Customer Focus Center  
4-32-1 Nishi-Gotanda, Shinagawa-ku, Tokyo, Japan 141-0031  
Phone: 81-3-5740-2700  
Email: r14525@onsemi.com

ON Semiconductor Website: <http://onsemi.com>

For additional information, please contact your local Sales Representative.

LM324/D

เอกสารนี้เป็นเอกสารที่สงวนไว้สำหรับการใช้งานเพื่อการศึกษาเท่านั้น ไม่อนุญาตให้นำไปใช้ประโยชน์ทางการค้า  
ไม่ว่ากรณีใดๆ ทั้งสิ้น อีกทั้งห้ามมิให้ดัดแปลงเนื้อหา และต้องอ้างอิงถึงเจ้าของเอกสารทุกครั้งที่มีการนำไปใช้

# LM2901, LM339/LM339A, LM3302, LM239/LM239A

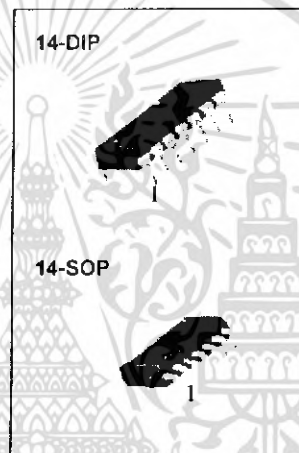
## Quad Comparator

### Features

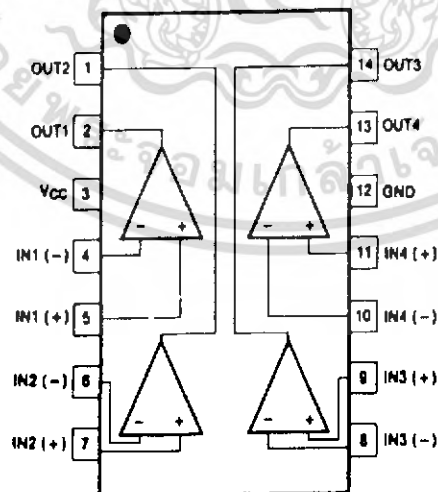
- Single or dual supply operation
- Wide range of supply voltage  
LM2901, LM339/LM339A, LM239/LM239A : 2 ~ 36V (or  $\pm 1 \sim \pm 18V$ )  
LM3302 : 2 ~ 28V (or  $\pm 1 \sim \pm 14V$ )
- Low supply current drain 800 $\mu$ A Typ.
- Open collector outputs for wired and connectors
- Low input bias current 25nA Typ.
- Low Input offset current  $\pm 2.3nA$  Typ.
- Low input offset voltage  $\pm 1.4mV$  Typ.
- Common mode input voltage range includes ground.
- Low output saturation voltage
- Output compatible with TTL, DTL and MOS logic system

### Description

The LM2901, LM339/LM339A, LM239/LM239A, LM3302 consist of four independent voltage comparators designed to operate from single power supply over a wide voltage range.

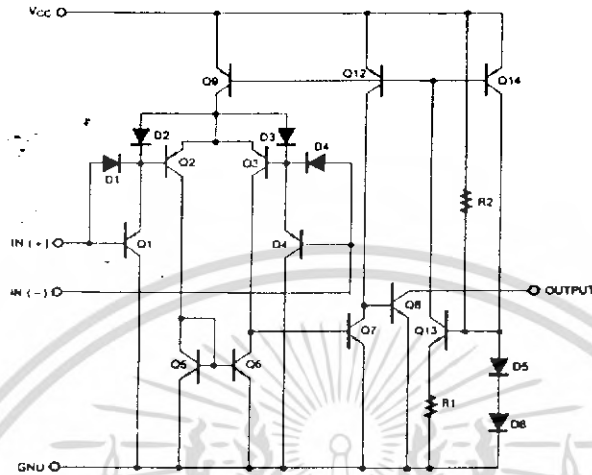


### Internal Block Diagram



Rev. 1.0.1

## Schematic Diagram



## Absolute Maximum Ratings

Parameter	Symbol	Value	Unit
Supply Voltage	V <sub>CC</sub>	±18 or 36	V
Supply Voltage only LM3302	V <sub>CC</sub>	±14 or 28	V
Differential Input Voltage	V <sub>I(DIFF)</sub>	36	V
Differential Input Voltage only LM3302	V <sub>I(DIFF)</sub>	28	V
Input Voltage	V <sub>I</sub>	-0.3 to +36	V
Input Voltage only LM3302	V <sub>I</sub>	-0.3 to +28	V
Output Short Circuit to GND	-	Continuous	-
Power Dissipation	P <sub>D</sub>	570	mW
Operating Temperature			
LM339/LM339A	T <sub>OPR</sub>	0 ~ +70	°C
LM2901/LM3302		-40 ~ +85	
LM239/LM239A		-25 ~ +85	
Storage Temperature	T <sub>STG</sub>	-65 ~ +150	°C

## Electrical Characteristics

( $V_{CC} = 5V$ ,  $T_A = 25^\circ C$ , unless otherwise specified)

Parameter	Symbol	Conditions	LM239A/LM339A			LM239/LM339			Unit
			Min	Typ	Max	Min	Typ	Max	
Input Offset Voltage	$V_{IO}$	$V_{O(P)} = 1.4V$ , $r_{IS} = 0\Omega$	-	$\pm 1$	$\pm 2$	-	$\pm 1.4$	$\pm 5$	mV
		Note 1	-	-	$\pm 4.0$	-	-	$\pm 9.0$	
Input Offset Current	$I_{IO}$		-	$\pm 2.3$	$\pm 50$	-	$\pm 2.3$	$\pm 50$	nA
		Note 1	-	-	$\pm 150$	-	-	$\pm 150$	
Input Bias Current	$I_{BIAS}$		-	57	250	-	57	250	nA
		Note 1	-	-	400	-	-	400	
Input Common Mode Voltage Range	$V_{I(R)}$		0	-	$V_{CC}-1.5$	0	-	$V_{CC}-1.5$	V
		Note 1	0	-	$V_{CC}-2$	0	-	$V_{CC}-2$	
Supply Current	$I_{CC}$	$V_{CC} = 5V$ , $R_L = \infty$	-	1.1	2.0	-	1.1	2.0	mA
Voltage Gain	$G_V$	$V_{CC} = 15V$ , $R_L \geq 15K\Omega$ (for large swing)	50	200	-	50	200	-	V/mV
Large Signal Response Time	$T_{LRES}$	$V_I = \text{TTL Logic Swing}$ $V_{REF} = 1.4V$ , $V_{RL} = 5V$ , $R_L = 5.1K\Omega$	-	350	-	-	350	-	ns
Response Time	$T_{RES}$	$V_{RL} = 5V$ , $R_L = 5.1K\Omega$	-	1.4	-	-	1.4	-	$\mu s$
Output Sink Current	$I_{SINK}$	$V_{I(-)} \geq 1V$ , $V_{I(+)} = 0V$ , $V_{O(P)} \leq 1.5V$	6	18	-	6	18	-	mA
Output Saturation Voltage	$V_{SAT}$	$V_{I(-)} \geq 1V$ , $V_{I(+)} = 0V$	-	140	400	-	140	400	mV
		$I_{SINK} = 4mA$	Note 1	-	-	700	-	-	
Output Leakage Current	$I_{O(LKG)}$	$V_{I(-)} = 0V$	-	0.1	-	-	0.1	-	nA
		$V_{I(+)} = 1V$	$V_{O(P)} = 5V$	-	-	1.0	-	-	1.0
Differential Voltage	$V_{I(DIFF)}$	Note 1	-	-	36	-	-	36	V

### Note 1.

LM339/LM339A :  $0 \leq T_A \leq +70^\circ C$

LM2901/LM3302 :  $-40 \leq T_A \leq +85^\circ C$

LM239/LM239A :  $-25 \leq T_A \leq +85^\circ C$

**Electrical Characteristics (Continued)**

(VCC = 5V, TA = 25°C, unless otherwise specified)

Parameter	Symbol	Conditions	LM2901			LM3302			Unit
			Min	Typ	Max.	Min	Typ	Max.	
Input Offset Voltage	VIO	VO(P) = 1.4V, RS = 0Ω	-	2	7	-	2	20	mV
		Note 1	-	9	15	-	-	40	
Input Offset Current	IIO		-	2.3	50	-	3	100	nA
		Note 1	-	50	200	-	-	300	
Input Bias Current	IBIAS		-	57	250	-	57	250	nA
		Note 1	-	200	500	-	-	1000	
Input Common Mode Voltage Range	VI(R)		0	-	VCC -1.5	0	-	VCC -1.5	V
		Note 1	0	-	VCC -2	0	-	VCC -2	
Supply Current	ICC	RL = ∞, VCC = 5V	-	1.1	2.0	-	1.1	2.0	mA
		RL = ∞, VCC = 30V	-	1.6	2.5	-	-	-	
Voltage Gain	GV	VCC = 15V, RL ≥ 15KΩ (for large swing)	25	100	-	2	30	-	V/mV
Large Signal Response Time	TLRES	VI = TTL Logic Swing VREF = 1.4V, VRL = 5V, RL = 5.1KΩ	-	350	-	-	350	-	ns
Response Time	TRES	VRL = 5V, RL = 5.1KΩ	-	1.4	-	-	1.4	-	μs
Output Sink Current	ISINK	VI(-) ≥ 1V, VI(+) = 0V, VO(P) ≤ 1.5V	6	18	-	6	18	-	mA
Output Saturation Voltage	VSAT	VI(-) ≥ 1V, VI(+) = 0V ISINK = 4mA	-	140	400	-	140	400	mV
		Note 1	-	-	700	-	-	700	
Output Leakage Current	IO(LKG)	VI(-) = 0V VI(+) = 1V							
		VO(P) = 5V	-	0.1	-	-	0.1	-	nA
		VO(P) = 30V	-	-	1.0	-	-	1.0	μA
Differential Voltage	VI(DIFF)	Note 1	-	-	36	-	-	36	V

**Note 1.**

LM339/LM339A : 0 ≤ TA ≤ +70°C  
 LM2901/LM3302 : -40 ≤ TA ≤ +85°C  
 LM239/LM239A : -25 ≤ TA ≤ +85°C

## Typical Performance Characteristics

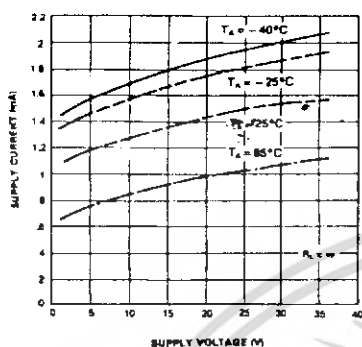


Figure 1. Supply Current vs Supply Voltage

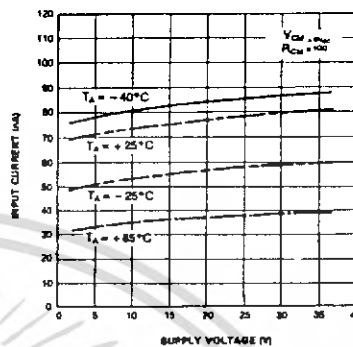


Figure 2. Input Current vs Supply Voltage

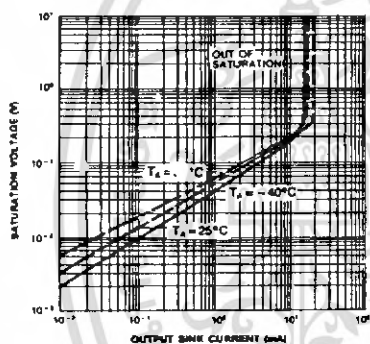


Figure 3. Output Saturation Voltage vs Sink Current

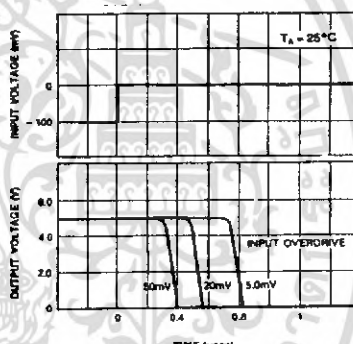


Figure 4. Response Time for Various Input Overdrive-Negative Transition

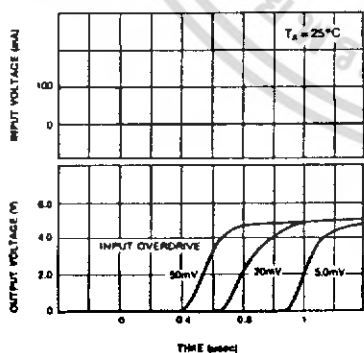
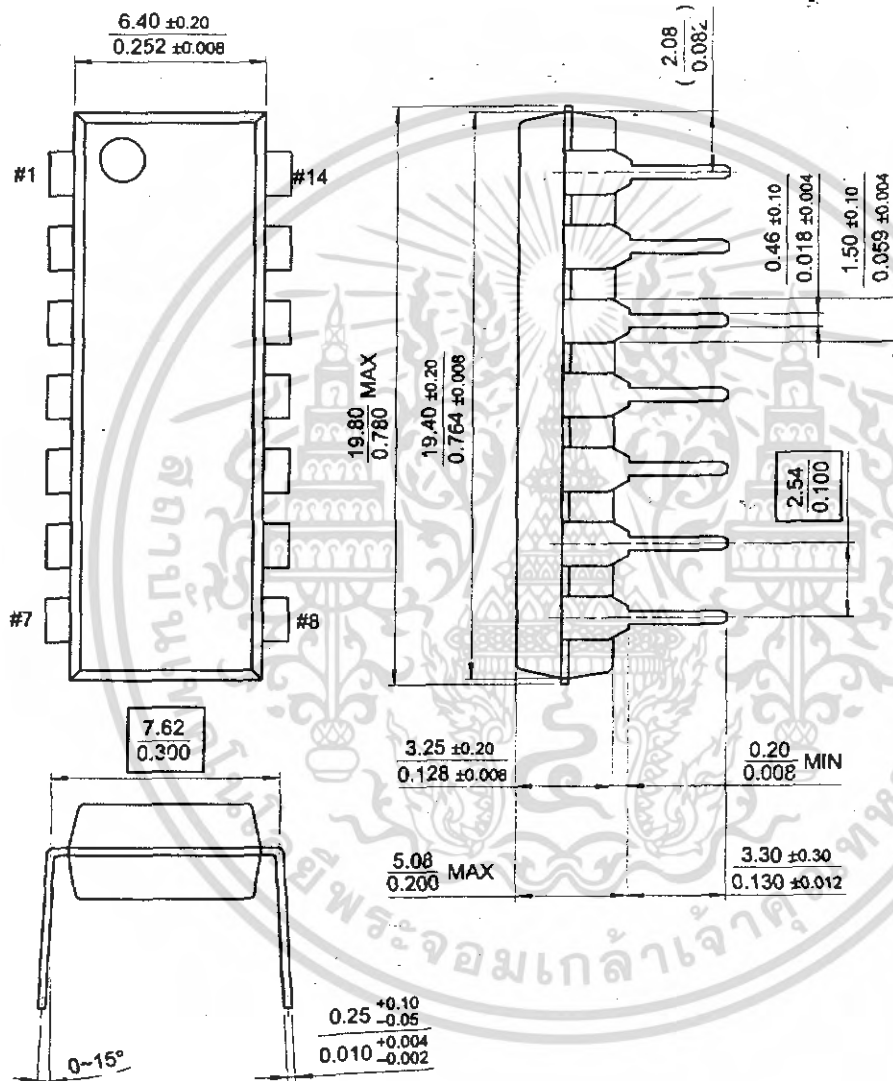


Figure 5. Response Time for Various Input Overdrive-Positive Transition

## Mechanical Dimensions

### Package

### 14-DIP





# M.C.C.

Micro Commercial Components  
 21201 Itasca Street Chatsworth  
 CA 91311  
 Phone: (818) 701-4933  
 Fax: (818) 701-4939

## MUR3005WT THRU MUR3060WT

### Features

- High Surge Capability
- Low Forward Voltage Drop
- High Current Capability
- Super Fast Switching Speed For High Efficiency

### Maximum Ratings

- Operating Temperature: -55°C to +150°C
- Storage Temperature: -55°C to +150°C

MCC Part Number	Maximum Recurrent Peak Reverse Voltage	Maximum RMS Voltage	Maximum DC Blocking Voltage
MUR3005WT	50V	35V	50V
MUR3010WT	100V	70V	100V
MUR3020WT	200V	140V	200V
MUR3040WT	400V	280V	400V
MUR3060WT	600V	420V	600V

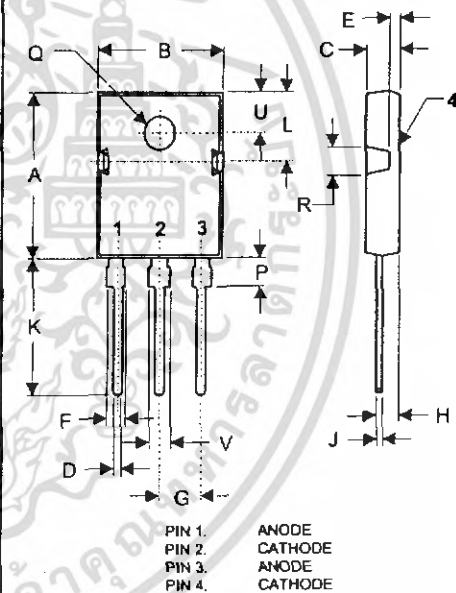
30 Amp  
 Super Fast Recovery  
 Rectifier  
 200 to 600 Volts

### Electrical Characteristics @ 25°C Unless Otherwise Specified

Average Forward Current	$I_{F(AV)}$	30 A	$T_C = 100^\circ\text{C}$
Peak Forward Surge Current	$I_{FSM}$	300A	8.3ms, half sine
Maximum Instantaneous Forward Voltage	$V_F$	1.05V 1.30V 1.70V	$I_{FM} = 15.0A$ ; $T_C = 25^\circ\text{C}$
Maximum DC Reverse Current At Rated DC Blocking Voltage	$I_R$	10 $\mu\text{A}$ 500 $\mu\text{A}$	$T_C = 25^\circ\text{C}$ $T_C = 125^\circ\text{C}$
Maximum Reverse Recovery Time	$T_{rr}$	50ns 80ns	$I_F = 0.5A$ , $I_R = 1.0A$ , $I_{rr} = 0.25A$

\*Pulse Test: Pulse Width 300 $\mu\text{sec}$ , Duty Cycle 1%

TO-247



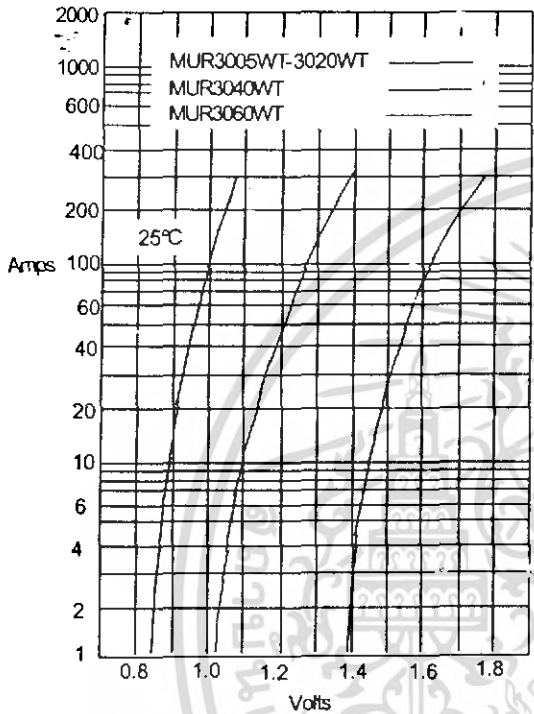
DIM	MIN	MAX	MIN	MAX	NOTE
A	.803	.823	20.40	20.90	
B	.608	.628	15.44	15.95	
C	.185	.205	4.70	5.21	
D	.043	.051	1.09	1.30	
E	.059	.064	1.50	1.63	
F	.071	.086	1.80	2.18	
G	.215	BSC	5.45	BSC	
H	.101	.130	2.56	2.87	
J	.019	.027	0.48	0.68	
K	.613	.633	15.57	16.08	
L	.266	.285	7.26	7.50	
P	.122	.133	3.10	3.38	
Q	.138	.145	3.50	3.70	
R	.130	.150	3.30	3.80	
U	.208	BSC	5.30	BSC	
V	.120	.134	3.05	3.40	

เอกสารนี้เป็นเอกสารที่สงวนไว้สำหรับการใช้งานเพื่อการศึกษาเท่านั้น ไม่อนุญาตให้นำไปใช้ประโยชน์ด้านการค้า  
 ในวกรณใดๆ ทั้งสิ้น อีกทั้งห้ามมิให้ดัดแปลงเนื้อหา และต้องอ้างอิงถึงเจ้าของเอกสารทุกครั้งที่มีการนำไปใช้

[www.mccsemi.com](http://www.mccsemi.com)

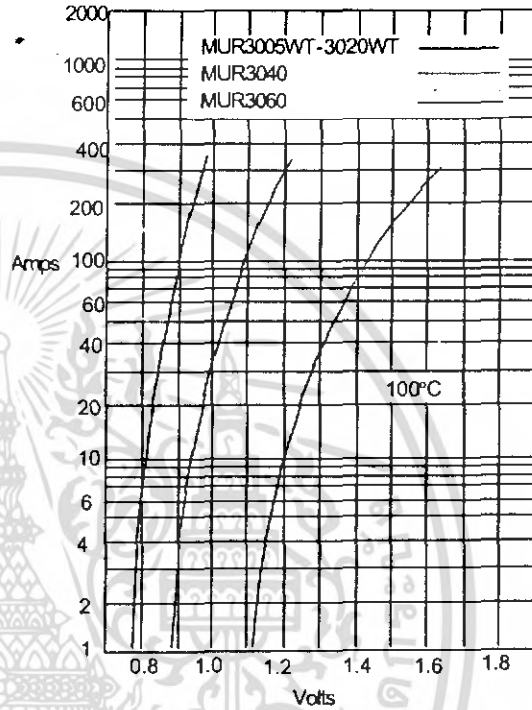
# MUR3005WT thru MUR3060WT

Figure 1  
Typical Forward Characteristics @  $T_j = 25^\circ\text{C}$



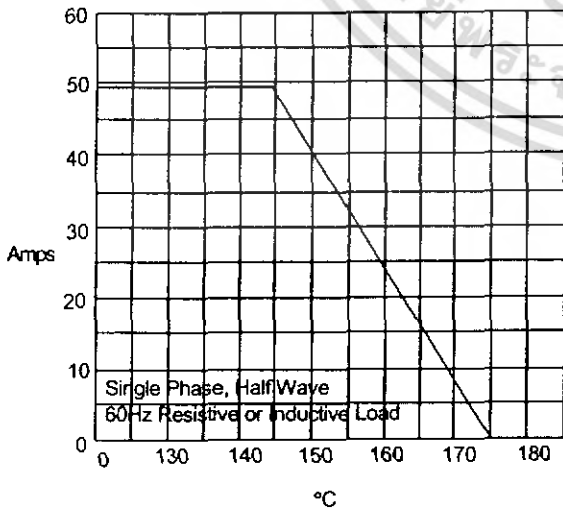
Instantaneous Forward Current - Amperes versus  
Instantaneous Forward Voltage - Volts

Figure 2  
Typical Forward Characteristics @  $T_j = 100^\circ\text{C}$



Instantaneous Forward Current - Amperes versus  
Instantaneous Forward Voltage - Volts

Figure 3  
Forward Derating Curve

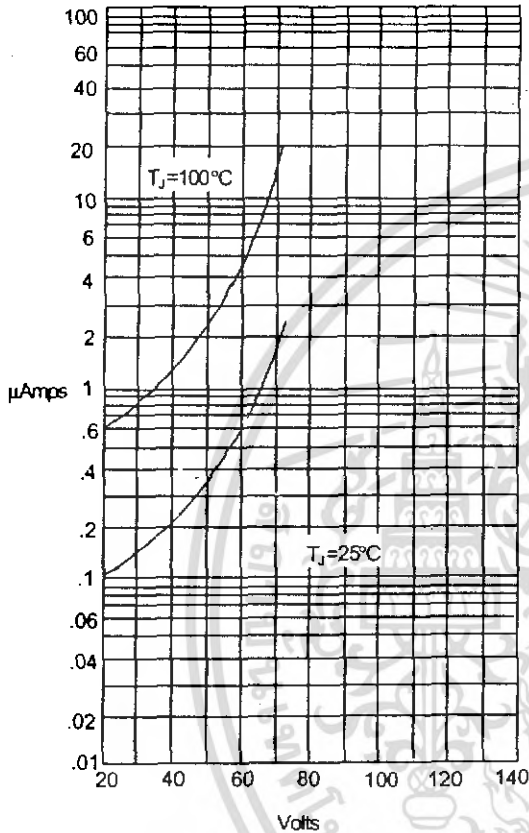


Average Forward Rectified Current Per Leg - Amperes versus  
Case Temperature - °C

เอกสารนี้เป็นเอกสารที่สงวนไว้สำหรับการใช้งานเพื่อการศึกษาเท่านั้น ไม่อนุญาตให้นำไปใช้ประโยชน์ด้านการค้า  
ไม่ว่ากรณีใดๆ ทั้งสิ้น อีกทั้งห้ามมิให้ดัดแปลงเนื้อหา และต้องอ้างอิงถึงเจ้าของเอกสารทุกครั้งที่มีการนำไปใช้

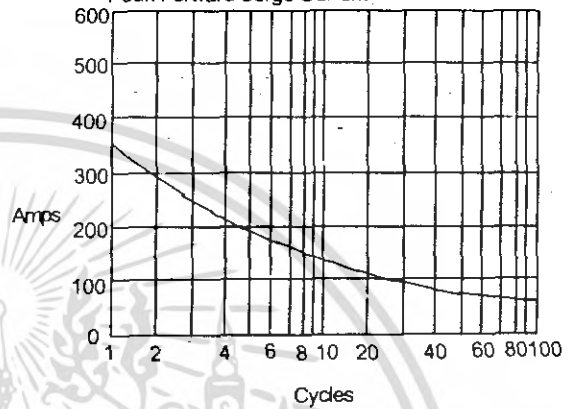
# MUR3005WT thru MUR3060WT

Figure 4  
Typical Reverse Characteristics



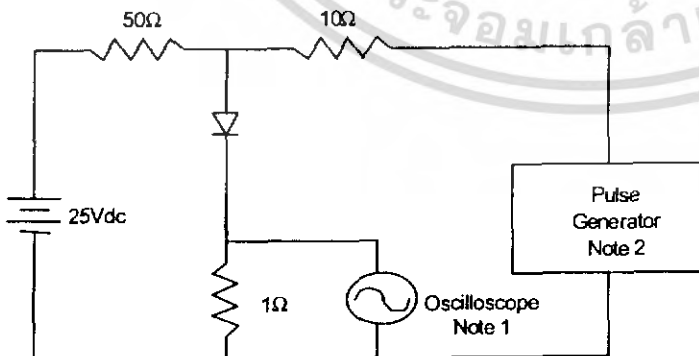
Instantaneous Reverse Leakage Current - MicroAmperes versus

Figure 5  
Peak Forward Surge Current



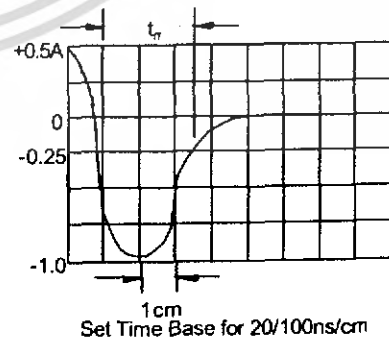
Peak Forward Surge Current - Amperes versus Number Of Cycles At 60Hz - Cycles

Figure 7  
Reverse Recovery Time Characteristic And Test Circuit Diagram



Notes:

1. Rise Time = 7ns max.  
Input impedance = 1 megohm, 22pF
2. Rise Time = 10ns max.  
Source impedance = 50 ohms
3. Resistors are non-inductive

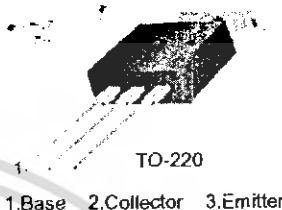


เอกสารนี้เป็นเอกสารที่สงวนไว้สำหรับการใช้งานเพื่อการศึกษาเท่านั้น ไม่อนุญาตให้นำไปใช้ประโยชน์ด้านการค้า  
ไม่ว่ากรณีใดๆ พงสินค้าทั้งหมดมีเหตุเปลี่ยนแปลงเนื้อหา และต้องอ้างอิงถึงเจ้าของเอกสารทุกครั้งที่มีการนำไปใช้

## TIP31 Series(TIP31/31A/31B/31C)

### Medium Power Linear Switching Applications

- Complementary to TIP32/32A/32B/32C



### NPN Epitaxial Silicon Transistor

#### Absolute Maximum Ratings $T_C=25^\circ\text{C}$ unless otherwise noted

Symbol	Parameter	Value	Units
$V_{CBO}$	Collector-Base Voltage : TIP31	40	V
	: TIP31A	60	V
	: TIP31B	80	V
	: TIP31C	100	V
$V_{CEO}$	Collector-Emitter Voltage : TIP31	40	V
	: TIP31A	60	V
	: TIP31B	80	V
	: TIP31C	100	V
$V_{EBO}$	Emitter-Base Voltage	5	V
$I_C$	Collector Current (DC)	3	A
$I_{CP}$	Collector Current (Pulse)	5	A
$I_B$	Base Current	1	A
$P_C$	Collector Dissipation ( $T_C=25^\circ\text{C}$ )	40	W
$P_C$	Collector Dissipation ( $T_a=25^\circ\text{C}$ )	2	W
$T_J$	Junction Temperature	150	$^\circ\text{C}$
$T_{STG}$	Storage Temperature	-65 ~ 150	$^\circ\text{C}$

#### Electrical Characteristics $T_C=25^\circ\text{C}$ unless otherwise noted

Symbol	Parameter	Test Condition	Min.	Max.	Units
$V_{CEO(sus)}$	* Collector-Emitter Sustaining Voltage : TIP31	$I_C = 30\text{mA}, I_B = 0$	40		V
	: TIP31A				
	: TIP31B				
	: TIP31C				
$I_{CEO}$	Collector Cut-off Current : TIP31/31A	$V_{CE} = 30\text{V}, I_B = 0$		0.3	mA
	: TIP31B/31C	$V_{CE} = 60\text{V}, I_B = 0$		0.3	mA
$I_{CES}$	Collector Cut-off Current : TIP31	$V_{CE} = 40\text{V}, V_{EB} = 0$		200	$\mu\text{A}$
	: TIP31A	$V_{CE} = 60\text{V}, V_{EB} = 0$		200	$\mu\text{A}$
	: TIP31B	$V_{CE} = 80\text{V}, V_{EB} = 0$		200	$\mu\text{A}$
	: TIP31C	$V_{CE} = 100\text{V}, V_{EB} = 0$		200	$\mu\text{A}$
$I_{EBO}$	Emitter Cut-off Current	$V_{EB} = 5\text{V}, I_C = 0$		1	mA
$h_{FE}$	* DC Current Gain	$V_{CE} = 4\text{V}, I_C = 1\text{A}$	25		
		$V_{CE} = 4\text{V}, I_C = 3\text{A}$	10	50	
$V_{CE(sat)}$	* Collector-Emitter Saturation Voltage	$I_C = 3\text{A}, I_B = 375\text{mA}$		1.2	V
$V_{BE(sat)}$	* Base-Emitter Saturation Voltage	$V_{CE} = 4\text{V}, I_C = 3\text{A}$		1.8	V
$f_T$	Current Gain Bandwidth Product	$V_{CE} = 10\text{V}, I_C = 500\text{mA}$	3.0		MHz

\* Pulse Test: PWS300 $\mu\text{s}$ , Duty Cycles2%

### Typical Characteristics

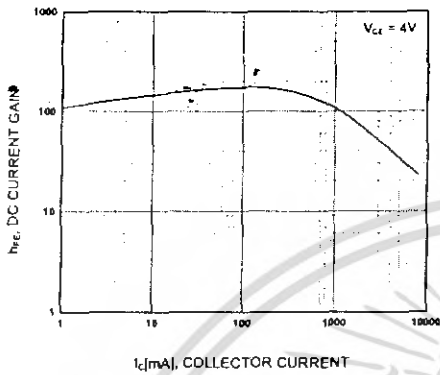


Figure 1. DC current Gain

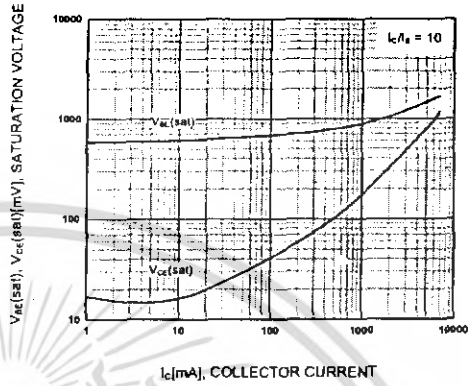


Figure 2. Base-Emitter Saturation Voltage  
Collector-Emitter Saturation Voltage

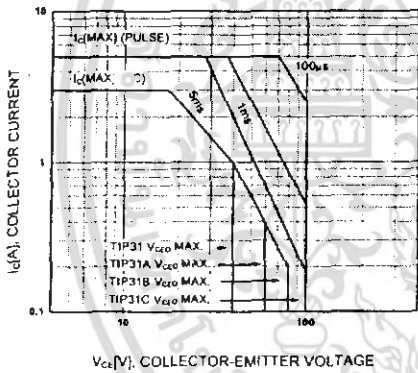


Figure 3. Safe Operating Area

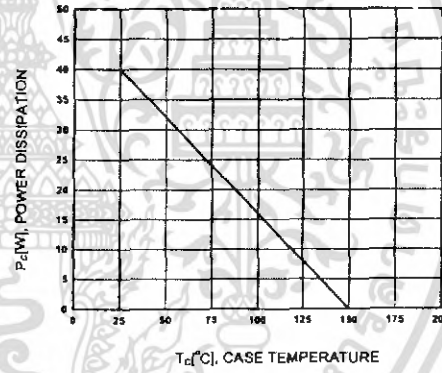
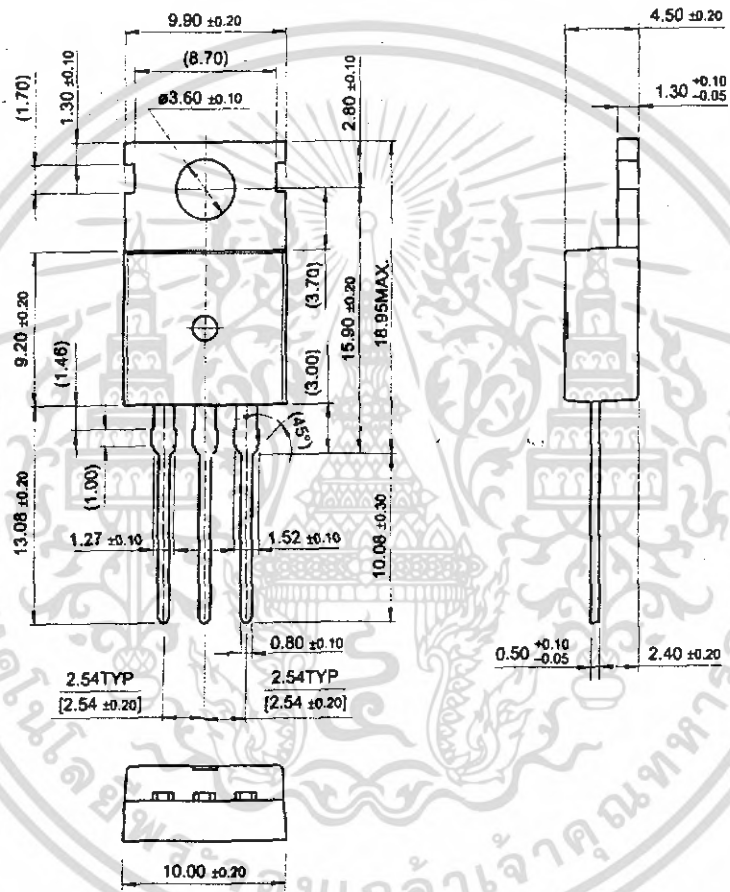


Figure 4. Power Derating

เอกสารนี้เป็นเอกสารที่สงวนไว้สำหรับการใช้งานเพื่อการศึกษาเท่านั้น ไม่อนุญาตให้นำไปใช้ประโยชน์ด้านการค้า  
ไม่ว่ากรณีใดๆ ทั้งสิ้น อีกทั้งห้ามมิให้ดัดแปลงเนื้อหา และต้องอ้างอิงถึงเจ้าของเอกสารทุกครั้งที่มีการนำไปใช้

# Package Dimensions

## TO-220



Dimensions in Millimeters

TIP31 Series (TIP31/31A/31B/31C)

เอกสารนี้เป็นเอกสารที่สงวนไว้สำหรับการใช้งานเพื่อการศึกษาเท่านั้น ไม่อนุญาตให้นำไปใช้ประโยชน์ด้านการค้า  
ไม่ว่ากรณีใดๆ ทั้งสิ้น อีกทั้งห้ามมิให้ดัดแปลงเนื้อหา และต้องอ้างอิงถึงเจ้าของเอกสารทุกครั้งที่มีการนำไปใช้

## TRADEMARKS

The following are registered and unregistered trademarks Fairchild Semiconductor owns or is authorized to use and is not intended to be an exhaustive list of all such trademarks.

ACEx™	HiSeC™	SuperSOT™-8
Bottomless™	ISOPANAR™	SyncFET™
CoolFET™	MICROWIRE™	TinyLogic™
CROSSVOLT™	POP™	UHC™
E <sup>2</sup> CMOS™	PowerTrench®	VCX™
FACT™	QFET™	
FACT Quiet Series™	QS™	
FAST®	Quiet Series™	
FASTr™	SuperSOT™-3	
GTO™	SuperSOT™-6	

## DISCLAIMER

FAIRCHILD SEMICONDUCTOR RESERVES THE RIGHT TO MAKE CHANGES WITHOUT FURTHER NOTICE TO ANY PRODUCTS HEREIN TO IMPROVE RELIABILITY, FUNCTION OR DESIGN. FAIRCHILD DOES NOT ASSUME ANY LIABILITY ARISING OUT OF THE APPLICATION OR USE OF ANY PRODUCT OR CIRCUIT DESCRIBED HEREIN; NEITHER DOES IT CONVEY ANY LICENSE UNDER ITS PATENT RIGHTS, NOR THE RIGHTS OF OTHERS.

## LIFE SUPPORT POLICY

FAIRCHILD'S PRODUCTS ARE NOT AUTHORIZED FOR USE AS CRITICAL COMPONENTS IN LIFE SUPPORT DEVICES OR SYSTEMS WITHOUT THE EXPRESS WRITTEN APPROVAL OF FAIRCHILD SEMICONDUCTOR INTERNATIONAL.

As used herein:

1. Life support devices or systems are devices or systems which, (a) are intended for surgical implant into the body, or (b) support or sustain life, or (c) whose failure to perform when properly used in accordance with instructions for use provided in the labeling, can be reasonably expected to result in significant injury to the user.
2. A critical component is any component of a life support device or system whose failure to perform can be reasonably expected to cause the failure of the life support device or system, or to affect its safety or effectiveness.

## PRODUCT STATUS DEFINITIONS

### Definition of Terms

Datasheet Identification	Product Status	Definition
Advance Information	Formative or In Design	This datasheet contains the design specifications for product development. Specifications may change in any manner without notice.
Preliminary	First Production	This datasheet contains preliminary data, and supplementary data will be published at a later date. Fairchild Semiconductor reserves the right to make changes at any time without notice in order to improve design.
No Identification Needed	Full Production	This datasheet contains final specifications. Fairchild Semiconductor reserves the right to make changes at any time without notice in order to improve design.
Obsolete	Not In Production	This datasheet contains specifications on a product that has been discontinued by Fairchild semiconductor. The datasheet is printed for reference information only.

## TIP32 Series(TIP32/32A/32B/32C)

### Medium Power Linear Switching Applications

• Complement to TIP31/31A/31B/31C



TO-220  
1.Base 2.Collector 3.Emitter

### PNP Epitaxial Silicon Transistor

#### Absolute Maximum Ratings $T_C=25^\circ\text{C}$ unless otherwise noted

Symbol	Parameter	Value	Units
$V_{CBO}$	Collector-Base Voltage	: TIP32	-40
		: TIP32A	-60
		: TIP32B	-80
		: TIP32C	-100
$V_{CEO}$	Collector-Emitter Voltage	: TIP32	-40
		: TIP32A	-60
		: TIP32B	-80
		: TIP32C	-100
$V_{EBO}$	Emitter-Base Voltage	-5	V
$I_C$	Collector Current (DC)	-3	A
$I_{CP}$	Collector Current (Pulse)	-5	A
$I_B$	Base Current	-3	A
$P_C$	Collector Dissipation ( $T_C=25^\circ\text{C}$ )	40	W
$P_C$	Collector Dissipation ( $T_a=25^\circ\text{C}$ )	2	W
$T_J$	Junction Temperature	150	$^\circ\text{C}$
$T_{STG}$	Storage Temperature	-65 ~ 150	$^\circ\text{C}$

#### Electrical Characteristics $T_C=25^\circ\text{C}$ unless otherwise noted

Symbol	Parameter	Test Condition	Min.	Max.	Units
$V_{CEO(sus)}$	* Collector-Emitter Sustaining Voltage	$I_C = -30\text{mA}, I_B = 0$	: TIP32	-40	V
			: TIP32A	-60	V
			: TIP32B	-80	V
			: TIP32C	-100	V
$I_{CEO}$	Collector Cut-off Current	: TIP32/32A		-0.3	mA
		: TIP32B/32C	$V_{CE} = -60\text{V}, I_B = 0$	-0.3	mA
$I_{CES}$	Collector Cut-off Current	: TIP32	$V_{CE} = -40\text{V}, V_{EB} = 0$	-200	$\mu\text{A}$
		: TIP32A	$V_{CE} = -60\text{V}, V_{EB} = 0$	-200	$\mu\text{A}$
		: TIP32B	$V_{CE} = -80\text{V}, V_{EB} = 0$	-200	$\mu\text{A}$
		: TIP32C	$V_{CE} = -100\text{V}, V_{CE} = 0$	-200	$\mu\text{A}$
$I_{EBO}$	Emitter Cut-off Current	$V_{EB} = -5\text{V}, I_C = 0$		-1	mA
$h_{FE}$	* DC Current Gain	$V_{CE} = -4\text{V}, I_C = -1\text{A}$	25		
		$V_{CE} = -4\text{V}, I_C = -3\text{A}$	10	50	
$V_{CE(sat)}$	* Collector-Emitter Saturation Voltage	$I_C = -3\text{A}, I_B = -375\text{mA}$		-1.2	V
$V_{BE(sat)}$	* Base-Emitter Saturation Voltage	$V_{CE} = -4\text{V}, I_C = -3\text{A}$		-1.8	V
$f_T$	Current Gain Bandwidth Product	$V_{CE} = -10\text{V}, I_C = -500\text{mA}$	3.0		MHz

\* Pulse Test: PW $\leq$ 300 $\mu\text{s}$ , Duty Cycles $\leq$ 2%

Typical Characteristics

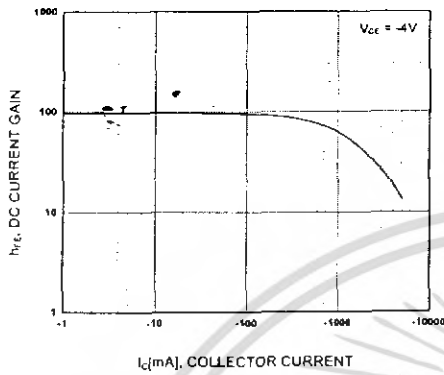


Figure 1. DC current Gain

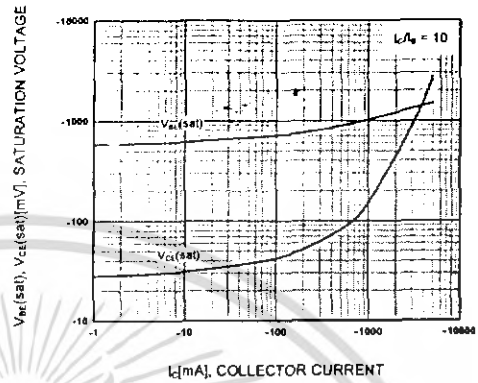


Figure 2. Base-Emitter Saturation Voltage  
Collector-Emitter Saturation Voltage

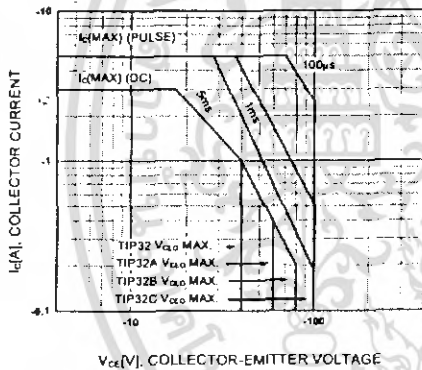


Figure 3. Safe Operating Area

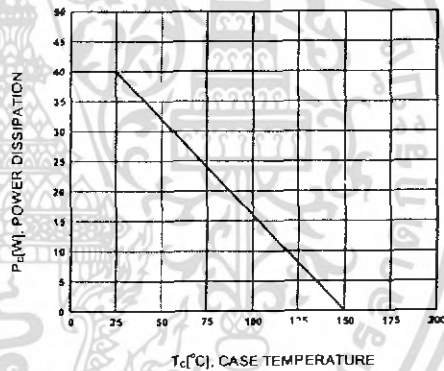
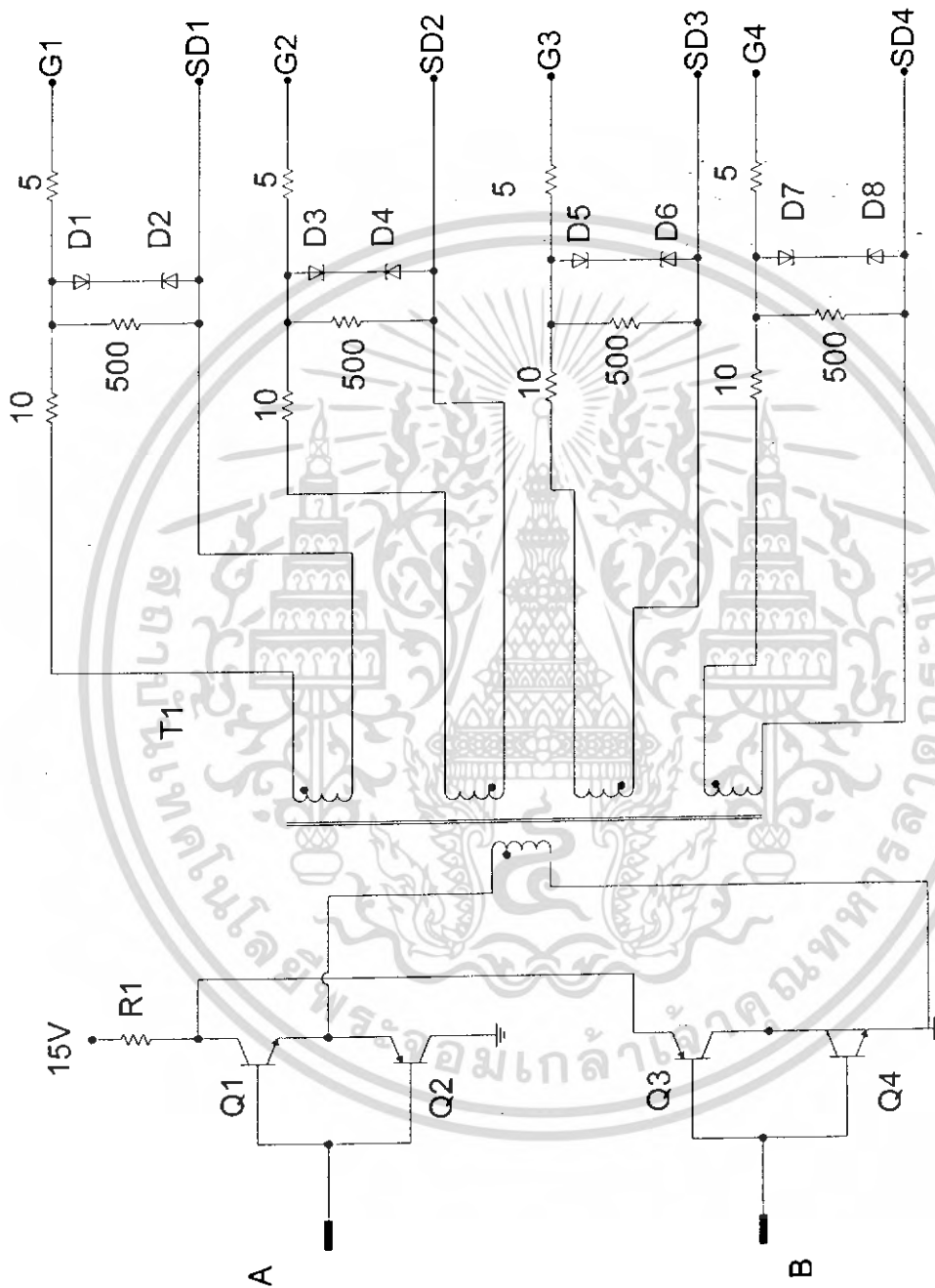


Figure 4. Power Derating

เอกสารนี้เป็นเอกสารที่สงวนไว้สำหรับการใช้งานเพื่อการศึกษาเท่านั้น ไม่อนุญาตให้นำไปใช้ประโยชน์ด้านการค้า  
ไม่ว่ากรณีใดๆ ทั้งสิ้น อีกทั้งห้ามมิให้ดัดแปลงเนื้อหา และต้องอ้างอิงถึงเจ้าของเอกสารทุกครั้งที่มีการนำไปใช้





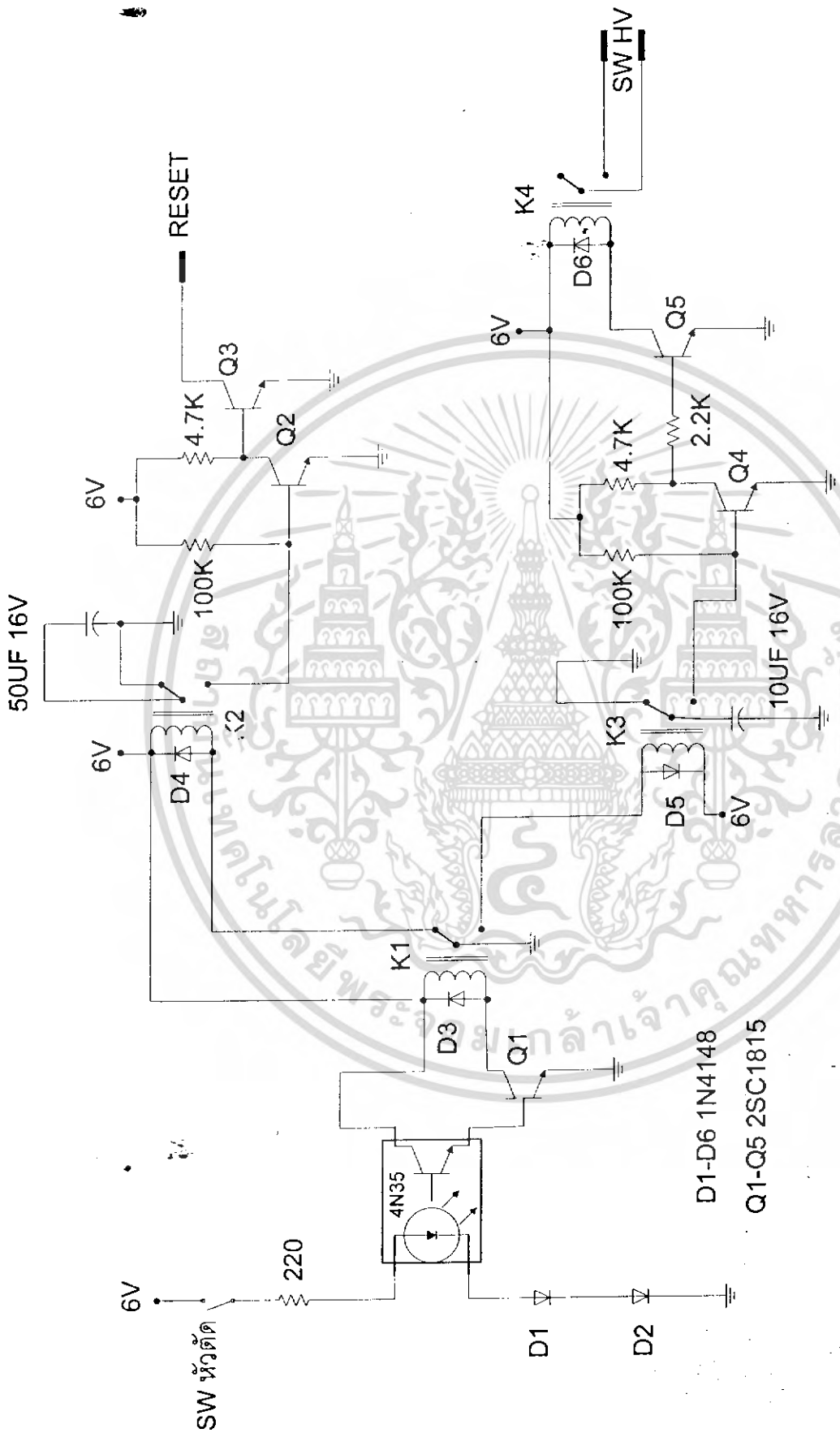
วงภาค DRIVE GATE

เอกสารนี้เป็นเอกสารที่สงวนไว้สำหรับการใช้งานเพื่อการศึกษาเท่านั้น ไม่อนุญาตให้นำไปใช้ประโยชน์ด้านการค้า  
ไม่ว่ากรณีใดๆ ทั้งสิ้น อีกทั้งห้ามมิให้ดัดแปลงเนื้อหา และต้องอ้างอิงถึงเจ้าของเอกสารทุกครั้งที่มีการนำไปใช้



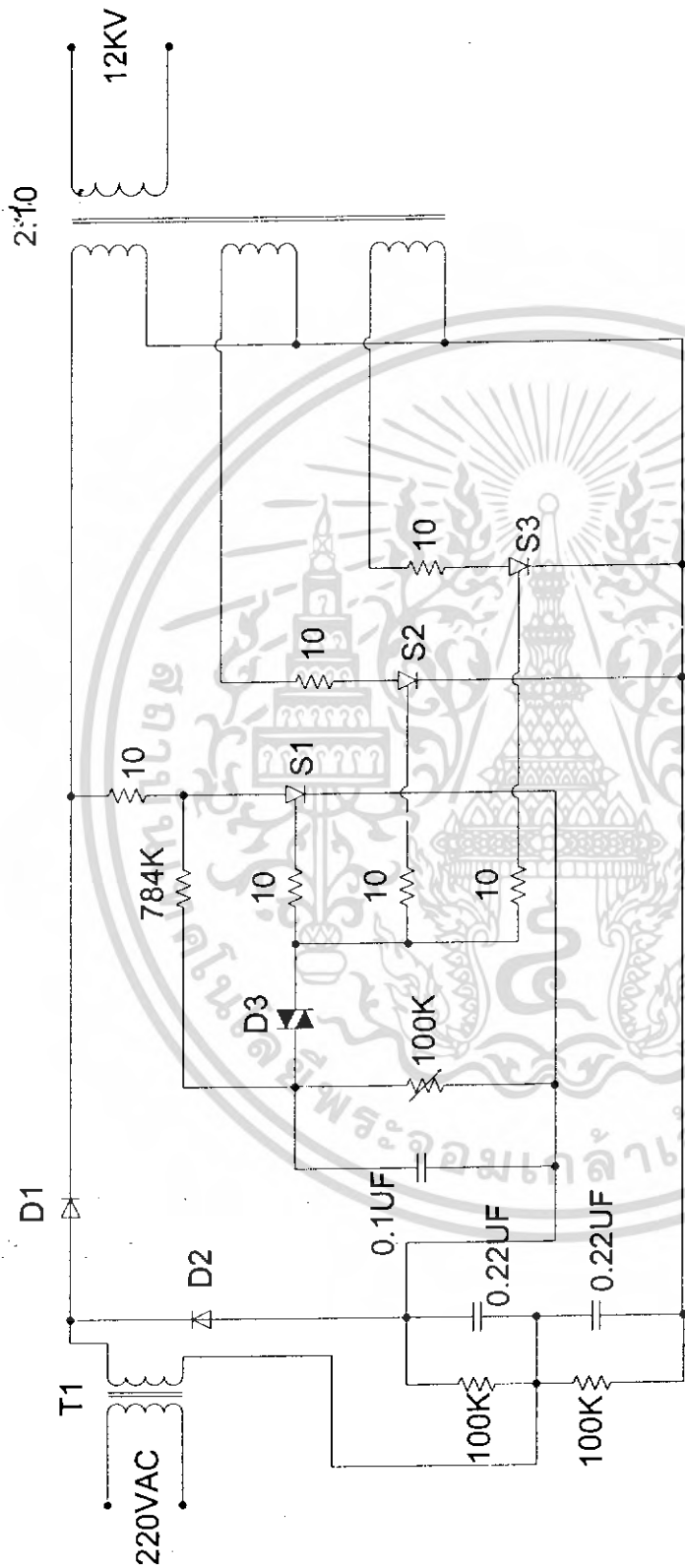
วงจรมหา FEEDBACK CONTROL

เอกสารนี้เป็นเอกสารที่สงวนไว้สำหรับการใช้งานเพื่อการศึกษาเท่านั้น ไม่อนุญาตให้เผยแพร่ไปใช้ประโยชน์ด้านการค้า  
 ไม่ว่ากรณีใดๆ ทั้งสิ้น อีกทั้งห้ามมิให้ดัดแปลงเนื้อหา และต้องอ้างอิงถึงเจ้าของเอกสารทุกครั้งที่มีการนำไปใช้



วงจรควบคุมการจุดดับพลาสมา

เอกสารนี้เป็นเอกสารที่สงวนไว้สำหรับการใช้งานเพื่อการศึกษาเท่านั้น ไม่อนุญาตให้นำไปใช้ประโยชน์ด้านการค้า  
ไม่ว่ากรณีใดๆ ทั้งสิ้น อีกทั้งห้ามมิให้ดัดแปลงเนื้อหา และต้องอ้างอิงถึงเจ้าของเอกสารทุกครั้งที่มีการนำไปใช้



วงจรมหาต HI VOLTAGE

เอกสารนี้เป็นเอกสารที่สงวนไว้สำหรับการใช้งานเพื่อการศึกษาเท่านั้น ไม่อนุญาตให้นำไปใช้ประโยชน์ด้านการค้า  
ไม่ว่ากรณีใดๆ ทั้งสิ้น อีกทั้งห้ามมิให้ดัดแปลงเนื้อหา และต้องอ้างอิงถึงเจ้าของเอกสารทุกครั้งที่มีการนำไปใช้

## หนังสืออ้างอิง

ศุวัฒน์ คั่น, “เทคนิคและการออกแบบ สวิตชิงเพาเวอร์ซัพพลาย”, หน้า 7-85

Pressman,A, “Switching Power Supply Design”, McGraw-Hill, Singapore, 1992.

Chrysis,G., “High Frequency Switching Power Supplies-Theory And Design”, 2<sup>nd</sup> Editions., McGraw-Hill, New York, 1989.



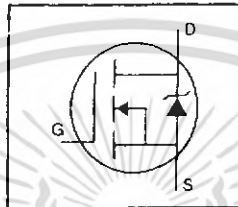
เอกสารนี้เป็นเอกสารที่สงวนไว้สำหรับการใช้งานเพื่อการศึกษาเท่านั้น ไม่อนุญาตให้นำไปใช้ประโยชน์ด้านการค้า  
ไม่ว่ากรณีใดๆ ทั้งสิ้น อีกทั้งห้ามมิให้ดัดแปลงเนื้อหา และต้องอ้างอิงถึงเจ้าของเอกสารทุกครั้งที่มีการนำไปใช้



เอกสารนี้เป็นเอกสารที่สงวนไว้สำหรับการใช้งานเพื่อการศึกษาเท่านั้น ไม่อนุญาตให้นำไปใช้ประโยชน์ด้านการค้า  
ไม่ว่ากรณีใดๆ ทั้งสิ้น อีกทั้งห้ามมิให้ดัดแปลงเนื้อหา และต้องอ้างอิงถึงเจ้าของเอกสารทุกครั้งที่มีการนำไปใช้

HEXFET® Power MOSFET

- Dynamic dv/dt Rating
- Repetitive Avalanche Rated
- Isolated Central Mounting Hole
- Fast Switching
- Ease of Paralleling
- Simple Drive Requirements

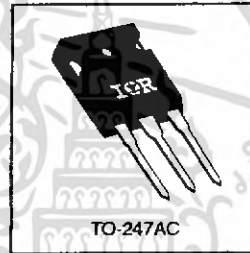


$V_{DSS} = 500V$
$R_{DS(on)} = 0.27\Omega$
$I_D = 20A$

**Description**

Third Generation HEXFETs from International Rectifier provide the designer with the best combination of fast switching, ruggedized device design, low on-resistance and cost-effectiveness.

The TO-247 package is preferred for commercial-industrial applications where higher power levels preclude the use of TO-220 devices. The TO-247 is similar but superior to the earlier TO-218 package because of its isolated mounting hole. It also provides greater creepage distance between pins to meet the requirements of most safety specifications.



DATA SHEETS

**Absolute Maximum Ratings**

Parameter	Max.	Units
$I_D @ T_C = 25^\circ C$ Continuous Drain Current, $V_{GS} @ 10 V$	20	A
$I_D @ T_C = 100^\circ C$ Continuous Drain Current, $V_{GS} @ 10 V$	13	
$I_{DM}$ Pulsed Drain Current ①	80	
$P_D @ T_C = 25^\circ C$ Power Dissipation	280	W
Linear Derating Factor	2.2	W/°C
$V_{GS}$ Gate-to-Source Voltage	$\pm 20$	V
$E_{AS}$ Single Pulse Avalanche Energy ②	960	mJ
$I_{AR}$ Avalanche Current ③	20	A
$E_{AR}$ Repetitive Avalanche Energy ①	28	mJ
dv/dt Peak Diode Recovery dv/dt ④	3.5	V/ns
$T_J$ Operating Junction and Storage Temperature Range	-55 to +150	°C
Soldering Temperature, for 10 seconds	300 (1.6mm from case)	
Mounting Torque, 6-32 or M3 screw	10 lbf·in (1.1 N·m)	

**Thermal Resistance**

Parameter	Min.	Typ.	Max.	Units
$R_{\theta JC}$ Junction-to-Case	—	—	0.45	°C/W
$R_{\theta CS}$ Case-to-Sink, Flat, Greased Surface	—	0.24	—	
$R_{\theta JA}$ Junction-to-Ambient	—	—	40	

# IRFP460



## Electrical Characteristics @ T<sub>J</sub> = 25°C (unless otherwise specified)

Parameter	Min.	Typ.	Max.	Units	Test Conditions	
V <sub>(BR)DSS</sub>	500	—	—	V	V <sub>GS</sub> =0V, I <sub>D</sub> =250μA	
ΔV <sub>(BR)DSS</sub> /ΔT <sub>J</sub>	—	0.63	—	V/°C	Reference to 25°C, I <sub>D</sub> =1mA	
R <sub>DS(on)</sub>	—	—	0.27	Ω	V <sub>GS</sub> =10V, I <sub>D</sub> =12A ①	
V <sub>GS(th)</sub>	2.0	—	4.0	V	V <sub>DS</sub> =V <sub>GS</sub> , I <sub>D</sub> =250μA	
g <sub>fs</sub>	13	—	—	S	V <sub>DS</sub> =50V, I <sub>D</sub> =12A ①	
I <sub>oss</sub>	—	—	25	μA	V <sub>DS</sub> =500V, V <sub>GS</sub> =0V	
I <sub>gss</sub>	Gate-to-Source Forward Leakage	—	—	100	nA	V <sub>GS</sub> =20V
	Gate-to-Source Reverse Leakage	—	—	-100	nA	V <sub>GS</sub> =-20V
Q <sub>g</sub>	—	—	210	nC	I <sub>D</sub> =20A	
Q <sub>gs</sub>	—	—	29	nC	V <sub>DS</sub> =400V	
Q <sub>gd</sub>	—	—	110	nC	V <sub>GS</sub> =10V See Fig. 6 and 13 ①	
t <sub>d(on)</sub>	—	18	—	ns	V <sub>DD</sub> =250V	
t <sub>r</sub>	—	59	—	ns	I <sub>D</sub> =20A	
t <sub>d(off)</sub>	—	110	—	ns	R <sub>G</sub> =4.3Ω	
t <sub>f</sub>	—	58	—	ns	R <sub>D</sub> =13Ω See Figure 10 ①	
L <sub>D</sub>	—	5.0	—	nH	Between lead, 6 mm (0.25in.) from package and center of die contact	
L <sub>S</sub>	—	13	—	nH		
C <sub>iss</sub>	—	200	—	pF	V <sub>DS</sub> =0V	
C <sub>oss</sub>	—	870	—	pF	V <sub>DS</sub> =25V	
C <sub>rss</sub>	—	350	—	pF	f=1.0MHz See Figure 5	

## Source-Drain Ratings and Characteristics

Parameter	Min.	Typ.	Max.	Units	Test Conditions
I <sub>S</sub>	—	—	20	A	MOSFET symbol showing the integral reverse p-n junction diode.
I <sub>SM</sub>	—	—	80	A	
V <sub>SD</sub>	—	—	1.8	V	T <sub>J</sub> =25°C, I <sub>S</sub> =20A, V <sub>GS</sub> =0V ①
t <sub>rr</sub>	—	570	860	ns	T <sub>J</sub> =25°C, I <sub>r</sub> =20A
Q <sub>rr</sub>	—	5.7	8.6	μC	di/dt=100A/μs ①
t <sub>on</sub>	Intrinsic turn-on time is negligible (turn-on is dominated by L <sub>S</sub> +L <sub>D</sub> )				

### Notes:

- ① Repetitive rating; pulse width limited by max. junction temperature (See Figure 11)
- ② V<sub>DD</sub>=50V, starting T<sub>J</sub>=25°C, L=4.3mH, R<sub>G</sub>=25Ω, I<sub>AS</sub>=20A (See Figure 12)
- ③ I<sub>SD</sub>≤20A, di/dt≤160A/μs, V<sub>DS</sub>≤V<sub>(BR)DSS</sub>, T<sub>J</sub>≤150°C
- ④ Pulse width ≤ 300 μs; duty cycle ≤2%.

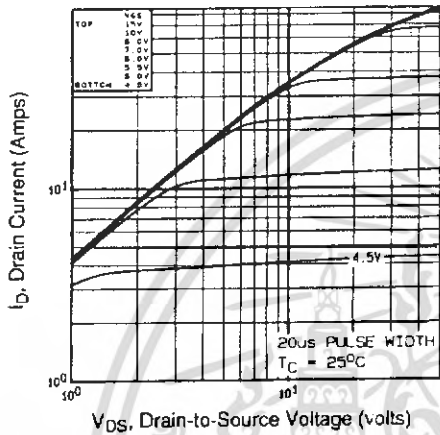


Fig 1. Typical Output Characteristics,  $T_C=25^\circ\text{C}$

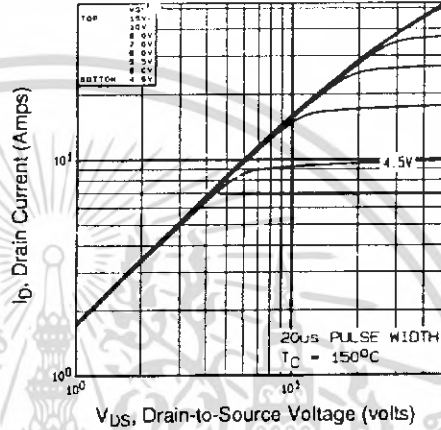


Fig 2. Typical Output Characteristics,  $T_C=150^\circ\text{C}$

DATA SHEETS

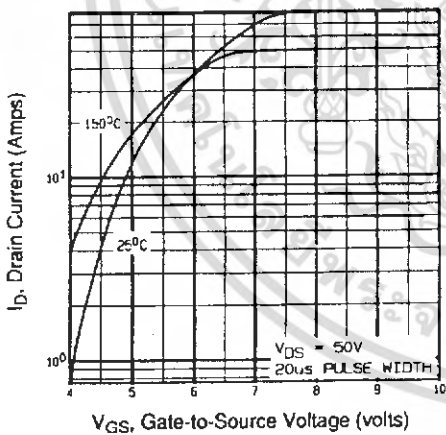


Fig 3. Typical Transfer Characteristics

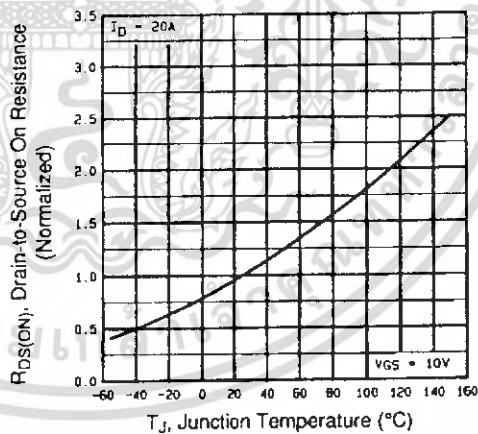


Fig 4. Normalized On-Resistance Vs. Temperature

เอกสารนี้เป็นเอกสารที่สงวนไว้สำหรับการใช้งานเพื่อการศึกษาเท่านั้น ไม่อนุญาตให้นำไปใช้ประโยชน์ด้านการค้า  
ไม่ว่ากรณีใดๆ ทั้งสิ้น อีกทั้งห้ามมิให้ดัดแปลงเนื้อหา และต้องอ้างอิงถึงเจ้าของเอกสารทุกครั้งที่มีการนำไปใช้

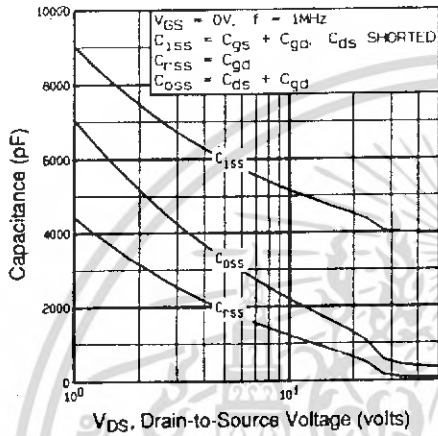


Fig 5. Typical Capacitance Vs. Drain-to-Source Voltage

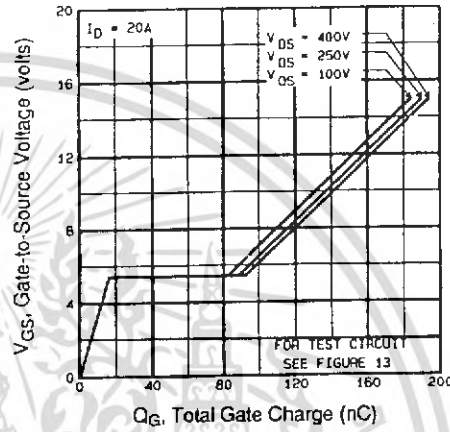


Fig 6. Typical Gate Charge Vs. Gate-to-Source Voltage

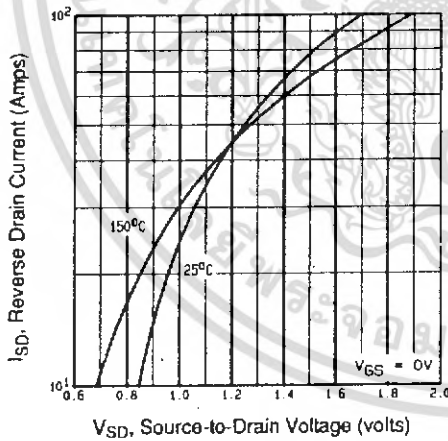


Fig 7. Typical Source-Drain Diode Forward Voltage

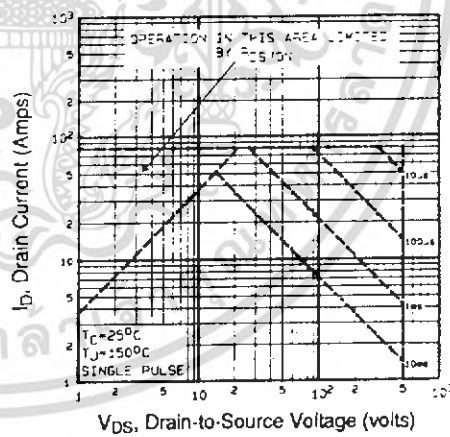


Fig 8. Maximum Safe Operating Area

เอกสารนี้เป็นเอกสารที่สงวนไว้สำหรับการใช้งานเพื่อการศึกษาเท่านั้น ไม่อนุญาตให้นำไปใช้ประโยชน์ด้านการค้า  
ไม่ว่ากรณีใดๆ ทั้งสิ้น อีกทั้งห้ามมิให้ดัดแปลงเนื้อหา และต้องอ้างอิงถึงเจ้าของเอกสารทุกครั้งที่มีการนำไปใช้

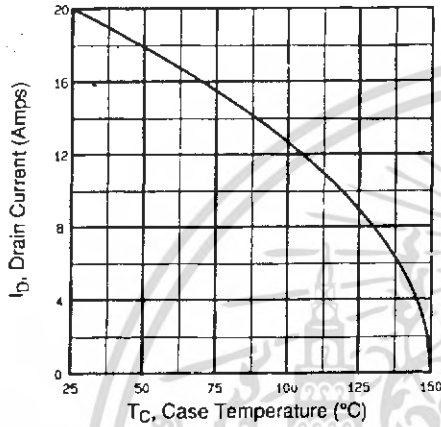


Fig 9. Maximum Drain Current Vs. Case Temperature

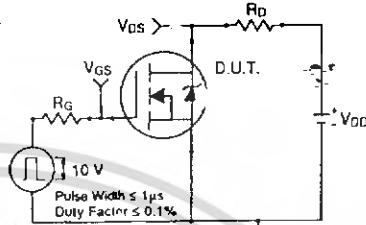


Fig 10a. Switching Time Test Circuit

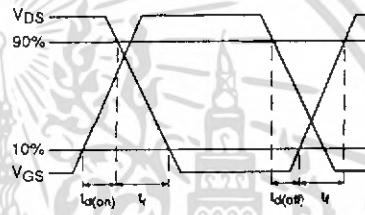


Fig 10b. Switching Time Waveforms

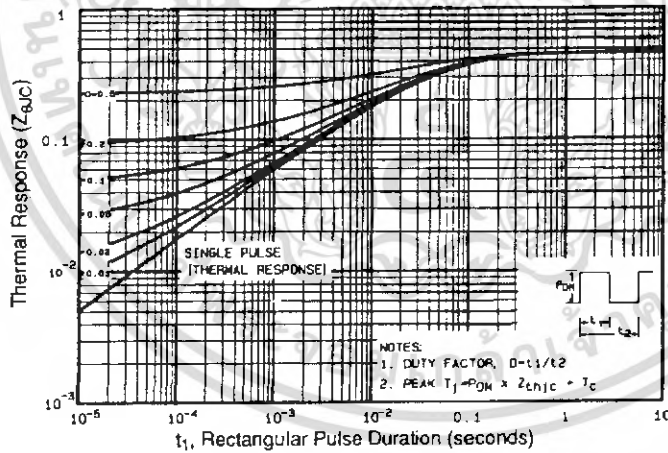


Fig 11. Maximum Effective Transient Thermal Impedance, Junction-to-Case

DATA SHEETS

เอกสารนี้เป็นเอกสารที่สงวนไว้สำหรับการใช้งานเพื่อการศึกษาเท่านั้น ไม่อนุญาตให้นำไปใช้ประโยชน์ด้านการค้า  
 ไม่ว่ากรณีใดๆ ทั้งสิ้น อีกทั้งห้ามมิให้ดัดแปลงเนื้อหา และต้องอ้างอิงถึงเจ้าของเอกสารทุกครั้งที่มีการนำไปใช้

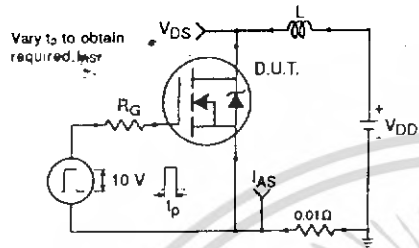


Fig 12a. Unclamped Inductive Test Circuit

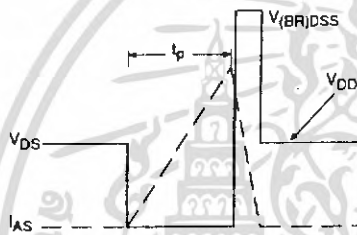


Fig 12b. Unclamped Inductive Waveforms

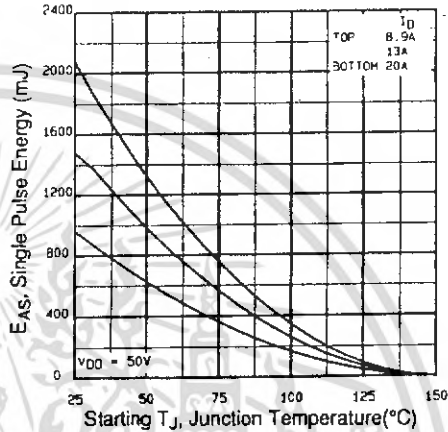


Fig 12c. Maximum Avalanche Energy Vs. Drain Current

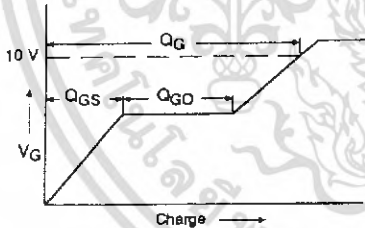


Fig 13a. Basic Gate Charge Waveform

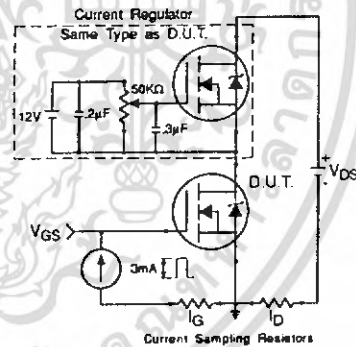


Fig 13b. Gate Charge Test Circuit

Appendix A: Figure 14, Peak Diode Recovery  $dv/dt$  Test Circuit – See page 1505

Appendix B: Package Outline Mechanical Drawing – See page 1511

Appendix C: Part Marking Information – See page 1517



Order this document by SG3526/D

# SG3526

## Pulse Width Modulation Control Circuit

The SG3526 is a high performance pulse width modulator integrated circuit intended for fixed frequency switching regulators and other power control applications.

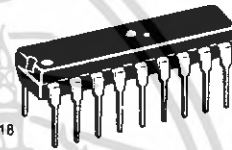
Functions included in this IC are a temperature compensated voltage reference, sawtooth oscillator, error amplifier, pulse width modulator, pulse metering and steering logic, and two high current totem pole outputs ideally suited for driving the capacitance of power FETs at high speeds.

Additional protective features include soft start and undervoltage lockout, digital current limiting, double pulse inhibit, adjustable dead time and a data latch for single pulse metering. All digital control ports are TTL and B-series CMOS compatible. Active low logic design allows easy wired-OR connections for maximum flexibility. The versatility of this device enables implementation in single-ended or push-pull switching regulators that are transformerless or transformer coupled. The SG3526 is specified over a junction temperature range of 0° to +125°C.

- 8.0 V to 35 V Operation
- 5.0 V ±1% Trimmed Reference
- 1.0 Hz to 400 kHz Oscillator Range
- Dual Source/Sink Current Outputs: ±100 mA
- Digital Current Limiting
- Programmable Dead Time
- Undervoltage Lockout
- Single Pulse Metering
- Programmable Soft-Start
- Wide Current Limit Common Mode Range
- Guaranteed 6 Unit Synchronization

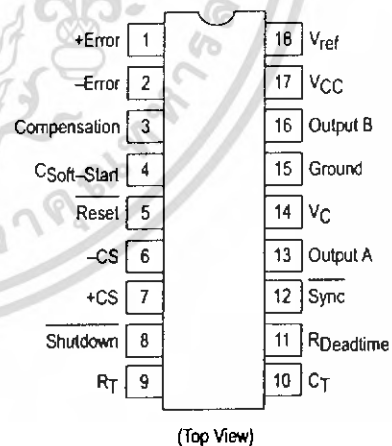
### PULSE WIDTH MODULATION CONTROL CIRCUIT

SEMICONDUCTOR TECHNICAL DATA

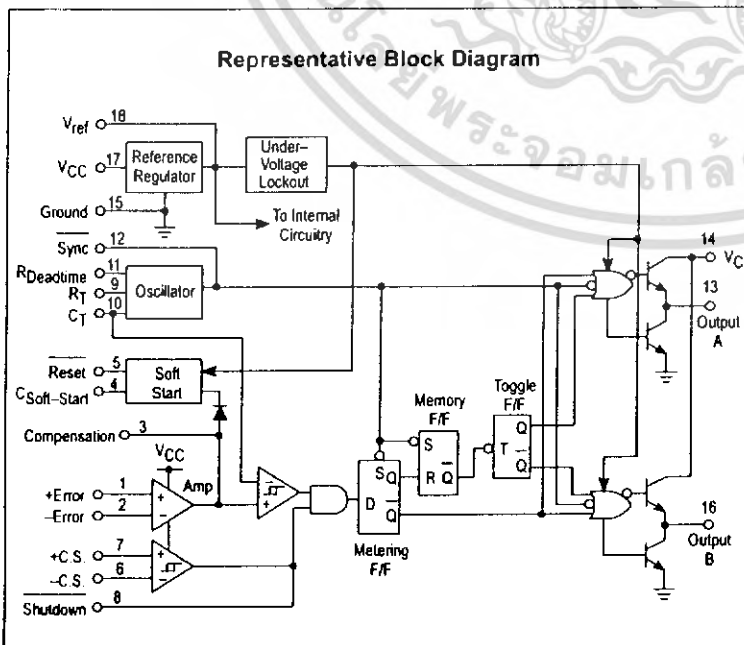


N SUFFIX PLASTIC PACKAGE CASE 707

### PIN CONNECTIONS



### Representative Block Diagram



### ORDERING INFORMATION

Device	Operating Temperature Range	Package
SG3526N	T <sub>J</sub> = 0° to +125°C	Plastic DIP

## SG3526

### MAXIMUM RATINGS (Note 1)

Rating	Symbol	Value	Unit
Supply Voltage	V <sub>CC</sub>	+40	Vdc
Collector Supply Voltage	V <sub>C</sub>	+40	Vdc
Logic Inputs		-0.3 to +5.5	V
Analog Inputs		-0.3 to V <sub>CC</sub>	V
Output Current, Source or Sink	I <sub>O</sub>	±200	mA
Reference Load Current (V <sub>CC</sub> = 40 V, Note 2)	I <sub>ref</sub>	50	mA
Logic Sink Current		15	mA
Power Dissipation T <sub>A</sub> = +25°C (Note 3) T <sub>C</sub> = +25°C (Note 4)	P <sub>D</sub>	1000 3000	mW
Thermal Resistance Junction-to-Air	R <sub>θJA</sub>	100	°C/W
Thermal Resistance Junction-to-Case	R <sub>θJC</sub>	42	°C/W
Operating Junction Temperature	T <sub>J</sub>	+150	°C
Storage Temperature Range	T <sub>stg</sub>	-65 to +150	°C
Lead Temperature (Soldering, 10 Seconds)	T <sub>Solder</sub>	±300	°C

- NOTES:** 1. Values beyond which damage may occur.  
 2. Maximum junction temperature must be observed.  
 3. Derate at 10 mW/°C for ambient temperatures above +50°C.  
 4. Derate at 24 mW/°C for case temperatures above +25°C.

### RECOMMENDED OPERATING CONDITIONS

Characteristics	Symbol	Min	Max	Unit
Supply Voltage	V <sub>CC</sub>	8.0	35	Vdc
Collector Supply Voltage	V <sub>C</sub>	4.5	35	Vdc
Output Sink/Source Current (Each Output)	I <sub>O</sub>	0	±100	mA
Reference Load Current	I <sub>ref</sub>	0	20	mA
Oscillator Frequency Range	f <sub>osc</sub>	0.001	400	kHz
Oscillator Timing Resistor	R <sub>T</sub>	2.0	150	kΩ
Oscillator Timing Capacitor	C <sub>T</sub>	0.001	20	μF
Available Deadtime Range (40 kHz)	-	3.0	50	%
Operating Junction Temperature Range	T <sub>J</sub>	0	+125	°C

## SG3526

### ELECTRICAL CHARACTERISTICS ( $V_{CC} = +15\text{ Vdc}$ , $T_J = T_{low}$ to $T_{high}$ [Note 5], unless otherwise noted.)

Characteristics	Symbol	Min	Typ	Max	Unit
<b>REFERENCE SECTION (Note 6)</b>					
Reference Output Voltage ( $T_J = +25^\circ\text{C}$ )	$V_{ref}$	4.90	5.00	5.10	V
Line Regulation ( $+8.0\text{ V} \leq V_{CC} \leq +35\text{ V}$ )	Reg <sub>line</sub>	–	10	30	mV
Load Regulation ( $0\text{ mA} \leq I_L \leq 20\text{ mA}$ )	Reg <sub>load</sub>	–	10	50	mV
Temperature Stability	$\Delta V_{ref}/\Delta T$	–	10	–	mV
Total Reference Output Voltage Variation ( $+8.0\text{ V} \leq V_{CC} \leq +35\text{ V}$ , $0\text{ mA} \leq I_L \leq 20\text{ mA}$ )	$\Delta V_{ref}$	4.85	5.00	5.15	V
Short Circuit Current ( $V_{ref} = 0\text{ V}$ ) (Note 2)	$I_{SC}$	25	80	125	mA
<b>UNDERVOLTAGE LOCKOUT</b>					
Reset Output Voltage ( $V_{ref} = +3.8\text{ V}$ )		–	0.2	0.4	V
Reset Output Voltage ( $V_{ref} = +4.8\text{ V}$ )		2.4	4.8	–	V
<b>OSCILLATOR SECTION (Note 7)</b>					
Initial Accuracy ( $T_J = +25^\circ\text{C}$ )		–	$\pm 3.0$	$\pm 8.0$	%
Frequency Stability over Power Supply Range ( $+8.0\text{ V} \leq V_{CC} \leq +35\text{ V}$ )	$\frac{\Delta f_{osc}}{\Delta V_{CC}}$	–	0.5	1.0	%
Frequency Stability over Temperature ( $\Delta T_J = T_{low}$ to $T_{high}$ )	$\frac{\Delta f_{osc}}{\Delta T_J}$	–	2.0	–	%
Minimum Frequency ( $R_T = 150\text{ k}\Omega$ , $C_T = 20\text{ }\mu\text{F}$ )	$f_{min}$	–	0.5	–	Hz
Maximum Frequency ( $R_T = 2.0\text{ k}\Omega$ , $C_T = 0.001\text{ }\mu\text{F}$ )	$f_{max}$	400	–	–	kHz
Sawtooth Peak Voltage ( $V_{CC} = +35\text{ V}$ )	$V_{osc(P)}$	–	3.0	3.5	V
Sawtooth Valley Voltage ( $V_{CC} = +8.0\text{ V}$ )	$V_{osc(V)}$	0.45	0.8	–	V
<b>ERROR AMPLIFIER SECTION (Note 8)</b>					
Input Offset Voltage ( $R_S \leq 2.0\text{ k}\Omega$ )	$V_{IO}$	–	2.0	10	mV
Input Bias Current	$I_{IB}$	–	–350	–2000	nA
Input Offset Current	$I_{IO}$	–	35	200	nA
DC Open Loop Gain ( $R_L \geq 10\text{ M}\Omega$ )	$A_{VOL}$	60	72	–	dB
High Output Voltage ( $V_{Pin\ 1} - V_{Pin\ 2} \geq +150\text{ mV}$ , $I_{source} = 100\text{ }\mu\text{A}$ )	$V_{OH}$	3.6	4.2	–	V
Low Output Voltage ( $V_{Pin\ 2} - V_{Pin\ 1} \geq +150\text{ mV}$ , $I_{sink} = 100\text{ }\mu\text{A}$ )	$V_{OL}$	–	0.2	0.4	V
Common Mode Rejection Ratio ( $R_S \leq 2.0\text{ k}\Omega$ )	CMRR	70	94	–	dB
Power Supply Rejection Ratio ( $+12\text{ V} \leq V_{CC} \leq +18\text{ V}$ )	PSRR	66	80	–	dB

- NOTES:** 2. Maximum junction temperature must be observed.  
 5.  $T_{low} = 0^\circ\text{C}$   $T_{high} = +125^\circ\text{C}$   
 6.  $I_L = 0\text{ mA}$  unless otherwise noted.  
 7.  $f_{osc} = 40\text{ kHz}$  ( $R_T = 4.12\text{ k}\Omega \pm 1\%$ ,  $C_T = 0.01\text{ }\mu\text{F} \pm 1\%$ ,  $R_D = 0\text{ }\Omega$ )  
 8.  $0\text{ V} \leq V_{CM} \leq +5.2\text{ V}$ .

## SG3526

### ELECTRICAL CHARACTERISTICS (continued)

Characteristics	Symbol	Min	Typ	Max	Unit
<b>PWM COMPARATOR SECTION (Note 7)</b>					
Minimum Duty Cycle ( $V_{Compensation} = +0.4\text{ V}$ )	$DC_{min}$	–	–	0	%
Maximum Duty Cycle ( $V_{Compensation} = +3.6\text{ V}$ )	$DC_{max}$	45	49	–	%
<b>DIGITAL PORTS (SYNC, SHUTDOWN, RESET)</b>					
Output Voltage (High Logic Level) ( $I_{source} = 40\text{ }\mu\text{A}$ ) (Low Logic Level) ( $I_{sink} = 3.6\text{ mA}$ )	$V_{OH}$ $V_{OL}$	2.4 –	4.0 0.2	– 0.4	V
Input Current — High Logic Level (High Logic Level) ( $V_{IH} = +2.4\text{ V}$ ) (Low Logic Level) ( $V_{IL} = +0.4\text{ V}$ )	$I_{IH}$ $I_{IL}$	– –	–125 –225	–200 –360	$\mu\text{A}$
<b>CURRENT LIMIT COMPARATOR SECTION (Note 9)</b>					
Sense Voltage ( $R_S \leq 50\text{ }\Omega$ )	$V_{sense}$	80	100	120	mA
Input Bias Current	$I_B$	–	–3.0	–10	$\mu\text{A}$
<b>SOFT-START SECTION</b>					
Error Clamp Voltage (Reset = +0.4 V)		–	0.1	0.4	V
$C_{Soft-Start}$ Charging Current (Reset = +2.4 V)	$I_{CS}$	50	100	150	$\mu\text{A}$
<b>OUTPUT DRIVERS (Each Output, <math>V_C = +15\text{ Vdc}</math>, unless otherwise noted.)</b>					
Output High Level $I_{source} = 20\text{ mA}$ $I_{source} = 100\text{ mA}$	$V_{OH}$	12.5 12	13.5 13	– –	V
Output Low Level $I_{sink} = 20\text{ mA}$ $I_{sink} = 100\text{ mA}$	$V_{OL}$	– –	0.2 1.2	0.3 2.0	V
Collector Leakage, $V_C = +40\text{ V}$	$I_{C(leak)}$	–	50	150	$\mu\text{A}$
Rise Time ( $C_L = 1000\text{ pF}$ )	$t_r$	–	0.3	0.6	$\mu\text{s}$
Fall Time ( $C_L = 1000\text{ pF}$ )	$t_f$	–	0.1	0.2	$\mu\text{s}$
Supply Current (Shutdown = +0.4 V, $V_{CC} = +35\text{ V}$ , $R_T = 4.12\text{ k}\Omega$ )	$I_{CC}$	–	18	30	mA

NOTES: 7.  $f_{osc} = 40\text{ kHz}$  ( $R_T = 4.12\text{ k}\Omega \pm 1\%$ ,  $C_T = 0.01\text{ }\mu\text{F} \pm 1\%$ ,  $R_D = 0\text{ }\Omega$ )  
 8.  $0\text{ V} \leq V_{CM} \leq +5.2\text{ V}$   
 9.  $0\text{ V} \leq V_{CM} \leq +12\text{ V}$

SG3526

Figure 1. Reference Stability over Temperature

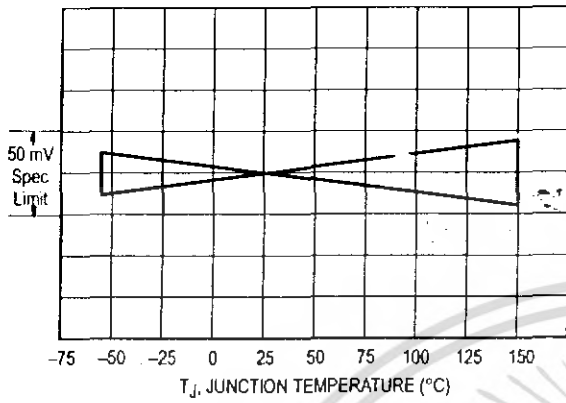


Figure 2. Reference Voltage as a Function Supply Voltage

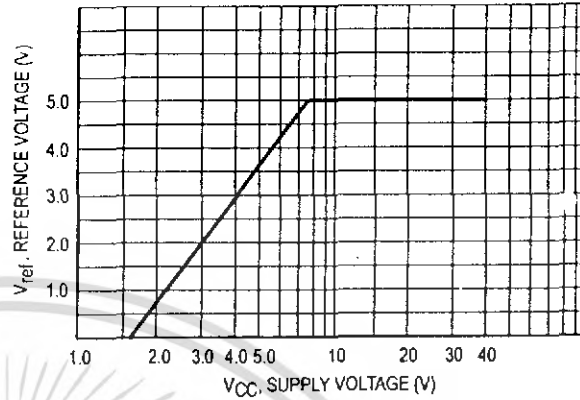


Figure 3. Error Amplifier Open Loop Frequency Response

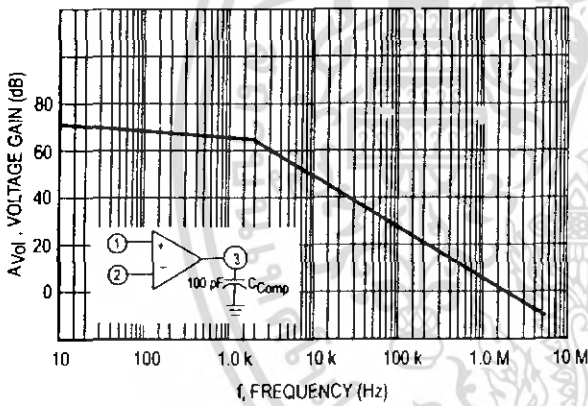


Figure 4. Current Limit Comparator Threshold

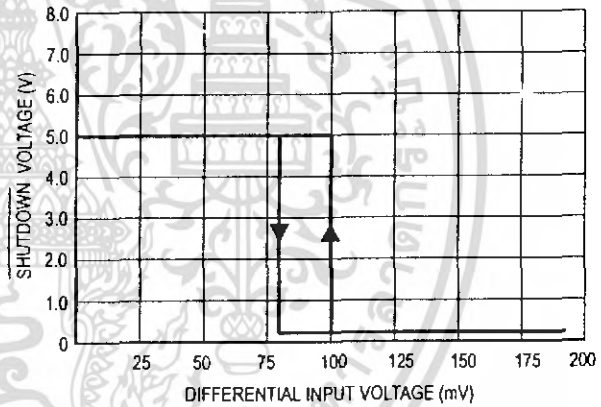


Figure 5. Undervoltage Lockout Characteristic

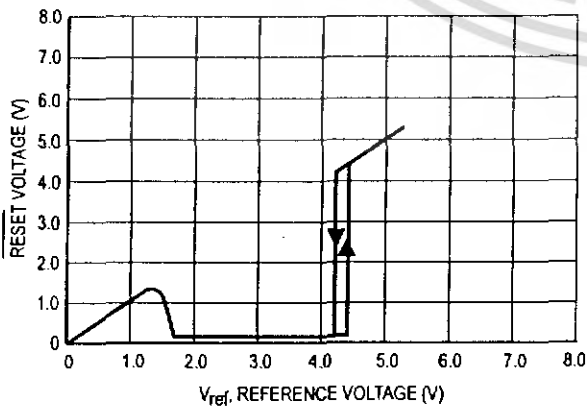


Figure 6. Output Driver Saturation Voltage as a Function of Sink Current

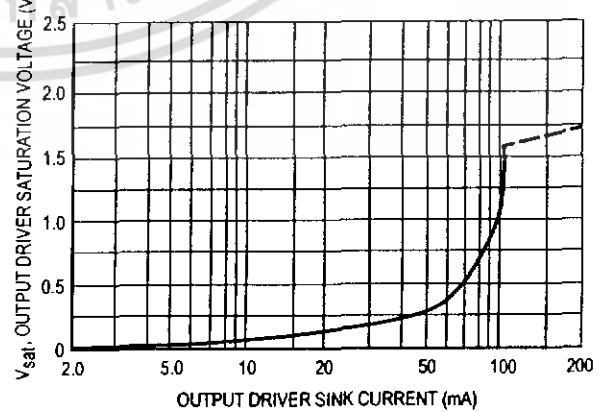


Figure 7.  $V_C$  Saturation Voltage as a Function of Sink Current

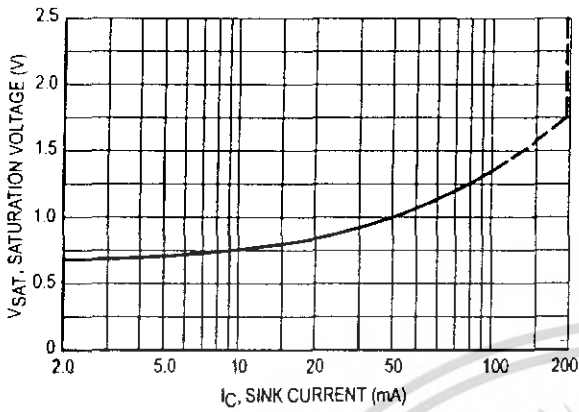


Figure 8. Oscillator Period

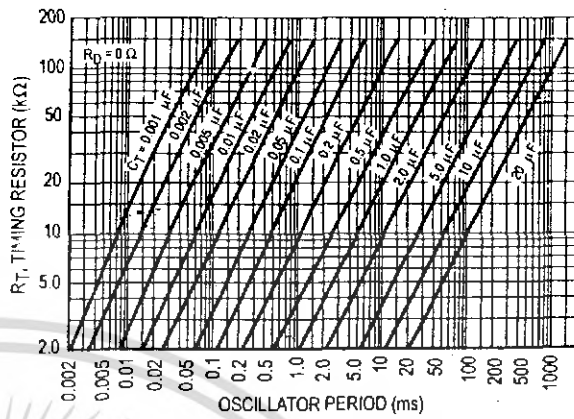


Figure 9. Error Amplifier

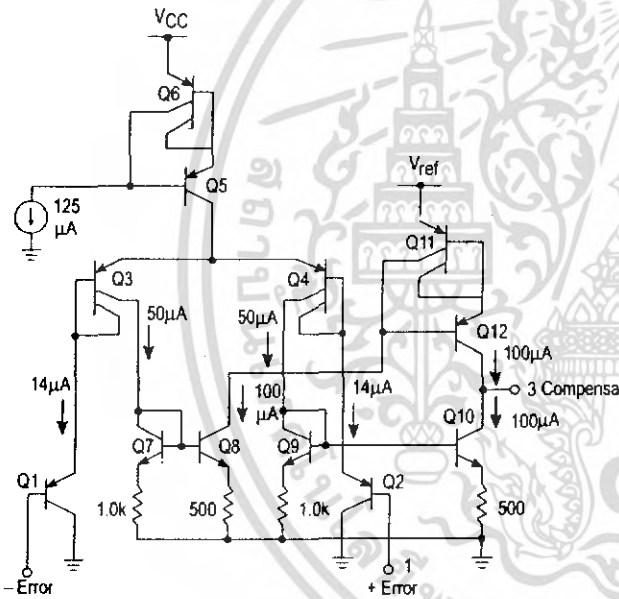


Figure 10. Undervoltage Lockout

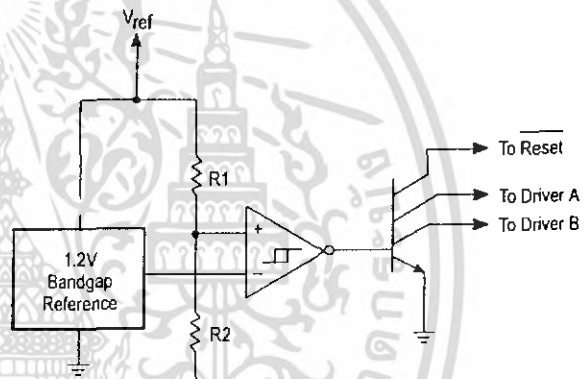
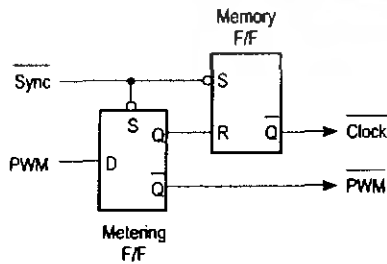


Figure 11. Pulse Processing Logic



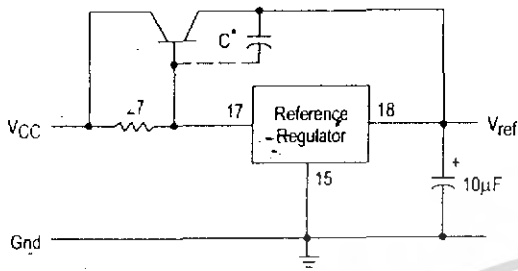
The metering Flip-Flop is an asynchronous data latch which suppresses high frequency oscillations by allowing only one PWM pulse per oscillator cycle.

The memory Flip-Flop prevents double pulsing in a push-pull configuration by remembering which output produced the last pulse.

# SG3526

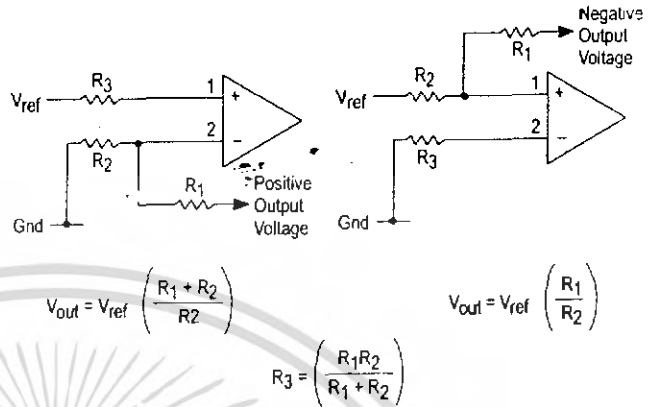
## APPLICATIONS INFORMATION

Figure 12. Extending Reference Output Current Capability



\* May be required with some types of transistors

Figure 13. Error Amplifier Connections



$$V_{out} = V_{ref} \left( \frac{R_1 + R_2}{R_2} \right)$$

$$V_{out} = V_{ref} \left( \frac{R_1}{R_2} \right)$$

$$R_3 = \left( \frac{R_1 R_2}{R_1 + R_2} \right)$$

Figure 14. Oscillator Connections

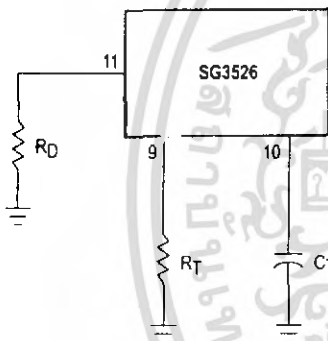
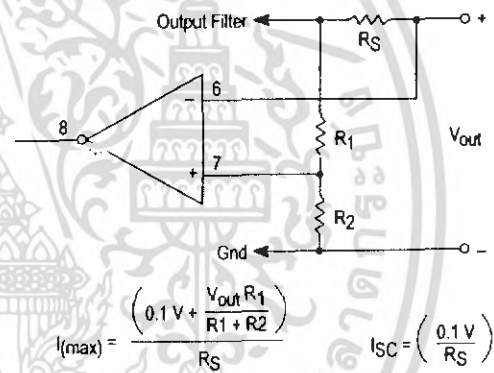


Figure 15. Foldback Current Limiting



$$I_{(max)} = \frac{0.1V + \frac{V_{out} R_1}{R_1 + R_2}}{R_S}$$

$$I_{SC} = \left( \frac{0.1V}{R_S} \right)$$

Figure 16. Soft-Start Circuitry

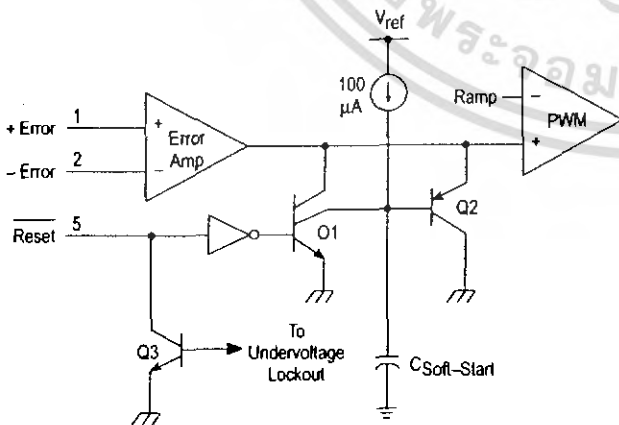
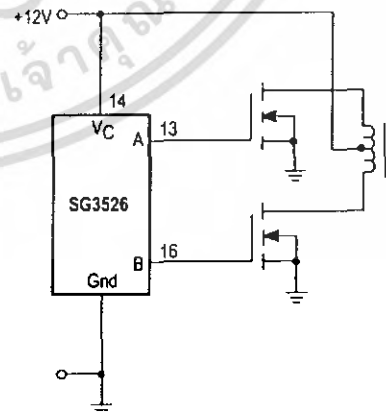


Figure 17. Driving VMOS Power FETs



The totem pole output drivers of the SG3526 are ideally suited for driving the input capacitance of power FETs at high speeds.

# SG3526

Figure 18. Half-Bridge Configuration

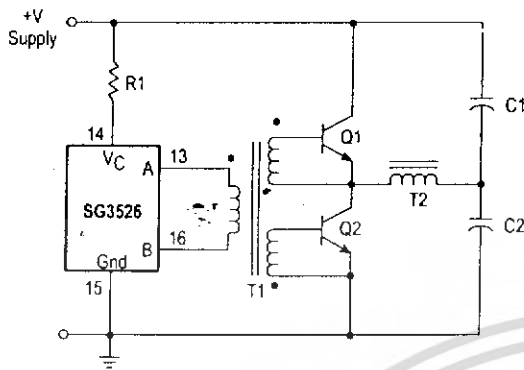
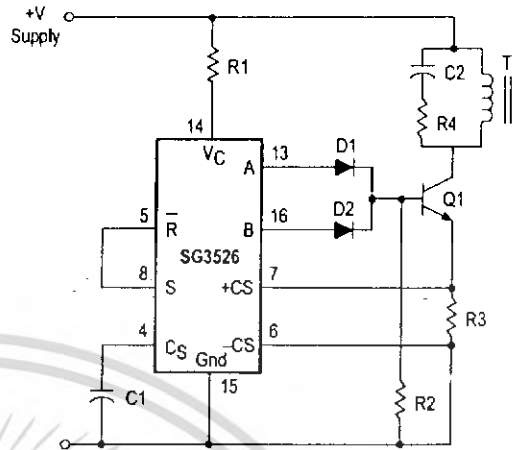


Figure 19. Flyback Converter with Current Limiting



In the above circuit, current limiting is accomplished by using the current limit comparator output to reset the soft-start capacitor.

Figure 20. Single-Ended Configuration

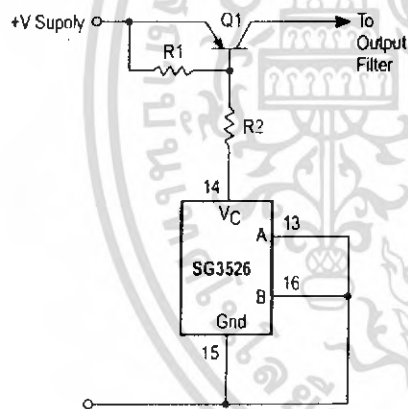
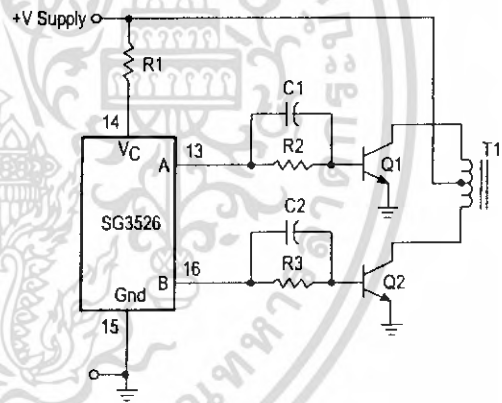
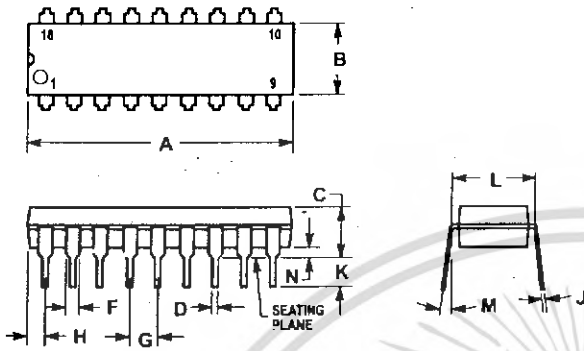


Figure 21. Push-Pull Configuration



**SG3526**  
**OUTLINE DIMENSIONS**

**N SUFFIX**  
**PLASTIC PACKAGE**  
**CASE 707-02**  
**ISSUE C**



**NOTES:**

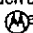
1. POSITIONAL TOLERANCE OF LEADS (D), SHALL BE WITHIN 0.25 (0.010) AT MAXIMUM MATERIAL CONDITION, IN RELATION TO SEATING PLANE AND EACH OTHER.
2. DIMENSION L TO CENTER OF LEADS WHEN FORMED PARALLEL.
3. DIMENSION B DOES NOT INCLUDE MOLD FLASH.

DIM	MILLIMETERS		INCHES	
	MIN	MAX	MIN	MAX
A	22.22	23.24	0.875	0.915
B	5.10	6.60	0.240	0.260
C	3.56	4.57	0.140	0.180
D	0.36	0.56	0.014	0.022
F	1.27	1.78	0.050	0.070
G	2.54 BSC		0.100 BSC	
H	1.02	1.52	0.040	0.060
J	0.20	0.30	0.008	0.012
K	2.92	3.43	0.115	0.135
L	7.62 BSC		0.300 BSC	
M	0°	15°	0°	15°
N	0.51	1.02	0.020	0.040



SG3526



Motorola reserves the right to make changes without further notice to any products herein. Motorola makes no warranty, representation or guarantee regarding the suitability of its products for any particular purpose, nor does Motorola assume any liability arising out of the application or use of any product or circuit, and specifically disclaims any and all liability, including without limitation consequential or incidental damages. "Typical" parameters which may be provided in Motorola data sheets and/or specifications can and do vary in different applications and actual performance may vary over time. All operating parameters, including "Typicals" must be validated for each customer application by customer's technical experts. Motorola does not convey any license under its patent rights nor the rights of others. Motorola products are not designed, intended, or authorized for use as components in systems intended for surgical implant into the body, or other applications intended to support or sustain life, or for any other application in which the failure of the Motorola product could create a situation where personal injury or death may occur. Should Buyer purchase or use Motorola products for any such unintended or unauthorized application, Buyer shall indemnify and hold Motorola and its officers, employees, subsidiaries, affiliates, and distributors harmless against all claims, costs, damages, and expenses, and reasonable attorney fees arising out of, directly or indirectly, any claim of personal injury or death associated with such unintended or unauthorized use, even if such claim alleges that Motorola was negligent regarding the design or manufacture of the part. Motorola and  registered trademarks of Motorola, Inc. Motorola, Inc. is an Equal Opportunity/Affirmative Action Employer.

**How to reach us:**

USA/EUROPE/Locations Not Listed: Motorola Literature Distribution;  
P.O. Box 20912; Phoenix, Arizona 85036. 1-800-441-2447 or 602-303-5454

JAPAN: Nippon Motorola Ltd.; Tatsumi-SPD-JLDC, 6F Seibu-Butsuryu-Center,  
3-14-2 Tatsumi Koto-Ku, Tokyo 135, Japan. 03-81-3521-8315

MFAX: RMFAX0@email.sps.mot.com - TOUCHTONE 602-244-6609  
INTERNET: <http://Design-NET.com>

ASIA/PACIFIC: Motorola Semiconductors H.K. Ltd.; 8B Tai Ping Industrial Park,  
51 Ting Kok Road, Tai Po, N.T., Hong Kong. 852-26629298



**MOTOROLA**

เอกสารนี้เป็นเอกสารที่สงวนไว้สำหรับการใช้งานเพื่อการศึกษาเท่านั้น ไม่อนุญาตให้ทำซ้ำโดยไม่ได้รับอนุญาต  
ไม่ว่ากรณีใดๆ ทั้งสิ้น อีกทั้งห้ามมิให้ดัดแปลงเนื้อหา และต้องอ้างอิงถึงเจ้าของเอกสารทุกครั้งที่มีการนำไปใช้

SG3526/D



# LM324, LM324A, LM224, LM2902, LM2902V, NCV2902



ON Semiconductor

<http://onsemi.com>

## Single Supply Quad Operational Amplifiers

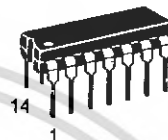
The LM324 series are low-cost, quad operational amplifiers with true differential inputs. They have several distinct advantages over standard operational amplifier types in single supply applications. The quad amplifier can operate at supply voltages as low as 3.0 V or as high as 32 V with quiescent currents about one-fifth of those associated with the MC1741 (on a per amplifier basis). The common mode input range includes the negative supply, thereby eliminating the necessity for external biasing components in many applications. The output voltage range also includes the negative power supply voltage.

- Short Circuited Protected Outputs
- True Differential Input Stage
- Single Supply Operation: 3.0 V to 32 V (LM224, LM324, LM324A)
- Low Input Bias Currents: 100 nA Maximum (LM324A)
- Four Amplifiers Per Package
- Internally Compensated
- Common Mode Range Extends to Negative Supply
- Industry Standard Pinouts
- ESD Clamps on the Inputs Increase Ruggedness without Affecting Device Operation

**MAXIMUM RATINGS** ( $T_A = +25^\circ\text{C}$ , unless otherwise noted.)

Rating	Symbol	LM224 LM324, LM324A	LM2902, LM2902V	Unit
Power Supply Voltages				Vdc
Single Supply	$V_{CC}$	32	26	
Split Supplies	$V_{CC}, V_{EE}$	$\pm 16$	$\pm 13$	
Input Differential Voltage Range (Note 1)	$V_{IDR}$	$\pm 32$	$\pm 26$	Vdc
Input Common Mode Voltage Range	$V_{ICR}$	-0.3 to 32	-0.3 to 26	Vdc
Output Short Circuit Duration	$t_{SC}$	Continuous		
Junction Temperature	$T_J$	150		$^\circ\text{C}$
Storage Temperature Range	$T_{stg}$	-65 to +150		$^\circ\text{C}$
Operating Ambient Temperature Range	$T_A$			$^\circ\text{C}$
LM224		-25 to +85		
LM324, 324A		0 to +70		
LM2902			-40 to +105	
LM2902V, NCV2902			-40 to +125	

1. Split Power Supplies.



PDIP-14  
N SUFFIX  
CASE 646

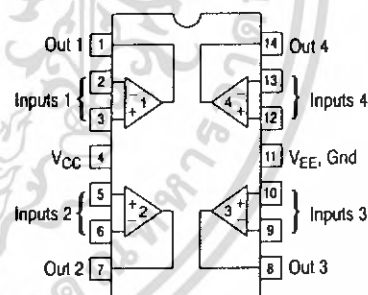


SO-14  
D SUFFIX  
CASE 751A



TSSOP-14  
DTB SUFFIX  
CASE 948G

### PIN CONNECTIONS



(Top View)

### ORDERING INFORMATION

See detailed ordering and shipping information in the package dimensions section on page 9 of this data sheet.

### DEVICE MARKING INFORMATION

See general marking information in the device marking section on page 10 of this data sheet.

## LM324, LM324A, LM224, LM2902, LM2902V, NCV2902

ELECTRICAL CHARACTERISTICS ( $V_{CC} = 5.0\text{ V}$ ,  $V_{EE} = \text{Gnd}$ ,  $T_A = 25^\circ\text{C}$ , unless otherwise noted.)

Characteristics	Symbol	LM224			LM324A			LM324			LM2902			LM2902V/NCV2902			Unit
		Min	Typ	Max	Min	Typ	Max	Min	Typ	Max	Min	Typ	Max	Min	Typ	Max	
Input Offset Voltage $V_{CC} = 5.0\text{ V to }30\text{ V}$ (26 V for LM2902, V), $V_{ICR} = 0\text{ V to }V_{CC} - 1.7\text{ V}$ , $V_D = 1.4\text{ V}$ , $R_S = 0\ \Omega$ $T_A = 25^\circ\text{C}$ $T_A = T_{\text{high}}$ (Note 2) $T_A = T_{\text{low}}$ (Note 2)	$V_{IO}$	-	2.0	5.0	-	2.0	8.0	-	2.0	7.0	-	2.0	7.0	-	2.0	7.0	mV
Average Temperature Coefficient of Input Offset Voltage $T_A = T_{\text{high}}$ to $T_{\text{low}}$ (Notes 2 and 4)	$\Delta V_{IO}/\Delta T$	-	7.0	-	-	7.0	30	-	7.0	-	-	7.0	-	-	7.0	-	$\mu\text{V}/^\circ\text{C}$
Input Offset Current $T_A = T_{\text{high}}$ to $T_{\text{low}}$ (Note 2)	$I_{IO}$	-	3.0	30	-	5.0	30	-	5.0	50	-	5.0	50	-	5.0	50	nA
Average Temperature Coefficient of Input Offset Current $T_A = T_{\text{high}}$ to $T_{\text{low}}$ (Notes 2 and 4)	$\Delta I_{IO}/\Delta T$	-	10	-	-	10	300	-	10	-	-	10	-	-	10	-	$\text{pA}/^\circ\text{C}$
Input Bias Current $T_A = T_{\text{high}}$ to $T_{\text{low}}$ (Note 2)	$I_{IB}$	-	-90	-150	-	-45	-100	-	-90	-250	-	-90	-250	-	-90	-250	nA
Input Common Mode Voltage Range (Note 3) $V_{CC} = 30\text{ V}$ (26 V for LM2902, V) $T_A = +25^\circ\text{C}$ $T_A = T_{\text{high}}$ to $T_{\text{low}}$ (Note 2)	$V_{ICR}$	0	-	28.3	0	-	28.3	0	-	28.3	0	-	24.3	0	-	24.3	V
Differential Input Voltage Range	$V_{IDR}$	-	-	$V_{CC}$	-	-	$V_{CC}$	-	-	$V_{CC}$	-	-	$V_{CC}$	-	-	$V_{CC}$	V
Large Signal Open Loop Voltage Gain $R_L = 2.0\text{ k}\Omega$ , $V_{CC} = 15\text{ V}$ , for Large $V_D$ Swing $T_A = T_{\text{high}}$ to $T_{\text{low}}$ (Note 2)	$A_{VOL}$	50	100	-	25	100	-	25	100	-	25	100	-	25	100	-	V/mV
Channel Separation 10 kHz $\leq f \leq 20$ kHz, Input Referenced	CS	-	-120	-	-	-120	-	-	-120	-	-	-120	-	-	-120	-	dB
Common Mode Rejection, $R_S \leq 10\text{ k}\Omega$	CMR	70	85	-	65	70	-	65	70	-	50	70	-	50	70	-	dB
Power Supply Rejection	PSR	65	100	-	65	100	-	65	100	-	50	100	-	50	100	-	dB

2. LM224:  $T_{\text{low}} = -25^\circ\text{C}$ ,  $T_{\text{high}} = +85^\circ\text{C}$   
 LM324/LM324A:  $T_{\text{low}} = 0^\circ\text{C}$ ,  $T_{\text{high}} = +70^\circ\text{C}$   
 LM2902:  $T_{\text{low}} = -40^\circ\text{C}$ ,  $T_{\text{high}} = +105^\circ\text{C}$   
 LM2902V & NCV2902:  $T_{\text{low}} = -40^\circ\text{C}$ ,  $T_{\text{high}} = +125^\circ\text{C}$   
 NCV2902 is qualified for automotive use.

3. The input common mode voltage or either input signal voltage should not be allowed to go negative by more than 0.3 V. The upper end of the common mode voltage range is  $V_{CC} - 1.7\text{ V}$ .
4. Guaranteed by design.

## LM324, LM324A, LM224, LM2902, LM2902V, NCV2902

**ELECTRICAL CHARACTERISTICS** ( $V_{CC} = 5.0\text{ V}$ ,  $V_{EE} = \text{Gnd}$ ,  $T_A = 25^\circ\text{C}$ , unless otherwise noted.)

Characteristics	Symbol	LM224			LM324A			LM324			LM2902			LM2902V/NCV2902			Unit
		Min	Typ	Max	Min	Typ	Max	Min	Typ	Max	Min	Typ	Max	Min	Typ	Max	
Output Voltage— High Limit ( $T_A = T_{\text{high}}$ to $T_{\text{low}}$ ) (Note 5) $V_{CC} = 5.0\text{ V}$ , $R_L = 2.0\text{ k}\Omega$ , $T_A = 25^\circ\text{C}$ $V_{CC} = 30\text{ V}$ (26 V for LM2902, V), $R_L = 2.0\text{ k}\Omega$ $V_{CC} = 30\text{ V}$ (26 V for LM2902, V), $R_L = 10\text{ k}\Omega$	$V_{OH}$	3.3	3.5	—	3.3	3.5	—	3.3	3.5	—	3.3	3.5	—	3.3	3.5	—	V
Output Voltage— Low Limit, $V_{CC} = 5.0\text{ V}$ , $R_L = 10\text{ k}\Omega$ , $T_A = T_{\text{high}}$ to $T_{\text{low}}$ (Note 5)	$V_{OL}$	—	5.0	20	—	5.0	20	—	5.0	20	—	5.0	100	—	5.0	100	mV
Output Source Current ( $V_{ID} = +1.0\text{ V}$ , $V_{CC} = 15\text{ V}$ ) $T_A = 25^\circ\text{C}$ $T_A = T_{\text{high}}$ to $T_{\text{low}}$ (Note 5)	$I_{O+}$	20	40	—	20	40	—	20	40	—	20	40	—	20	40	—	mA
Output Sink Current ( $V_{ID} = -1.0\text{ V}$ , $V_{CC} = 15\text{ V}$ ) $T_A = 25^\circ\text{C}$ $T_A = T_{\text{high}}$ to $T_{\text{low}}$ (Note 5)	$I_{O-}$	10	20	—	10	20	—	10	20	—	10	20	—	10	20	—	mA
( $V_{ID} = -1.0\text{ V}$ , $V_O = 200\text{ mV}$ , $T_A = 25^\circ\text{C}$ )		12	50	—	12	50	—	12	50	—	—	—	—	—	—	—	$\mu\text{A}$
Output Short Circuit to Ground (Note 6)	$I_{SC}$	—	40	60	—	40	60	—	40	60	—	40	60	—	40	60	mA
Power Supply Current ( $T_A = T_{\text{high}}$ to $T_{\text{low}}$ ) (Note 5) $V_{CC} = 30\text{ V}$ (26 V for LM2902, V), $V_O = 0\text{ V}$ , $R_L = \infty$ $V_{CC} = 5.0\text{ V}$ , $V_O = 0\text{ V}$ , $R_L = \infty$	$I_{CC}$	—	—	3.0	—	1.4	3.0	—	—	3.0	—	—	3.0	—	—	3.0	mA
		—	—	1.2	—	0.7	1.2	—	—	1.2	—	—	1.2	—	—	1.2	

5. LM224:  $T_{\text{low}} = -25^\circ\text{C}$ ,  $T_{\text{high}} = +85^\circ\text{C}$   
 LM324/LM324A:  $T_{\text{low}} = 0^\circ\text{C}$ ,  $T_{\text{high}} = +70^\circ\text{C}$   
 LM2902:  $T_{\text{low}} = -40^\circ\text{C}$ ,  $T_{\text{high}} = +105^\circ\text{C}$   
 LM2902V & NCV2902:  $T_{\text{low}} = -40^\circ\text{C}$ ,  $T_{\text{high}} = +125^\circ\text{C}$   
 NCV2902 is qualified for automotive use.

6. The input common mode voltage or either input signal voltage should not be allowed to go negative by more than 0.3 V. The upper end of the common mode voltage range is  $V_{CC} - 1.7\text{ V}$ .

LM324, LM324A, LM224, LM2902, LM2902V, NCV2902

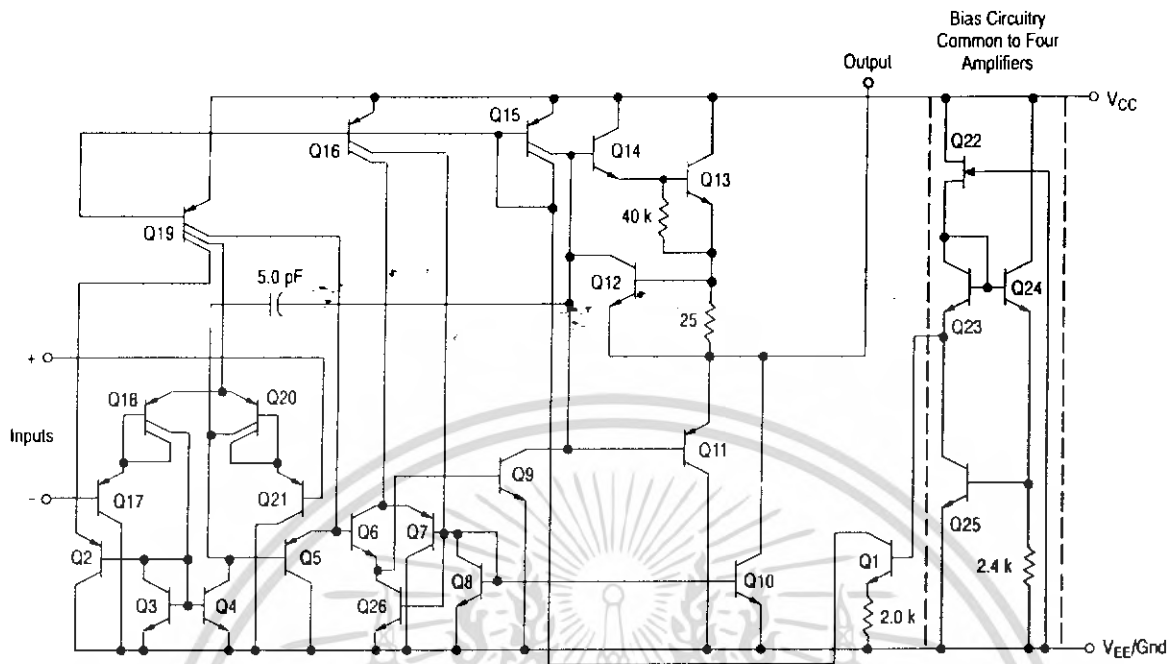


Figure 1. Representative Circuit Diagram  
(One-Fourth of Circuit Shown)

# LM324, LM324A, LM224, LM2902, LM2902V, NCV2902

## CIRCUIT DESCRIPTION

The LM324 series is made using four internally compensated, two-stage operational amplifiers. The first stage of each consists of differential input devices Q20 and Q18 with input buffer transistors Q21 and Q17 and the differential to single ended converter Q3 and Q4. The first stage performs not only the first stage gain function but also performs the level shifting and transconductance reduction functions. By reducing the transconductance, a smaller compensation capacitor (only 5.0 pF) can be employed, thus saving chip area. The transconductance reduction is accomplished by splitting the collectors of Q20 and Q18. Another feature of this input stage is that the input common mode range can include the negative supply or ground, in single supply operation, without saturating either the input devices or the differential to single-ended converter. The second stage consists of a standard current source load amplifier stage.

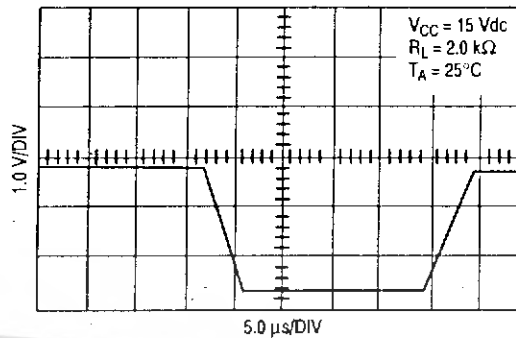


Figure 2. Large Signal Voltage Follower Response

Each amplifier is biased from an internal-voltage regulator which has a low temperature coefficient thus giving each amplifier good temperature characteristics as well as excellent power supply rejection.



Figure 3.

LM324, LM324A, LM224, LM2902, LM2902V, NCV2902

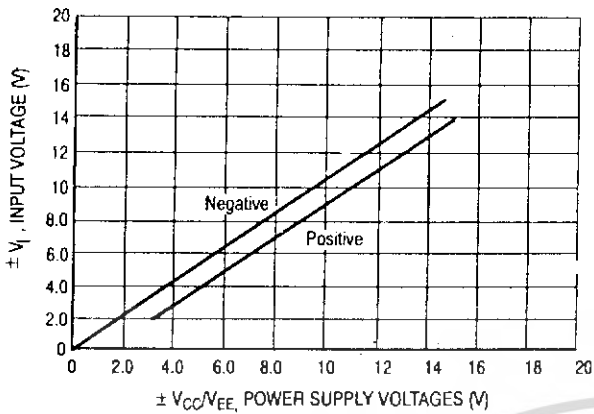


Figure 4. Input Voltage Range

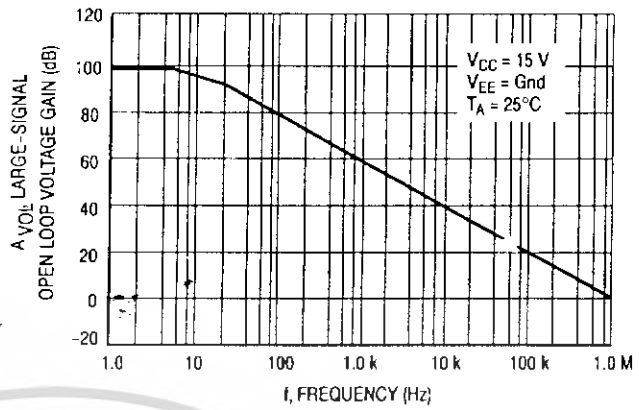


Figure 5. Open Loop Frequency

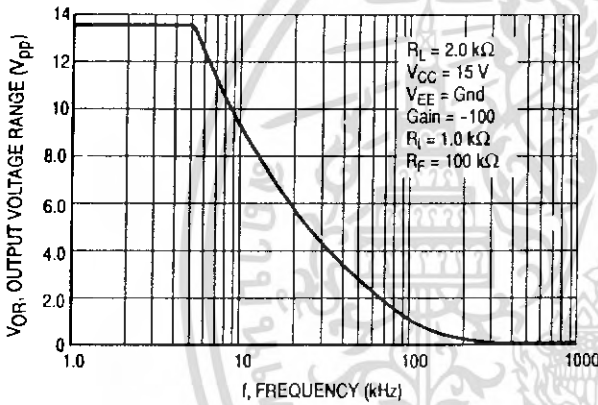


Figure 6. Large-Signal Frequency Response

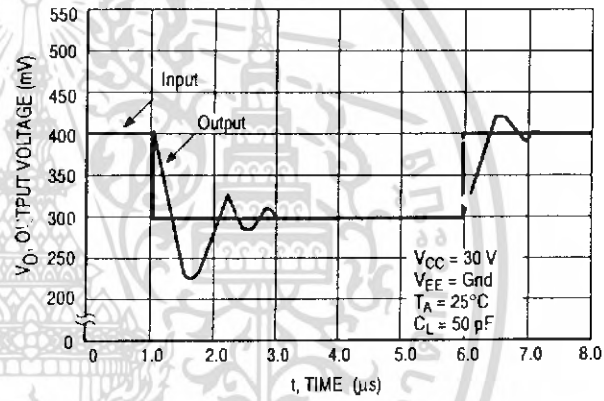


Figure 7. Small-Signal Voltage Follower Pulse Response (Noninverting)

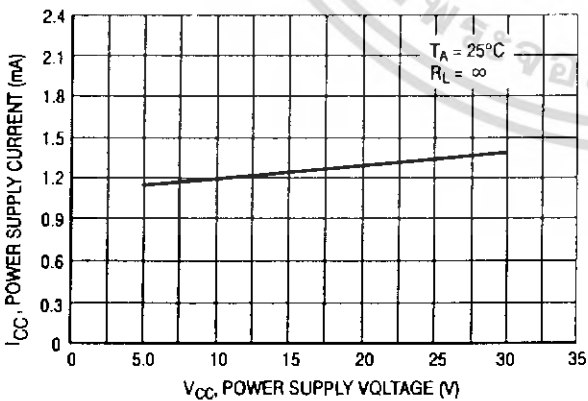


Figure 8. Power Supply Current versus Power Supply Voltage

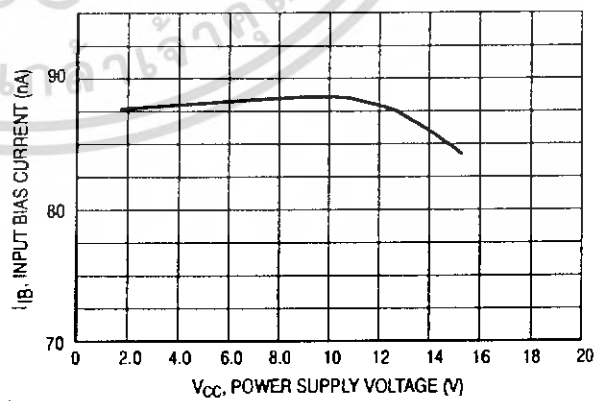


Figure 9. Input Bias Current versus Power Supply Voltage

LM324, LM324A, LM224, LM2902, LM2902V, NCV2902

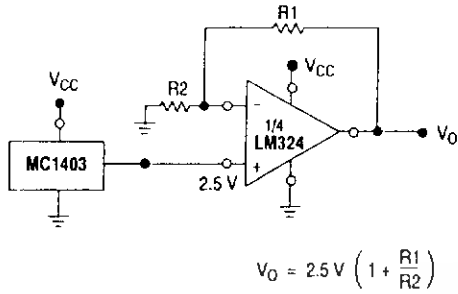


Figure 10. Voltage Reference

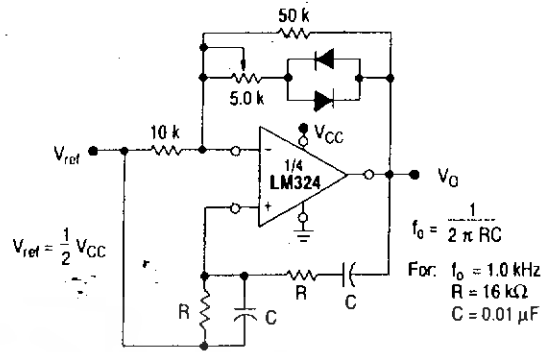


Figure 11. Wien Bridge Oscillator

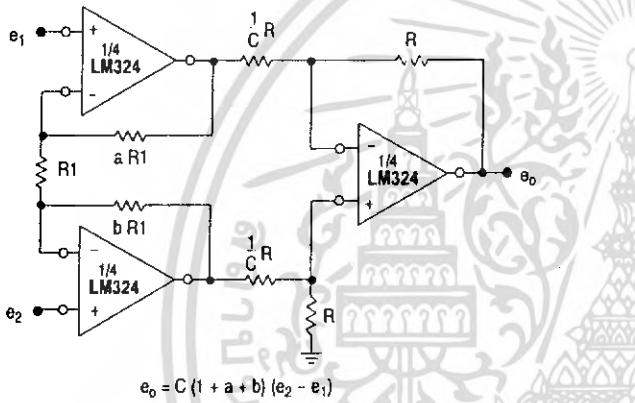


Figure 12. High Impedance Differential Amplifier

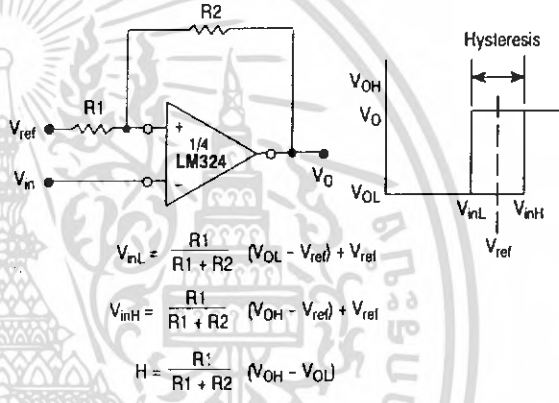


Figure 13. Comparator with Hysteresis

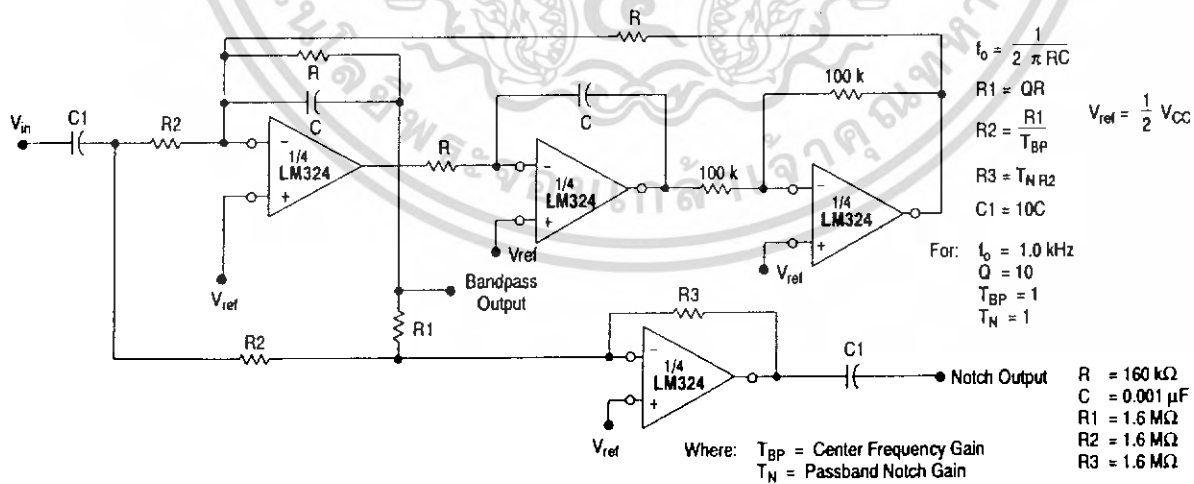


Figure 14. Bi-Quad Filter

LM324, LM324A, LM224, LM2902, LM2902V, NCV2902

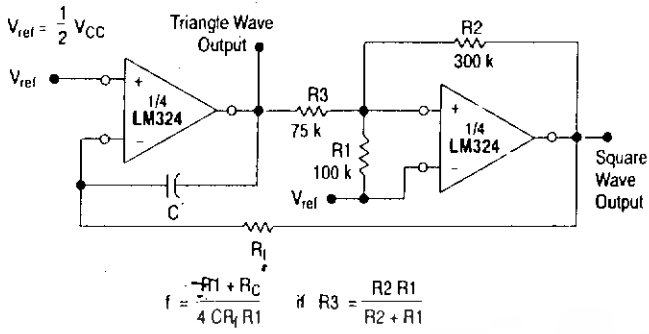


Figure 15. Function Generator

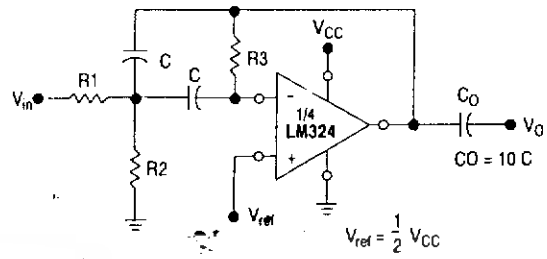


Figure 16. Multiple Feedback Bandpass Filter

Given:  $f_0$  = center frequency

$A(f_0)$  = gain at center frequency

Choose value  $f_0, C$

Then:  $R3 = \frac{Q}{\pi f_0 C}$

$R1 = \frac{R3}{2 A(f_0)}$

$R2 = \frac{R1 R3}{4Q^2 R1 - R3}$

For less than 10% error from operational amplifier,  $\frac{Q_0 f_0}{BW} < 0.1$

where  $f_0$  and BW are expressed in Hz.

If source impedance varies, filter may be preceded with voltage follower buffer to stabilize filter parameters.



LM324, LM324A, LM224, LM2902, LM2902V, NCV2902

ORDERING INFORMATION

Device	Package	Operating Temperature Range	Shipping
LM224D	SO-14	-25° to +85°C	55 Units/Rail
LM224DR2	SO-14		2500 Tape & Reel
LM224DTB	TSSOP-14		96 Units/Rail
LM224DTBR2	TSSOP-14		2500 Tape & Reel
LM224N	PDIP-14		25 Units/Rail
LM324D	SO-14	0° to +70°C	55 Units/Rail
LM324DR2	SO-14		2500 Tape & Reel
LM324DTB	TSSOP-14		96 Units/Rail
LM324DTBR2	TSSOP-14		2500 Tape & Reel
LM324N	PDIP-14		25 Units/Rail
LM324AD	SO-14	0° to +70°C	55 Units/Rail
LM324ADR2	SO-14		2500 Tape & Reel
LM324ADTB	TSSOP-14		96 Units/Rail
LM324ADTBR2	TSSOP-14		2500 Tape & Reel
LM324AN	PDIP-14		25 Units/Rail
LM2902D	SO-14	-40° to +105°C	55 Units/Rail
LM2902DR2	SO-14		2500 Tape & Reel
LM2902DTB	TSSOP-14		96 Units/Rail
LM2902DTBR2	TSSOP-14		2500 Tape & Reel
LM2902N	PDIP-14		25 Units/Rail
LM2902VD	SO-14	-40° to +125°C	55 Units/Rail
LM2902VDR2	SO-14		2500 Tape & Reel
LM2902VDTB	TSSOP-14		96 Units/Rail
LM2902VDTBR2	TSSOP-14		2500 Tape & Reel
LM2902VN	PDIP-14		25 Units/Rail
NCV2902DR2	SO-14		2500 Tape & Reel

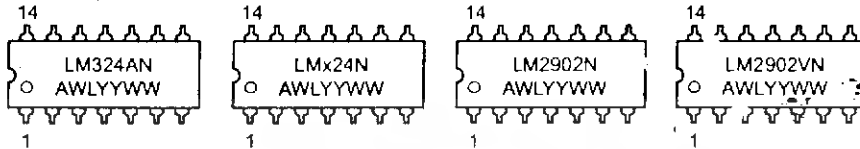
<http://onsemi.com>

เอกสารนี้เป็นเอกสารที่สงวนไว้สำหรับการใช้งานเพื่อการศึกษาเท่านั้น ไม่อนุญาตให้นำไปใช้ประโยชน์ด้านการค้า  
ไม่ว่ากรณีใดๆ ทั้งสิ้น อีกทั้งห้ามมิให้ดัดแปลงเนื้อหา และต้องอ้างอิงถึงเจ้าของเอกสารทุกครั้งที่มีการนำไปใช้

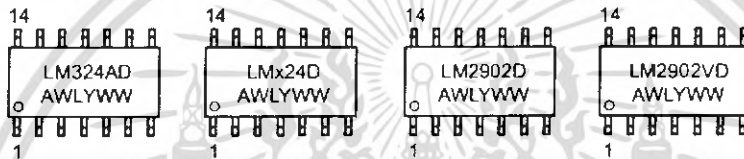
LM324, LM324A, LM224, LM2902, LM2902V, NCV2902

MARKING DIAGRAMS

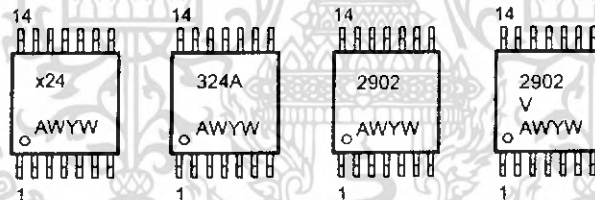
PDIP-14  
N SUFFIX  
CASE 646



SO-14  
D SUFFIX  
CASE 751A



TSSOP-14  
DTB SUFFIX  
CASE 943G



x = 2 or 3  
A = Assembly Location  
WL = Wafer Lot  
YY, Y = Year  
WW, W = Work Week

\*This marking diagram also applies to NCV2902.

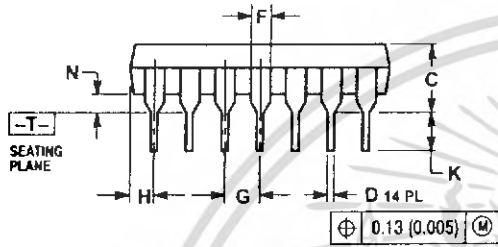
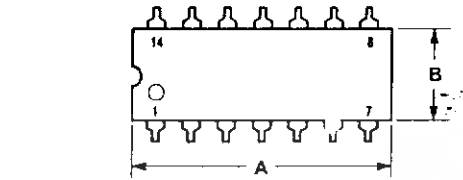
<http://onsemi.com>

เอกสารนี้เป็นเอกสารที่สงวนไว้สำหรับการใช้งานที่ 10 การศึกษาเท่านั้น ไม่อนุญาตให้นำไปใช้ประโยชน์ด้านการค้า  
ไม่ว่ากรณีใดๆ ทั้งสิ้น อีกทั้งห้ามมิให้ดัดแปลงเนื้อหา และต้องอ้างอิงถึงเจ้าของเอกสารทุกครั้งที่มีการนำไปใช้

LM324, LM324A, LM224, LM2902, LM2902V, NCV2902

PACKAGE DIMENSIONS

PDIP-14  
N SUFFIX  
CASE 646-06  
ISSUE M

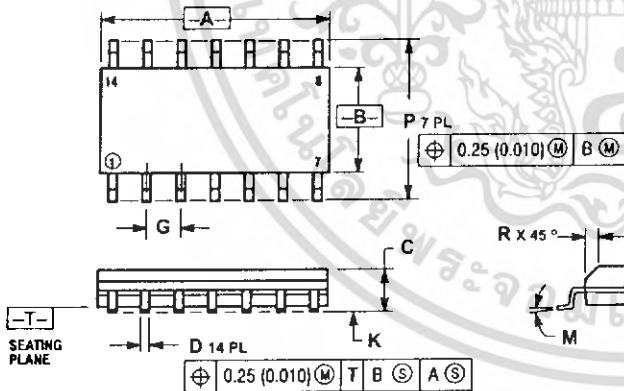


NOTES:

1. DIMENSIONING AND TOLERANCING PER ANSI Y14.5M, 1982.
2. CONTROLLING DIMENSION: INCH.
3. DIMENSION L TO CENTER OF LEADS WHEN FORMED PARALLEL.
4. DIMENSION B DOES NOT INCLUDE MOLD FLASH.
5. ROUNDED CORNERS OPTIONAL.

DIM	INCHES		MILLIMETERS	
	MIN	MAX	MIN	MAX
A	0.715	0.770	18.16	18.80
B	0.240	0.260	6.10	6.60
C	0.145	0.185	3.69	4.69
D	0.015	0.021	0.38	0.53
F	0.040	0.070	1.02	1.78
G	0.100 BSC		2.54 BSC	
H	0.052	0.095	1.32	2.41
J	0.008	0.015	0.20	0.38
K	0.115	0.135	2.92	3.43
L	0.290	0.310	7.37	7.87
M	---		10°	
N	0.015	0.039	0.38	1.01

SO-14  
D SUFFIX  
CASE 751A-03  
ISSUE F



NOTES:

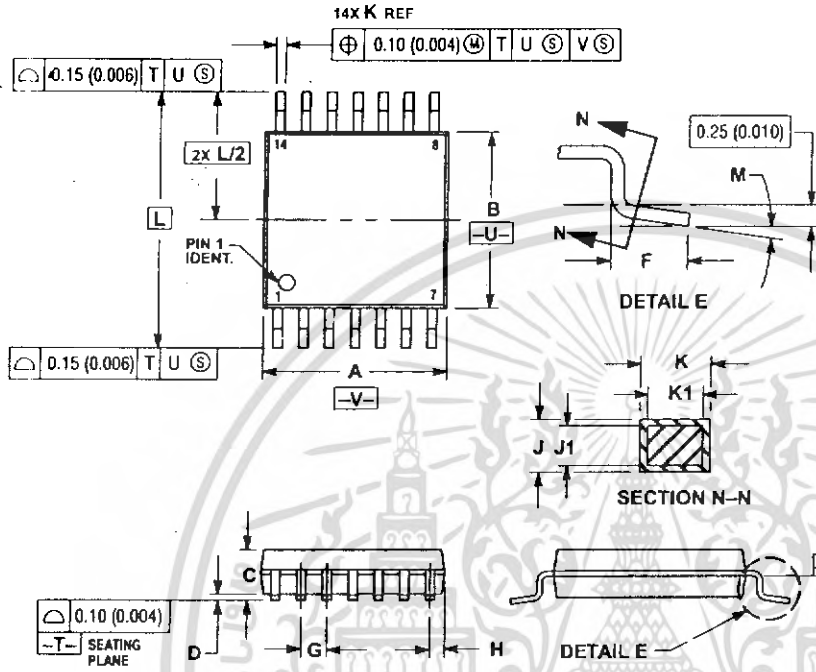
1. DIMENSIONING AND TOLERANCING PER ANSI Y14.5M, 1982.
2. CONTROLLING DIMENSION: MILLIMETER.
3. DIMENSIONS A AND B DO NOT INCLUDE MOLD PROTRUSION.
4. MAXIMUM MOLD PROTRUSION 0.15 (0.006) PER SIDE.
5. DIMENSION D DOES NOT INCLUDE DAMBAR PROTRUSION. ALLOWABLE DAMBAR PROTRUSION SHALL BE 0.127 (0.005) TOTAL IN EXCESS OF THE D DIMENSION AT MAXIMUM MATERIAL CONDITION.

DIM	MILLIMETERS		INCHES	
	MIN	MAX	MIN	MAX
A	8.55	8.75	0.337	0.344
B	3.80	4.00	0.150	0.157
C	1.35	1.75	0.054	0.068
D	0.35	0.49	0.014	0.019
F	0.40	1.25	0.016	0.049
G	1.27 BSC		0.050 BSC	
J	0.19	0.25	0.008	0.009
K	0.10	0.25	0.004	0.009
M	0°		7°	
P	5.80	6.20	0.228	0.244
R	0.25	0.50	0.010	0.019

# LM324, LM324A, LM224, LM2902, LM2902V, NCV2902

## PACKAGE DIMENSIONS

TSSOP-14  
DTB SUFFIX  
CASE 948G-01  
ISSUE O



- NOTES:
1. DIMENSIONING AND TOLERANCING PER ANSI Y14.5M, 1982.
  2. CONTROLLING DIMENSION: MILLIMETER.
  3. DIMENSION A DOES NOT INCLUDE MOLD FLASH, PROTRUSIONS OR GATE BURRS. MOLD FLASH OR GATE BURRS SHALL NOT EXCEED 0.15 (0.006) PER SIDE.
  4. DIMENSION B DOES NOT INCLUDE INTERLEAD FLASH OR PROTRUSION. INTERLEAD FLASH OR PROTRUSION SHALL NOT EXCEED 0.25 (0.010) PER SIDE.
  5. DIMENSION K DOES NOT INCLUDE DAMBAR PROTRUSION. ALLOWABLE DAMBAR PROTRUSION SHALL BE 0.08 (0.003) TOTAL IN EXCESS OF THE K DIMENSION AT MAXIMUM MATERIAL CONDITION.
  6. TERMINAL NUMBERS ARE SHOWN FOR REFERENCE ONLY.
  7. DIMENSION A AND B ARE TO BE DETERMINED AT DATUM PLANE -W-.

DIM	MILLIMETERS		INCHES	
	MIN	MAX	MIN	MAX
A	4.90	5.10	0.193	0.200
B	4.30	4.50	0.169	0.177
C	---	1.20	---	0.047
D	0.05	0.15	0.002	0.006
F	0.50	0.75	0.020	0.030
G	0.65 BSC		0.026 BSC	
H	0.50	0.60	0.020	0.024
J	0.09	0.20	0.004	0.008
J1	0.09	0.16	0.004	0.006
K	0.19	0.30	0.007	0.012
K1	0.19	0.25	0.007	0.010
L	6.40 BSC		0.252 BSC	
M	0°	8°	0°	8°

ON Semiconductor and are registered trademarks of Semiconductor Components Industries, LLC (SCILLC). SCILLC reserves the right to make changes without further notice to any products herein. SCILLC makes no warranty, representation or guarantee regarding the suitability of its products for any particular purpose, nor does SCILLC assume any liability arising out of the application or use of any product or circuit, and specifically disclaims any and all liability, including without limitation special, consequential or incidental damages. "Typical" parameters which may be provided in SCILLC data sheets and/or specifications can and do vary in different applications and actual performance may vary over time. All operating parameters, including "Typicals" must be validated for each customer application by customer's technical experts. SCILLC does not convey any license under its patent rights nor the rights of others. SCILLC products are not designed, intended, or authorized for use as components in systems intended for surgical implant into the body, or other applications intended to support or sustain life, or for any other application in which the failure of the SCILLC product could create a situation where personal injury or death may occur. Should Buyer purchase or use SCILLC products for any such unintended or unauthorized application, Buyer shall indemnify and hold SCILLC and its officers, employees, subsidiaries, affiliates, and distributors harmless against all claims, costs, damages, and expenses, and reasonable attorney fees arising out of, directly or indirectly, any claim of personal injury or death associated with such unintended or unauthorized use, even if such claim alleges that SCILLC was negligent regarding the design or manufacture of the part. SCILLC is an Equal Opportunity/Affirmative Action Employer.

### PUBLICATION ORDERING INFORMATION

Literature Fulfillment:  
Literature Distribution Center for ON Semiconductor  
P.O. Box 5163, Denver, Colorado 80217 USA  
Phone: 303-675-2175 or 800-344-3860 Toll Free USA/Canada  
Fax: 303-675-2176 or 800-344-3867 Toll Free USA/Canada  
Email: ONlit@hibbertco.com

N. American Technical Support: 800-282-9855 Toll Free USA/Canada

JAPAN: ON Semiconductor, Japan Customer Focus Center  
4-32-1 Nishi-Golanda, Shinagawa-ku, Tokyo, Japan 141-0031  
Phone: 81-3-5740-2700  
Email: r14525@onsemi.com

ON Semiconductor Website: <http://onsemi.com>

For additional information, please contact your local Sales Representative.

LM324/D

เอกสารนี้เป็นเอกสารที่สงวนไว้สำหรับการใช้งานเพื่อการศึกษาเท่านั้น ไม่อนุญาตให้นำไปใช้ประโยชน์ทางการค้า  
ไม่ว่ากรณีใดๆ ทั้งสิ้น อีกทั้งห้ามมิให้ดัดแปลงเนื้อหา และต้องอ้างอิงถึงเจ้าของเอกสารทุกครั้งที่มีการนำไปใช้

# LM2901, LM339/LM339A, LM3302, LM239/LM239A

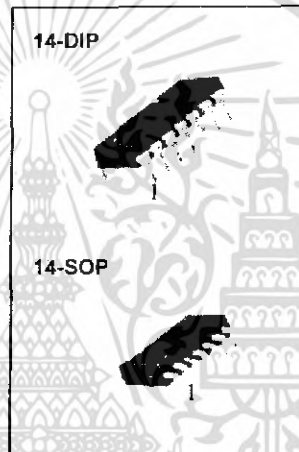
## Quad Comparator

### Features

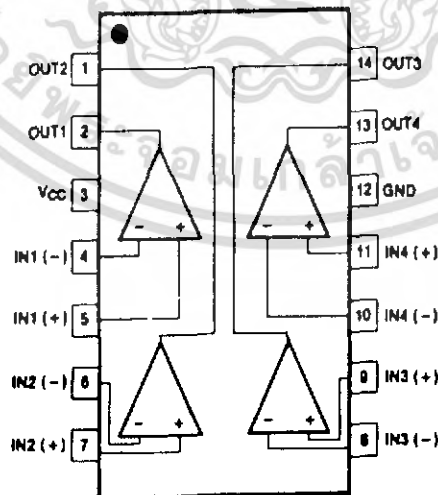
- Single or dual supply operation
- Wide range of supply voltage  
LM2901, LM339/LM339A, LM239/LM239A : 2 ~ 36V  
(or  $\pm 1 \sim \pm 18V$ )  
LM3302 : 2 ~ 28V (or  $\pm 1 \sim \pm 14V$ )
- Low supply current drain 800 $\mu A$  Typ.
- Open collector outputs for wired and connectors
- Low input bias current 25nA Typ.
- Low input offset current  $\pm 2.3nA$  Typ.
- Low input offset voltage  $\pm 1.4mV$  Typ.
- Common mode input voltage range includes ground.
- Low output saturation voltage
- Output compatible with TTL, DTL and MOS logic system

### Description

The LM2901, LM339/LM339A, LM239/LM239A, LM3302 consist of four independent voltage comparators designed to operate from single power supply over a wide voltage range.

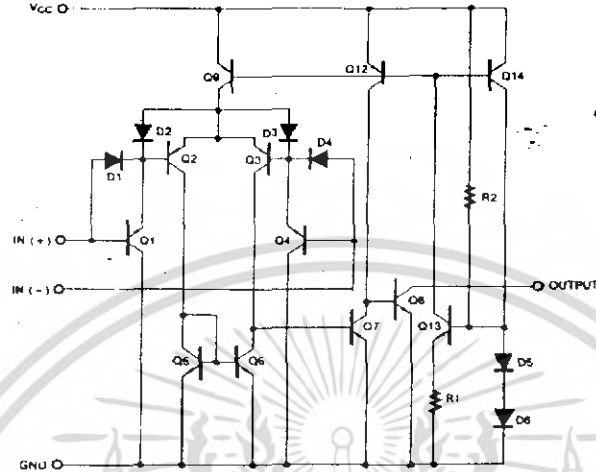


### Internal Block Diagram



Rev. 1.0.1

## Schematic Diagram



## Absolute Maximum Ratings

Parameter	Symbol	Value	Unit
Supply Voltage	V <sub>CC</sub>	±18 or 36	V
Supply Voltage only LM3302	V <sub>CC</sub>	±14 or 28	V
Differential Input Voltage	V <sub>I(DIFF)</sub>	36	V
Differential Input Voltage only LM3302	V <sub>I(DIFF)</sub>	28	V
Input Voltage	V <sub>I</sub>	- 0.3 to +36	V
Input Voltage only LM3302	V <sub>I</sub>	- 0.3 to +28	V
Output Short Circuit to GND	-	Continuous	-
Power Dissipation	P <sub>D</sub>	570	mW
Operating Temperature LM339/LM339A	T <sub>OPR</sub>	0 ~ + 70	°C
LM2901/LM3302		-40 ~ + 85	
LM239/LM239A		-25 ~ + 85	
Storage Temperature	T <sub>STG</sub>	- 65 ~ + 150	°C

## Electrical Characteristics

( $V_{CC} = 5V$ ,  $T_A = 25^\circ C$ , unless otherwise specified)

Parameter	Symbol	Conditions	LM239A/LM339A			LM239/LM339			Unit
			Min	Typ	Max	Min	Typ	Max	
Input Offset Voltage	$V_{IO}$	$V_{O(P)} = 1.4V$ , $R_S = 0\Omega$ Note 1	-	$\pm 1$	$\pm 2$	-	$\pm 1.4$	$\pm 5$	mV
			-		$\pm 4.0$	-	-	$\pm 9.0$	
Input Offset Current	$I_{IO}$	Note 1	-	$\pm 2.3$	$\pm 50$	-	$\pm 2.3$	$\pm 50$	nA
			-		$\pm 150$	-	-	$\pm 150$	
Input Bias Current	$I_{BIAS}$	Note 1	-	57	250	-	57	250	nA
			-	-	400	-	-	400	
Input Common Mode Voltage Range	$V_{I(R)}$	Note 1	0	-	$V_{CC}-1.5$	0	-	$V_{CC}-1.5$	V
			0	-	$V_{CC}-2$	0	-	$V_{CC}-2$	
Supply Current	$I_{CC}$	$V_{CC} = 5V$ , $R_L = \infty$	-	1.1	2.0	-	1.1	2.0	mA
Voltage Gain	$G_V$	$V_{CC} = 15V$ , $R_L \geq 15K\Omega$ (for large swing)	50	200	-	50	200	-	V/mV
Large Signal Response Time	$T_{LRES}$	$V_I = \text{TTL Logic Swing}$ $V_{REF} = 1.4V$ , $V_{RL} = 5V$ , $R_L = 5.1K\Omega$	-	350	-	-	350	-	ns
Response Time	$T_{RES}$	$V_{RL} = 5V$ , $R_L = 5.1K\Omega$	-	1.4	-	-	1.4	-	$\mu s$
Output Sink Current	$I_{SINK}$	$V_{I(-)} \geq 1V$ , $V_{I(+)} = 0V$ , $V_{O(P)} \leq 1.5V$	6	18	-	6	18	-	mA
Output Saturation Voltage	$V_{SAT}$	$V_{I(-)} \geq 1V$ , $V_{I(+)} = 0V$	-	140	400	-	140	400	mV
		$I_{SINK} = 4mA$ , Note 1	-		700	-		700	
Output Leakage Current	$I_{O(LKG)}$	$V_{I(-)} = 0V$	-	0.1	-	-	0.1	-	nA
		$V_{I(+)} = 1V$	-	-	1.0	-	-	1.0	$\mu A$
Differential Voltage	$V_{I(DIFF)}$	Note 1	-	-	36	-	-	36	V

### Note 1.

LM339/LM339A :  $0 \leq T_A \leq +70^\circ C$

LM2901/LM3302 :  $-40 \leq T_A \leq +85^\circ C$

LM239/LM239A :  $-25 \leq T_A \leq +85^\circ C$

**Electrical Characteristics (Continued)**

(VCC = 5V, TA = 25°C, unless otherwise specified)

Parameter	Symbol	Conditions	LM2901			LM3302			Unit
			Min	Typ	Max.	Min	Typ	Max.	
Input Offset Voltage	V <sub>IO</sub>	V <sub>O(P)</sub> = 1.4V, R <sub>S</sub> = 0Ω	-	2	7	-	2	20	mV
		Note 1	-	9	15	-	-	40	
Input Offset Current	I <sub>IO</sub>		-	2.3	50	-	3	100	nA
		Note 1	-	50	200	-	-	300	
Input Bias Current	I <sub>BIAS</sub>		-	57	250	-	57	250	nA
		Note 1	-	200	500	-	-	1000	
Input Common Mode Voltage Range	V <sub>I(R)</sub>		0	-	V <sub>CC</sub> - 1.5	0	-	V <sub>CC</sub> - 1.5	V
		Note 1	0	-	V <sub>CC</sub> - 2	0	-	V <sub>CC</sub> - 2	
Supply Current	I <sub>CC</sub>	R <sub>L</sub> = ∞, V <sub>CC</sub> = 5V	-	1.1	2.0	-	1.1	2.0	mA
		R <sub>L</sub> = ∞, V <sub>CC</sub> = 30V	-	1.6	2.5	-	-	-	
Voltage Gain	G <sub>V</sub>	V <sub>CC</sub> = 15V, R <sub>L</sub> ≥ 15KΩ (for large swing)	25	100	-	2	30	-	V/ mV
Large Signal Response Time	T <sub>LRES</sub>	V <sub>I</sub> = TTL Logic Swing V <sub>REF</sub> = 1.4V, V <sub>RL</sub> = 5V, R <sub>L</sub> = 5.1KΩ	-	350	-	-	350	-	ns
Response Time	T <sub>RES</sub>	V <sub>RL</sub> = 5V, R <sub>L</sub> = 5.1KΩ	-	1.4	-	-	1.4	-	μs
Output Sink Current	I <sub>SINK</sub>	V <sub>I(-)</sub> ≥ 1V, V <sub>I(+)</sub> = 0V, V <sub>O(P)</sub> ≤ 1.5V	6	18	-	6	18	-	mA
Output Saturation Voltage	V <sub>SAT</sub>	V <sub>I(-)</sub> ≥ 1V, V <sub>I(+)</sub> = 0V I <sub>SINK</sub> = 4mA	-	140	400	-	140	400	mV
		Note 1	-	-	700	-	-	700	
Output Leakage Current	I <sub>O(LKG)</sub>	V <sub>I(-)</sub> = 0V V <sub>I(+)</sub> = 1V	-	0.1	-	-	0.1	-	nA
		V <sub>O(P)</sub> = 5V V <sub>O(P)</sub> = 30V	-	-	1.0	-	-	1.0	μA
Differential Voltage	V <sub>I(DIFF)</sub>	Note 1	-	-	36	-	-	36	V

**Note 1.**

LM339/LM339A : 0 ≤ TA ≤ +70°C  
 LM2901/LM3302 : -40 ≤ TA ≤ +85°C  
 LM239/LM239A : -25 ≤ TA ≤ +85°C

## Typical Performance Characteristics

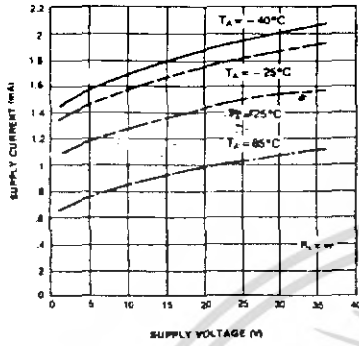


Figure 1. Supply Current vs Supply Voltage

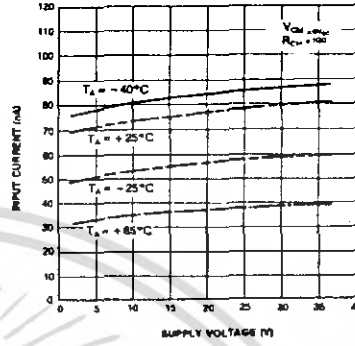


Figure 2. Input Current vs Supply Voltage

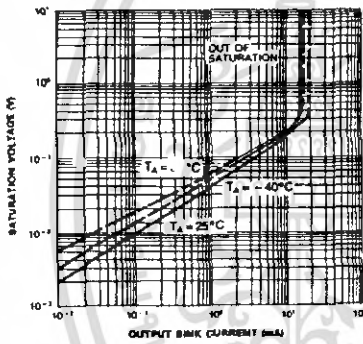


Figure 3. Output Saturation Voltage vs sink Current

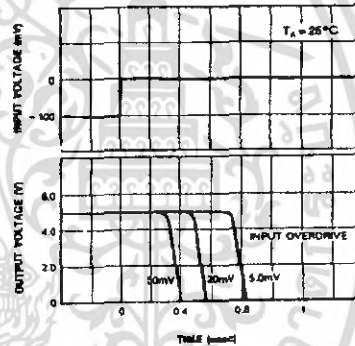


Figure 4. Response Time for Various Input Overdrive-Negative Transition

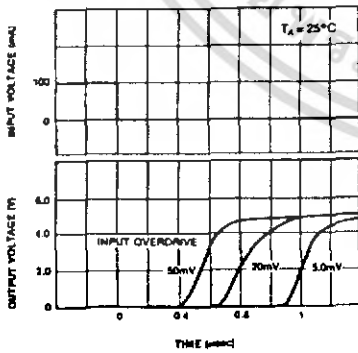
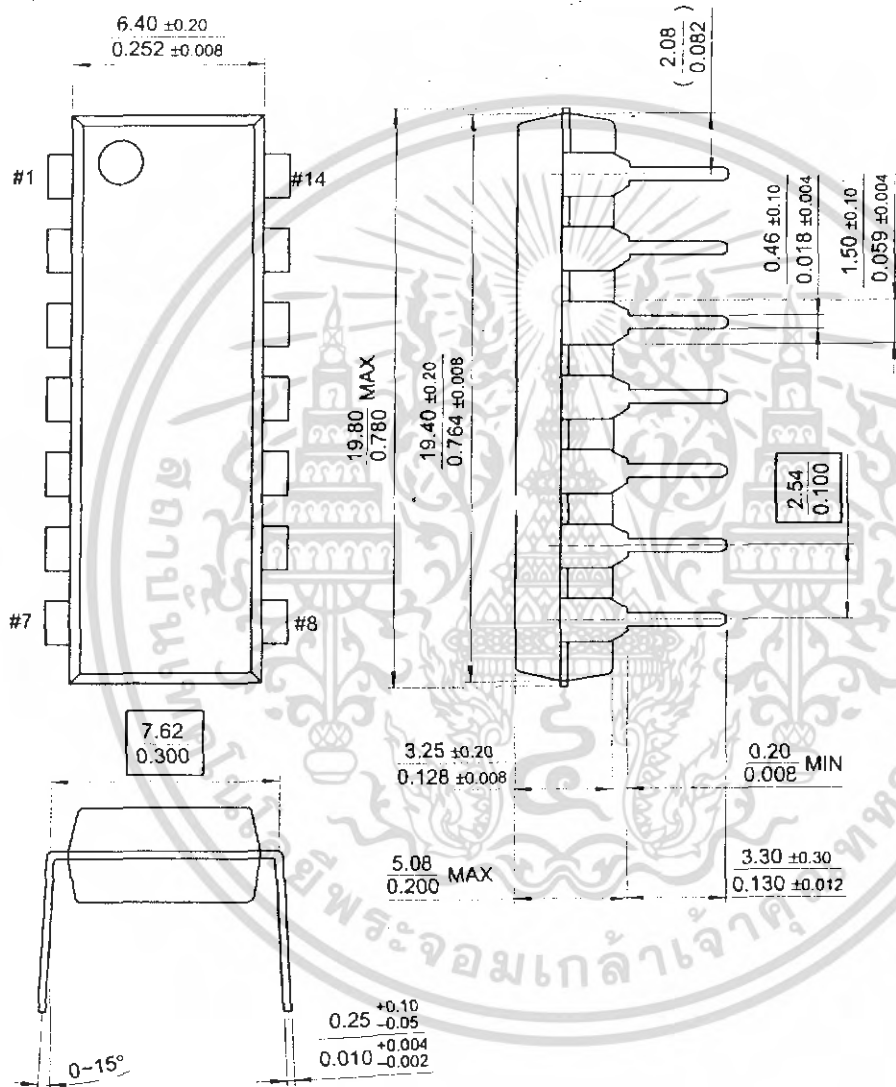


Figure 5. Response Time for Various Input Overdrive-Positive Transition

## Mechanical Dimensions

### Package

### 14-DIP





**M.C.C.**

Micro Commercial Components  
21201 Itasca Street Chatsworth  
CA 91311  
Phone: (818) 701-4933  
Fax: (818) 701-4939

**MUR3005WT  
THRU  
MUR3060WT**

**Features**

- High Surge Capability
- Low Forward Voltage Drop
- High Current Capability
- Super Fast Switching Speed For High Efficiency

**Maximum Ratings**

- Operating Temperature: -55°C to +150°C
- Storage Temperature: -55°C to +150°C

MCC Part Number	Maximum Recurrent Peak Reverse Voltage	Maximum RMS Voltage	Maximum DC Blocking Voltage
MUR3005WT	50V	35V	50V
MUR3010WT	100V	70V	100V
MUR3020WT	200V	140V	200V
MUR3040WT	400V	280V	400V
MUR3060WT	600V	420V	600V

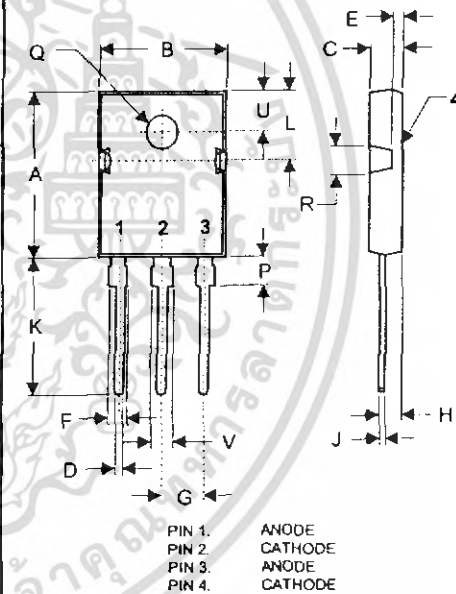
**30 Amp  
Super Fast Recovery  
Rectifier  
200 to 600 Volts**

**Electrical Characteristics @ 25°C Unless Otherwise Specified**

Average Forward Current	$I_{F(AV)}$	30 A	$T_C = 100^\circ\text{C}$
Peak Forward Surge Current	$I_{FSM}$	300A	8.3ms, half sine
Maximum Instantaneous Forward Voltage MUR3005WT-3020WT MUR3040WT MUR3060WT	$V_F$	1.05V 1.30V 1.70V	$I_{FM} = 15.0\text{A};$ $T_C = 25^\circ\text{C}$
Maximum DC Reverse Current At Rated DC Blocking Voltage	$I_R$	10µA 500µA	$T_C = 25^\circ\text{C}$ $T_C = 125^\circ\text{C}$
Maximum Reverse Recovery Time MUR3005WT-3040WT MUR3060WT	$T_{rr}$	50ns 80ns	$I_F=0.5\text{A}, I_R=1.0\text{A},$ $I_{rr}=0.25\text{A}$

\*Pulse Test: Pulse Width 300µsec, Duty Cycle 1%

TO-247



DIM.	DIMENSIONS		DIMENSIONS		NOTE
	MIN.	MAX.	MIN.	MAX.	
A	.803	.823	.2040	.2090	
B	.508	.528	.1544	.1595	
C	.185	.205	.470	.521	
D	.043	.051	1.09	1.30	
E	.059	.064	1.50	1.63	
F	.071	.086	1.80	2.18	
G	.215	BSC	5.45	BSC	
H	.101	.130	2.56	2.87	
J	.019	.027	0.48	0.68	
K	.613	.633	15.57	16.08	
L	.286	.295	7.26	7.50	
P	.122	.133	3.10	3.38	
Q	.138	.145	3.50	3.70	∅
R	.130	.150	3.30	3.80	
U	.209	BSC	5.30	BSC	
V	.120	.134	3.05	3.40	

เอกสารนี้เป็นเอกสารที่สงวนไว้สำหรับการใช้งานเพื่อการศึกษาเท่านั้น ไม่อนุญาตให้นำไปใช้ประโยชน์ด้านการค้า  
ไม่ว่ากรณีใดๆ ทั้งสิ้น อีกทั้งห้ามเผยแพร่ลงเนื้อหา และต้องอ้างอิงถึงเจ้าของเอกสารทุกครั้งที่มีการนำไปใช้



# MUR3005WT thru MUR3060WT

Figure 1  
Typical Forward Characteristics @  $T_j = 25^\circ\text{C}$

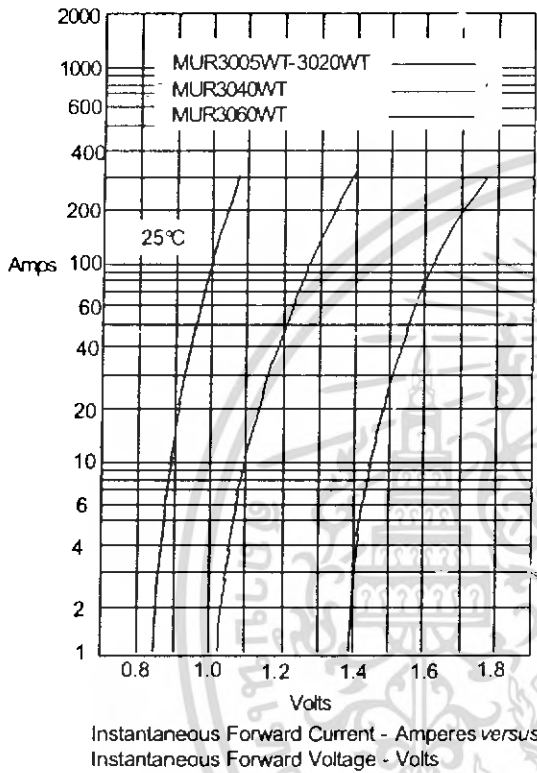


Figure 2  
Typical Forward Characteristics @  $T_j = 100^\circ\text{C}$

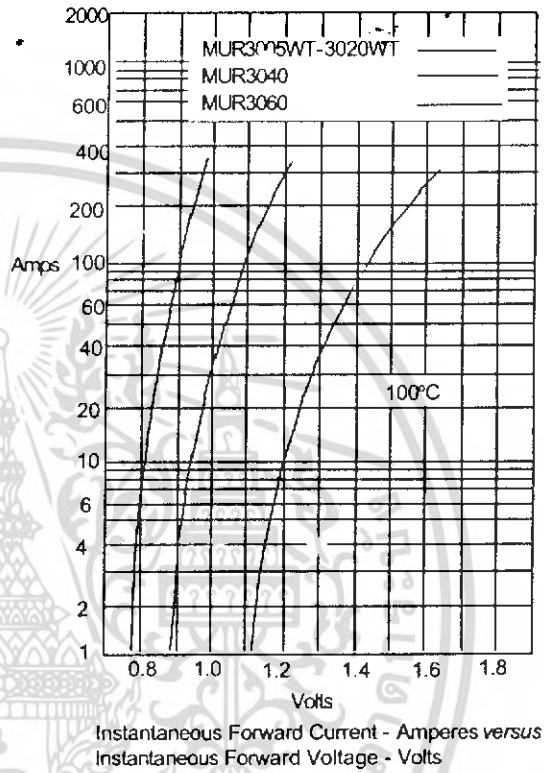
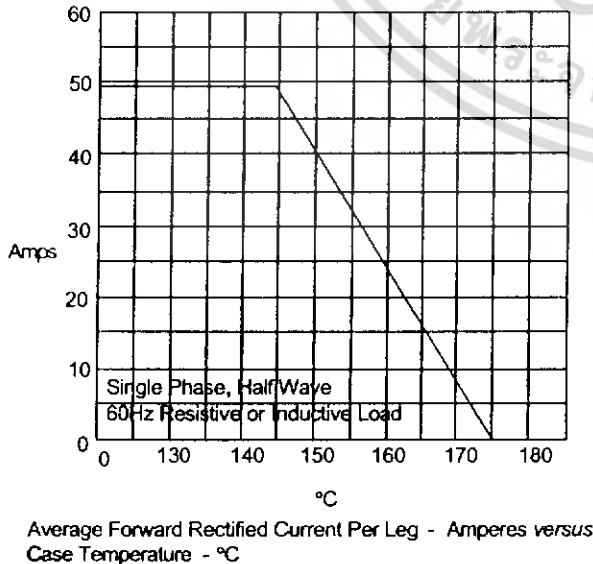


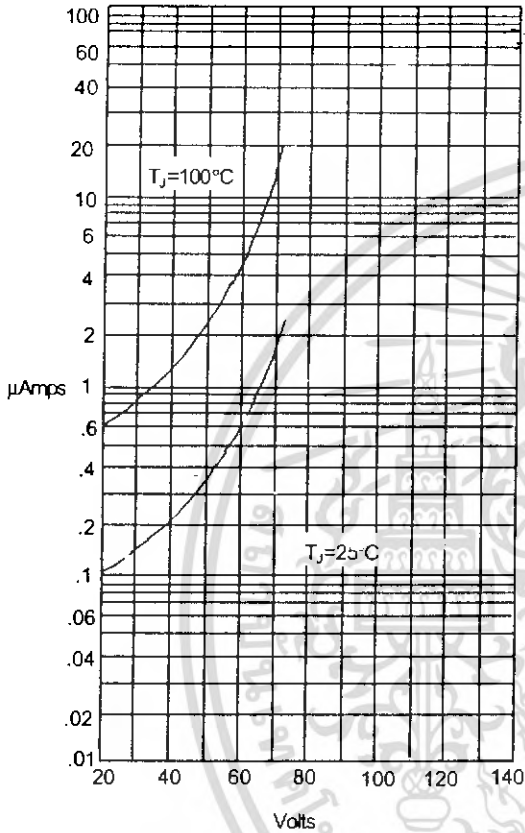
Figure 3  
Forward Derating Curve



เอกสารนี้เป็นเอกสารที่สงวนไว้สำหรับการใช้งานเพื่อการศึกษาเท่านั้น ไม่อนุญาตให้นำไปใช้ประโยชน์ด้านการค้า  
ไม่ว่ากรณีใดๆ ทั้งสิ้น อีกทั้งห้ามมีเหตุดัดแปลงเนื้อหา และต้องอ้างอิงถึงเจ้าของเอกสารทุกครั้งที่มีการนำไปใช้

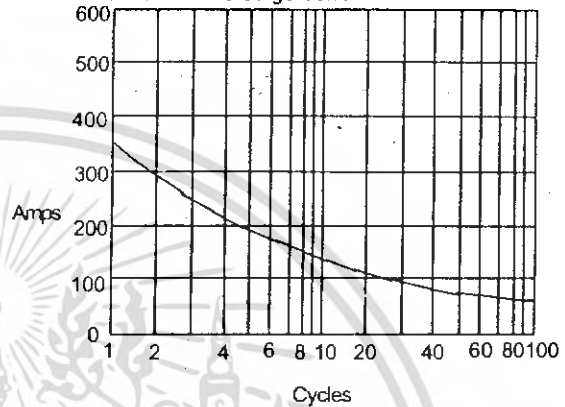
# MUR3005WT thru MUR3060WT

Figure 4  
Typical Reverse Characteristics



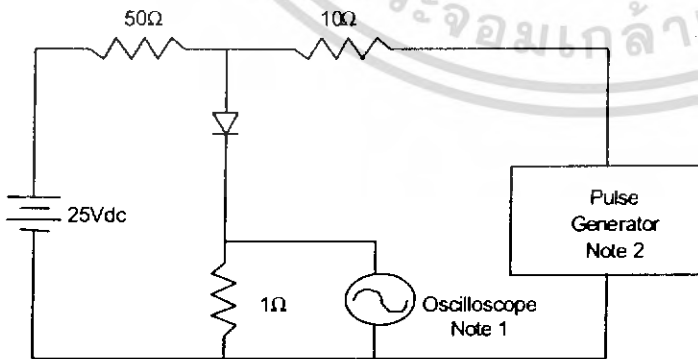
Instantaneous Reverse Leakage Current - MicroAmperes versus

Figure 5  
Peak Forward Surge Current

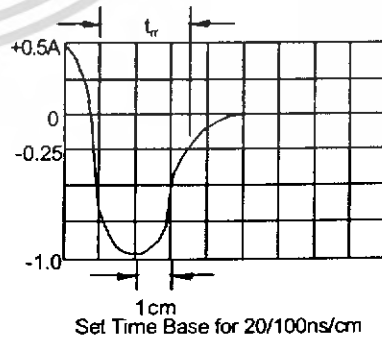


Peak Forward Surge Current - Amperes versus Number Of Cycles At 60Hz - Cycles

Figure 7  
Reverse Recovery Time Characteristic And Test Circuit Diagram



- Notes:
1. Rise Time = 7ns max.  
Input impedance = 1 megohm, 22pF
  2. Rise Time = 10ns max.  
Source impedance = 50 ohms
  3. Resistors are non-inductive



เอกสารนี้เป็นเอกสารที่สงวนไว้สำหรับการใช้งานเพื่อการศึกษาเท่านั้น ไม่อนุญาตให้นำไปใช้ประโยชน์ด้านการค้า  
ไม่ว่ากรณีใดๆ ทั้งสิ้น อีกทั้งห้ามมิให้ดัดแปลงเนื้อหา และต้องอ้างอิงถึงเจ้าของเอกสารทุกครั้งที่มีการนำไปใช้

## TIP31 Series(TIP31/31A/31B/31C)

### Medium Power Linear Switching Applications

- Complementary to TIP32/32A/32B/32C



### NPN Epitaxial Silicon Transistor

#### Absolute Maximum Ratings $T_C=25^\circ\text{C}$ unless otherwise noted

Symbol	Parameter	Value	Units
$V_{CBO}$	Collector-Base Voltage : TIP31	40	V
	: TIP31A	60	V
	: TIP31B	80	V
	: TIP31C	100	V
$V_{CEO}$	Collector-Emitter Voltage : TIP31	40	V
	: TIP31A	60	V
	: TIP31B	80	V
	: TIP31C	100	V
$V_{EBO}$	Emitter-Base Voltage	5	V
$I_C$	Collector Current (DC)	3	A
$I_{CP}$	Collector Current (Pulse)	5	A
$I_B$	Base Current	1	A
$P_C$	Collector Dissipation ( $T_C=25^\circ\text{C}$ )	40	W
$P_C$	Collector Dissipation ( $T_a=25^\circ\text{C}$ )	2	W
$T_J$	Junction Temperature	150	$^\circ\text{C}$
$T_{STG}$	Storage Temperature	- 65 ~ 150	$^\circ\text{C}$

#### Electrical Characteristics $T_C=25^\circ\text{C}$ unless otherwise noted

Symbol	Parameter	Test Condition	Min.	Max.	Units
$V_{CEO(sus)}$	* Collector-Emitter Sustaining Voltage	$I_C = 30\text{mA}, I_B = 0$	40	60	V
	: TIP31				
	: TIP31A				
	: TIP31B				
$I_{CEO}$	Collector Cut-off Current	$V_{CE} = 30\text{V}, I_B = 0$ $V_{CE} = 60\text{V}, I_B = 0$		0.3	mA
	: TIP31/31A				
$I_{CES}$	Collector Cut-off Current	$V_{CE} = 40\text{V}, V_{EB} = 0$ $V_{CE} = 60\text{V}, V_{EB} = 0$ $V_{CE} = 80\text{V}, V_{EB} = 0$ $V_{CE} = 100\text{V}, V_{EB} = 0$		200	$\mu\text{A}$
	: TIP31				
	: TIP31A				
	: TIP31B				
$I_{EBO}$	Emitter Cut-off Current	$V_{EB} = 5\text{V}, I_C = 0$		1	mA
	: TIP31C				
$h_{FE}$	* DC Current Gain	$V_{CE} = 4\text{V}, I_C = 1\text{A}$ $V_{CE} = 4\text{V}, I_C = 3\text{A}$	25	50	
	: TIP31				
$V_{CE(sat)}$	* Collector-Emitter Saturation Voltage	$I_C = 3\text{A}, I_B = 375\text{mA}$		1.2	V
$V_{BE(sat)}$	* Base-Emitter Saturation Voltage	$V_{CE} = 4\text{V}, I_C = 3\text{A}$		1.8	V
$f_T$	Current Gain Bandwidth Product	$V_{CE} = 10\text{V}, I_C = 500\text{mA}$	3.0		MHz

\* Pulse Test:  $PW \leq 300\mu\text{s}$ , Duty Cycles 2%

Typical Characteristics

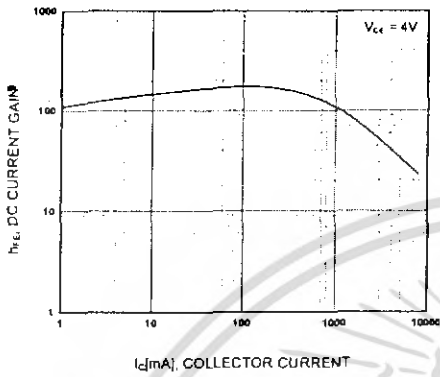


Figure 1. DC current Gain

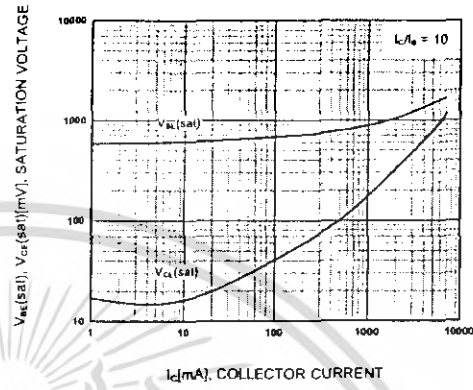


Figure 2. Base-Emitter Saturation Voltage  
Collector-Emitter Saturation Voltage

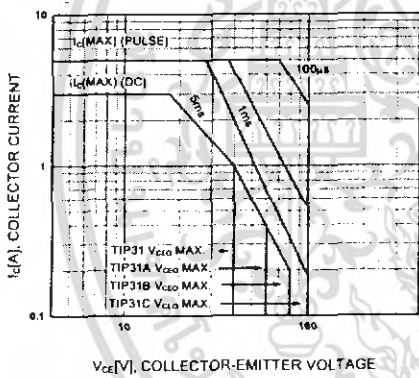


Figure 3. Safe Operating Area

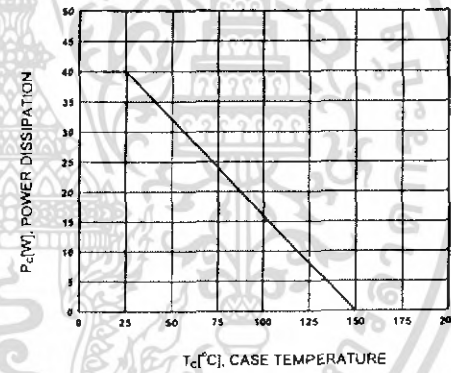
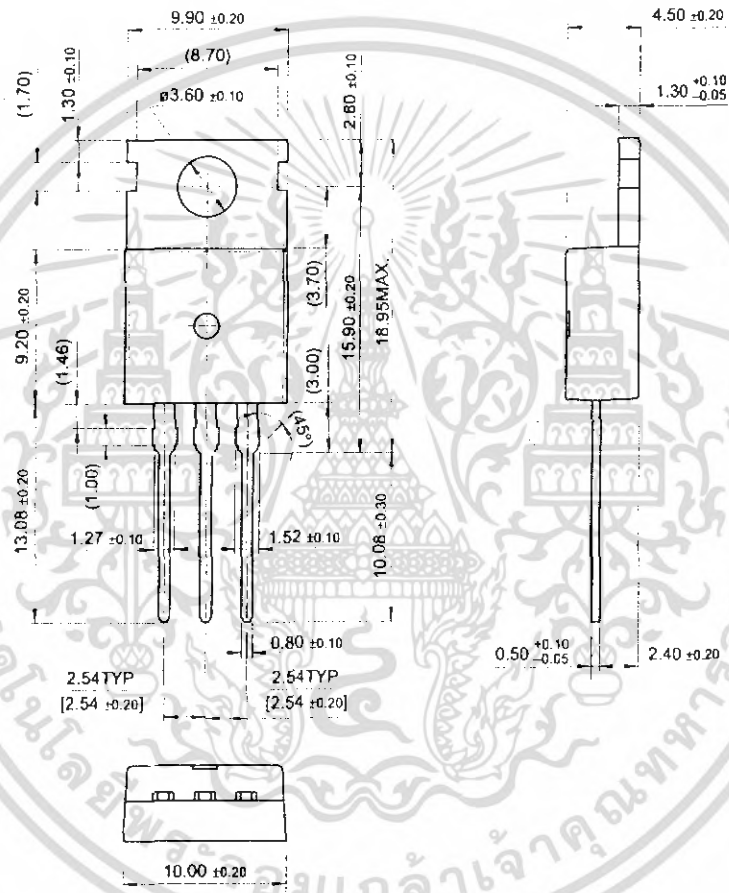


Figure 4. Power Derating

เอกสารนี้เป็นเอกสารที่สงวนไว้สำหรับการใช้งานเพื่อการศึกษาเท่านั้น ไม่อนุญาตให้นำไปใช้ประโยชน์ด้านการค้า  
ไม่ว่ากรณีใดๆ ทั้งสิ้น อีกทั้งห้ามมิให้ดัดแปลงเนื้อหา และต้องอ้างอิงถึงเจ้าของเอกสารทุกครั้งที่มีการนำไปใช้

# Package Demensions

## TO-220



Dimensions in Millimeters

TIP31 Series(TIP31/31A/31B/31C)

เอกสารนี้เป็นเอกสารที่สงวนไว้สำหรับการใช้งานเพื่อการศึกษาเท่านั้น ไม่อนุญาตให้นำไปใช้ประโยชน์ด้านการค้า  
ไม่ว่ากรณีใดๆ ทั้งสิ้น อีกทั้งห้ามมิให้ดัดแปลงเนื้อหา และต้องอ้างอิงถึงเจ้าของเอกสารทุกครั้งที่มีการนำไปใช้

## TRADEMARKS

The following are registered and unregistered trademarks Fairchild Semiconductor owns or is authorized to use and is not intended to be an exhaustive list of all such trademarks.

ACEx™	HiSeC™	SuperSOT™-8
Bottomless™	ISOPLANAR™	SyncFET™
CoolFET™	MICROWIRE™	TinyLogic™
CROSSVOLT™	POP™	UHC™
E <sup>2</sup> CMOS™	PowerTrench®	VCX™
FACT™	QFET™	
FACT Quiet Series™	QS™	
FAST®	Quiet Series™	
FASTr™	SuperSOT™-3	
GTO™	SuperSOT™-6	

## DISCLAIMER

FAIRCHILD SEMICONDUCTOR RESERVES THE RIGHT TO MAKE CHANGES WITHOUT FURTHER NOTICE TO ANY PRODUCTS HEREIN TO IMPROVE RELIABILITY, FUNCTION OR DESIGN. FAIRCHILD DOES NOT ASSUME ANY LIABILITY ARISING OUT OF THE APPLICATION OR USE OF ANY PRODUCT OR CIRCUIT DESCRIBED HEREIN; NEITHER DOES IT CONVEY ANY LICENSE UNDER ITS PATENT RIGHTS, NOR THE RIGHTS OF OTHERS.

## LIFE SUPPORT POLICY

FAIRCHILD'S PRODUCTS ARE NOT AUTHORIZED FOR USE AS CRITICAL COMPONENTS IN LIFE SUPPORT DEVICES OR SYSTEMS WITHOUT THE EXPRESS WRITTEN APPROVAL OF FAIRCHILD SEMICONDUCTOR INTERNATIONAL.

As used herein:

1. Life support devices or systems are devices or systems which, (a) are intended for surgical implant into the body, or (b) support or sustain life, or (c) whose failure to perform when properly used in accordance with instructions for use provided in the labeling, can be reasonably expected to result in significant injury to the user.
2. A critical component is any component of a life support device or system whose failure to perform can be reasonably expected to cause the failure of the life support device or system, or to affect its safety or effectiveness.

## PRODUCT STATUS DEFINITIONS

### Definition of Terms

Datasheet Identification	Product Status	Definition
Advance Information	Formative or In Design	This datasheet contains the design specifications for product development. Specifications may change in any manner without notice.
Preliminary	First Production	This datasheet contains preliminary data, and supplementary data will be published at a later date. Fairchild Semiconductor reserves the right to make changes at any time without notice in order to improve design.
No Identification Needed	Full Production	This datasheet contains final specifications. Fairchild Semiconductor reserves the right to make changes at any time without notice in order to improve design.
Obsolete	Not in Production	This datasheet contains specifications on a product that has been discontinued by Fairchild semiconductor. The datasheet is printed for reference information only.



## TIP32 Series(TIP32/32A/32B/32C)

### Medium Power Linear Switching Applications

- Complement to TIP31/31A/31B/31C



TO-220

1.Base 2.Collector 3.Emitter

### PNP Epitaxial Silicon Transistor

#### Absolute Maximum Ratings $T_C=25^\circ\text{C}$ unless otherwise noted

Symbol	Parameter	Value	Units
$V_{CBO}$	Collector-Base Voltage : TIP32	-40	V
	: TIP32A	-60	V
	: TIP32B	-80	V
	: TIP32C	-100	V
$V_{CEO}$	Collector-Emitter Voltage : TIP32	-40	V
	: TIP32A	-60	V
	: TIP32B	-80	V
	: TIP32C	-100	V
$V_{EBO}$	Emitter-Base Voltage	-5	V
$I_C$	Collector Current (DC)	-3	A
$I_{CP}$	Collector Current (Pulse)	-5	A
$I_B$	Base Current	-3	A
$P_C$	Collector Dissipation ( $T_C=25^\circ\text{C}$ )	40	W
$P_C$	Collector Dissipation ( $T_a=25^\circ\text{C}$ )	2	W
$T_J$	Junction Temperature	150	$^\circ\text{C}$
$T_{STG}$	Storage Temperature	-65 ~ 150	$^\circ\text{C}$

#### Electrical Characteristics $T_C=25^\circ\text{C}$ unless otherwise noted

Symbol	Parameter	Test Condition	Min.	Max.	Units
$V_{CE(sus)}$	* Collector-Emitter Sustaining Voltage	$I_C = -30\text{mA}, I_B = 0$	-40	-60	V
	: TIP32				
	: TIP32A				
	: TIP32B				
$I_{CEO}$	Collector Cut-off Current	$V_{CE} = -30\text{V}, I_B = 0$ $V_{CE} = -60\text{V}, I_B = 0$		-0.3	mA
	: TIP32/32A				
	: TIP32B/32C				
$I_{CES}$	Collector Cut-off Current	$V_{CE} = -40\text{V}, V_{EB} = 0$ $V_{CE} = -60\text{V}, V_{EB} = 0$ $V_{CE} = -80\text{V}, V_{EB} = 0$ $V_{CE} = -100\text{V}, V_{CE} = 0$		-200	$\mu\text{A}$
	: TIP32				
	: TIP32A				
	: TIP32B				
$I_{EBO}$	Emitter Cut-off Current	$V_{EB} = -5\text{V}, I_C = 0$		-1	mA
$h_{FE}$	* DC Current Gain	$V_{CE} = -4\text{V}, I_C = -1\text{A}$ $V_{CE} = -4\text{V}, I_C = -3\text{A}$	25	10	50
$V_{CE(sat)}$	* Collector-Emitter Saturation Voltage	$I_C = -3\text{A}, I_B = -375\text{mA}$		-1.2	V
$V_{BE(sat)}$	* Base-Emitter Saturation Voltage	$V_{CE} = -4\text{V}, I_C = -3\text{A}$		-1.8	V
$f_T$	Current Gain Bandwidth Product	$V_{CE} = -10\text{V}, I_C = -500\text{mA}$	3.0		MHz

\* Pulse Test: PWS300 $\mu\text{s}$ , Duty Cycle2%

## Typical Characteristics

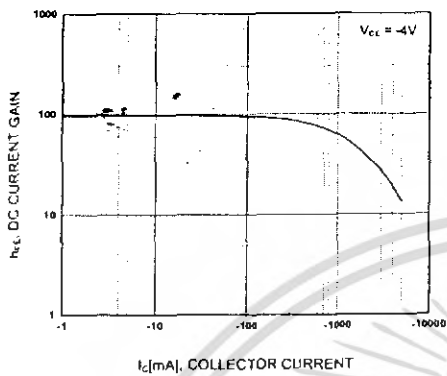


Figure 1. DC current Gain

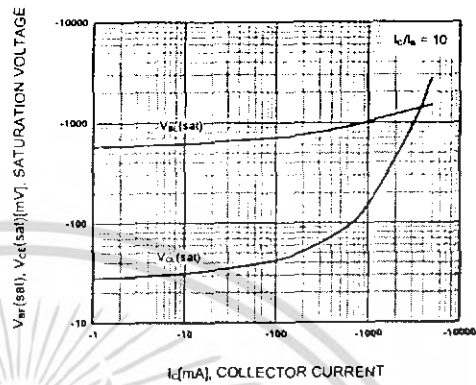


Figure 2. Base-Emitter Saturation Voltage  
Collector-Emitter Saturation Voltage

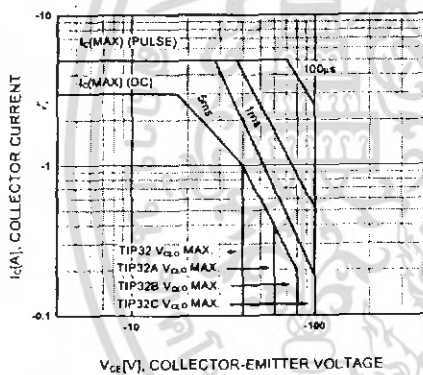


Figure 3. Safe Operating Area

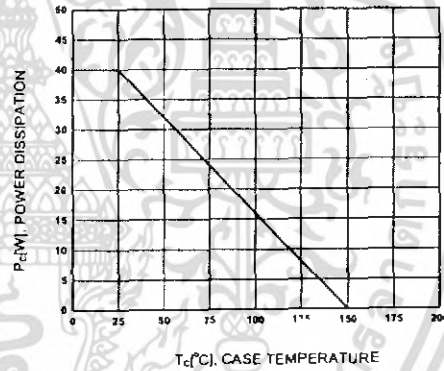
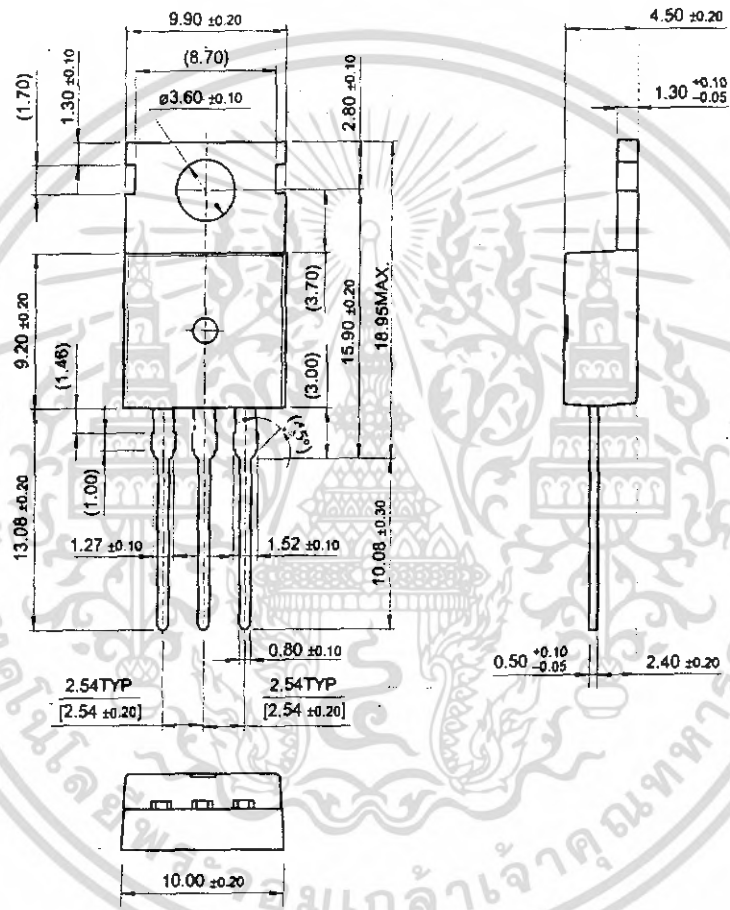


Figure 4. Power Derating

เอกสารนี้เป็นเอกสารที่สงวนไว้สำหรับการใช้งานเพื่อการศึกษาเท่านั้น ไม่อนุญาตให้นำไปใช้ประโยชน์ด้านการค้า  
ไม่ว่ากรณีใดๆ ทั้งสิ้น อีกทั้งห้ามมิให้ดัดแปลงเนื้อหา และต้องอ้างอิงถึงเจ้าของเอกสารทุกครั้งที่มีการนำไปใช้

# Package Dimensions

## TO-220



Dimensions in Millimeters

เอกสารนี้เป็นเอกสารที่สงวนไว้สำหรับการใช้งานเพื่อการศึกษาเท่านั้น ไม่อนุญาตให้นำไปใช้ประโยชน์ด้านการค้า  
ไม่ว่ากรณีใดๆ ทั้งสิ้น อีกทั้งห้ามมิให้ดัดแปลงเนื้อหา และต้องอ้างอิงถึงเจ้าของเอกสารทุกครั้งที่มีการนำไปใช้

TIP32 Series(TIP32/32A/32B/32C)